

PONTIFICIA UNIVERSIDAD CATÓLICA DEL ECUADOR

FACULTAD DE CIENCIAS HUMANAS

ESCUELA DE ANTROPOLOGÍA Y ARQUEOLOGÍA

DISERTACIÓN PREVIA A LA OBTENCIÓN DEL TÍTULO DE ANTROPÓLOGA  
CON MENCIÓN EN ARQUEOLOGÍA

**ADORNOS PERSONALES QUE MARCAN EL CAMINO HACIA EL PODER:  
ARTEFACTOS MALACOLÓGICOS DE LA TUMBA 2 DE HUATAVIRO (600 –  
1500 DC), SIERRA NORTE DEL ECUADOR**

EMILIA NARVÁEZ RODRÍGUEZ

DIRECTOR: ERIC DYRDAHL

QUITO

AGOSTO 2021

Tabla de contenido	
RESUMEN .....	1
AGRADECIMIENTOS.....	2
CAPÍTULO I: INTRODUCCIÓN.....	3
El sitio .....	5
Tumba 2.....	7
CAPÍTULO II: PRESENCIA DE ADORNOS DE CONCHA MARINA EN SITIOS ARQUEOLÓGICOS DEL ECUADOR Y COSTA NORTE DEL PERÚ .....	10
Las tolas del país Caranqui .....	10
La sierra norte ecuatoriana .....	13
La sierra austral .....	16
La costa ecuatoriana .....	17
Entierros de élite en la costa peruana .....	22
CAPÍTULO III: MARCO TEÓRICO .....	25
Adornos, élites y estatus .....	30
Intercambio interregional .....	33
Producción artesanal.....	34
Producción especializada y producción doméstica.....	36
Estandarización y variación .....	41
CAPÍTULO IV: METODOLOGÍA .....	45
Establecimiento de tipología de adornos: cuentas, pendientes y placas .....	46
Análisis estadístico .....	46
Análisis diacrónico.....	47
Definición de variables: tamaño, espesor, forma, color .....	48
Cuentas.....	49
Placas.....	53
Pendientes.....	56
CAPÍTULO V: DESCRIPCIÓN Y ANÁLISIS DE RESULTADOS.....	58
Cuentas.....	58
Tipología .....	58
Comparación .....	65
Cuentas tubulares .....	69
Pendientes.....	71
Caracol marino .....	71
Tipología.....	71

Comparación .....	74
Pendientes trapezoidales y rectangulares .....	77
Tipología .....	78
Comparación .....	80
Placas.....	84
Comparación .....	85
CAPÍTULO VI: DISCUSIÓN Y CONCLUSIONES .....	86
REFERENCIAS.....	93
Anexo 1: tabla cuentas .....	102
Anexo 2: tabla pendientes de caracol.....	304
Anexo 3: tabla placas/pendientes rectangulares/trapezoidales .....	308

## Índice de tablas

Tabla 1. Variables cuentas.....	52
Tabla 2. Variables adornos rectangulares y trapezoidales.....	55
Tabla 3.Variables pendientes de Oliva .....	57
Tabla 4. Tipología de cuentas discoidales, n=4929 .....	59
Tabla 5. Medidas cuentas discoidales, n= 4930 .....	59
Tabla 6.Medidas por color cuentas discoidales para tumba 2, Huataviro.....	62
Tabla 7.Medidas estadísticas de mullos que estaban unidos tumba 2.....	65
Tabla 8. Tabla diámetro espesor para cuentas discoidales de Las Orquídeas, n=1348.....	66
Tabla 9. Comparación de medidas Huataviro, Las Orquídeas (Dyrdahl 2017), 4 sitios manteño (Carter 2008) y tumba Chimú-Inca (Carter y Helmer 2015).....	68
Tabla 10. Cuatro sitios manteños de Carter 2008.....	69
Tabla 11.Medidas estadísticas de cuentas tubulares, n=70.....	70
Tabla 12.Medidas por color cuentas tubulares tumba 2, Huataviro .....	70
Tabla 13.Pendientes por tipo de perforación .....	72
Tabla 14. Medidas todos los pendientes de Oliva sp., n=143.....	74
Tabla 15. Comparación forma de las pendientes y número/ ubicación de orificios, n=197 .....	79
Tabla 16. Medidas pendientes trapezoidales n=174 .....	80
Tabla 17.Medidas pendientes rectangulares n=21 .....	80
Tabla 18.Comparación medidas placas trapezoidales .....	82
Tabla 19.Medidas placas, n=9 .....	84
Tabla 20. Comparación medidas placas rectangulares, n=9 .....	85

## Índice de figuras

Figura 1. Ubicación de Huataviro en la provincia de Imbabura .....	5
Figura 2. Vista aérea de la tola Huataviro .....	6
Figura 3.Mapa sitios Caranqui y sitios con evidencia de concha marina en Ecuador .....	21
Figura 4. Características de la producción dependiente y la producción independiente según Costin (1991) .....	38
Figura 5. Cuentas discoidales .....	49
Figura 6.Tipo de perforación cuentas .....	52
Figura 7.Pendientes de Oliva sp. ....	56
Figura 8.Histograma diámetro cuentas discoidales, n=4930 .....	60
Figura 9.Histograma de espesor cuentas discoidales, n=4929 .....	61
Figura 10. Tipo de perforación cuentas discoidales, n=4797 .....	63
Figura 11.Cuentas tubulares .....	69
Figura 12. Tipos de perforación pendientes Oliva .....	73
Figura 13.Pendientes trapezoidales con una perforación .....	77
Figura 14.Pendientes trapezoidales con dos perforaciones .....	78
Figura 15.Pendientes placas de tumba Chimú-Inca, iridiscentes.....	81
Figura 16.Placas tumba 2 Huataviro .....	84

## RESUMEN

La tumba 2 de Huataviro es una de las tumbas prehispánicas más ricas del Ecuador. En este trabajo, se realiza un análisis detallado del conjunto de adornos en concha marina encontrados en esta tumba (cuentas de *Spondylus*, placas y pendientes de *Spondylus* y madreperla y pendientes de *Oliva sp.*). El objetivo de este trabajo es entender los patrones de cambio en la utilización de adornos en concha marina en la sierra norte del Ecuador a través del tiempo y entender cómo la variación y la estandarización en la fabricación de los adornos dan pautas sobre las relaciones de las élites con la producción. Para lograr este objetivo, se obtuvieron medidas en milímetros de los diferentes atributos de los adornos con un calibrador digital. Se compararon las estadísticas descriptivas obtenidas de los adornos de la tumba 2 con otros sitios, tanto contemporáneos como no contemporáneos. Los adornos de la tumba 2 posiblemente fueron producidos en contextos domésticos, lo cual sugiere una continuidad en la tradición de producción artesanal en la sierra norte del Ecuador. Un hallazgo importante es que el conjunto de cuentas discoidales de la tumba 2 es muy similar a las cuentas del sitio Los Frailes en el sur de la provincia de Manabí, sugiriendo una posible conexión interregional.

**Palabras clave:** concha marina, *Spondylus*, cuentas, adornos, variación, estandarización.

## AGRADECIMIENTOS

Este trabajo marca el final de un camino que no esperé que se acabara tan pronto. Agradezco a las grandes mujeres de mi familia que me han inspirado, motivado y apoyado desde siempre. Agradezco a mi madre Nidia por todo su apoyo y cariño incondicional, por ser una gran mujer que siempre ha servido de ejemplo para mí. A mi hermana Lucía por las conversaciones de escritorio a escritorio mientras hacíamos nuestras tesis. A mis sobrinos Julia, Aureliano y Florencia por interesarse en las conchas que estudia su tía arqueóloga. A mi tía Margui, prima Verito y papá por apoyarme en todo momento. A mi novio Franz por quererme y ayudarme siempre con sus habilidades audiovisuales y por siempre interesarse en mi trabajo.

Agradezco a mi tutor y profesor Eric por toda la confianza. A todos los profes de la carrera que me han formado en estos cinco años. Como olvidarme de las queridas amistades que encontré en la carrera. Me quedo con recuerdos muy queridos junto a ustedes Gaby y Danilo. Los largos viajes en bus con el Danilo y las salidas a tomar café con la Gaby. A todos mis compañeros con los que tantos años compartimos clases y a los que ya no están con nosotros.

## CAPÍTULO I: INTRODUCCIÓN

La tumba 2 de Huataviro (600-1300 d.C.) es uno de los contextos funerarios más ricos del Ecuador prehispánico. En esta tumba se encontraron restos humanos junto con adornos de metal, cerámica, obsidiana, placas y pendientes fabricados en madreperla y *Spondylus*, pendientes de *Oliva sp.* y más de 20.000 cuentas discoidales posiblemente trabajadas en *Spondylus* (Pazmiño, 2014; Pazmiño et al., 2009).

En este trabajo se analizan alrededor de 5500 adornos en concha marina de la tumba 2 con el objetivo de comprender más a profundidad las relaciones entre las élites, la producción y la adquisición de este tipo de bienes exóticos. A simple vista, los adornos en concha de esta tumba de la sierra nos dicen dos cosas evidentes: que existió algún tipo de intercambio que permitió a las personas adquirir bienes exóticos y que existían relaciones jerárquicas marcadas dentro de esta sociedad. Pero la investigación arqueológica debe ir más allá. Por esta razón, se ha decidido tomar una perspectiva basada en el concepto de cadena operativa para analizar a profundidad los adornos y extraer la mayor cantidad de información posible.

El hecho de que no se haya encontrado un contexto de producción en Huataviro hasta el momento limita algunos temas, pero permite conocer muchos otros. A través del análisis de adornos fabricados en concha marina, busco alcanzar los objetivos centrales de esta tesis: entender los patrones de cambio en la utilización de adornos en concha marina en la sierra norte del Ecuador a través del tiempo y entender como la variación y la estandarización en la fabricación de los adornos dan pautas en la organización de la producción y su relación con los segmentos dominantes de una sociedad.

El primer objetivo, entender los cambios en la utilización de adornos en concha marina, es posible gracias al sitio Las Orquídeas (800-400 a.C.). Este sitio se encuentra a menos de 1 km de Huataviro y presenta evidencia de producción de varios tipos de artefactos, entre los cuales se incluyen cuentas discoidales de *Spondylus*, placas de madreperla y pendientes de *Oliva sp.* (Dyrdaahl, 2017). Es decir, adornos muy similares a los que se encontraron en Huataviro. Basado en la evidencia del sitio, Dyrdaahl (2017) sugiere una producción artesanal a tiempo parcial en contextos domésticos. Además, no existe evidencia clara de estratificación social y jerarquías dentro de esta sociedad. Al contrario, Huataviro es un claro ejemplo de estratificación social, jerarquías y búsqueda de adquisición de estatus.

Con esta evidencia, se podría asumir que las élites de Huataviro buscaban asegurarse el acceso a los bienes de prestigio mediante el control del intercambio y del auspicio de artesanos especializados a tiempo completo (Brumfiel & Earle, 1987; Costin, 1991; DeMarrais et al., 1996; Earle, 1997). Como se verá más adelante, este no parece ser el caso para Huataviro, ya que este sitio parece seguir una tradición de producción artesanal doméstica que se llevaba a cabo desde el periodo Formativo en la sierra norte.

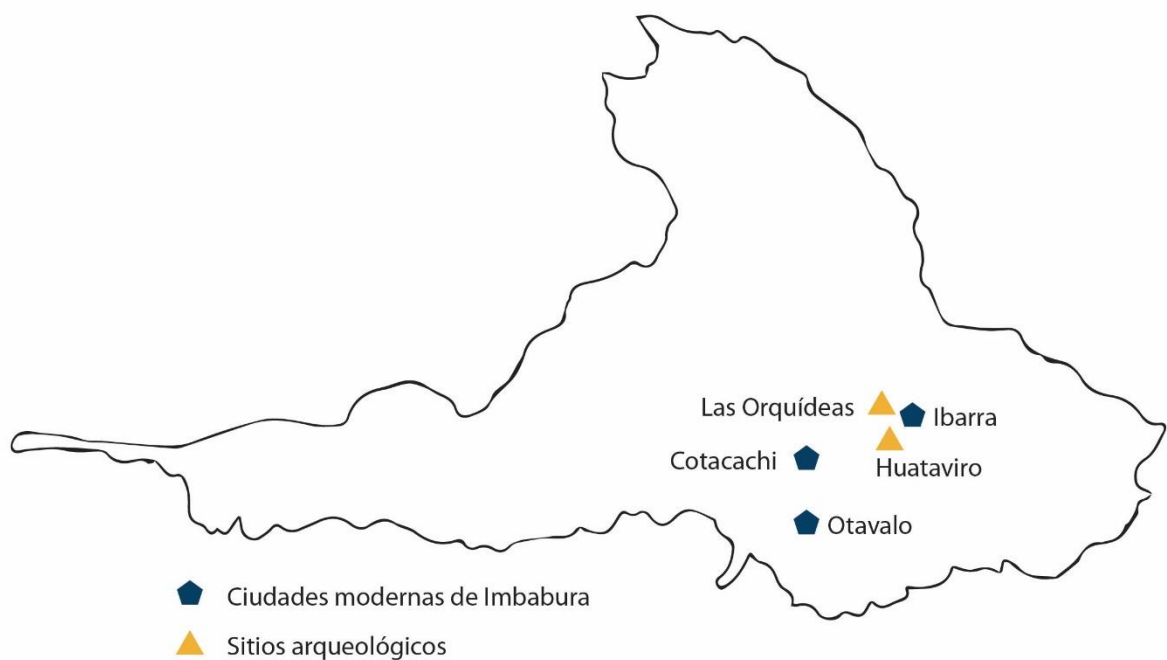
La forma de entender el tipo de producción se basa en los patrones de estandarización y variación de las variables establecidas para los distintos tipos de adornos. A través de medidas de los atributos de los adornos como diámetro, espesor, largo, ancho y diámetro de las perforaciones, se pueden obtener medidas estadísticas que reflejan las medidas de Tendencia Central y Dispersión. En la arqueología, una medida de dispersión pequeña podría significar que la producción de los adornos era estandarizada (Carter, 2008). Sin embargo, no existe un número que delimite lo estandarizado de lo no

estandarizado. La comparación de estadísticas descriptivas con otros tres estudios disponibles hace posible llevar a cabo este argumento.

### **El sitio**

Huataviro es un sitio arqueológico ubicado en la parroquia San Antonio de Ibarra, en la provincia de Imbabura (Figura 1). En la zona conocida como país Caranqui, existen varios montículos artificiales, sin embargo, Huataviro no fue registrado como uno por su forma inusual (oblongo) y por las afectaciones que había sufrido por la construcción y erosión (Pazmiño, 2014). Es un montículo artificial construido con bloques de cangahua irregulares y rellanado con material limo arcilloso (Figura 2). Las dimensiones de la plataforma de la tola son de 100 m de largo por 90 m de ancho. La altura del sitio oscila entre 3 y 4 metros en el lado suroccidental y entre 10 y 11 metros en el lado nororiental (Pazmiño, 2014).

*Figura 1. Ubicación de Huataviro en la provincia de Imbabura*



En el año 2009, el sector centro-sur del montículo fue perturbado por la construcción de una vía, destruyendo un enterramiento y dejando otro parcialmente descubierto (Pazmiño et al., 2009). Por esta razón, entre los años 2009 y 2010 se realizaron dos fases de investigación para documentar de mejor manera este sitio.

*Figura 2. Vista aérea de la tola Huataviro*



Para entender como están distribuidas cronológicamente las tumbas en Huataviro, podemos pensar en tres momentos distintos. En la ocupación más temprana, hay tumbas de élites (aprox. 800 d.C.), posiblemente relacionadas con pisos, indicando una posible contemporaneidad con los entierros sin ajuar sobre el piso (Montalvo, 2020, comunicación personal). Los enterramientos de personajes de élite se distinguen por su gran cantidad de ajuar funerario, el cual está constituido por piezas cerámicas, obsidiana, adornos en metal y grandes cantidades de adornos de concha marina

(Pazmiño, 2014). Segundo, existen varios pisos posiblemente relacionados con enterramientos (aprox. 897-1210 cal d.C.). La ocupación más tardía del montículo está representada por enterramientos tardíos sin relación con un piso (aprox. 1100-1220 d.C.), los cuales tienen un pequeño ajuar funerario de dos o tres elementos cerámicos (Pazmiño, 2014).

### ***Tumba 2***

La irrupción de maquinaria en el montículo en el año 2009 dejó expuesta la tumba 2. Como primer paso, se removió la tierra del contorno e interior del foso y se abrieron nueve unidades de excavación de 1x1 m. También se excavaron los perfiles de la zona disturbada y derribada por la maquinaria. A partir de estos trabajos, se encontraron fragmentos cerámicos, restos de obsidiana, miles de cuentas de *Spondylus*, placas de concha *Spondylus* y madreperla, caracoles marinos perforados, cuentas trabajadas en piedra verde (probablemente serpentina) y cuentas de metal dorado (Pazmiño et al., 2009).

Este contexto no fue datado por el mal estado de las muestras, pero se lo puede relacionar por los restos cerámicos con las tumbas múltiples alrededor de 800 d.C. (Pazmiño, 2014). La tumba 2 está localizada en el perfil oeste de la zona afectada del montículo y la tumba se encontraba sobre un piso apisonado, el cual se extiende por gran parte del perfil oeste (Pazmiño et al., 2009). Según Pazmiño y colegas (2009) se trata de un entierro individual. Por la orientación del pie, se presume que el individuo estaba direccionado hacia el noreste. El individuo posiblemente fue depositado sobre un bloque de cangahua como apoyo. Durante la excavación se recuperaron varios

fragmentos de hueso humano, incluyendo un hueso largo del pie, en muy mal estado de conservación (Pazmiño et al., 2009), posiblemente debido a factores tafonómicos.

Hay evidencia de varias formas de textiles relacionados con la tumba 2. El individuo de esta tumba probablemente estuvo cubierto por fibra textil, ya que se encontraron pequeños fragmentos de fibra además sobre la máscara de metal dorado y concha extraída. Además, en la superficie de la tumba se encontraron restos de estera (Pazmiño et al., 2009).

A continuación, explicaré la estructura de esta disertación. En el capítulo II de este trabajo se menciona sitios del Ecuador y Perú donde se han encontrado adornos en concha marina. La mayoría de los sitios mencionados de la sierra ecuatoriana y costa peruana son contemporáneos a Huataviro y con esto busco mostrar como este sitio es especial para el periodo y la región donde se encuentra. Los sitios más tempranos de la sierra norte que se mencionan sirven como referente para realizar una comparación diacrónica. Los sitios de la costa ecuatoriana que se mencionan también son contemporáneos a Huataviro y sirven para mostrar cómo se llevaba a cabo la producción.

En el Capítulo III abordo el marco teórico con una discusión sobre las élites, el poder y el estatus, además de la producción especializada y la producción artesanal doméstica.

En el Capítulo IV se discute la metodología, la cual está fuertemente inspirada por el concepto de cadena operativa y las tesis doctorales de Carter (2008) y Dyrdaahl (2017).

En el capítulo V se describen los resultados de la investigación y se comparan los datos obtenidos para los adornos de la tumba 2 con datos disponibles para otros sitios con

adornos similares. Estos sitios son Las Orquídeas, cuatro sitios manteño y una tumba Chimú-Inca.

En el Capítulo VI discuto la significación de los patrones de variación y estandarización para comprender las relaciones entre producción y estatus. Además, se mencionan algunos de los problemas que surgen al momento de tener un sitio sin evidencia de producción y las avenidas futuras de investigación.

## **CAPÍTULO II: PRESENCIA DE ADORNOS DE CONCHA MARINA EN SITIOS ARQUEOLÓGICOS DEL ECUADOR Y COSTA NORTE DEL PERÚ**

### **Las tolas del país Caranqui**

En la región de la sierra norte del Ecuador existen numerosos complejos de montículos artificiales (localmente conocidos como tolas), pero en ninguno de ellos se han encontrado tumbas con la cantidad y el tipo de adornos que se encontraron en la tumba 2 de Huataviro. Jacinto Jijón y Caamaño identificó seis divisiones étnicas preincaicas para la sierra del Ecuador: Pasto, Caranqui, Panzaleo, Puruhá, Cañari y Palta (Bray, 2008). Huataviro se encuentra dentro del área geográfico-cultural Caranqui, aunque parece tener una ocupación más temprana que los otros sitios (Pazmiño, 2014).

Geográficamente, los Caranquis se asentaron en la región de la Sierra Septentrional, entre los ríos Chota-Mira en el norte y el río Guayllabamba en el sur. Los Caranquis, también conocidos como Cara e Imbaya, habitaron esta zona al final de periodo de Integración (950-1550 d.C.) y se organizaron políticamente en señoríos o cacicazgos (Bray, 2008; Oberem, 1981a).

La organización de tipo cacical se distingue por tener un cacique que dirige la aldea. Por lo general, en un cacicazgo existe un cacique principal que dirige su aldea y controla de cierta manera las otras aldeas dirigidas por caciques no principales. Los caciques constituyen la clase social de la nobleza (Bray, 2008; Oberem, 1981a).

Las tolas son características de la zona y el periodo Caranqui, por lo cual se encuentran distribuidas en toda la región. Los montículos funerarios por lo general son circulares y tienen tumbas de pozo (Bray, 2008; Oberem, 1981a). Esta situación hace que Huataviro sea único ya que es un montículo grande y con forma rectangular donde se encontraron una gran cantidad de enterramientos humanos.

Uno de los sitios más conocidos de la zona y el periodo es Cochasquí, el cual es un complejo de montículos circulares (900-1300 d.C.) y pirámides truncadas (1500 d.C.) (Ugalde, 2015). Se identificó la existencia de 15 montículos con planta redonda más otros 15 que han sido aplanados y 15 pirámides truncas (Wurster, 1981).

Las únicas investigaciones que se han realizado en el sector monumental (donde se encuentran las estructuras mencionadas) fueron las realizadas por Uhle en 1932 y por el Grupo Ecuador de la Universidad de Bonn liderados por Udo Oberem entre 1964-1965 (Ugalde, 2015). Recientemente se comenzó otro proyecto en el sector monumental de Cochasquí bajo de la dirección de David Brown y Estanislao Pazmiño pero no se han publicado aún sus resultados.

Dos montículos circulares con pozo fueron excavados en Cochasquí. En el montículo “a” se encontraron 7 huesos de los cráneos separados de las mandíbulas inferiores. En este entierro se encontraron pequeñas cantidades de cerámica. En el montículo “n” se encontraron vasijas, tres piedras planas rectangulares y una piedra redonda. En este contexto no se encontraron restos óseos (Oberem, 1981b).

En el sitio aledaño Malchinguí, se encontraron entradas de dos pozos cilíndricos, en el primero de los cuales se encontró cerámica y lítica pero no restos óseos. En el segundo pozo se encontraron un hacha pulimentada, restos de madera y escasos restos óseos (A. Meyers et al., 1981).

Socapamba es otro sitio de la región donde se han excavado tumbas. Los ajuares funerarios en este sitio son escasos y se componen por cerámica, mientras que otras tumbas no tienen ajuar funerario. Una tumba del montículo 19, donde se encontraron los restos de un niño, tenía cuentas de madera incisa (Athens, 1976).

En los sitios Caranqui, la evidencia de intercambio interregional que se ha encontrado es principalmente cerámica Tuza (proveniente de la región pasto) y Cosanga. La cerámica Cosanga proviene de las tierras bajas orientales y se distingue por sus paredes finas, pasta color ceniza e inclusiones misceláneas (Athens, 1997; Bray, 1995). Sobre otros tipos de materiales, Athens menciona que "...existe solamente la escasísima indicación de la presencia prehistórica de concha marina, jade y metales" (1997, p. 181). Sin embargo, parece que estos materiales proceden de las investigaciones de Jijón y Caamaño en 1914 y 1920 y posiblemente se tratan de enterramientos más tempranos (Athens, 1997).

Lo que se puede concluir de esta sección es que Huataviro es un montículo artificial inusual en la zona. Los montículos funerarios del País Caranqui son circulares y más pequeños, mientras Huataviro es un montículo de grandes dimensiones con forma oblonga/rectangular. Hasta el momento, no existe evidencia de que Huataviro haya sido un montículo circular que después fue modificado para ser rectangular. A parte de Huataviro, en ninguno de los montículos funerarios de la zona se han encontrado grandes cantidades de ajuar funerario constituido por materias primas exóticas e incluso la presencia de restos óseos en otras tolas es escasa. Estas diferencias recalcan la importancia de investigar en el mayor detalle posible la evidencia encontrada en Huataviro.

En la siguiente sección haré una revisión de sitios donde se han encontrado adornos en concha marina. El enfoque principal de esta sección es describir los sitios contemporáneos con Huataviro donde se han realizado análisis detallados de los adornos encontrados. También tomaré en cuenta dos sitios de la misma región, pero del

periodo Formativo. Además, recalcaré la existencia de entierros en la costa norte del Perú donde se han recuperado grandes pectorales de cuentas y otros tipos de adornos.

### **La sierra norte ecuatoriana**

El único otro sitio de la sierra norte donde se han encontrado más de 10.000 adornos en concha marina es La Florida, ubicado en la meseta de Quito. Las fechas para las tumbas de pozo de este sitio son 600-1505 d.C. (Molestina Zaldumbide, 2006). Como parte del ajuar funerario de los entierros principales en las tumbas de pozo profundo, se encontraron cuentas de *Spondylus calcifer* y *princeps*, plaquetas de madreperla, pequeños gasterópodos y adornos de oro y cobre (Doyon, 1988; Molestina Zaldumbide, 2006).

A pesar de que este sitio es cronológicamente similar a Huataviro y es la única evidencia de enterramientos de élite con adornos similares, el tipo de enterramientos es algo distinto. Las tumbas de La Florida no se encuentran en tolas, sino que son tumbas en forma de botella invertida que pueden llegar a tener entre 12,5 a 15,1 metros de profundidad. Dentro de estas tumbas se encontraron múltiples individuos, algunos de los cuales se catalogaron como entierros de élite por sus asociaciones a adornos como placas de cobre, madreperla y cuentas de *Spondylus* (Doyon, 1988; Doyon-Bernard, 1993). Entre los adornos en concha, las cuentas de *Spondylus* se encontraban sujetas con hilo, sugiriendo que estaban siendo usadas como collares. Las placas de madreperla también parecían estar sujetas a algún tipo de textil. Los colgantes de *Conus perplexus* podrían haber estado sujetos al borde de una túnica (Doyon-Bernard, 1993).

Las tumbas de Huataviro donde se encontraron los ajuares que definen a los entierros como de élite son dos: el entierro central del rasgo 3 y la tumba 2. La tumba 2, debido a

las afectaciones que sufrió, no puede aportar mucha información sobre la forma de construcción del pozo. Cerca de la tumba 2, se encuentran la tumba 1 y 3, las cuales parecen tener técnicas constructivas similares y donde también se encontraron pendientes de caracol marino y cuentas discoidales. Estas tumbas parecen haber sido pozos de 1,5 metros de diámetro con relleno de tierra fina compactada. Los bloques de cangahua pueden haber funcionado como apoyo para los cuerpos que se depositaban sentados. En la tumba 2, también se encontraron bloques de cangahua y un foso. Por esta razón y la cercanía, la tumba 2 puede haber tenido una técnica constructiva similar (Pazmiño et al., 2009).

La otra tumba de élite es un entierro ubicado en el rasgo 3. El rasgo se trata de tres capas de entierros: a 3,8 m de profundidad se encontraron dos individuos sobre una capa de estera con recipientes cerámicos, caracoles marinos perforados y 12 piedras amontonadas. Debajo de este entierro se encontró el entierro de élite, el cual se trataba de un individuo con una máscara de cobre, dos brazaletes, tres anillos y una manilla de cuentas de tumbaga. Sobre el pecho del individuo se encontraron 13.000 cuentas de *Spondylus* que podrían haber constituido el traje del individuo. Bajo este individuo de élite se encontraba otro individuo con un collar de cuentas de caracol marino (Pazmiño et al., 2010).

Huataviro representa la continuación de una larga tradición de adornos personales en la sierra norte del Ecuador que empieza alrededor de 800 cal a.C. Se conocen dos sitios del periodo Formativo de Ecuador donde se ha encontrado evidencia de producción de adornos en concha: La Chimba (700 a.C.-300 d.C.) y Las Orquídeas (800-400 a.C.) (Athens, 1997; Dyrdaahl, 2017).

La evidencia de producción de adornos en concha fue encontrada por la primera vez en La Chimba. La Chimba es un asentamiento del periodo Formativo ubicado cerca del pueblo de Pesillo. Entre los materiales que se han encontrado en este sitio están cerámica, huesos fáunicos y piezas de obsidiana con evidencia de uso y posibles retoques. Se encontraron 455 fragmentos de concha marina de la familia *Spondylidae* y *Strombidae*. Además, se encontraron fragmentos en menor cantidad de madreperla y *Conus*. Debido a la presencia de pequeños fragmentos, parece que las conchas estaban siendo trabajadas en el sitio, por lo cual el intercambio no se trataba de adornos terminados (Athens, 1995). Entre los artefactos que se encontraron, están 16 cuentas de concha entre discoidales y en forma de barril, posiblemente fabricadas en *Spondylus* (Athens, 1990).

Las Orquídeas (800-400 d.C.) es un sitio arqueológico que se ubica en el complejo Los Soles, aproximadamente a 1km de Huataviro. En este sitio, se han encontrado artefactos producidos en una amplia gama de materias primas, las cuales incluyen oro, *Spondylus princeps*, *Spondylus calcifer*, madreperla (*Pinctada mazatlanica* y *Pteria sterna*), conchas de pequeños gasterópodos (*Conus sp.*, *Oliva sp.*), caracoles terrestres (*Megalobulimis sp.*), obsidiana, cerámica, huesos de animales y muchos otros. Los artefactos fueron producidos tanto con materias primas tanto locales como exóticas (Dyrdaahl, 2017). La variedad de materias primas con las que se producían los adornos es mayor que en Huataviro.

La hipótesis principal que plantea Dyrdaahl (2017) para entender la producción en este sitio es que hay una gran diversidad de materias primas trabajadas y la poca cantidad de artefactos recuperados para algunas materias primas sugieren que estas actividades eran a tiempo parcial y no se trataba de especialistas dependientes o patrocinados. Los

adornos producidos pueden haber sido introducidos en redes de circulación que incluían algunas secciones de la costa ecuatoriana e incluso la Amazonia, la sierra norte del Ecuador y el norte del Perú. La evidencia entonces se explica por modelos basados en los bienes de prestigio, regalos y producción artesanal doméstica. Los objetos fabricados eran importantes para muchos grupos y se podían establecer vínculos sociopolíticos (Dyrdahl, 2017).

### **La sierra austral**

En la sierra austral del Ecuador los sitios con evidencia de concha marina pertenecen exclusivamente al periodo Formativo. Algunos de estos sitios son Cerro Narrío, Pirincay, Chaullabamba y Putushío. En la sierra austral se ha encontrado concha no modificada y también concha trabajada en forma de máscaras, platos, *tinklers* y pendientes. Los materiales encontrados incluyen *Spondylus*, *Strombus*, madreperla y *Conus*. Un adorno característico de la región se denomina *Ucuyaya*, un pendiente de forma antropomorfa o zoomorfa (Bruhns, 2003).

Uno de los sitios más reconocidos donde se ha reportado la existencia de grandes cantidades de *Spondylus* es Cerro Narrío (Raymond & Delgado, 2008). Este sitio se encuentra ubicado en el Valle del Cañar y ha sido disturbado durante mucho tiempo. En Cerro Narrío se han encontrado conchas *Spondylus* completas, cuentas y otros adornos (Blower, 1995).

Las fechas radiocarbónicas que se conocen provienen de contextos superficiales. Sin embargo, el conjunto cerámico de Cerro Narrío es virtualmente idéntico al de Pirincay, el cual pertenece al periodo Formativo tardío (1400-1200 a.C.), ubicando a Cerro Narrío en este periodo también (Bruhns, 2003). Temme (1999) propone que este sitio sería un centro regional de fabricación y distribución de *mullos*. Sin embargo, la falta de

desechos de producción y la evidencia de *Spondylus* trabajada sugiere que la concha llegaría acabada a la sierra austral (Bruhns, 2003, 2010).

En el sitio Pirincay (1400-1200 a.C.) hay pocas cuentas de *Spondylus*, pero se encuentran otras especies como *Strombus*, *Conus*, *Anadara*, *Tyropecten* y *Pinctada*. En Pirincay y Chaullabamba no hay evidencia de producción en concha. En Chaullabamba hay más cantidad de madreperla que en Pirincay (Bruhns, 2003). En Putushío (2100 a.C.-1500 d.C. calibrado por Carter 2008) existe evidencia de ofrendas de *Spondylus* pero no se conoce el contenido de las ofrendas (Carter, 2008).

### **La costa ecuatoriana**

La costa ecuatoriana, quizá por sus condiciones ecológicas y la facilidad de acceso a los recursos marinos, ha sido el principal punto de análisis de adornos en cuenta en el Ecuador. Varios estudios han tratado el tema de las *chaquiras* (cuentas discoidales), identificando cadenas operativas y tipos de producción.

Uno de los estudios más tempranos sobre el tema es el de Mester (1985) en Los Frailes (660-1418 cal d.C.). La excavación del montículo Mh-108A reveló la existencia de un taller manteño de madreperla. Este montículo tenía una casa circular y un patio con piso de arcilla y cercados por una pared. La evidencia de producción son valvas de *Pinctada mazatlanica* y *Pteria Sterna*, conchas con secciones extraídas, pedazos cortados de la concha, adornos, taladros de lítica y tablilla de piedra para pulir los adornos. Los adornos son pequeños y la mayoría producidos con *Pteria sterna*. Posiblemente fueron cosidos a algún textil o sirvieron como colgantes. Existen al menos 10 tipos de adornos basados en sus formas geométricas y el número y ubicación de las perforaciones (Mester, 1985)

En el sitio 47 del Valle del Río El Azúcar (sudeste ecuatoriano), un asentamiento perteneciente a la fase Guangala (100 a.C.-800 d.C.) ubicado a 25 km de la costa, se encontraron concentraciones densas de concha marina trabajada, incluyendo *Spondylus* (Masucci, 1995). El Azúcar contiene concentraciones densas de concha trabajada, fragmentos de cuentas y lítica, incluyendo taladros de sílex. También se encontró cerámica, piedra pulida, huesos y conchas no trabajadas. Masucci (1995) llega a la conclusión de que los asentamientos Guangala de El Azúcar representan granjas individuales, hogares o grupos de hogares que sugieren unidades familiares nucleadas o extendidas. El sitio excavado muestra evidencia de ser un sitio residencial donde se llevó a cabo trabajo artesanal en concha marina (*Spondylus calcifer* y *princeps*, *Pinctada mazatlanica* y *Pteria sterna*). Masucci (1995) identifica dos tipos de tamaños de cuentas: el primer grupo tiene un diámetro de 4-8mm, espesor de 1-5mm y diámetro de perforación de 1-2 mm. El segundo grupo tiene diámetros entre 15-20 mm, espesor entre 7-9mm y perforación de 4-5mm.

García y Barriuso (1986) realizaron un estudio de las *chaquiras* de Atacames del Periodo de Integración (500-1500 d.C.). El sitio está conformado por tolas de desecho, de las cuales se recogieron cuentas trabajadas en diversos materiales (concha, arcilla, piedra, hueso y metal). La mayoría de las cuentas estaban revueltas con la basura de las tolas, menos un conjunto que se encontró como collar sobre un individuo (Barriuso, 1980). La mayoría de las cuentas analizadas eran las de arcilla por ser las más numerosas (n=5449). Sin embargo, también se analizaron las cuentas fabricadas en concha (n=1957).

Se encontraron cuentas de concha blancas, rojas y anaranjadas. Las dos últimas posiblemente fueron producidas con la concha *Spondylus*. Las cuentas de concha son

todas circulares y planas (discoidales) con una perforación en el medio cónica o bicónica. Se encontraron cuentas en procesos de fabricación. Las cuentas más pequeñas tienen diámetros de 1mm y espesor de 1mm y las más grandes tienen diámetro de 13,5mm y 4mm de espesor. La mayoría de las cuentas tienen un tamaño entre 5mm y 9mm de diámetro y 3 mm de grosor (García Galván & Barriuso Pérez, 1986). Esta última categoría de cuentas encaja con las medidas que se han propuesto como *chaquira* en este trabajo.

Carter (2008) estudia el uso de concha marina en seis sitios manteño y determina dos cadenas operativas distintas. Los sitios están ubicados en el sur de Manabí y en Santa Elena y comprenden los periodos de la Fase Guangala tardío/Manteño temprano (700-1300 d.C.) y Manteño tardío (1200/50-1532 d.C.). Los sitios analizados son Loma de Los Cangrejitos, Puerto de Chanduy, Mar Bravo, Los Frailes, López Viejo y Salango. En total se analizaron 7782 cuentas, de las cuales 7650 eran de concha marina.

Carter (2008) identifica dos cadenas operativas distintas en esta muestra, las cuales son definidas como chaîne I y chaîne II. La chaîne I consiste en el abastecimiento, reducción por percusión, pulido de las caras y el borde para producir un disco, perforación con microtaladros de lítica y pulido en una superficie abrasiva con múltiples cuentas colgadas juntas en una cuerda fibrosa. Las cuentas de esta cadena operativa parecen estar producidas con *Spondylus* principalmente y se encuentran en la secuencia Manteño temprana (antes de 1300 d.C.). Los sitios que produjeron cuentas con esta cadena operativa son Loma de Los Cangrejitos (700-1100 d.C.) y López Viejo (1200 d.C.). Los consumidores parecen ser Los Frailes (800-1200 d.C.) y Puerto Chanduy (1000-1350 d.C.) (Carter, 2008).

La chaîne II, al contrario, parece tener una tecnología expediente. Esta consiste en obtención, reducción por abrasión, perforación con taladros orgánicos y algunas cuentas colgadas en una cuerda y pulidas rotacionalmente como las de la chaîne I. Estas cuentas no parecen ser producidas en *Spondylus* sino en conchilla. Además son más tardías que las de la chaîne I ya que datan del periodo Manteño Tardío (después de 1300 d.C.) (Carter, 2008).

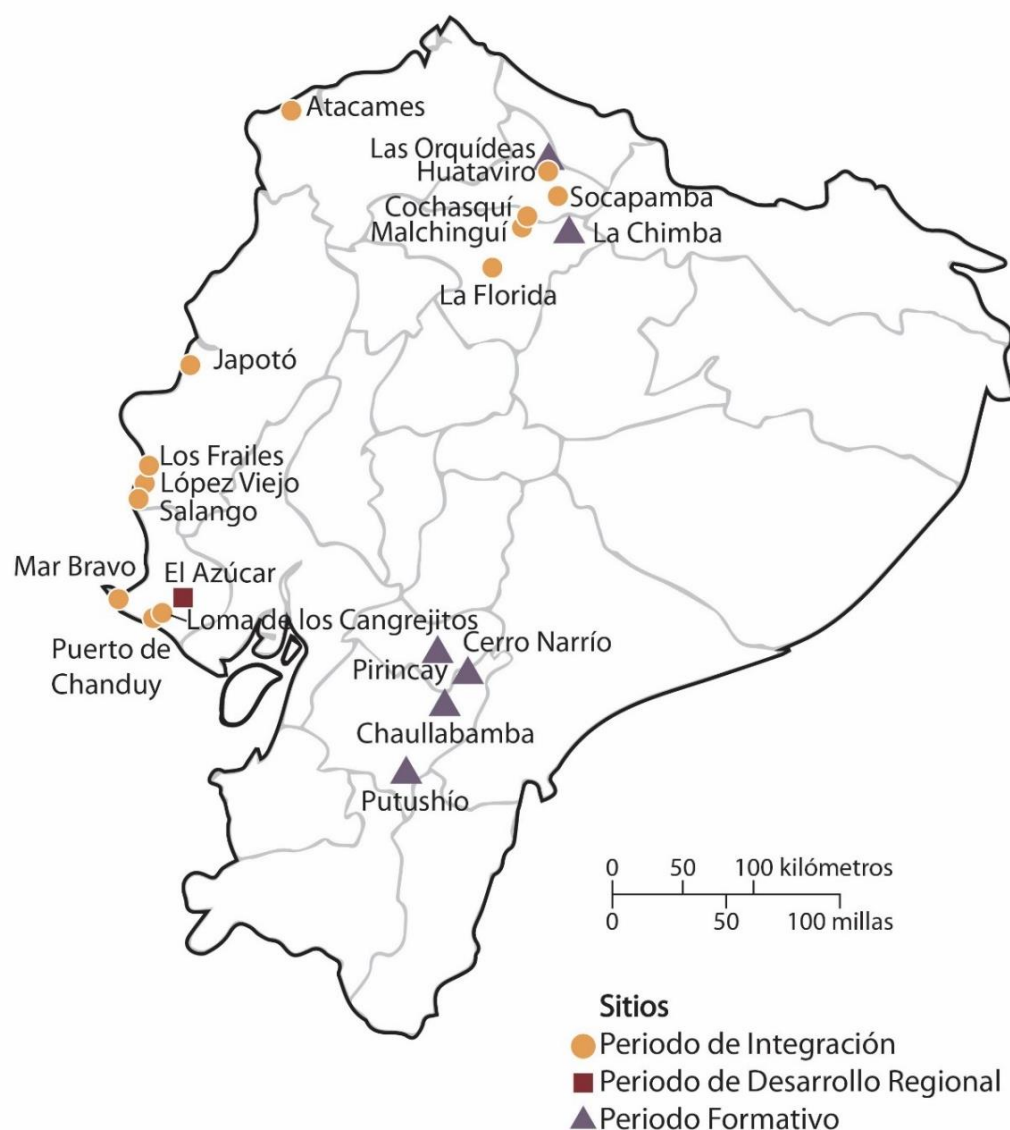
Otro estudio que se ha llevado a cabo en la costa ecuatoriana es sobre los Manteño-Huancavilcas durante el periodo de Integración (800-1535 d.C.). Esta cultura se caracteriza por haber producido un sinnúmero de montículos artificiales, los cuales se han perdido con el paso del tiempo. Uno de los yacimientos donde aún se conservan los montículos es Japotó. El montículo excavado se denominó J4, tiene una altura de 3,5 m y es de forma ovalada con cima plana. Dos de los pozos excavados (Rasgos 4 y 5), presentaban una agrupación de preformas inusual. Los artefactos parecían haber sido contenidos por algún tipo de recipiente o funda lo cual es un hallazgo único hasta el momento para la costa ecuatoriana. En el montículo, se encontraron dos huellas de poste y los restos de un posible festín depositados en un hoyo con restos de animales y cerámica (Guinea, 2006).

La materia prima de las cuentas parece haber sido *Agropecten circularis*. Las preformas encontradas se agrupan en seis tipos: irregulares, triangulares, rectangulares, trapezoidales, cuadradas y redondas. La estandarización de sus dimensiones indica intencionalidad de su fabricación y pueden ser diferentes estadios de la cadena operativa. El diámetro de la perforación es la más regular de las medidas. La perforación en general es cónica (Guinea, 2006).

Se identificaron dos cadenas operativas, pero en ninguna de las dos se encontraron los dos primeros estadios (selección y fragmentación de las valvas). Esto se podría deber a que en este sitio se encontró la segunda parte de la cadena operativa del Manteño Tardío, la cual se podía estar llevando a cabo en los talleres de Salango, Mar Bravo, Puerto Chanduy y Río Chico. De esta forma, se estarían mandando las valvas de concha procesadas a Japotó para la manufactura de los adornos (Guinea, 2006). Como sugiere Guinea (2006), estas cuentas posiblemente son las cuentas chaîne II de Carter (2008).

En la Figura 3 se muestran todos los sitios mencionados en este capítulo y los que tienen evidencia de concha marina en el actual territorio del Ecuador.

Figura 3. Mapa sitios Caranqui y sitios con evidencia de concha marina en Ecuador



### **Entierros de élite en la costa peruana**

La evidencia del uso en entierros de adornos fabricados en concha marina es muy escasa para la sierra norte y casi inexistente para la costa ecuatoriana. Este no parece ser el caso para la costa peruana durante el mismo periodo. En Perú se han registrado tumbas de múltiples individuos con miles de cuentas de concha *Spondylus*, placas de madreperla y caracoles marinos perforados (Alva & Donnan, 1993; Carter, 2011; Haas, 1985; Shimada, 1995).

La revisión y propuesta de periodos presentada por Carter (2008, 2011) para el uso de *Spondylus* en la prehistoria resulta sumamente importante. Los periodos C1 (100 a.C.-700 d.C.) y C2 (700-1100 d.C.) serán revisados ya que estos encajan cronológicamente con la ocupación de Huataviro.

Durante el periodo C1, la evidencia viene principalmente de los entierros de la cultura Moche en la costa del Perú. Carter (2011) denomina este periodo como “la era de la chaquira” debido a que la concha *Spondylus* es trabajada para hacer este tipo de cuentas. Algunos ejemplos muy conocidos de la cultura Moche son Sipán, San José de Moro y Pampa Grande.

En Sipán (1-300 cal d.C.) se excavaron tres tumbas conocidas como El Señor de Sipán, El Sacerdote y El Viejo Señor de Sipán. La tumba del Señor de Sipán es una de las tumbas más ricas que se han encontrado. En esta tumba se encontraron siete pectorales de cuentas blancas, rojas, rosadas, verdes y amarillas y que en algunos casos formaban patrones. También se hallaron valvas de *Spondylus* completas, así como en las dos otras tumbas, y brazaletes de cuentas. En la tumba de El Sacerdote se encontraron dos pectorales de cuentas blancas. En la tumba de El Viejo Señor de Sipán se encontraron pectorales de cuentas trapezoidales y rectangulares (Alva & Donnan, 1993).

En San José de Moro, en una tumba perteneciente al periodo Mochica Tardío (400-600 d.C.) se encontró como parte del ajuar funerario un pectoral formado por miles de cuentas que se sujetaban de un pasador con 85 agujeros (Ruiz Rosell, 2008). En Pampa Grande (600-700 d.C.), se recuperó un collar con 46 pendientes trapezoidales que fueron ordenados por longitud más algunas cuentas discoidales. También se encontró otro collar con 52 pendientes y cuentas (Haas, 1985).

La evidencia de consumo de cuentas *Spondylus* para la sierra peruana es más limitada. El consumo en la sierra peruana se centra en el Valle de Condebamba, en Cerro Amaru y Marcahuamachuco (350-800 d.C.) y entre los Huari imperiales (540-900 d.C.). En Cerro Amaru se recuperaron 3000 *chaquiras* y aproximadamente 90 placas rectangulares sacadas de un pozo. En Marcahuamachuco, se recuperaron 9,6 kg de concha *Spondylus*. En el sitio Huari llamado Cheqo Wasi se encontraron pendientes trapezoidales, piezas grandes de *Spondylus* trabajada y cuentas discoidales (Carter, 2011).

Durante el siguiente periodo (periodo C2, 700-1100 d.C.) propuesto por Carter (2011), los mayores consumidores de la costa norte del Perú fueron los Sicán (750/800-1375 d.C.) del Valle de Lambayeque. La evidencia de consumo de *Spondylus* viene de los entierros de élite, ofrendas dedicatorias encima de montículos e iconografía. Dos grandes tumbas de élite se han excavado en Huaca de Loro en el área de Batán Grande (Carter, 2011).

En la Tumba Huaca de Loro, del periodo Sicán Medio (900-1100 d.C.), el tórax del personaje principal del entierro se encontraba cubierto por al menos cuatro capas de

cuentas (Shimada, 1995). En una de las tumbas excavadas en este sitio, se encontraron 179 valvas de *Spondylus* (Carter, 2011).

### **CAPÍTULO III: MARCO TEÓRICO**

Las tumbas de Huataviro nos invitan a pensar sobre varios temas. Por un lado, podemos reflexionar sobre los cambios en la organización política, social y económica de la región a lo largo de más de 1.000 años. Esto es posible ya que a menos de 1 km de Huataviro, se encuentra el sitio del Formativo Tardío Las Orquídeas. Por otro lado, podemos indagar sobre el estatus, el poder y las jerarquías dentro de una sociedad.

Pensando de una forma global, entre el sitio Las Orquídeas (Formativo Tardío) y Huataviro (Integración temprano) parece existir un cambio en la estructura sociopolítica predominante en la zona. Las Orquídeas tiene una economía basada en la circulación de regalos sin mayor evidencia de jerarquías marcadas (Dyrdahl, 2017). En Huataviro, las jerarquías se hacen evidentes por el contraste de las tumbas de élite con las tumbas sin ajuar. En base a la evidencia de Huataviro, se puede comprender más profundamente el desarrollo de los sistemas cacicales tempranos en la zona y los factores que influyeron en su génesis (Pazmiño, 2014).

Existen varias formas de pensar el cambio social. Para comprender como una sociedad cambia de un tipo de organización a otro, Spencer (2019) toma una postura macroevolutiva, la cual postula que los cambios a largo plazo son el producto de mecanismos evolutivos. Los cambios se dan a través de picos evolutivos, es decir, existen periodos de relativa estabilidad, puntuados por cambios drásticos. Siguiendo la postura macroevolutiva de Spencer, la evidencia de gran cantidad de ajuar funerario en Huataviro podría estar representando un pico evolutivo de complejización social donde esta sociedad está pasando de una forma de organización a otra.

Los eventos, pensados como acontecimientos o encuentros que transforman la articulación de las estructuras sociales, sirven para comprender los cambios en las estructuras sociales (Beck Jr. et al., 2007). Desde esta perspectiva, los eventos ocurren en tres etapas: 1) una secuencia de sucesos que dependen del contexto produce 2) múltiples rupturas en la articulación de los recursos y esquemas de la sociedad, creando 3) la oportunidad de una rearticulación. De esta forma, los eventos para Sewell (2005) son una secuencia de ocurrencias que resultan en la transformación de las estructuras existentes. Una forma fácil de explicar esto es que en un sistema social existe cierta estabilidad. En algún punto, sucede algo que crea una disyunción estructural por lo cual las estructuras que predominaban dejan de tener sentido. Para solucionar esta crisis, se crean nuevos esquemas que dan sentido al mundo. Durante esta rearticulación creativa según Sewell (2005), las emociones se amplifican y por esto, pueden surgir nuevas prácticas rituales para sancionar y formalizar el nuevo orden emergente (Beck Jr. et al., 2007).

Como he indicado en párrafos anteriores, entre Las Orquídeas y Huataviro parece existir un cambio en la organización social y política de la zona. Un evento a nivel regional podría estar afectando los esquemas que se tenían, haciendo que las élites creen nuevos rituales para legitimar este nuevo orden. Estas ceremonias podrían constituir el uso y exhibición de adornos exóticos como los de concha marina.

Se puede pensar en un sistema con una estratificación social marcada y poder centralizado en Huataviro. El surgimiento de estos dos podría deberse a que Huataviro estaba pasando por condiciones que creaban un “cuello de botella” (Earle & Spriggs, 2015). Los cuellos de botella, desde la teoría marxista, son puntos de constricción en las cadenas de productos que ofrecen a un líder aspirante la oportunidad de limitar el acceso

a recursos, tecnologías o conocimientos. La creación de la propiedad facilita la extracción de excedentes. Un ejemplo de estas situaciones en la manufactura y control mediante el patrocinio de artesanos de objetos simbólicos (Earle & Spriggs, 2015).

Las tumbas de élite contrastadas con tumbas con muy poco ajuar nos permiten adentrarnos en la discusión sobre emergencia de liderazgo y las jerarquías sociales. Algunas formas de comprender el surgimiento de la jerarquía social postulan que el poder nace cuando alguien controla los recursos críticos (Brown, 1981, p. 27). Otra forma de entender el surgimiento de la jerarquía es que esta nace como una necesidad por la redistribución de recursos, como una forma de afrontar la inseguridad en el abastecimiento de alimentos (Brown, 1981). Siguiendo estas líneas de pensamiento, Earle (1997) recalca que el poder sobre la economía es un poder directo y material sobre la vida de las personas. El poder económico deriva del control sobre sectores estratégicos de la economía, como la producción y el intercambio.

Para Roscoe (2017), el liderazgo en sociedades de pequeña escala es un producto de la competición por obtención de estatus, el cual se puede adquirir a través de la guerra o la exhibición material. El estatus se refiere a la evaluación moral positiva de miembros de la comunidad a cualidades y comportamientos de alguna persona en específico. El estatus es una forma de capital que se puede usar bajo ciertas condiciones para acumular poder.

Hay diversas líneas de pensamiento para entender las rutas hacia la complejidad social. Uno de estos es el trabajo de Earle (1997), quien identifica tres fuentes de poder: económico, militar e ideológico. Estos tres, dependen a su vez de los otros tipos de poder. El poder económico se basa en la habilidad de restringir el acceso a recursos

productivos y bienes de consumo. El control se logra, entonces, a través del dominio sobre los recursos, la tecnología y el intercambio. En sociedades cacicales, el control sobre la producción e intercambio de productos básicos y objetos suntuarios crea la base del poder político. El poder militar se trata de una suerte de obediencia por coerción, que puede ser una fuente problemática de poder social. Por último, el poder ideológico deriva de rutinas de obediencia: establece estructuras autoritarias e institucionaliza prácticas de gobierno. De cierta forma, impone formas de pensar y actuar.

Si volvemos a pensar en la evidencia de Huataviro, las tumbas con grandes cantidades de ajuar funerario podrían corresponder a estos segmentos de élite de la sociedad. Las ideologías pueden estar asociadas a segmentos sociales específicos, los cuales son pensados como poseedores de creencias, comportamientos, rituales y cultura material específica (Earle, 1997). Esto podría significar que los personajes de élite enterrados en Huataviro eran pensados como estos otros segmentos sociales y la ideología se estaba presentado en una forma material, lo cual significa que posiblemente los adornos de las tumbas corresponden a ideologías materializadas (DeMarrais et al., 1996; Earle, 1997).

Cuando pensamos en enterramientos, sin embargo, es importante tener en cuenta que las prácticas mortuorias no necesariamente reflejan la realidad de la vida del difunto, sino que son una suerte de expresiones materiales de relaciones idealizadas (Pearson, 1982). De esta forma los muertos son simbolizados en el comportamiento funerario. Además, los ritos que se lleven a cabo en el funeral y el entierro van a depender del reconocimiento que haya tenido el difunto y la relación con las personas que lo están enterrando (Brown, 1981).

Una de las diversas formas de control económico de las élites podría tratarse del control sobre sectores clave de la producción especializada y la distribución de objetos exóticos. Desde la propuesta de Earle (1997), las élites podrían tener bajo su auspicio a artesanos especializados y, además, podrían controlar alguna parte del intercambio de dichos bienes, logrando acumular poder y simbolizar relaciones que estructuren la jerarquía social. Los bienes de prestigio como la concha marina podrían simbolizar capacidad de intercambio y valor social. La ventaja de este tipo de bienes sobre otros, es que son fácilmente transportables a larga distancia y su control ayuda a la jerarquización social (Earle, 1997).

Esta propuesta, sin embargo, ha recibido un sinnúmero de críticas y ha mostrado no ser compatible con muchos de los sistemas sociales del pasado. Inicialmente, esta parecía la mejor opción para explicar el sistema económico y político que existía en Huataviro. Como veremos en el desarrollo de este trabajo, este no fue el caso.

Desde una perspectiva, las fuentes de poder están influenciadas por condiciones históricas específicas y la forma en las que estas se ordenan (Earle, 1997). Por otro lado “la identificación de tipos de producción depende de la determinación de tipos de bienes y relaciones en cuestión ya que los bienes derivan sus identidades por las relaciones sociales antes que sus propiedades intrínsecas” (Clark, 2008, p. 26, traducción propia). De esta forma, se vuelve evidente que el contexto puede dar grandes pistas sobre el valor y los tipos de producción de algunos artefactos.

El problema surge ya que Huataviro ha sufrido múltiples afectaciones debido a actividad antrópica: la construcción de una carretera afectó una parte del montículo y subsecuentes episodios de huaquería han afectado las distintas tumbas. Sin embargo, es

claro que existen tumbas con una gran cantidad de ajuar funerario y otras con muy poco o ningún tipo de ajuar.

### **Adornos, élites y estatus**

Huataviro es un sitio arqueológico que evidentemente se inserta en las lógicas de complejización de los sistemas de organización sociales, políticos y económicos de la región. A grandes rasgos evidencia la existencia de diferencias sociales que se ven reflejadas en los distintos tipos de enterramientos.

Hablar del pasado a través de la cultura material es una gran tarea que se ha propuesto la arqueología. No es fácil hablar con certeza sobre las formas de vida de las sociedades prehispánicas y, sin embargo, las diferencias en cantidad y componentes del ajuar funerario que se encuentran dentro de las tumbas de Huataviro nos permite abordar temas como producción de objetos de valor y la adquisición de poder de las élites a través de estos objetos. Como punto de partida, podemos tomar en consideración que los objetos son una forma de producción de vida social, los cuales tienen distintas funciones: utilitarios, sociales e ideológicos (Costin, 2016).

Los ornamentos, trajes y adornos son una forma para modificar el cuerpo humano. A través de estos objetos se pueden establecer y negociar identidades que unifican o distinguen a través de la creación de comunidades. Los que están en el poder tienden a usar su acceso a los recursos para adquirir ornamentos más valiosos, más grandes y en mayor cantidad (Carter & Helmer, 2015).

La ideología frecuentemente es materializada, y es principalmente su materialización que nos permite investigarla en la arqueología. Es decir, las ideas, los valores, las historias y los mitos pueden ser convertidos en realidades físicas como objetos de valor

o monumentos (DeMarrais et al., 1996). El concepto de ideología no es fácil de definir y existen muchas formas de hacerlo. Para Hodder (1984, p. 351), "...la ideología es el marco en el que, desde un punto de vista dado, se da valor a los recursos, se definen las desigualdades y se legitima el poder". DeMarrais et al. (1996) abordan el concepto de ideología reconociéndola como un elemento central en los sistemas culturales, siendo esta conceptualizada como una fuente de poder social.

El poder es la habilidad de perseguir y conseguir objetivos a través del dominio del ambiente de uno mismo. El poder social se distingue por dos aspectos principales. El primero es que el poder social se trata de dominio sobre otras personas. Segundo, el aspecto colectivo del poder, estipula que las personas en cooperación pueden aumentar su poder sobre terceros o sobre la naturaleza (Mann, 1986). Mann también identifica cuatro fuentes de poder: político, ideológico, social y económico.

Estas perspectivas conceptualizan a las ideologías desde los objetivos de los segmentos dominantes. Por otro lado, para Inomata (2001) la ideología es un aspecto de la condición humana en la cual las personas desarrollan su mundo como actores consencientes en una sociedad que tiene sentido para ellos. La ideología de ninguna forma podría ser una forma neutral de valores y creencias y lleva a los integrantes de una sociedad a aceptar sus roles y posiciones.

Al ser la ideología algo muchas veces intangible, pensar en su materialización es esencial para indagarla en las sociedades del pasado ya que permite que lo intangible se conserve en forma de cultura material. En algunos casos, este proceso de materialización hace posible que un grupo reducido de personas- las élites gobernantes- controle, manipule y extienda la ideología más allá del grupo local (DeMarrais et al.,

1996). La ideología adquiere entonces un rol principal en la creación de poder social cuando se le puede dar forma material y un grupo dominante se encarga de controlarla (DeMarrais et al., 1996).

En este sentido, las relaciones de poder están estrechamente ligadas a la ideología (Inomata, 2001), ya que esta las legitima y da cabida. La adopción de distintas formas de materialización depende de las capacidades de los líderes y sus recursos (DeMarrais et al., 1996).

En el caso de Huataviro podemos observar dos tipos de ideologías materializadas. Por un lado, algunas perspectivas proponen que los monumentos públicos y paisajes, como los montículos o las pirámides, asocian a un grupo con un lugar y podrían estar representando el poder y autoridad de los líderes (DeMarrais et al., 1996). Sin embargo, también podrían ser espacios comunitarios de los cuales ciertas personas se están intentando apropiar del espacio. Los monumentos pueden ser experimentados simultáneamente por una gran audiencia y son expresiones más permanentes de la ideología que vinculan a un grupo con su territorio, definiendo también las relaciones verticales de una sociedad (DeMarrais et al., 1996). Los objetos simbólicos, como el ajuar funerario, son significadores de las posiciones sociales y poder político individual. En los enterramientos, el ajuar funerario cumple esta función hasta después de la muerte. Algunos de estos objetos están hechos de materiales exóticos y raros, apreciados por su valor comercial, así como por su significado. En este sentido pueden también develar relaciones de dependencia, afiliación o correspondencia (DeMarrais et al., 1996).

**Intercambio interregional**

Las élites de Huataviro seguramente se encontraban insertas en redes de intercambio para la adquisición de la materia prima o de los adornos acabados con la costa ecuatoriana, como se ha sugerido para el sitio La Florida en la hoya de Quito (Ugalde, 2007). El intercambio interregional en los Andes no es nuevo y hay ejemplos de intercambio desde el periodo Formativo en los Andes septentrionales (Athens, 1976; Dyrdaahl, 2017).

Los adornos fabricados en concha marina que se encontraron en enterramientos de la sierra norte del Ecuador son una irrefutable evidencia de intercambio interregional a larga distancia. Los objetos encontrados en la tumba 2 pueden ser catalogados como objetos exóticos. En muchos contextos socioculturales, este tipo de objetos denotan estatus y representan acciones asociadas a su adquisición. Este tipo de objetos tienen también un acceso limitado y generalmente requieren del intercambio para ser adquiridos (Gaffney et al., 2019).

El intercambio a larga distancia es un tema de sumo interés para la arqueología y el estudio de concha marina puede ser una herramienta fundamental. Una de las motivaciones para el intercambio a larga distancia puede ser que, la adquisición de materiales exóticos (como la concha marina) por parte de grupos humanos que no tienen acceso a este recurso puede simbolizar poder y prestigio por las dificultades de adquisición y transporte (Helms, 1993; Trubitt, 2005).

De forma muy general, el intercambio es la distribución espacial de materiales que pasan de mano en mano y de un grupo social a otro. Los contextos sociales donde se desarrolla el intercambio son importantes, ya que definen las necesidades sociales más allá de la biología y afectan la forma y posibilidad de las relaciones de intercambio

(Earle, 1982). Determinar precisamente cómo se dio el intercambio en contextos arqueológicos es difícil, por esta razón, se puede hablar de la producción y el consumo de bienes ya que, la producción se puede relacionar con el intercambio: las distintas formas de producción podrían corresponder a distintas formas de intercambio (Earle, 1982).

En muchos casos, los objetos artesanales de origen exótico son considerados como poseedores de poderes casi talismánicos en la estructuración de las interacciones entre élites geográficamente distantes (Goldstein, 2000). Por estas razones, es relevante tomar en cuenta el simbolismo de los artefactos, ya que este legitima, aporta y provee bases de poder de los grupos de interés. En algunos contextos, el estatus depende del acceso a la riqueza material y estos pueden estar restringidos a la élite. En otros contextos, la emulación de los símbolos hacia los estratos más bajos de la sociedad pueden formar los principios de la estratificación social (Hodder, 1982).

### **Producción artesanal**

El tema de los adornos y de su valor está estrechamente relacionado con los tipos de producción ya que “...la producción no se trata solamente de hacer cosas; se trata de imbuirlas con todas las cualidades necesarias para que puedan conseguir su máxima utilidad social” (Costin, 2016, p. 2). En la mayoría de las sociedades, los objetos de prestigio se encargan de transmitir información y materializar creencias. Estos ítems tienen valor más allá de cualquier función utilitaria que puedan servir: son socialmente valorados y su proceso de producción es en sí un factor clave en la creación del significado social, político y simbólico. En sociedades con cierto nivel de jerarquización -como Huataviro- estos objetos podrían ser usados para legitimar el poder en el espacio

político, contribuyen a la adquisición y consolidación de capital político y social entre aquellos en posición de poder y autoridad (Costin, 2016).

Costin (2016) utiliza el concepto de *techné* para comprender como los procesos de producción crean valor y significado para los objetos de valor social y monumentos públicos. El trabajo de Costin se basa en las sociedades complejas precolombinas de los Andes y Mesoamérica, su revisión teórica es de suma utilidad: “*Techné*, como se define aquí, sitúa la producción como una actividad profundamente incrustada en la vida social” (Costin, 2016, p. 5). Esta perspectiva considera el rol de la cultura material en la vida social, los elementos simbólicos e ideológicos de la producción, el proceso de creación y los roles de los artesanos, patrocinados y consumidores en la creación del valor, poder y significado (Costin, 2016).

Los objetos fabricados pueden ayudar a sostener y comunicar ciertos aspectos de la ideología. La producción artesanal es una actividad cargada de elementos ideológicos que tiene como componente esencial al conocimiento, el cual permite a los productores y espectadores de las artesanías codificar y decodificar los mensajes políticos e ideológicos (Inomata, 2001).

El significado ritualístico y metafórico de la producción especializada deviene en que los artesanos especializados y/o sus patronos, se conviertan también en vehículos de estos significados. Esto no solo se debe al conocimiento técnico que poseen los artesanos, sino a sus cualidades morales y éticas relacionadas a la ideología, política e historia mítica de su *polity* (Helms, 1993). Desde esta perspectiva, los artesanos especializados, a través de sus actos de creación, mantienen vivos los vínculos que se

creo conectan a su *polity* y gente con energías supernaturales del mundo exterior (Helms, 1993).

### **Producción especializada y producción doméstica**

Con un caso como el de Huataviro, creo que habría una cierta propensión a pensar que las élites estarían controlando la producción y el intercambio de los bienes de prestigio. Esta perspectiva argumenta que con el objetivo de mantener el valor y las asociaciones de los objetos simbólicos, las élites podrían limitar el acceso a la materia prima usada en su producción, la tecnología de su manufactura o la labor especializada para su creación (Brumfiel & Earle, 1987; DeMarrais et al., 1996). Las élites podrían tener bajo su auspicio a artesanos especializados y, además, podrían controlar alguna parte del intercambio de dichos bienes, logrando acumular poder y simbolizar relaciones que estructuren la jerarquía social (Earle, 1997).

La producción artesanal y especialización en la producción son dos conceptos de suma utilidad para entender cómo puede emerger e institucionalizarse el poder en una sociedad (Carter, 2008). La producción artesanal dependiente surge del deseo explícito de las elites gobernantes por controlar objetos políticamente cargados (Inomata, 2001). Aunque se encuentren estrechamente relacionados, la producción y la especialización no son lo mismo; la producción es la transformación de materia prima en objetos utilizables y la especialización es una forma en la que se puede organizar la producción (Brumfiel & Earle, 1987; Flad & Hruby, 2007).

La especialización concierne la diferenciación e interdependencia: la existencia de individuos que producen bienes o servicios para una población de consumidores más

amplia (Brumfiel & Earle, 1987). Para diferenciar la producción especializada y la no especializada, generalmente se toman en cuenta criterios como la cantidad de tiempo que se emplea en la actividad, la presencia de un título para el artesano y el pago en dinero o especie por los productos del especialista (Costin, 1991).

Cuando muchos piensan en la producción especializada, están pensando también en la producción dependiente, en la cual, el productor depende de sus patronos para asegurar su subsistencia. Por otro lado, también los productores independientes solo se dedican a la manufactura de objetos a tiempo parcial y no están necesariamente controlados por un jefe. Además, realizan otras actividades como adquisición de comida para suplir sus necesidades básicas (M. S. Meyers, 2014).

La perspectiva tradicional propone que la diferencia entre los productores dependientes e independientes es el tipo de bienes que producen: los productores dependientes estarían fabricando bienes altamente valorados y especiales, mientras que los productores independientes estarían haciendo productos utilitarios para una población general (Costin, 1991; Earle, 1982).

Costin (1991) identifica algunas características de la producción dependiente y la producción independiente. Estas características se basan en los cuatro parámetros para describir la organización de la producción. Estos cuatro parámetros son el contexto (afiliación de productores y componente sociopolítico de demanda de productos), la concentración (organización geográfica de la producción), la escala (principios de composición de la unidad de producción) e intensidad (tiempo que productores invierten) (Costin, 1991, pp. 11–16). En la Figura 4 he realizado un resumen de las

características de la producción dependiente y la producción independiente desde esta perspectiva tradicional.

Figura 4. Características de la producción dependiente y la producción independiente según Costin (1991)

	<b>Producción dependiente</b>	<b>Producción independiente</b>
Contexto	<ul style="list-style-type: none"> <li>-Producción patrocinada y manejada por élites (p.11)</li> <li>-Bienes de importancia clave en la economía política, estatus y poder.</li> <li>-Restricción de acceso a los bienes (p.11)</li> <li>-Relación cliente-patrono determina disponibilidad de productos (p.12).</li> <li>-Surgimiento por factores sociales, políticos y presencia de clase de élite (p.12-13).</li> </ul>	<ul style="list-style-type: none"> <li>-Producción para un mercado general de clientes potenciales. (p.11)</li> <li>-Bienes utilitarios</li> <li>-No restricción en acceso o distribución.</li> <li>-Surge por factores económicos como la demanda (p.12).</li> <li>-Especialización independiente puede surgir bajo condiciones de distribución desiguales de recursos (p.12).</li> </ul>
Concentración	Mayoría de artesanos están nucleados (p.14)	-Artesanos más dispersos
Escala	<ul style="list-style-type: none"> <li>-Escala determinada por necesidades de supervisión (p.16)</li> <li>-Contextos de producción más grandes</li> </ul>	<ul style="list-style-type: none"> <li>-Escala de producción determinada por eficiencia (p.15)</li> <li>-Contextos de producción más pequeños</li> </ul>
Intensidad	-Más entrenamiento y habilidad requiere trabajadores a tiempo completo (p.17)	-Reducción del riesgo combinando con más actividades (p.17)

Nota: esta figura está realizada con base a la información de Costin (1991).

La perspectiva sobre la producción dependiente es muy atractiva, sin embargo, no parece haber sido tan común como inicialmente se pensaba ya que la mayoría de la producción artesanal premoderna se daba en contextos domésticos (Hirth, 2009). En muchos sentidos, las investigaciones de producción artesanal en las décadas posteriores al desarrollo de la perspectiva tradicional han identificado varios problemas con ella. Si bien la visión generalmente ha sido que la producción independiente a tiempo parcial no estaba relacionada a las élites, este no parece ser el caso. La producción especializada en pequeña escala era un componente sumamente importante de las economías domésticas premodernas (Hirth, 2009).

La discusión sobre la producción especializada contra producción no especializada ha estado enfocada al tiempo parcial o tiempo completo, no obstante, sería más útil que la discusión se enfoque en las estrategias que las unidades domésticas adoptaron y como la producción artesanal estuvo integrada en la economía doméstica (Hirth, 2009). Clark (2008) postula que los estudios clásicos sobre especialización han dejado a un lado temas como las relaciones entre las personas y los objetos, acción, y la forma en la que los objetos adquieren valor.

Hirth (2009) identifica algunas concepciones que han dominado las discusiones sobre producción artesanal. La primera es asumir que la producción a tiempo completo es una forma más especializada de producción que la de tiempo parcial. La producción a tiempo completo se asocia a especialización y destreza/habilidad. Al contrario, la producción a tiempo parcial es asociada a sociedades de pequeña escala y economías menos desarrolladas. Sin embargo, el tiempo que los artesanos emplean en sus labores no es una representación del sistema económico en la cual participan: el consumo puede

ser alto incluso bajo condiciones donde todos los bienes son producidos en contextos domésticos por productores a tiempo parcial.

Una segunda concepción es asumir que la producción doméstica tiene menos productividad por limitaciones de mano de obra en el hogar. Sin embargo, la escala de producción en contextos domésticos está directamente relacionada a la mano de obra disponible. Los hogares se benefician por tener una gran y eficiente fuerza de trabajo (Hirth, 2009).

Finalmente, asumir que las élites controlaron la producción de objetos de valor por el rol que estos bienes jugaban en la operación de economías políticas premodernas ha llevado a que no se tome suficientemente en cuenta la producción artesanal en los hogares. El problema con esto es que los artesanos independientes eran igual, sino más importantes en estas sociedades y no debemos sobre estimar el rol de las élites en la dirección de las actividades económicas. Pensar en una producción consignada de las élites es importante porque subraya la existencia de artesanos independientes que tienen experticia para producir bienes de lujo (Hirth, 2009).

Para Inomata (2001), la producción especializada no debe tener implicaciones sobre la dependencia de especialistas en patrocinadores que les provean materiales de subsistencia. La especialización en la producción puede ser definida como “la producción de bienes alienables por un segmento de la población para consumo fuera de los hogares de los productores” (Inomata, 2001, p.322).

Dyrdahl (2017) propone que cambiar el foco de atención a la producción en contextos domésticos significaría que la producción dejaría de ser una actividad centralizada y se volvería dispersa. La mayoría de la población tendría acceso a los bienes producidos, se

encontraría más variación en los procesos de producción, la calidad de los objetos también cambiaría y más materias primas podrían ser usadas porque el acceso continuo a materia prima no sería requerido.

La motivación de las élites ya no estaría enfocada al control de la adquisición de materia prima, producción de los bienes de prestigio y control sobre la distribución de estos, sino que la calidad, cantidad o variedad de los adornos sería el factor principal. Mientras buscaban obtener más adornos o una cantidad más grande o más diversidad, los individuos aspirantes estarían apostando por el valor establecido de estos ítems como el fundamento para sus reclamos de una posición especial en su comunidad. Poner los ítems en circulación durante estos eventos en una sociedad serviría como una demostración del status de los individuos (Dyrdahl, 2017).

Sobre la base de estos argumentos y a partir de una contextualización y comparación principalmente de las cuentas discoidales, yo apostaría por una producción artesanal en contextos domésticos para los adornos encontrados en la tumba 2 de Huataviro.

Además, argumento que los adornos que se han encontrado tuvieron muy poco o ningún uso antes de ser depositados. Espero contribuir con este estudio a pensar en la producción artesanal en contextos domésticos y como esta beneficia a las élites, sin que ellas tengan que auspiciar o controlarlas directamente.

### **Estandarización y variación**

Una de las formas en la que los arqueólogos han obtenido información es a través de la variación en los conjuntos de artefactos. Esto ha servido para construir tipologías y documentar cambios en los artefactos a través del tiempo. La variación y

estandarización en los conjuntos de artefactos también puede develar información sobre la organización de la producción de la sociedad estudiada (Eerkens, 2000).

Para desarrollar esta idea, he tomado el concepto de disposiciones desarrollado por Carter (2008) en su tesis doctoral. Los actos de los humanos están ampliamente basados en las disposiciones, las cuales son creencias sobre cómo el mundo funciona y como la vida debe ser vivida. Las disposiciones duraderas, el *habitus* en los términos de Bourdieu (1977, 1990), son las versiones de cada individuo sobre la estructura social, las cuales refuerzan las estructuras sociales compartidas. El éxito tecnológico depende de las disposiciones con respecto a la tecnología ya que definen lo que es un artefacto correcto y la variación que puede existir desde el ideal (Carter, 2008).

La estandarización es una medida relativa del grado al cual los artefactos están producidos para ser iguales. La variación refleja el grado de tolerancia para la desviación de un tamaño, forma, método o construcción estandarizado (Eerkens & Bettinger, 2001).

En la arqueología, una medida de dispersión pequeña es definida como estandarización, la cual se asocia a la habilidad del artesano y sus disposiciones. Las dimensiones de los adornos hechos por artesanos experimentados deberían tender a ser más homogéneos, es decir, tener una distribución más reducida. Como se ha mencionado, la Tendencia Central estaría representado el ideal y la Medida de Dispersión representaría la variación desde aquel ideal. Un artesano puede ser capaz de producir artefactos altamente estandarizados, pero si no consideran la estandarización importante, es más probable que permitan la variación de su producto. Esta variación, sin embargo, todavía

estará dentro del rango de los que es aceptable y por consiguiente “correcto” (Carter, 2008).

En los talleres dedicados a la producción de un solo tipo de artefacto, la estandarización probablemente está asociada a la especialización, pero en contextos de no talleres, la estandarización también se puede encontrar, aunque tal vez en un grado menor.

Además, los artesanos menos experimentados podrían producir objetos con una mayor variación (Carter, 2008).

En este punto, surge la preocupación sobre el rol que puede jugar el error humano como una fuente de variación. La percepción está relacionada a la estandarización ya que los productores y consumidores deben percibir, principalmente de forma visual, si el objeto que produjeron o adquirieron tiene el tamaño y forma deseado (Eerkens, 2000).

La mayor variación encontrada en las cuentas de la tumba 2 se podría explicar en el error y el tamaño de los objetos está correlacionado: las personas cometen errores absolutos más grandes cuando hacen objetos más grandes. Este fenómeno es producto de como el cerebro humano interpreta, mide y compara información visual y de otros sentidos (Eerkens & Bettinger, 2001).

Basándose en experimentos con poblaciones actuales, Eerkens y Bettinger (2001) determinan que cuando los humanos intentan estimar el tamaño o magnitud de un objeto visualmente, hacen errores que se hacen más grandes en tamaño absoluto cuando el tamaño el objeto incrementa; mientras más grande el objeto, más grande es el error absoluto en tamaño estimado. De forma similar, cuando la gente intenta hacer un objeto de una imagen o modelo, cometen errores que incrementan en tamaño absoluto mientras el tamaño de la plantilla aumenta.

Esta forma de conceptualizar la producción es una gran herramienta, sin embargo, ¿dónde está la línea que divide la estandarización de la no estandarización? La respuesta: no existe un valor mágico para interpretar. La solución que encontré ante este problema es tomar estudios que hayan realizado medidas de los adornos y comparar con esos trabajos. Ya que estos estudios tuvieron un contexto más amplio para entender las formas de producción, es posible comparar y entender más a profundidad.

## CAPÍTULO IV: METODOLOGÍA

El estudio de la tecnología del pasado forma el centro de prácticamente toda la arqueológica, ya que el récord arqueológico está constituido por los restos materiales de las actividades humanas (Dobres, 2010). En esta investigación, he seguido el camino del análisis tecnológico a través de un análisis detallado de los adornos hechos de concha marina encontrados en la tumba 2 del sitio Huataviro.

Los diversos tipos de adornos proveen información distinta y su manufactura incluye diferentes grados de trabajo antrópico. Por ejemplo, parece que la fabricación de pendientes en *Oliva sp.* solo se trataba de remover el ápice de este gasterópodo y hacer un pequeño orificio en la parte dorsal (Arnold, 2012; Dyrdaahl, 2017). En el otro extremo, tenemos a las pequeñas cuentas discoidales, las cuales necesitarían muchos más pasos en el proceso de manufactura como reducir la concha, cortarla, crear preformas, pulirla y realizar un perforación en el centro del disco (Carter, 2008).

El primer paso que se tomó con todos los adornos fue revisar investigaciones que analizaran de forma exhaustiva adornos parecidos. Para establecer comparaciones y utilizar categorías previamente validadas, este trabajo está basado en las tesis doctorales de Carter (2008) y Dyrdaahl (2017). Ambos autores ponen sus esfuerzos en obtener medidas precisas con calibradores digitales de los distintos atributos de los adornos y analizan detalladamente la información obtenida mediante metodologías que serán abordadas más adelante.

La metodología que se usará se denomina *Chaîne opératoire* o cadena operativa, la cual busca reconstruir las transformaciones culturales por las cuales pasó una materia prima (Sellet, 1993). Para lograr este objetivo, se toma en consideración la obtención de la

materia prima, su transformación en un producto, la forma en la cual el producto fue usado, consumido, mantenido y descartado (Sellet, 1993). Además, se enfoca en entender los intercambios que se podrían haber dado entre los otros pasos (Carter, 2008; Hirth, 2008; Masucci, 1995). La utilidad de este tipo de investigación es que incluso en las situaciones que no sean ideales y aunque no se puedan identificar todos los pasos en el proceso de producción, se puede obtener una cantidad relevante de información sobre los procesos económicos-especialmente producción- relacionados con la vida útil de los artefactos (Dyrdahl, 2017).

### **Establecimiento de tipología de adornos: cuentas, pendientes y placas**

Uno de los objetivos de este trabajo es desarrollar una tipología de los adornos encontrados en la tumba 2 del sitio Huataviro. Es posible obtener la información necesaria para realizar esta labor a través del análisis de cada uno de los adornos. La variación en medidas como el diámetro, en el caso de las cuentas discoidales, puede dar pautas sobre los tipos existentes. En el caso de los pendientes de caracoles marinos, los tipos de perforación constituyen una buena forma de agrupar estos adornos. En las placas, la ubicación y el número de perforaciones pueden ayudar en la creación de la tipología. Estos aspectos no son los únicos que se tomarán en cuenta, ya que es importante considerar las otras variables y compararlas.

### **Análisis estadístico**

Un segundo objetivo de este trabajo es identificar patrones de variación y de estandarización en los adornos. Las medidas estadísticas de Tendencia Central (MTC) y Medida de Dispersión (MD) son de suma importancia para la construcción del argumento central de este trabajo. Esto se debe a que para entender como la gente

miraba los artefactos de interés, se puede teorizar sobre los patrones de la regularidad y la variabilidad. Para identificar las regularidades y la variabilidad, se puede recurrir a dispositivos estadísticos estándares, como la MTC y la MD. Aunque pueda parecer una forma de pensar al individuo y la sociedad de una forma reduccionista, esta no es la intención. Las medidas estadísticas son una forma teórica y analítica de pensar partes de la sociedad y de los individuos (Carter, 2008). Indicar la variación del conjunto de datos mediante el coeficiente de variación es de suma utilidad ya que permite expresar la dispersión del conjunto en porcentaje.

### **Análisis diacrónico**

Como he mencionado en otras secciones, el único estudio de la sierra norte del Ecuador donde se analizan detalladamente adornos similares a los de Huataviro es la tesis doctoral de Dyrdahl (2017). Las Orquídeas (800-400 cal a.C.) muestra un tipo de producción de adornos en concha muy variada en contextos domésticos. Al contrario, parece que en Huataviro la producción estaba más estandarizada. Una comparación diacrónica de este tipo nos permite abordar discusiones sobre los cambios en la economía política que se pueden haber llevado a cabo en la región. La similitud de los adornos hace posible que esta comparación se lleve a cabo. Dyrdahl (2017, p. 86) en su tesis dice que “es posible ver a Las Orquídeas y Huataviro como los dos extremos en un proceso de evolución de interacción interregional e intercambio en la sierra norte del Ecuador”.

**Definición de variables: tamaño, espesor, forma, color**

El proceso de análisis de los artefactos estuvo constituido por varias etapas. Primero, se establecieron las medidas y características que se tomarían en cuenta sobre cada uno de los tipos de adornos. La siguiente fase consistió en medir los distintos artefactos con un calibrador digital Mitutoyo 500-171-30 con un rango de error de 0,01 mm. Se utilizó un pedal de pie para agilizar la transferencia de datos a la computadora y evitar errores de digitación. En esta etapa se anotaron algunas características de los adornos, lo cual será tratado en la sección correspondiente a cada tipo de adorno.

Toda la información se ingresó en una base de datos de Excel y se usaron distintos códigos numéricos para registrar características como color, número de perforaciones y tipo de perforación para cada adorno. Finalmente, se analizaron los datos a través del uso de la función de tabla dinámica de Excel. Parte de este análisis también fue realizar fórmulas para encontrar la media (Medida de Tendencia Central) y la medida de dispersión y coeficiente de variación (Medidas de Dispersión).

A continuación, abordaré los tres tipos de adornos que se encontraron en la tumba 2: cuentas, pendientes y placas. Los adornos fabricados en concha que se encontraron fueron catalogados en tres tipos: el primer tipo y el más predominante son 19.795 cuentas. El segundo tipo de adornos son 500 placas y pendientes fabricados en madreperla y *Spondylus*. El tercer tipo son 143 pendientes de caracoles marinos, los cuales se han identificado como pertenecientes al género *Oliva sp.*

### ***Cuentas***

En la tumba 2 se encontró y recuperó una enorme cantidad de cuentas discoidales y algunas cuentas tubulares (Figura 5). Las cuentas son adornos de forma cilíndrica o discoidal que solamente tienen una perforación en el medio. La mayoría de las cuentas son cuentas discoidales, comúnmente catalogadas como *chaquira*. Las chaquiras son pequeñas cuentas hechas de varios tipos de materiales, pero parece que la concha *Spondylus* (*Spondylus princeps* y *Spondylus calcifer*) es el material más comúnmente utilizado (Carter, 2008; Dyrdaahl, 2017; Masucci, 1995).

Por la gran cantidad de cuentas que se encontraron, se decidió analizar la totalidad de cuentas extraídas durante la excavación (n=2.724) y 2.276 cuentas recuperadas de los escombros de la parte de la tumba destruida por maquinaria. El total de cuentas analizadas es 5.000.

Figura 5. Cuentas discoidales



El número total de cuentas discoidales rodea los 20.000, sin embargo, el informe de excavación no especifica exactamente cuántas cuentas pertenecen a la tumba 2:

Durante la fase de campo se recuperó un total 20384 objetos trabajados en concha marina además de algunos restos de concha de caracol terrestre (churo). La mayor parte de los materiales de concha marina (99%) procedieron de la tumba 2, entre ellos se destacan cuentas de *Spondylus* y caracoles marinos, así como colgantes de *Spondylus* y Madre Perla. (Pazmiño et al., 2009, p. 42)

Debido a que no se menciona precisamente cuáles fueron los tipos de adornos que se extrajeron exclusivamente de la tumba 2, lo más acertado que se puede hacer es multiplicar el total de objetos trabajados en concha ( $n=20.384$ ) por 0,99. Esta operación dio como resultado 20.180 adornos. Después, se menciona que existen 56 colgantes de caracol, 179 colgantes de madreperla y 150 colgantes de *Spondylus*. Si restamos la suma de los adornos que no son cuentas ( $n=385$ ) del total de adornos de la tumba 2 ( $n=20.180$ ), el resultado son 19.795 cuentas.

Se tomó la decisión de analizar todas las cuentas extraídas durante la excavación ( $n=2.724$ ) ya que, al ser el resultado de una investigación arqueológica, su registro y contextualización serían posibles. Este número se identificó al revisar el material: las distintas fundas en las que se encontraban agrupadas las cuentas tenían distintas etiquetas, los 2.724 mullos corresponden a una funda con una etiqueta que decía excavación. Este número de cuentas representa el 13.76% del total de cuentas.

Con respecto a las cuentas recuperadas por la gente del barrio Moras y que se encontraron en los escombros, se decidió analizar una cantidad similar ( $n=2.276$ ) a la de las cuentas excavadas y así llegar a una muestra representativa. Este número de cuentas

equivale al 11.5% del total de cuentas. El número total de cuentas que se analizó representa un poco más del 25% del universo, lo cual asegura que la muestra sea representativa.

A pensar que existen muchas menciones a las *chaquiras* dentro del ámbito arqueológico, no existen parámetros métricos para definir las (Eric Dyrdaahl, comunicación personal 2021). Para su tesis doctoral, Dyrdaahl (2017) propone que las chaquiras son cuentas discoidales con un diámetro que oscila entre 4-8 cm y un espesor entre 1-5 mm. Esto se basa en el estudio de Masucci (1995) para el sitio El Azúcar donde identifica dos grupos de tamaños de cuentas. El primer grupo serían las chaquiras y el segundo son cuentas más grandes.

Las variables tomadas en cuenta en los análisis fueron, por un lado, medidas del diámetro, espesor y diámetro del orificio (ver Tabla 1. Variables cuentas). Después revisé los tipos de perforación, los cuales se basan en las categorías de Dyrdaahl (2017): cónico, bicónico y bicónico pulido (Figura 6). Con una perforación cónica, las cuentas probablemente fueron perforadas solo desde un lado. Esto significa que el diámetro de la perforación de la una cara de la cuenta es bastante grande y el diámetro de la perforación de la otra cara es muy pequeño. La perforación bicónica es el resultado de una perforación de taladro desde los dos lados de la cuenta. La perforación bicónica pulida se asemeja a un reloj de arena: el diámetro se hace más pequeño en el centro de la perforación y en los extremos es más ancho (Dyrdaahl, 2017).

Tabla 1. Variables cuentas

Diámetro	Diámetro perforación	Espesor	Tipo de perforación	Color
Diámetro de la cara de la cuenta	El diámetro de la perforación que se encuentra en la mitad de la cuenta	Es la medida entre las dos caras de la cuenta	Cónico	Indefinido
			Bicónico	Rojo
			Bicónico pulido	Morado

Figura 6. Tipo de perforación cuentas



Para asociar el color a la especie de *Spondylus*, las hemos dividido en tres categorías: las cuentas que tienen una coloración roja o rosada son clasificadas como *Spondylus princeps*, mientras que las moradas son *Spondylus calcifer*. Todas las otras cuentas, pertenecen a una categoría denominada “ni rojo ni morado”, la cual se denominará como ‘no identificada’ de ahora en adelante. Esta última categoría es sumamente

importante considerando que la mayoría de las cuentas tienen una coloración crema o marrón y esto creaba demasiadas subcategorías.

Por último, se anotaron algunas características que se volvieron repetitivas en algunas de las cuentas. Ejemplos incluyen la presencia de rayas en las caras de las cuentas, así como una textura de tiza en algunas de las cuentas de coloración crema/marrón. Estas características podrían ser de utilidad para argumentar que las cuentas discoidales que no tienen colores característicos de *Spondylus* probablemente pueden haber sido fabricadas con cualquier otra concha. Algunos autores han subrayado la dificultad de determinar a qué especie pertenecen los adornos en concha de colores crema/blanco (Carter, 2011; Dyrdaahl, 2017).

### ***Placas***

En la tumba se recuperaron tres tipos de adornos: cuentas, placas y pendientes.

Inicialmente, todos los adornos rectangulares y trapezoidales fueron catalogados como placas. Sin embargo, considero que la funcionalidad de estos tipos de adornos cambia drásticamente por la ubicación de los agujeros. Según Carter y Helmer (2015), un pendiente con una forma rectangular o trapezoidal es una placa. Para Dyrdaahl (2017) las placas son adornos en forma de láminas o discos planos con dos o más perforaciones. Para esta disertación, he decidido catalogar a adornos rectangulares o trapezoidales con perforaciones en un solo extremo como pendientes y a los adornos rectangulares/trapezoidales una perforación en cada extremo como placas. Crear una separación de esta manera resulta en que la funcionalidad de los adornos se refleja en la tipología.

A pesar de esto, en el momento del análisis, se tomaron las mismas medidas para todos los adornos de forma trapezoidales o rectangular, independientemente de su funcionalidad como placas o pendientes. En total, analicé 500 de estos adornos de concha marina, posiblemente fabricadas con *Spondylus* y madreperla. Esto constituye el total de adornos y todos los fragmentos que se encontraron.

La forma de describir este tipo de artefactos es mediante la utilización de términos direccionales. El lado proximal es el lado perforado y el distal es el lado opuesto al perforado. La cara ventral es el frente del objeto, el cual tiene más coloración y es convexo. La cara dorsal es hacia atrás, tiene menos color y es cóncava (Carter & Helmer, 2015).

Se documentaron medidas como el largo del adorno, el ancho del extremo más pequeño, el ancho del extremo más grande y su espesor. Además, se registró la forma del adorno, se identificó el número y ubicación de orificios, se registró el tamaño de cada uno de los orificios, se documentó el tipo de perforación de cada uno de los orificios, y se consideró el color. Por último, se tomó en cuenta si las esquinas superiores e inferiores eran redondeadas o formaban un ángulo de 90 grados (ver Tabla 2 para detalle de las variables).

Tabla 2. Variables adornos rectangulares y trapezoidales

<b>Largo</b>	<b>Ancho extremo proximal</b>	<b>Ancho extremo distal</b>	<b>Espesor</b>	<b>Forma</b>	<b>No. perforaciones</b>
Medida entre un extremo y otro del adorno	Ancho del extremo donde se encuentran las perforaciones	Ancho del extremo sin orificios	Medida entre las caras dorsales y ventrales del adorno	Trapezoidal	1 en la parte superior
				Rectangular	2 paralelos
				No definida	1 en cada extremo
				Oblonga	

<b>Diámetro perforación 1</b>	<b>Diámetro perforación 2</b>	<b>Tipo perforación 1</b>	<b>Tipo perforación 2</b>	<b>Color</b>	<b>Borde</b>
Diámetro de una perforación	Diámetro de la segunda perforación	Cónico	Cónico	Iridiscente	Borde inferior redondeado
		Bicónico	Bicónico	Mate	Borde inferior cuadrado
		Bicónico pulido	Bicónico pulido	Rojo	Borde superior cuadrado
					Borde superior redondo
					Borde erosionado

### ***Pendientes***

Se analizaron 143 pendientes (todos los que fueron recuperados) fabricados en caracol marino (Figura 7), los cuales fueron identificados como pertenecientes al género *Oliva* sp. por Dyrdaahl (2017). En esta disertación, he decidido catalogar a este tipo de adorno como pendientes, siguiendo la definición de Dyrdaahl (2017): un pendiente es un adorno con una sola perforación que no tiene una forma discoidal o cilíndrica. La función de este tipo de adornos es ser colgado (Carter & Helmer, 2015).

Figura 7. Pendientes de *Oliva* sp.



Las medidas cuantitativas que se tomaron de los pendientes fueron el largo, el diámetro del agujero donde se encuentra el ápice del gasterópodo y el diámetro de la perforación que se encuentra sobre la superficie del caracol. Las otras variables que se registraron fueron el tipo de perforación del ápice, el tipo de perforación de la superficie y su ubicación, el estado de fragmentación del adorno y su estado de conservación. Los tipos de perforación de la superficie del pendiente fueron decididos en conjunto con mi colega Danilo Tapia. El detalle de las variables se encuentra en la Tabla 3.

La importancia de determinar el tipo de perforación radica en que estos muestran distintos tipos de fabricación de los pendientes. Al no haber mucha información sobre este tipo de pendientes, las categorías fueron surgiendo a través de la observación detallada de cada uno de los adornos. Se decidió crear varias categorías ya que, sería más fácil unir las que separarlas de ser necesario. En la Figura 6 se muestran los tipos de perforación que fueron determinados. Esta fue la variable más importante ya que ayudó a establecer la tipología de estos pendientes.

Tabla 3. Variables pendientes de Oliva

<b>Tipo perforación del ápice</b>	<b>Tipo de perforación</b>	<b>Posición de la perforación</b>	<b>Estado</b>	<b>Estado de conservación</b>
Circular regular	Incisión alargada, agujero alargado	Abajo*	Completo	Bueno
Circular irregular	Circular regular	Medio**	Semicompleto	Medio
	Irregular		Fracturado	Malo
	Incisión alargada, agujero circular			
	Circular con superficie aplanada			
	Especial (cuadrado)			
	Incisión circular, agujero circular			

## CAPÍTULO V: DESCRIPCIÓN Y ANÁLISIS DE RESULTADOS

### Cuentas

#### Tipología

De las 5.000 cuentas analizadas, 4.938 son cuentas discoidales. Entre los tres tipos de adornos que se discuten en este trabajo, la *chaquira* (pequeñas cuentas discoidales) es el tipo de adorno que más atención ha recibido en los estudios arqueológicos. Por esta razón, existen algunas bases para su comparación.

Como expliqué en la sección de metodología, me he basado en las categorías de Dyrdaahl (2017), que a su vez se basa en el estudio de Masucci (1995), para agrupar las cuentas en cuatro categorías. De esta forma, las *chaquiras* pequeñas tendrían espesores menores a 1mm y entre 2-4 mm de diámetro. Las *chaquiras* tendrían entre 1-5 mm de espesor y entre 4-8 mm de diámetro. Las cuentas discoidales grandes tendrían más de 5mm de espesor y más de 8 mm de largo. En suma, he tomado los parámetros de las *chaquiras* y todas las cuentas que se encuentran fuera del rango son catalogadas de una forma diferente.

En la Tabla 4 se presenta la información que se obtiene cuando se combinan las diferentes categorías de espesor y diámetro de las cuentas. Se obtienen seis categorías (excluyendo al tipo C-1 y B-3 ya que solamente constan de un ejemplar que en el caso de C-1 representa una cuenta que se fragmentó y dejó una delgada lámina). El tipo más representativo de la muestra es el B-2, el cual corresponde a las *chaquiras*.

Tabla 4. Tipología de cuentas discoidales, n=4929

Diámetro	Espesor			Total
	1	2	3	
<b>A</b>	<b>A-1</b>	<b>A-2</b>		10%
	1%	9%		
<b>B</b>	<b>B-1</b>	<b>B-2</b>		59%
	2%	58%		
<b>C</b>		<b>C-2</b>	<b>C-3</b>	31%
		30%	1%	
Total	3%	97%	1%	100%

Nota. A=chaquira pequeña (2-4mm diámetro); B=Chaquira (4-8mm diámetro); C= Cuentas discoidales grandes (>8mm diámetro); 1=Chaquira pequeña (<1mm espesor); 2=Chaquira (1-5mm espesor); 3=Discoidal grande (>5mm)

Al observar con atención la distribución de las cuentas según sus tamaños, parece que existe un patrón en el espesor de las cuentas. Por otro lado, al revisar las estadísticas descriptivas de las distintas medidas de las cuentas (Tabla 5), es evidente que existe una variación considerable (representado por la desviación estándar y el coeficiente de variación). Sin embargo, al observar la Tabla 4, se puede argumentar que existen agrupaciones de las cuentas, el reto está en encontrar si existe algún tipo de agrupación o si la distribución de las medidas es aleatoria.

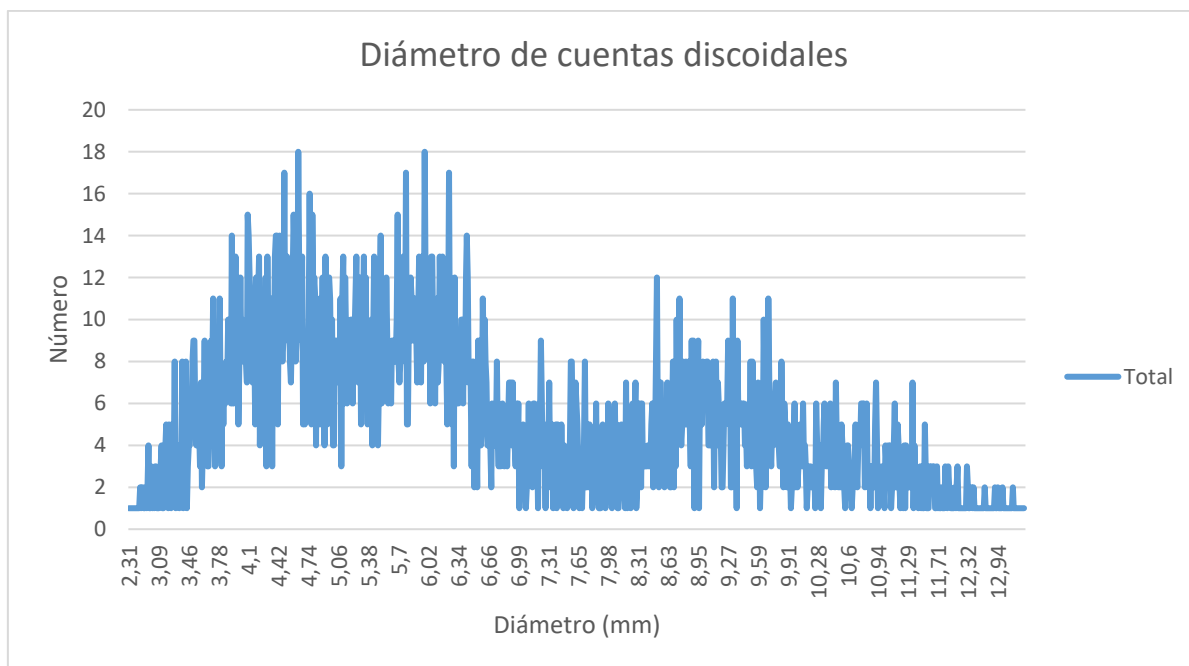
Tabla 5. Medidas cuentas discoidales, n= 4930

	M	D	C
	(mm)	(mm)	(%)
Diámetro cuenta	6,71	2,40	36%
Diámetro orificio	1,75	0,40	23%
Espesor	2,21	0,89	40%

Nota: M=media, D=desviación estándar, C=coeficiente de variación.

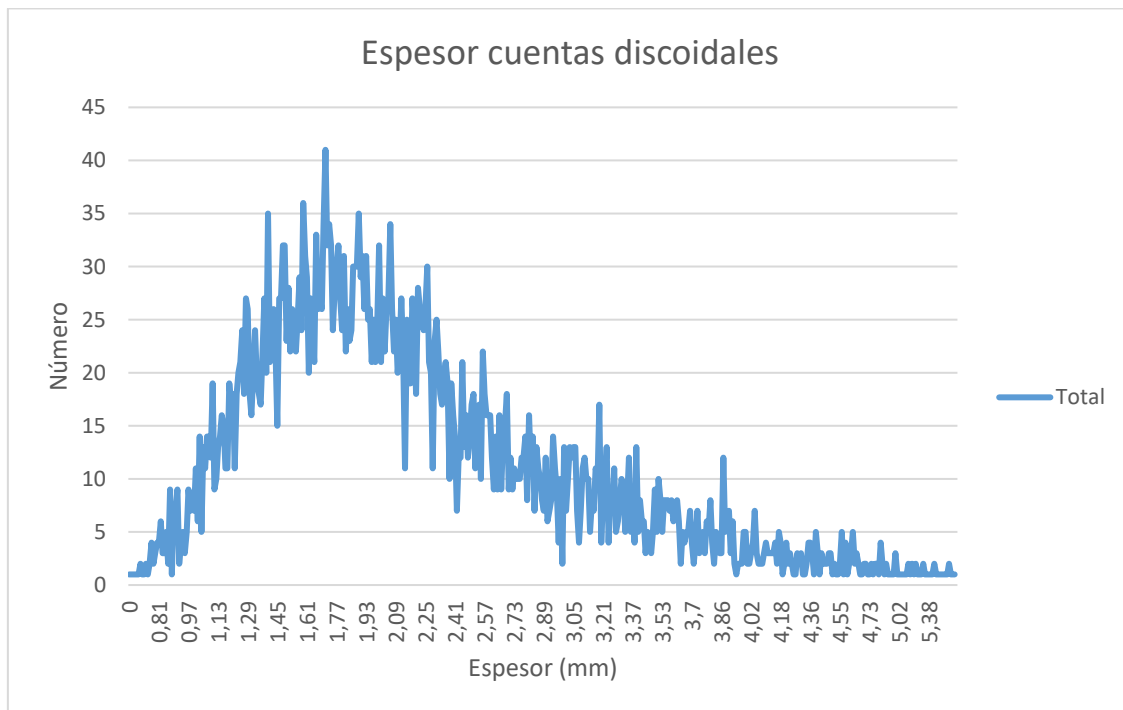
La Figura 8 muestra la distribución de los diámetros de las cuentas discoidales. En este gráfico se aprecia que existe una gran variación en los diámetros, sin embargo, parecen existir 3 picos. Los diámetros podrían estar agrupados de la siguiente manera: pico 1 (3,96-4,78 mm), pico 2 (5,51-6,43 mm) y pico 3 (8,5-9,65 mm).

Figura 8. Histograma diámetro cuentas discoidales, n=4930



Al observar la Figura 9, se evidencia que existe un solo pico con una distribución tipo campana que parte del pico a cada lado. Esto es bastante típico cuando el promedio es más o menos representativo.

Figura 9. Histograma de espesor cuentas discoidales, n=4929



Para indagar más sobre las formas en las que podrían estar agrupadas las cuentas, he decidido hacer un análisis por color. El color de las cuentas es una variable importante ya que en algunos casos las cuentas son agrupadas por color o se usan distintos colores para crear diseños (Alva & Donnan, 1993). En los informes de excavación (Pazmiño, 2014; Pazmiño et al., 2009) se menciona que las cuentas discoidales fueron producidas en concha *Spondylus*. Sin embargo, esto es difícil de determinar ya que la mayoría de los mullos que se analizaron no tienen un color distintivo (rojo, anaranjado o morado) que permita asociarlos a *Spondylus princeps* o *calcifer*.

El color de las cuentas discoidales predominante es el color no definido, el cual representa el 85% de la muestra (Tabla 6). El problema de esto es que este color no definido puede haber sido fabricado por una gran variedad de materias primas y que este color también se puede deber a procesos tafonómicos que sucedieron desde la deposición de las cuentas en los contextos funerarios. En esta investigación, el color no

es una variable que otorga mucha información. El 15% sobrante de cuentas que tiene un color morado, rojo o anaranjado podría pertenecer al género *Spondylus* e incluso podríamos sugerir que pertenecen a las especies *Spondylus princeps* y *calcifer*.

Tabla 6. Medidas por color cuentas discoidales para tumba 2, Huataviro

Color	Cantidad	Diámetro			Espesor			Diámetro orificio		
		M (mm)	D (mm)	C (%)	M (mm)	D (mm)	C (%)	M (mm)	D (mm)	C (%)
Indefinido	4197 (85%)	6,67	2,41	36%	2,22	0,91	41%	1,75	0,42	24%
Rojo	602 (12%)	7,39	2,32	31%	2,11	0,78	37%	1,79	0,27	15%
Morado	129 (3%)	4,85	0,67	14%	2,18	0,58	27%	1,48	0,22	15%
Total	4928 (100,00%)									

Nota: M=media, D=desviación estándar, C=coeficiente de variación.

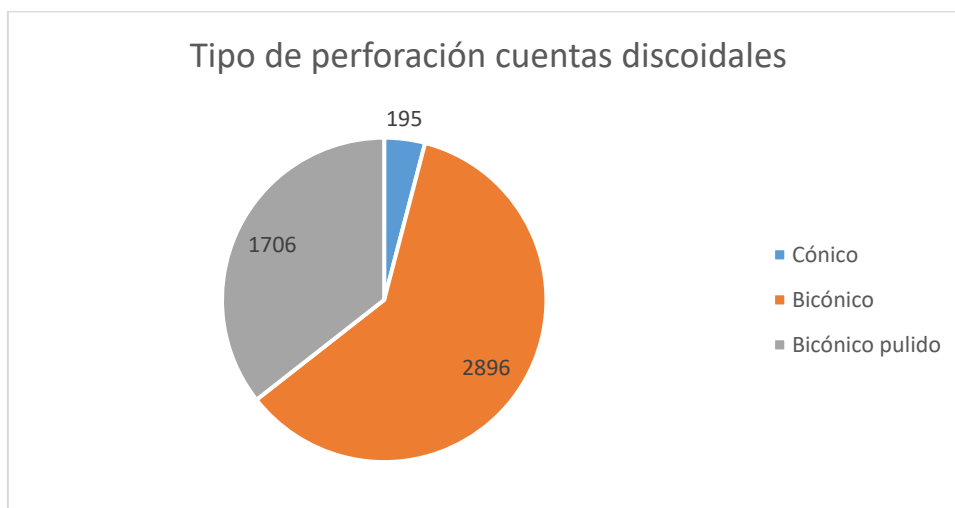
En la segunda temporada de excavación de Huataviro, se encontró una tumba múltiple que fue nombrada rasgo 3. En esta tumba, se encontró un enterramiento que contenía una gran cantidad (13.000 cuentas) de *chaquiras* unidas entre sí, formando hileras. Asociado a las chaquiras se encontraron restos de fibra, lo cual posiblemente indicaría que estas eran parte de un traje (Pazmiño et al., 2010). Tomando esto en cuenta, Pazmiño y colegas (2010) sugieren que las cuentas encontradas en la tumba 2 serían también parte de la vestimenta del difunto. Esta es una idea sensata ya que se han registrado entierros en Ecuador y Perú donde los trajes de los difuntos están constituidos por miles de cuentas discoidales (Molestina Zaldumbide, 2006; Ruiz Rosell, 2008; Shimada, 1995).

En la Tabla 6. se muestran la media, la desviación estándar y el coeficiente de variación de los tres colores identificados. Teniendo en cuenta que las cuentas podrían estar

siendo usadas por grupos de color, es coherente que la variación en los tamaños de los diámetros presente menos variación y la del espesor más variación. Con el color indefinido, la variación del espesor es casi 10% mayor que la del diámetro. Por otro lado, entre las cuentas rojas la variación del espesor y del diámetro son casi iguales. Las cuentas moradas tienen la menor variación en sus medidas y además son más pequeñas en diámetro que las otras cuentas.

El tipo de perforación de los orificios es una variable que puede dar información sobre la tecnología con la que fueron producidos los adornos. El tipo de perforación más común (60%) es el bicónico. El tipo de perforación que se puede asociar con el uso es el bicónico pulido, ya que, puede indicar que, con el tiempo, el cordel que sujeta las cuentas las fue puliendo poco a poco. Sin embargo, esta categoría solo comprende el 35% de la muestra (Figura 10). Por otro lado, se notó que existen 172 cuentas que podrían tener una huella de uso. Esto no se puede afirmar ya que no contaba con los equipos necesarios para realizar esta estimación y tampoco es el enfoque principal de este trabajo. Con esto dicho, parece que este tipo de adornos posiblemente fueron depositados en la tumba con muy poco uso o completamente nuevos.

Figura 10. Tipo de perforación cuentas discoidales, n=4797



A pesar de que el tamaño de la perforación no pueda dar suficientes datos, algunos autores (Allen et al., 1997) han argumentado que el tamaño consistente de los taladros de chert y jaspe pueden dar indicios sobre la especialización con la que estaban trabajando un grupo de personas. Yo argumento que el tamaño de las perforaciones también puede dar indicio de que los taladros que se usaban para su perforación eran de un tamaño consistente para producir cuentas consistentes. Esta estimación puede resultar útil en el caso de la tumba 2, ya que las cuentas no parecen haber sido usadas, por lo cual, los tamaños originales de las perforaciones se podrían mantener todavía. Es interesante ver este dato ya que el tipo de perforación es la medida que tiene menor variación, en comparación con otros sitios.

La alta variación con respecto al diámetro en el espesor de las cuentas se puede explicar ya que esta última no es un variable sumamente importante. Por otro lado, el diámetro sería una medida importante para agrupar las cuentas. En muchos entierros (Alva & Donnan, 1993; Pazmiño et al., 2010; Ruiz Rosell, 2008; Shimada, 1995), las *chaquiras* se usaban para crear collares simples, collares complejos y pecheras que se ponían en el tórax del difunto (Carter & Helmer, 2015). Las *chaquiras* podrían estar agrupadas por tamaño y color. Al estar agrupadas por tamaño, se buscaría tener una consistencia en el grosor del collar, lo cual se lograría al agrupar cuentas con un diámetro similar.

Pensándolo de esta manera, el espesor podría fluctuar ya que no afectaría en grosor del collar y tratándose a veces de cuentas tan pequeñas, posiblemente no serían notorias las variaciones de tamaño del espesor.

Algunas cuentas de la tumba 2 estaban unidas, razón por la cual es factible comparar las diferencias en sus medidas. Aunque las cuentas que estaban unidas son muy pocas, aún

es factible obtener estos datos. Como se puede ver (Tabla 7), el diámetro es más consistente en la variabilidad de las medidas que el espesor.

Tabla 7. Medidas estadísticas de mullos que estaban unidos tumba 2.

No.	Diámetro			Espesor			Diámetro orificio		
	M (mm)	D (mm)	C (%)	M (mm)	D (mm)	C (%)	M (mm)	D (mm)	C (%)
m243-m244	6,18	0,14	2,24%	1,5	0,02	1,16%	1,83	0,33	18,3%
m4338-4339	3,99	0,02	0,43%	1,7	0,24	14,26%	1,37	0,01	0,84%
m4440-4441	6,27	0,06	0,92%	2,26	0,23	9,99%	1,53	0,06	4,16%
m4472-4473	8,87	0,06	0,66%	2,98	0,04	1,36%	1,96	0,05	2,66%

Nota: M=media, D=desviación estándar, C=coeficiente de variación.

### Comparación

En la siguiente sección pasaré a comparar los datos obtenidos de la tumba 2 con otros sitios para los cuales datos similares estaban disponibles. El primero de estos es Las Orquídeas, el cual nos brinda información para realizar una comparación diacrónica de los datos.

Analizar los datos de Huataviro con los de Las Orquídeas nos pueden dar pautas sobre los cambios en la economía política de una región. Dyrdaahl ha tenido la gentileza de proveerme acceso a su base de datos de cuentas de concha marina para Las Orquídeas, por lo cual puedo obtener la misma información que obtuve para Huataviro. En la Tabla 8 he dividido las cuentas de Las Orquídeas en las nueve categorías propuestas. La categoría B-2, la cual corresponde a las *chaquiras* es la que más se repite en este caso también. El diámetro está más disperso pero el espesor parece agruparse en torno a los 1-5mm.

Tabla 8. Tabla diámetro espesor para cuentas discoidales de Las Orquídeas, n=1348

Diámetro	Espesor			Total
	1	2	3	
<b>A</b>	A-1	A-2	A-3	34%
	5%	27%	1%	
<b>B</b>	B-1	B-2	B-3	64%
	5%	56%	3%	
<b>C</b>		C-2	C-3	3%
		2%	1%	
<b>Total</b>	<b>10%</b>	<b>85%</b>	<b>6%</b>	<b>100%</b>

Nota. A=chaquira pequeña (2-4mm diámetro); B=Chaquira (4-8mm diámetro); C= Cuentas discoidales grandes (>8mm diámetro); 1=Chaquira pequeña (<1mm espesor); 2=Chaquira (1-5mm espesor); 3=Discoidal grande (>5mm)

También existen datos disponibles de sitios que no están ubicados en la sierra norte del Ecuador. Carter (2008) analiza seis sitios manteño del sur de Manabí y Santa Elena entre los periodos de la Fase Guangala tardío/Manteño temprano (700-1300 d.C.) y Manteño tardío (1200/50-1532 d.C.). Los sitios manteño temprano analizados por Carter (2008) son López Viejo (1200 d.C.), Loma de los Cangrejitos (700-1200 d.C.), Los Frailes (800-1200 d.C.) y Puerto de Chanduy (1000-1350 d.C.).

Para esta investigación, he decidió restringir los datos a los sitios Manteño Temprano ya que son contemporáneos con la tumba 2 de Huataviro. Pese a que la tumba 2 de Huataviro aún no ha sido datada, la cerámica la ubica cronológicamente con el rasgo 3 (800 d.C.). Además, las cuentas producidas en la fase Manteño temprano de estos sitios parecen ser producidas exclusivamente con *Spondylus*, mientras que los de la fase Manteño Tardío son producidas con conchilla (Carter, 2008). En la tumba 2 no ha evidencia de producción de cuentas en conchilla. Por estas dos razones, he escogido los

datos de los sitios más tempranos. Para la elaboración de la tabla, solo he tomado en cuenta las cuentas perforadas, ya que esto hace que la muestra sea comparable con las cuentas de la tumba 2.

La otra fuente de datos proviene del artículo de Carter y Helmer (2015) sobre una tumba Chimú-Inca (1470 d.C.) en Samanco, Perú. Se analizaron 3256 *chaquiras* con un calibrador digital. Considero que comprar los datos con esta tumba es importante por dos razones principales: 1) es un contexto funerario donde se midieron los adornos con calibradores digitales y 2) puede dar pautas sobre lo que se vería como producción “estandarizada”.

En la Tabla 9 se puede observar las cuentas discoideas de la tumba 2 son más grandes y gruesas que las cuentas de los otros tres sitios comparados. Estas cuentas son aproximadamente 2mm más grandes en diámetro que las cuentas de los sitios contemporáneos de la costa. El coeficiente de variación del diámetro de Las Orquídeas, Huataviro y los sitios manteños se encuentran dentro de un rango de 30-35% de variación. La variación del contexto Chimú-Inca es un 10% menor.

Por otro lado, el diámetro de la perforación de las cuentas de la tumba 2 es más pequeño que Las Orquídeas, pero más grande que los otros dos sitios. Sin embargo, el coeficiente de variación es el menor de todos los sitios comparados. El coeficiente de variación de la perforación de Las Orquídeas es sumamente alto (90%) mientras que el de los otros sitios oscila entre 23-27%. Como argumenté anteriormente, esto podría dar una indicación sobre la estandarización de las herramientas utilizadas para perforar.

Al contrario de lo esperado, el coeficiente de variación del espesor de la tumba 2 es más alto que el de Las Orquídeas y muy similar al de los sitios manteño. Por otro lado, las

cuentas de la tumba Chimú-Inca tienen variaciones alrededor del 30%. La media del espesor de Huataviro y los sitios manteños también son mayores que las otras y parecidas entre ellas.

Tabla 9. Comparación de medidas Huataviro, Las Orquídeas (Dyrdaahl 2017), 4 sitios manteño (Carter 2008) y tumba Chimú-Inca (Carter y Helmer 2015)

	Huataviro n=4930			Las Orquídeas n=1357			Loma de los Cangrejitos, López Viejo, Los Frailes, Puerto Chanduy			Tumba Chimú-Inca		
	M (mm)	D (mm)	C (%)	M (mm)	D (mm)	C (%)	M (mm)	D (mm)	C (%)	M (mm)	D (mm)	C (%)
Diámetro	6,7	2,4	36%	4,6	1,4	30%	4,7	1,6	33%	3,1	0,7	22%
Diámetro Orificio	1,8	0,4	23%	2,3	2,1	90%	1,5	0,4	27%	1,3	0,3	24%
Espesor	2,2	0,9	40%	1,5	0,5	36%	1,9	0,8	42%	1,4	0,4	28%

Nota: M=media, D=desviación estándar, C=coeficiente de variación. Carter registra dos medidas para cada variable por lo cual he hecho un promedio de estas dos medidas en el cuadro.

En la Tabla 10 se muestran por separado las estadísticas descriptivas de los cuatro sitios manteño. La muestra del sitio Los Frailes tiene mucha similitud con la de la tumba 2 de Huataviro (Tabla 9). Las cuentas de la tumba 2 y Los Frailes muy similares en sus diámetros, diámetros de perforación y espesor. Además, son más grandes que todas las cuentas de los otros sitios. Aunque la variación en las medidas de diámetro de las cuentas de Los Frailes es mayor que la de la tumba 2, la variación en la perforación y el espesor son muy similares a las de la tumba 2.

Carter (2008) sugiere que las cuentas de Los Frailes pueden ser consideradas como una continuación la tecnología de producción utilizada en El Azúcar (fase Guangala) (Masucci, 1995). Las cuentas de Los Frailes serían parecidas las cuentas pequeñas de El

Azúcar (Carter, 2008). Esto podría establecer una relación entonces entre las cuentas de la tumba 2, las cuentas de Los Frailes y las cuentas de El Azúcar.

Tabla 10. Cuatro sitios manteños de Carter 2008

	Loma de los Cangrejitos			López Viejo			Los Frailes			Puerto de Chanduy		
	M (mm)	D (mm)	C (%)	M (mm)	D (mm)	C (%)	M (mm)	D (mm)	C (%)	M (mm)	D (mm)	C (%)
Diámetro	4,4	0,9	21%	3,8	0,9	24%	5,7	2,6	46%	4,5	1,4	31%
Diámetro perforación	1,5	0,3	20%	1,3	0,3	26%	1,6	0,5	28%	1,4	0,3	21%
Espesor	1,7	0,6	37%	1,6	0,6	39%	2,1	0,8	37%	1,8	0,7	37%

Nota: M=media, D=desviación estándar, C=coeficiente de variación.

### ***Cuentas tubulares***

Las cuentas tubulares se distinguen porque su diámetro es más pequeño que su espesor.

En la tumba 2 se recuperaron y analizaron un total de 70 cuentas de este tipo (Figura 11).

Como se observa en la Tabla 11, la variación entre estas cuentas parece ser menos que la variación entre las cuentas discoidales. La variación del diámetro y la perforación es mucho más baja que la de las cuentas discoidales y la variación en el espesor es muy similar.

Figura 11. Cuentas tubulares



Tabla 11. Medidas estadísticas de cuentas tubulares, n=70

	M (mm)	D (mm)	C (%)
Diámetro cuenta	6,5	1,2	19%
Diámetro orificio	2,6	0,5	18%
Espesor	13,0	3,6	28%

Nota: m=media, d=desviación estándar, c=coeficiente de variación.

Para estas cuentas, de manera no sorpresiva, el color dominante es el indefinido.

Comparando el color con las medidas de las cuentas presentadas en la Tabla 12, para el color indefinido el diámetro es menor que el espesor. Para el rojo, el cual tiene una diferencia de solo 4%, el coeficiente de variación del espesor es de 62%. Al contrario de todas las otras cuentas analizadas, el coeficiente de variación de las cuentas moradas es mayor en el espesor que en el diámetro. En este caso, podríamos argumentar que las dos cuentas rojas eran parte de una misma hilera de cuentas debido a la poca variación en su tamaño y a que las dos son del mismo color. Sin embargo, en comparación con las cuentas tubulares, si parece existir más agrupación entre colores.

Tabla 12. Medidas por color cuentas tubulares tumba 2, Huataviro

Color	Cantidad	Diámetro			Espesor			Diámetro orificio		
		M (mm)	D (mm)	C (%)	M (mm)	D (mm)	C (%)	M (mm)	D (mm)	C (%)
Indefinido	62 (88,57%)	6,5	1,2	19%	13,0	3,6	28%	2,6	0,5	19%
Rojo	2 (2,86%)	5,5	0,2	4%	9,3	5,8	62%	2,2	0,3	13%
Morado	6 (8,57%)	6,6	1,2	18%	13,9	2,7	20%	2,4	0,2	9%
Total	70 (100%)									

Nota: m=media, d=desviación estándar, c=coeficiente de variación.

## **Pendientes**

En esta disertación, los pendientes son definidos como adornos cuya función es ser colgados. Los adornos que presentan perforaciones en uno de sus extremos han sido catalogados como colgantes. Según estos parámetros, tenemos dos tipos grandes de pendientes: los fabricados en caracol marino (*Oliva sp.*) y los de forma trapezoidal/rectangulares fabricados en *Spondylus* y madreperla. A continuación, se discutirán por separado los pendientes de *Oliva* y los de madreperla y *Spondylus*. Esta decisión fue tomada debido a la similitud de las placas trapezoidales y rectangulares.

### **Caracol marino**

Como han mencionado algunos autores (Dyrdahl, 2017; Soria, 2019), la identificación de la especie de estos gasterópodos es difícil por los procesos tafonómicos por los cuales han pasado y las alteraciones a las que fueron sometidos. Los pendientes fabricados en pequeños gasterópodos solo pueden aportar información limitada. Esto se debe a que su proceso de producción no involucra muchos pasos y su tamaño está determinado mayormente por factores naturales. El proceso de producción involucra dos pasos: 1) la remoción del ápice y 2) la perforación del gasterópodo (Arnold, 2012; Dyrdahl, 2017).

### ***Tipología***

Para crear una tipología de este tipo de adorno, se tomaron en cuenta los tipos de perforación. Al analizar detenidamente los caracoles, se identificaron cuatro tipos de orificios con algunas variaciones (Tabla 13.). Cada uno de estos tipos de orificio parecen necesitar distintas técnicas para ser realizado. El tipo 1, incisión alargada, tiene un

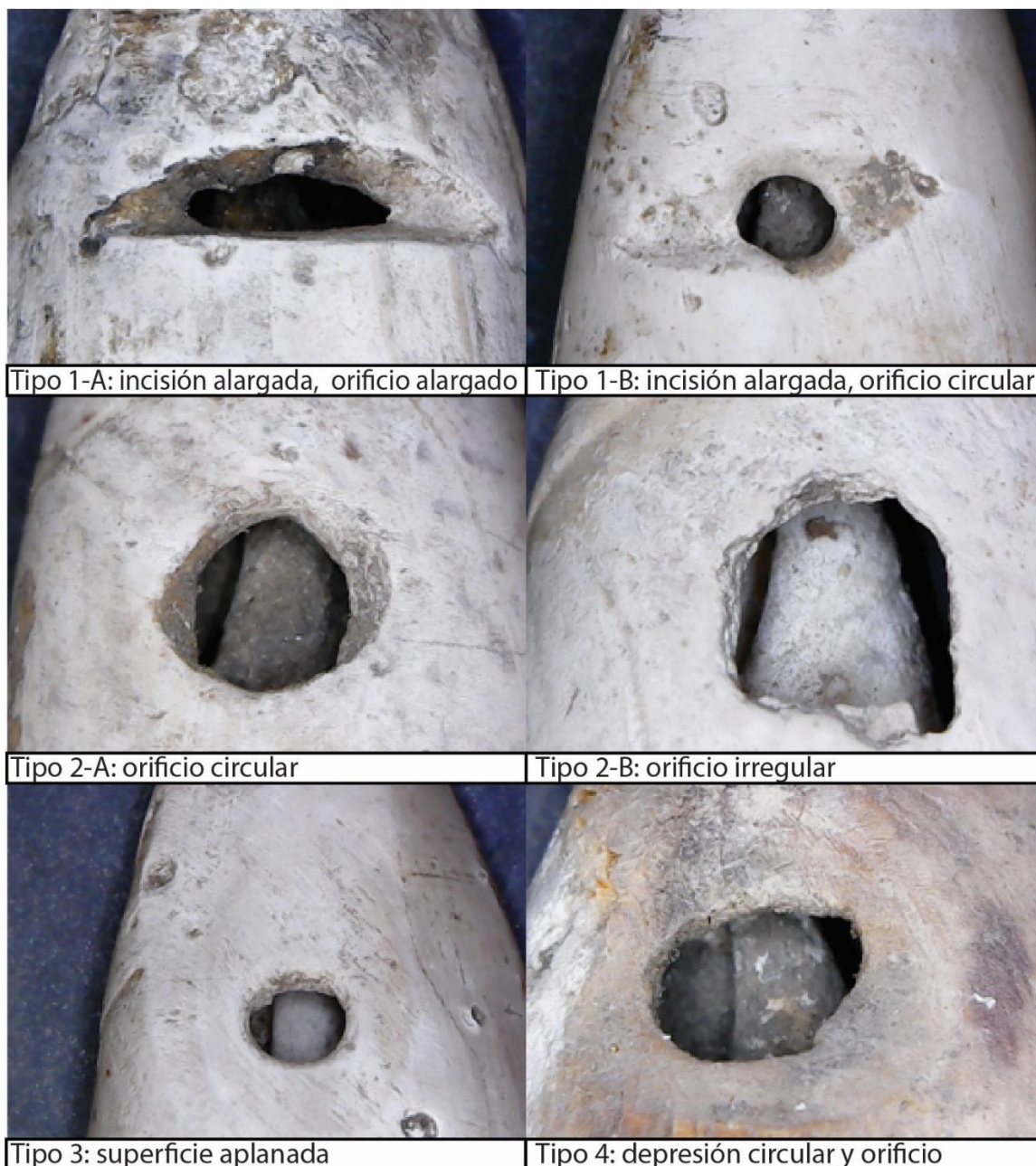
perfil en forma de u, el cual podría ser producido por lijar la concha con una herramienta lítica de bordes anchos (Arnold, 2012). Este tipo de adorno se divide en dos subtipos que dependen del tipo de perforación. Por un lado el subtipo 1-A tiene una perforación ovalada mientras que el tipo 1-B tiene una perforación circular.

Tabla 13. Pendientes por tipo de perforación

Tipo de orificio	Cantidad
Tipo 1-A	16
Tipo 1-B	11
Tipo 2-A	8
Tipo 2-B	65
Tipo 3	7
Tipo 4	10
<b>Total</b>	<b>117</b>

El tipo 2 es una perforación que parece haber sido realizada con un pequeño taladro en la superficie del gasterópodo. Este tipo de perforación tiene dos variantes: perforación circular regular (2-A) y perforación circular irregular (2-B). Determinar la regularidad o la irregularidad de una perforación es una tarea complicada y bastante subjetiva. Sin embargo, se ha decidido mantener esta división en los subtipos ya que la regularidad o irregularidad de estas perforaciones podría mostrar el nivel de experticia de quien trabajó estas cuentas. El tipo 3 se caracteriza ya que la sección que rodea al agujero parece haber sido pulida, ya que se ve aplanada. El agujero de este tipo de pendientes es circular. El Tipo 4 también tiene una sección que parece haber sido pulida, pero esta es circular, mientras que la del Tipo 3 no tiene una forma definida. En la Figura 12 se encuentran los tipos y subtipos por perforación de pendientes de *Oliva sp.*

Figura 12. Tipos de perforación pendientes Oliva



Los tipos de perforación podrían aportar información sobre la identidad de los artesanos. Estudios etnográficos han mostrado que los estándares tecnológicos son marcadores de diferencia entre grupos. Algunos grupos sociales que interactúan pertenecen a grupos tecnológicos polarizados. Esto quiere decir que existe una mayor no-difusión de técnicas cuando los grupos tecnológicos pertenecen a grupos sociales

distintos (Roux et al., 2017). Por otro lado, la adopción de nuevas técnicas parece darse a través del contacto con personas lejanas y que la experticia es necesaria (Roux et al., 2018). Cada tipo de perforación podría asociarse a un grupo o a una persona o también podrían tratarse de niveles de habilidad en la fabricación del adorno.

El tamaño de estos adornos oscila entre los 14-30 mm con un promedio de 24,32mm. El diámetro del ápice entre 5 y 11 mm con un promedio de 7,6mm (Tabla 14.). En el caso de este tipo de adornos, las medidas del largo y el diámetro del orificio de la base no dan demasiada información ya que el tamaño de los adornos está principalmente determinado por el tamaño natural del gasterópodo. El largo de los caracoles no tiene una desviación estándar muy grande, los datos parecen estar bastante agrupados (Tabla 14). Esto comprueba que los tamaños no muestran mucha variación. Lo mismo estaría sucediendo con el diámetro del agujero que dejaría la remoción del ápice. Esto dependería del tamaño de la concha y de cuánto se la pula.

Tabla 14. Medidas todos los pendientes de *Oliva sp.*, n=143

	M (mm)	D (mm)	C (%)
Largo	24,33	2,60	11%
Diámetro ápice	7,58	1,11	15%
Diámetro orificio	3,45	0,97	28%

Nota: M=media, D=desviación estándar, C=coeficiente de variación.

### **Comparación**

Comparar este tipo de adorno es muy difícil ya que no hay investigaciones que hayan realizado medidas sobre estos. En la mayoría de las publicaciones solo se menciona su

existencia, pero no se detalla su tamaño ni el tipo de perforación. Por esta razón solo podemos dejar sentadas las bases para que se puedan avanzar los estudios en el futuro.

En la literatura en inglés, los pequeños gasterópodos perforados son llamados *tinklers* (Arnold, 2012; Isaza Aizpurúa & McAnany, 1999; Sharpe, 2019). Este nombre se relaciona a una de sus posibles funciones: ser colgados como pequeñas campanas que producen sonido cuando chocan las unas con las otras (Arnold, 2012; Isaza Aizpurúa & McAnany, 1999). Isaza y McAnany (1999) mencionan que este tipo de adorno posiblemente se colgaba en los dobladillos de los trajes de élite. Argumentan esto basándose en evidencia icnográfica de las estelas talladas de Copan y Tikal.

Mientras buscaba información sobre estos adornos me topé con una curiosa situación. La mayoría de los artículos académicos donde se menciona este tipo de adornos son investigaciones en Centroamérica. En esta instancia, se han registrado este tipo de adornos fabricados en *Oliva*, bajo el nombre de *tinklers* desde el periodo formativo en las tierras bajas Maya, en el sitio de X'axob, Belice (Isaza Aizpurúa & McAnany, 1999). También se han encontrado este tipo de adornos en el sitio Maya Ceibal (1000 a.C.-1200d.C.), en Guatemala (Sharpe, 2019) y en El Archipiélago del Norte en California, se han encontrado *tinklers* fabricados en *Olivella* (Arnold, 2012).

En Ecuador se han encontrado este tipo de adornos en varios sitios del Ecuador, de los cuales, los más relevantes para este estudio son los de los sitios La Florida (Molestina Zaldumbide, 2006) y en el sitio formativo Las Orquídeas (Dyrdahl, 2017; Soria, 2019). Quizá la dificultad en su identificación es que muchas veces no se les da suficiente atención o que no se los menciona como *tinklers* sino como gasterópodos perforados.

Dyrdahl (2017) propone que existen algunas diferencias sustanciales en la perforación de los especímenes de *Oliva sp.* en La Florida y Huataviro. Argumenta que en La Florida el tipo de perforación del lado opuesto de la apertura del gasterópodo se realizaba mediante una incisión lineal y un pequeño agujero. Por otro lado, la perforación de las cuentas de Huataviro se trataría de un pequeño orificio circular. Estas diferencias podrían sugerir que los pendientes de *Oliva sp.* de Huataviro y La Florida no estaban siendo producidos por el mismo individuo (Dyrdahl, 2017, p. 521). Sin embargo, en el conjunto de pendientes de *Oliva sp.* de la tumba 2, se encuentran ejemplos de varios tipos de orificios, incluyendo los realizados mediante una incisión lineal y una perforación circular. Esto nos lleva a pensar que quizá si existen más similitudes entre estos adornos que lo que se pensaba inicialmente. Solamente una comparación detallada de los dos conjuntos de adornos podrá dar más luz al asunto.

El problema es que no hay estudios que analicen las perforaciones y muestren medidas de estos adornos. En esta investigación he identificado al menos cuatro técnicas de perforación distintas que podrían aportar información relativa a su manufactura, nivel de experticia de los artesanos y hasta cierto punto, identidad de los artesanos. Sin embargo, se necesitan más estudios para comprender más a profundidad la vida de estos artefactos.

En suma, los gasterópodos perforados son un tipo de adorno que se puede encontrar en Perú, Ecuador y la zona maya desde el periodo Formativo. Su simple fabricación posiblemente hacía que sean un adorno recurrente, pero no han sido descritos y analizados a profundidad en otros estudios arqueológicos.

### **Pendientes trapezoidales y rectangulares**

En Huataviro se han excavado alrededor de 20 tumbas y, sin embargo, en el único contexto donde se recuperaron pendientes y placas trapezoidales y rectangulares fue en la tumba 2 (Figura 13 y Figura 14). Estos tipos de adornos existen en otros sitios arqueológicos contemporáneos como La Florida (Molestina Zaldumbide, 2006). Los demás ejemplos de placas se encuentran en sitios de la costa peruana. Por ejemplo, un collar de placas de *Spondylus* encontrado en una tumba nazca (100-800 d.C.) en el Museo de Arte Precolombino (Cusco, Perú). En el sitio Huaca Grande, ubicado en la capital Moche Pampa Grande (600-700 d.C.), se encontraron dos collares de cuentas trapezoidales (Haas, 1985).

Figura 13. Pendientes trapezoidales con una perforación



Figura 14. Pendientes trapezoidales con dos perforaciones



### **Tipología**

Los pendientes de madreperla y *Spondylus* tienen formas rectangulares y trapezoidales y una o dos perforaciones en uno de sus extremos. El total de este tipo de pendientes es 197. Se identificaron dos pendientes que tenían una forma oblonga, las cuales se incluyen en la tipología como especiales. La tipología que propongo para estos adornos se basa en su forma, ya que he encontrado que en la literatura esta es la variable principal. En la Tabla 15. presento un cruce de variables de las perforaciones y las formas para determinar los tipos de placas.

El tipo más común de pendientes son los de forma trapezoidal con dos perforaciones paralelas. El segundo tipo más frecuente son los pendientes trapezoidales con una sola perforación. El tercer tipo son las placas rectangulares con dos perforaciones y el cuarto tipo son las placas rectangulares con una perforación. Los dos pendientes oblongos que se presentan pueden ser catalogadas como especiales.

*Tabla 15. Comparación forma de las pendientes y número/ ubicación de orificios, n=197*

Forma/perforaciones	Una perforación	Dos perforaciones	Total
Trapezoidal	16 (8%)	158 (80%)	<b>174 (88%)</b>
Rectangular	10 (5%)	11 (6%)	<b>21 (11%)</b>
Oblongo	1 (1%)	1 (1%)	<b>2 (1%)</b>
Total	<b>27 (14%)</b>	<b>170 (86%)</b>	<b>197 (100%)</b>

En la Tabla 16y la Tabla 17, se encuentran las estadísticas descriptivas para estos adornos. Es posible observar, por un lado, que los pendientes trapezoidales son 1 cm más largos que los pendientes rectangulares. Los anchos del extremo más pequeño son parecidos entre los dos y cambian solamente el ancho más grande debido a la forma de las placas. El espesor es exactamente idéntico, sin embargo, hay más variación en esta medida en los pendientes trapezoidales. Los agujeros son del mismo tamaño y tienen desviaciones muy parecidas y bajas comparadas con las otras medidas. Resulta interesante que el diámetro de los orificios (2,4 mm en promedio) es más grande que el de las cuentas discoidales (1,75 mm). El coeficiente de variación del diámetro de las cuentas (22,8%) es menor que el coeficiente de variación de las perforaciones de los pendientes (18,2% en promedio).

Tabla 16. Medidas pendientes trapezoidales n=174

	M	D	C
	(mm)	(mm)	(%)
Largo	54,9	14,4	26%
Ancho extremo pequeño	17,4	4,4	26%
Ancho extremo grande	26,8	5,5	21%
Espesor	3,2	1,1	33%
Tamaño orificio 1	2,4	0,5	19%
Tamaño orificio 2	2,3	0,5	21%

Nota: M=media, D=desviación estándar, C=coeficiente de variación.

Tabla 17. Medidas pendientes rectangulares n=21

	M	D	C
	(mm)	(mm)	(%)
Largo	44,1	11,8	27%
Ancho	18,6	4,95	27%
Espesor	3,2	0,9	26%
Tamaño orificio 1	2,5	0,4	17%
Tamaño orificio 2	2,4	0,4	16%

Nota: M=media, D=desviación estándar, C=coeficiente de variación.

### **Comparación**

Como se mencionó en la sección de las cuentas discoidales, Carter y Helmer (2015) analizan los adornos de una tumba Chimú-Inca (1470 d.C.) en Samanco, Perú. Aunque la tumba es más tardía que la tumba 2 de Huataviro, en este sitio existen pendientes similares a las que se estudian en esta tesis (Figura 15.). Por esta razón, considero importante comparar los datos obtenidos con este estudio.

Figura 15. Pendientes placas de tumba Chimú-Inca, iridiscentes.



Fuente: Carter, B., & Helmer, M. (2015).

Los pendientes de madreperla y *Spondylus* que se encontraron en Huataviro no han sido registradas en los sitios aledaños a Huataviro (siendo la única excepción La Florida, pero no existen medidas). En el artículo de Carter y Helmer (2015), se presentan las estadísticas descriptivas por color. Para tener un solo dato comparable, he hecho un promedio de los diferentes colores.

Los pendientes de la tumba 2 están fabricadas en *Spondylus* y madreperla. La determinación de las especies relevantes fue basada en las dimensiones de los pendientes y el hecho de que algunas de las placas son iridiscentes (se asocian a la madreperla) y otras mate (asociadas a *Spondylus*). Sin embargo, solo se ha podido identificar seis placas con color rojizo, todas las demás placas tienen coloraciones entre crema, marrón y blanco.

Lo que se puede apreciar primero es que los pendientes de la tumba 2 son mucho más grandes que las placas de la tumba Chimú (Tabla 18). A pesar de esto, los coeficientes de variación no son muy diferentes entre las dos muestras. En este caso, solo comparo los pendientes trapezoidales porque en la tumba Chimú-Inca solo se encontraron este tipo de adornos. Como en el caso de las cuentas, las placas de Huataviro son mucho más grandes que las del otro sitio. Entre las medidas de espesor, no parece existir demasiada diferencia. Esto puede deberse a que el espesor depende del espesor natural de la concha y no se lo modifica demasiado. Por otro lado, las diferencias en el coeficiente de variación no son tan abruptas como las de los adornos fabricados en conchas. En suma, las placas de la tumba 2 son más grandes y anchas que las de la tumba Chimú-Inca pero sus coeficientes de variación son parecidos.

Tabla 18. Comparación medidas placas trapezoidales

	Placas trapezoidales tumba 2			Placas tumba Chimú-Inca		
	M (mm)	D (mm)	C (%)	M (mm)	D (mm)	C (%)
Largo	54,9	14,4	26%	22,54	4,83	21%
Ancho (promedio)	22,1	5	23%	7,86	1,62	21%
Espesor	3,2	1,1	33%	2,77	0,84	30%

Nota: M=media, D=desviación estándar, C=coeficiente de variación.

Carter y Helmer (2015) no hablan del tipo de producción o de los artesanos que habrían producido los adornos en la tumba Chimú Inca, pero si mencionan que "...la fabricación de cuentas eventualmente evolucionó en productos altamente industrializados que tenían como objetivo llegar a las élites de la sociedad" (Carter & Helmer, 2015, p. 47). Esta declaración nos lleva a pensar que las placas también estarían siendo producidas bajo estas condiciones, posiblemente presentando mucha

uniformidad. Con esto en cuenta, podemos decir que el coeficiente de variación similar entre la tumba 2 y la tumba Chimú-Inca dan pautas para comprender un tipo de producción más estandarizado.

Algunos autores (Moore & Vilchez, 2015) han sugerido que la producción artesanal de objetos trabajados en concha marina se daba en contextos domésticos en la costa ecuatoriana (Carter 2008, Masucci 1995) y en la sierra en periodos más tempranos como Las Orquídeas (Dyrdahl 2017). Al contrario, en la costa peruana, la situación era diferente. Varios de los talleres encontrados en la costa del Perú se encuentran en sitios no residenciales, como el taller Conchales (1470-1532 d.C.) en Cabeza de Vaca, el cual se trata de una taller especializado no doméstico donde se trabajaban pendientes, placas trapezoidales, formas geométricas para apliques, figurinas y cuentas discoidales en concha marina (Moore & Vilchez, 2015).

## Placas

Las placas son adornos planos y largos que posiblemente sirven para ser sujetos (Figura 16). En esta categoría solo se identificaron 11, ejemplares, estando solamente 7 de ellos completos. La mayoría son de forma rectangular (n=9) y hay 2 trapezoidales. En este caso, tomaremos también en consideración los ejemplares fragmentados.

Figura 16. Placas tumba 2 Huataviro



La tipología de estas placas es bastante simple. Las placas son de forma rectangular y tienen un agujero en cada uno de los extremos. Las dos placas de forma trapezoidal son especiales y por ende no entran en la tipología. Las medidas de las placas se presentan en la Tabla 19.

Tabla 19. Medidas placas, n=9

	M (mm)	D (mm)	C (%)
Largo	54,3	8,8	16%
Ancho	18,2	3,25	18%
Espesor	3,1	0,7	21%
Tamaño orificio 1	2,3	0,2	11%
Tamaño orificio 2	2,6	0,7	27%

Nota: M=media, D=desviación estándar, C=coeficiente de variación.

### Comparación

Para comparar las placas de forma rectangular, he escogido las medidas presentadas por Dyrdaahl (2017) para Las Orquídeas. Como se indica en la Tabla 20, las placas rectangulares de la tumba 2 tienen un largo que es más tres veces del tamaño del largo de las placas de Las Orquídeas. El ancho también es mucho mayor, así como el espesor. En suma, las placas rectangulares de la tumba 2 son más grandes que las de Las Orquídeas. Con respecto al coeficiente de variación, las placas de Las Orquídeas y Huataviro parecen tener una distribución en el largo menos variable. La variación del ancho de Huataviro es menor que Las Orquídeas. El espesor de Las Orquídeas tiene el doble de variación que la tumba 2.

Tabla 20. Comparación medidas placas rectangulares, n=9

	Placas rectangulares tumba 2			Placas rectangulares tipo 1 Las Orquídeas		
	M (mm)	D (mm)	C (%)	M (mm)	D (mm)	C (%)
Largo	54,3	8,8	16%	16,3	2,8	17%
Ancho	18,2	3,25	18%	7,6	1,9	25%
Espesor	3,1	0,7	21%	1,5	0,6	40%

Nota: M=media, D=desviación estándar, C=coeficiente de variación.

En suma, las placas rectangulares de la tumba 2 de Huataviro son más grandes, pero con menos variación en sus medidas. Las placas de la tumba 2 también tienen menos variación que otros adornos del mismo sitio, por ejemplo, las cuentas discoidales.

## CAPÍTULO VI: DISCUSIÓN Y CONCLUSIONES

Las tumbas de élite de Huataviro posiblemente reflejan un pico de cambio en las estructuras sociales, políticas y económicas (Spencer, 2019) de este sitio. El ajuar funerario constituiría una práctica mortuoria recientemente adoptada por parte de los segmentos dominantes para formalizar un nuevo orden en la rearticulación de esquemas sociales, políticos y económicos (Beck Jr. et al., 2007; Sewell, 2005). Los objetos de prestigio estarían contribuyendo a la consolidación del capital social y político de las elites (Costin, 2016).

Un punto clave a recalcar es que los adornos de la tumba 2 tienen poca evidencia de uso. Esto posiblemente significa que los adornos no formaban parte de redes de circulación. Los adornos seguramente eran exhibidos durante las ceremonias mortuorias y luego depositados en las tumbas con los difuntos.

Huataviro se encuentra dentro de un periodo (100 ac.-1100 d.C.) donde el uso de la chaquira se vuelve más común y existe una expansión en el uso de este tipo de adornos (Carter, 2011). Gracias a que las chaquiras han ganado mucha atención dentro de los estudios arqueológicos, existen al menos tres estudios con los cuales es posible comparar los adornos de Huataviro. Por un lado, Las Orquídeas (Dyrdaahl 2017) y la tumba Chimú-Inca (Carter & Helmer, 2015) nos dan una perspectiva diacrónica sobre la producción de los adornos. Por otro lado, los cuatro sitios manteño analizados por Carter (2008) permiten tener una perspectiva sincrónica sobre la producción.

De forma muy general, las cuentas de la tumba 2 son más grandes y gruesas que las cuentas de los otros sitios comparados. Sin embargo, en valores estadísticos se asemejan más a las cuentas de los sitios manteño, siendo extremadamente parecidas en tamaño y

coeficiente de variación a las cuentas del sitio Los Frailes. En este sentido, parecen haber dos grandes grupos de cuentas discoidales. Por un lado, están las cuentas de la tumba 2 y el sitio los Frailes las cuales son cuentas más grandes que miden 6mm en promedio. Por otro lado, las cuentas de Las Orquídeas, la tumba Chimú-Inca y los otros tres sitios manteños son más pequeñas, midiendo en promedio 4mm.

Desde una perspectiva tradicional, se argumentaría que las élites patrocinarían a los artesanos y controlarían las rutas de intercambio para asegurar el acceso a los bienes de lujo (Brumfiel & Earle, 1987; Costin, 1991; DeMarrais et al., 1996; Earle, 1997). Estos artesanos trabajarían a tiempo completo, en talleres especializados y se dedicarían a producir solamente estos bienes de lujo (Costin, 1991). Sin embargo, esta perspectiva deslegitima la importancia de la producción artesanal doméstica. Los cambios en las formas de organización de estas sociedades y el surgimiento de evidentes jerarquías sociales no deben significar que la producción doméstica va a perder su rol protagónico.

La comparación con las *chaquiras* de Las Orquídeas con la tumba 2 fue sorprendente ya que en dos variables (diámetro y espesor) había un coeficiente de variación menor en el este sitio Formativo que en Huataviro. Esto fue inesperado ya que, en teoría, pensaríamos que una sociedad con menos evidencia de jerarquía produciría cuentas más variables que una sociedad con evidencia clara de jerarquía. Por otro lado, la variable en la que Las Orquídeas tiene mucha variación y la tumba 2 muy poca es en el diámetro de perforación, lo cual es una cuestión muy interesante de analizar. Esto podría deberse a que el diámetro del orificio se relacione con la estandarización de las herramientas para perforar. A través del tiempo, las herramientas para perforar las cuentas podrían estar siendo más estandarizadas y las cuentas producidas de una forma más estándar.

Huataviro, Las Orquídeas y los sitios manteño tienen un coeficiente de variación entre el 30-35% en la medida de diámetro. La tumba Chimú-Inca tiene un coeficiente de variación del 20%. Posiblemente esto se debe a que los adornos de la tumba Chimú-Inca estaban siendo producidos de forma más estandarizada en talleres mientras que los adornos del Ecuador se producían en contextos domésticos (Moore & Vilchez, 2015).

Un dato interesante es la similitud entre las cuentas de la tumba 2 y las cuentas de Los Frailes analizadas por Carter (2008). Los Frailes es un contexto de consumo donde se encontraron cuentas perforadas y terminadas, muy similares en tamaño a las cuentas pequeñas de El Azúcar (Carter, 2008; Masucci, 1995). El hecho de que las cuentas de Huataviro y las de Los Frailes son las más grandes de todas las analizadas y tienen mayor variación puede evidenciar cierta relación.

Los pendientes trapezoidales de la tumba 2 fueron comparados con los adornos trapezoidales de la tumba Chimú-Inca mientras que las placas rectangulares fueron comparadas con las placas de Las Orquídeas. En general, las placas y pendientes trapezoidales de la tumba 2 son más grandes que los de los otros dos sitios. Los coeficientes de variación entre la tumba Chimú-Inca y la tumba 2 son muy parecidos, mientras que el de Las Orquídeas es más variable. Similar al caso de las cuentas, parece que las placas de la tumba 2 muestran un punto medio para la variación. Parece que, con el paso del tiempo, la variación entre los tipos de artefactos va disminuyendo ligeramente. Sin embargo, la variación no es tan diferente entre Las Orquídeas y Huataviro, lo cual podría sugerir una producción artesanal doméstica.

Resulta importante recalcar que las materias primas utilizadas en la producción de adornos en concha marina que se utilizaban en Las Orquídeas y en Huataviro son las

mismas pero las formas de los adornos son algo diferentes. Las cuentas de Huataviro son más grandes que las de Las Orquídeas y están siendo producida con menos cantidad de materia prima. Sin embargo, el tamaño de las cuentas de Huataviro es mucho más grande. Las placas y pendientes de *Spondylus* y madreperla de Huataviro son sumamente diferentes a las de Las Orquídeas. Las placas de la tumba 2 están siendo producidas en solo dos materias primas (*Spondylus* y madreperla) y sus formas son bastante estandarizadas. En la tumba 2 estos adornos son rectangulares o trapezoidales con algunas perforaciones. No se han encontrado adornos de forma discoidal o con bordes tallados. El hecho de que las placas y pendientes de *Spondylus* y madreperla de la tumba 2 sean tan poco variables en sus formas posiblemente se debe a que estos adornos eran coherentes con las tradiciones regionales del momento.

Con respecto a los pendientes de *Oliva*, no hay otros estudios que permitan comparar este tipo de adorno. Además, como se ha mencionado en otras secciones, la fabricación de este tipo de adorno no requiere de muchos pasos y su tamaño está mayormente determinado por la naturaleza. De todas formas, estos adornos son los que más variación tienen en los tipos de perforación. Identifiqué cuatro tipos de perforaciones que necesitarían procesos diferentes para ser producidos. Mi explicación ante esta variación es que podrían existir diferentes usos para los adornos o que estos estaban siendo producidos por individuos o grupos distintos. La otra posibilidad es que los pendientes de *Oliva sp.* eran un tipo de adorno con el cual se experimentaba más. Quizás al ser más simples de fabricar, su manufactura era relegada a aprendices.

En suma, la información que aportan todos estos adornos (cuentas, placas y pendientes) es muy valiosa. En la arqueología, se podría pensar que un coeficiente de variación menor puede significar que los artesanos son más especializados (Carter, 2008). La

similitud en valores de coeficiente de variación entre la tumba 2 y los sitios contemporáneos de la costa ecuatoriana con evidencia de producción doméstica podrían sugerir que los adornos en concha de la tumba 2 también eran producidos de esta manera. Además, el coeficiente de variación de Las Orquídeas y la tumba 2 también es bastante parecido, reafirmando esta suposición. Al contrario de esto, la tumba Chimú-Inca parece tener una producción ligeramente más estandarizada.

Los adornos de concha marina de la tumba 2 de Huataviro posiblemente fueron producidos en contextos domésticos a tiempo parcial. Esto reafirma la idea de que este tipo de producción también es capaz de producir bienes de prestigio, a gran escala y con una gran experticia (Hirth, 2009). Que la producción se haya dado posiblemente en contextos domésticos no quiere decir que las élites no buscaban exhibir su prestigio y estatus a través de estos símbolos en las ceremonias mortuorias. Tampoco significa que no existan cambios en las estructuras políticas, económicas y sociales de la zona, pero esto no quiere decir que las economías domésticas pierdan importancia con formas de organización cacicales. La producción artesanal doméstica no es incompatible con los objetivos de adquisición de estatus, prestigio o poder de las élites. En este caso, lo importante no sería el control sobre la producción y el intercambio, lo importante sería el valor establecido de los ítems, su cantidad y su calidad (Dyrdaahl, 2017).

En otro tema, no cabe duda de que Huataviro es un sitio especial. Es especial porque en la sierra norte del Ecuador no se han encontrado entierros del periodo de Integración con más de 20.000 adornos en concha marina. Considero que existen tres opciones por las cuales solo se han encontrado este tipo de adornos en Huataviro y no en las otras tolas de la época y región.

La primera es que los adornos reflejaban poder y capacidad de crear conexiones lejanas. Las élites reflejaban sus conexiones a través de la adquisición de adornos exóticos producidos con concha marina proveniente de la costa del Ecuador. Además, manifestaban sus conexiones con las tradiciones de otras élites como las de las culturas de la costa norte del Perú. Una segunda opción es la existencia de una continuación de tradición de fabricación y posible uso de adornos en concha que habría comenzado desde el periodo Formativo en Las Orquídeas. La última posibilidad no muy alentadora es que en otros sitios los adornos se hayan perdido debido a la huaquería o construcciones modernas o que simplemente no se hayan encontrado todavía este tipo de entierros.

Por otro lado, Huataviro es un buen ejemplo de lo que pasa cuando no existen contextos de producción asociados a los adornos encontrados. El no tener contextos de producción limita la interpretación de las investigaciones. Los estudios que se han realizado en la zona norte para el periodo de Integración se enfocan principalmente en las tolas, lo cual restringe el conocimiento sobre lo que estaba pasando fuera de la tola. Aunque existen algunos sitios más al sur de Huataviro donde se ha excavado fuera de los sitios monumentales, no se han identificado contextos de producción (Pambamarca y Cochasquí pueblo). Como una avenida futura de investigación es necesario excavar los alrededores de Huataviro para entender que estaba sucediendo en estos diferentes contextos. La gente del barrio Moras recalca la existencia de varios hallazgos arqueológicos en todo el sector e incitan a la investigación.

En conclusión, las élites de Huataviro posiblemente buscaban adquirir bienes de prestigio para consolidar su estatus y poder. La evidencia señala que los adornos en concha de la tumba 2 eran producidos en posibles contextos domésticos. Cabe recalcar

que en la sierra norte del Ecuador hay una tradición de producción artesanal desde el periodo Formativo (Athens, 1976; Dyrdaahl, 2017). Las cuentas de *Spondylus* de la tumba 2 y del sitio Los Frailes son muy parecidas en tamaño, siendo mucho más grandes que las cuentas de Las Orquídeas, los otros tres sitios manteños y la tumba Chimú-Inca. Las élites de Huataviro podrían haber estado interesadas más en el valor y la cantidad de los adornos en concha que adquirirían.

## REFERENCIAS

- Allen, J., Holdaway, S., & Fullagar, R. (1997). Identifying specialization, production, and exchange in the archaeological record: The case of shell bead manufacture on Motupore Island, Papua. *Archeol. Oceania*, 32, 13–38.
- Alva, W., & Donnan, C. B. (1993). *Royal tombs of Sipán*. Fowler Museum of Cultural History, University of California.
- Arnold, J. E. (2012). Detecting Apprentices and Innovators in the Archaeological Record: The Shell Bead-Making Industry of the Channel Islands. *Journal of Archaeological Method and Theory*, 19(2), 269–305. <https://doi.org/10.1007/s10816-011-9108-1>
- Athens, J. S. (1976). Informe Preliminar sobre Investigaciones Arqueológicas realizadas en la Sierra Norte del Ecuador (L. S. de Bustamante, Trad.). *Sarance, revista del Instituto Otavaleño de Antropología*, 2(2), 56–78.
- Athens, J. S. (1990). *Prehistoric agricultural expansion and population growth in northern highland Ecuador: Interim report for 1989 fieldwork* [Reporte interino de trabajo de campo]. Instituto Nacional de Patrimonio Cultural.
- Athens, J. S. (1995). Relaciones interregionales prehistóricas en el norte de los Andes: Evidencia del sitio La Chimba en el Ecuador septentrional. En C. Gnecco (Ed.), *Perspectivas Regionales en la Arqueología del Suroccidente de Colombia y Norte del Ecuador* (pp. 3–29). Editorial Universidad de Cauca.
- Athens, J. S. (1997). Etnicidad y Adaptación. El periodo Tardío de la ocupación Cara en la Sierra Norte del Ecuador. *Sarance, revista del Instituto Otavaleño de Antropología*, 24, 161–204.
- Barriuso, M. A. (1980). *Atacames: Ceremonialismo y ritual funerario. II*, 361–370.

- Beck Jr., R. A., Bolender, D. J., Brown, J. A., & Earle, T. K. (2007). Eventful Archaeology: The Place of Space in Structural Transformation. *Current Anthropology*, 48(6), 833–860.  
<https://doi.org/10.1086/520974>
- Blower, D. (1995). *The quest for mullu: Concepts, trade, and the archaeological distribution of Spondylus in the Andes* [Masters Thesis]. Trent University.
- Bourdieu, P. (1977). *Outline of a theory of practice* (Nachdr.). Cambridge Univ. Press.
- Bourdieu, P. (1990). *The logic of practice*. Stanford University Press.
- Bray, T. L. (1995). The Panzaleo Puzzle: Non-Local Pottery in Northern Highland Ecuador. *Journal of Field Archaeology*, 22(2), 137–156.
- Bray, T. L. (2008). Late Pre-Hispanic Chiefdoms of Highland Ecuador. En H. Silverman & W. H. Isbell (Eds.), *The Handbook of South American Archaeology* (pp. 527–543). Springer New York. [https://doi.org/10.1007/978-0-387-74907-5\\_27](https://doi.org/10.1007/978-0-387-74907-5_27)
- Brown, J. A. (1981). The search for rank in prehistoric burials. En R. Chapman, I. Kinnes, & K. Ransborg (Eds.), *The archaeology of death* (pp. 25–37).
- Bruhns, K. O. (2003). Social and Cultural Development in the Ecuadorian Highlands and Eastern Lowlands during the Formative. En J. S. Raymond, R. L. Burger, J. Quilter, & Dumbarton Oaks (Eds.), *Archaeology of Formative Ecuador: A symposium at Dumbarton Oaks, 7 and 8 October 1995* (pp. 125–174). Dumbarton Oaks Research Library and Collection.
- Bruhns, K. O. (2010). Patrones de asentamiento, rutas de comunicación y mercancías de intercambio a larga distancia en el Formativo Tardío del Austro Ecuatoriano. *Bulletin de l'Institut français d'études andines*, 39 (3), 683–696.  
<https://doi.org/10.4000/bifea.1871>
- Brumfiel, E., & Earle, T. (1987). Specialization, exchange, and complex societies: An introduction. En E. Brumfiel & T. Earle (Eds.), *Specialization, exchange, and complex societies*. Cambridge University Press.

- Carter, B. P. (2008). *Technology, society, and change: Shell artifact production among the Manteño (a.D. 800-1532) of coastal Ecuador* [Dissertation for the degree of Doctor of Philosophy]. Washington University.
- Carter, B. P. (2011). Spondylus in South American Prehistory. En F. Ifantidis, M. Nikolaïdou, & E. A. of Archaeologists (Eds.), *Spondylus in prehistory: New data and approaches: Contributions to the archaeology of shell technologies* (pp. 63–89). Archaeopress.
- Carter, B. P., & Helmer, M. (2015). Elite drees and regional identity: Chimú-Inka perforated ornaments from Samanco, Nepeña Valley, Coastal Perú. *BEADS: Journal of the Society of Bead Researchers*, 27, 46–74.
- Clark, J. E. (2008). In Craft Specialization's Penumbra: Things, Persons, Action, Value, and Surplus. *Archeological Papers of the American Anthropological Association*, 17(1), 20–35. <https://doi.org/10.1525/ap3a.2007.17.1.20>
- Costin, C. (1991). Craft Specialization: Issues in Defining, Documenting, and Explaining the Organization of Production. En M. B. Schiffer (Ed.), *Archeological Method and Theory* (Vol. 3). The University of Arizona Press.
- Costin, C. (2016). Introduction. Making Value, Making Meaning: Techné in the Pre-Columbian World. En C. Costin (Ed.), *Making Value, Making Meaning: Techné in the Pre-Columbian World* (pp. 1–30). Dumbarton Oaks Research Library and Collection.
- DeMarrais, E., Castillo, L. J., & Earle, T. (1996). Ideology, Materialization, and Power Strategies. *Current Anthropology*, 37(1), 15–31.
- Dobres, M.-A. (2010). Archaeologies of technology. *Cambridge Journal of Economics*, 34(1), 103–114. <https://doi.org/10.1093/cje/bep014>
- Doyon, L. (1988). Tumbas de la Nobleza en La Florida. *Quito, antes de Benalcazar*, 51–66.
- Doyon-Bernard, S. J. (1993). La Florida's Mortuary Textiles: The Oldest Extant Textiles from Ecuador. *The Textile Museum Journal*, 32 y 33, 82–102.

- Dyrdahl, E. (2017). *Interregional interaction and craft production at Las Orquídeas, Imbabura, Ecuador, during the Late Formative (800 – 400 cal BC)*. The Pennsylvania State University.
- Earle, T. (1982). Prehistoric Economics and the Archeology of Exchange. En J. E. Ericson & T. Earle (Eds.), *Contexts for Prehistoric Exchange* (Academic Press).
- Earle, T. (1997). *How Chiefs Come to Power. The Political Economy in Prehistory* (Stanford University Press).
- Earle, T., & Spriggs, M. (2015). Political Economy in Prehistory: A Marxist Approach to Pacific Sequences. *Current Anthropology*, 56(4), 515–544. <https://doi.org/10.1086/682284>
- Eerkens, J. W. (2000). Practice Makes Within 5% of Perfect: Visual Perception, Motor Skills, and Memory in Artifact Variation. *Current Anthropology*, 41(4), 663–668.
- Eerkens, J. W., & Bettinger, R. L. (2001). Techniques for Assessing Standardization in Artifact Assemblages: Can We Scale Material Variability? *American Antiquity*, 66(3), 493–504. <https://doi.org/10.2307/2694247>
- Flad, R. K., & Hruby, Z. X. (2007). “Specialized” Production in Archaeological Contexts: Rethinking Specialization, the Social Value of Products, and the Practice of Production. *Archeological Papers of the American Anthropological Association*, 17(1), 1–19. <https://doi.org/10.1525/ap3a.2007.17.1.1>
- Gaffney, D., Summerhayes, G. R., Szabo, K., & Koppel, B. (2019). The Emergence of Shell Valuable Exchange in the New Guinea Highlands. *American Anthropologist*, 121(1), 30–47. <https://doi.org/10.1111/aman.13154>
- García Galván, J. R., & Barriuso Pérez, M. A. (1986). Estudio de las Chaquiras de Atacames (Ecuador). *Miscelánea Antropológica Ecuatoriana*, 6(6), 61–80.

- Goldstein, P. S. (2000). Exotic Goods and Everyday Chiefs: Long-Distance Exchange and Indigenous Sociopolitical Development in the South Central Andes. *Latin American Antiquity*, 11(4), 335–361.
- Guinea, M. (2006). Un sistema de producción artesanal de cuentas de concha en un contexto doméstico manteño: Japoto (provincia de Manabí, Ecuador). *Bulletin de l'Institut Français d'Études Andines*, 35(3), 299–312.
- Haas, J. (1985). Excavations on Huaca Grande: An Initial View of the Elite of Pampa Grande, Peru. *Journal of Field Archaeology*, 12(4), 391–409.  
<https://doi.org/10.1179/009346985791169823>
- Helms, M. (1993). *Craft and the Kingly Ideal: Art, Trade, and Power*. University of Texas Press.
- Hirth, K. (2008). The Economy of Supply: Modeling Obsidian Procurement and Craft Provisioning at a Central Mexican Urban Center. *Latin American Antiquity*, 19(4), 435–457. <https://doi.org/10.1017/S1045663500004375>
- Hirth, K. (2009). Housework and Domestic Craft Production: An Introduction: Introduction. *Archeological Papers of the American Anthropological Association*, 19(1), 1–12.  
<https://doi.org/10.1111/j.1551-8248.2009.01009.x>
- Hodder, I. (1982). Toward a Contextual Approach to Prehistoric Exchange. En J. E. Ericson & T. Earle (Eds.), *Context for Prehistoric Exchange*.
- Hodder, I. (1984). Survey 2: Ideology and power-the archeological debate. *Environment and Planning D: Society and Space*, 2, 347–353.
- Inomata, T. (2001). The Power and Ideology of Artistic Creation: Elite Craft Specialists in Classic Maya Society. *Current Anthropology*, 42(3), 321–349.
- Isaza Aizpurúa, I. I., & McAnany, P. A. (1999). Adornment and identity. Shell ornaments from Formative K'axob. *Ancient Mesoamerica*, 10, 117–127.
- Mann, M. (1986). *The sources of social power* (Vol. 1). Cambridge University Press.

- Masucci, M. (1995). Marine Shell Production and the Role of Domestic Craft Activities in the Economy of the Guangala Phase, Southwest Ecuador. *Latin American Antiquity*, 6(1), 70–84.
- Mester, A. M. (1985). Un taller manteño de la concha madre perla del sitios Los Frailes, Manabí (M. Viteri, Trad.). *Miscelánea Antropológica Ecuatoriana*, 5, 101–111.
- Meyers, A., Oberem, U., Wentscher, J., & Wurster, W. (1981). *Dos pozos funerarios con cámara lateral en Malchinguí*. 3, 143–169.
- Meyers, M. S. (2014). Shell Trade. Craft Production at a Fourteenth-Century Mississippian Frontier. En T. M. Peres (Ed.), *Trends and traditions in southeastern zooarchaeology* (pp. 80–104). University Press of Florida.
- Molestina Zaldumbide, M. del C. (2006). El pensamiento simbólico de los habitantes de La Florida (Quito-Ecuador). *Bulletin de l'Institut français d'études andines*, 35(3), 37–395.
- Moore, J., & Vilchez, C. (2015). Spondylus and the Inka Empire on the Far North Coast of Perú: Recent Excavations at the Taller Conchales, Cabeza de Vaca, Tumbes. En C. Costin (Ed.), *Making Value, Making Meaning: Techné is the Pre-Columbian World* (Dumbarton Oaks). in press.
- Oberem, U. (1981a). *Los Caranquis de la Sierra norte del Ecuador y su incorporación al Tahuantinsuyu*. 73–102.
- Oberem, U. (1981b). *Los montículos funerarios con pozo*. 3, 125–142.
- Pazmiño, E. (2014). Huataviro y los señoríos de la sierra norte del Ecuador. *Revista del Patrimonio Cultural del Ecuador*, 56–69.
- Pazmiño, E., Montalvo, C., & Cajas, O. (2009). *Informe Final Proyecto Arqueológico Huataviro, Fase 1*. Instituto Nacional de Patrimonio Cultural.
- Pazmiño, E., Montalvo, C., & Cajas, O. (2010). *Informe Final Proyecto Arqueológico Huataviro, Fase 2*. Instituto Nacional de Patrimonio Cultural.

- Pearson, M. P. (1982). Mortuary practices, society, and ideology: An ethnoarcheological study. En I. Hodder (Ed.), *Symbolic and structural archeology* (pp. 99–113). Cambridge University Press.
- Raymond, J. S., & Delgado, F. (2008). *Rescuing Cerro Narrío, Cañar Province, Ecuador: Report on Investigations at Cerro Narrío, Ecuador* [Reporte de investigaciones].
- Roscoe, P. (2017). The Emergence of Sociopolitical Complexity: Evidence from Contact-Era New Guinea. En R. J. Chacon & R. G. Mendoza (Eds.), *Feast, Famine or Fighting?* (Vol. 8, pp. 197–222). Springer International Publishing. <https://doi.org/10.1007/978-3-319-48402-0>
- Roux, V., Bril, B., Cauliez, J., Goujon, A.-L., Lara, C., Manen, C., de Saulieu, G., & Zangato, E. (2017). Persisting technological boundaries: Social interactions, cognitive correlations and polarization. *Journal of Anthropological Archaeology*, *48*, 320–335. <https://doi.org/10.1016/j.jaa.2017.09.004>
- Roux, V., Bril, B., & Karasik, A. (2018). Weak Ties and Expertise: Crossing Technological Boundaries. *Journal of Archaeological Method and Theory*, *25*(4), 1024–1050. <https://doi.org/10.1007/s10816-018-9397-8>
- Ruiz Rosell, K. (2008). La Tumba M-U1411: Un entierro Mochica Medio de elite en el cementerio de San José de Moro. En L. J. Castillo, Institut français d'études andines, & Pontificia Universidad Católica del Perú (Eds.), *Arqueología mochica: Nuevos enfoques: Actas del primer Congreso Internacional de Jóvenes Investigadores de la Cultura Mochica, Lima 4 y 5 de agosto de 2004* (1. ed, pp. 381–396). Fondo Editorial, Pontificia Universidad Católica del Perú.
- Sellet, F. (1993). Chaîne Operatoire: The concept and its applications. *Lithic Technology*, *18*(1 y 2), 106–112.

- Sewell, W. H. (2005). *Logics of history: Social theory and social transformation*. University of Chicago Press.
- Sharpe, A. E. (2019). The Ancient Shell Collectors: Two Millennia of Marine Shell Exchange At Ceibal, Guatemala. *Ancient Mesoamerica*, 30(3), 493–516.  
<https://doi.org/10.1017/S0956536118000366>
- Shimada, I. (1995). *Cultura Sicán. Dios, riqueza y poder en la costa norte del Perú*. EDUBANCO.
- Soria, D. (2019). *Artefactos de concha como indicador en la investigación arqueológica: Propuesta de análisis tafonómico en la sierra norte, sitio Las Orquídeas, San Antonio de Ibarra, provincia de Imbabura* [Tesis de pregrado]. Pontificia Universidad Católica del Ecuador.
- Spencer, C. S. (2019). Cultural Macroevolution and Social Change. En A. M. Prentiss (Ed.), *Handbook of Evolutionary Research in Archaeology* (pp. 183–213). Springer International Publishing. [https://doi.org/10.1007/978-3-030-11117-5\\_10](https://doi.org/10.1007/978-3-030-11117-5_10)
- Temme, M. (1999). El Formativo en Putushío-Sierra Sur del Ecuador. En A. R. González, B. J. Meggers, & P. Ledergerber-Crespo (Eds.), *Formativo Sudamericano, una revaluación: Ponencias presentadas en el Simposio Internacional de Arqueología Sudamericana, Cuenca, Ecuador, 13-17 de enero de 1992: Homenaje a Alberto Rex González y Betty J. Meggers* (pp. 124–138). Ediciones ABYA YALA.
- Trubitt, M. B. (2005). Marine Shell Ornaments from Cahokia. *The Bead Forum: Newsletter of the Society of Bead Researchers*, 47, 6–13.
- Ugalde, M. F. (2007). Formas de enterramiento en Quito Preincaico: Los descubrimientos de la Ciudad Metrópoli. *Revista Antropología Cuadernos de Investigación*, 7, 6–33.
- Ugalde, M. F. (2015). *Cochasquí revisitado: Historiografía, investigaciones recientes y perspectivas*. Gobierno Autónomo Descentralizado Pichincha.

Wurster, W. (1981). Aportes a la reconstrucción de edificios con planta circular, sobre las pirámides con rampa de Cochasquí. *Colección Pendoneros*, 3, 79–124.

### Anexo 1: tabla cuentas

Ficha	Numeración	Diámetro (mm)	Diámetro orificio (mm)	Espesor (mm)	Color	Tipo de perforación
T2-Removido, #13	m00001	5,16	1,89	2,25	3	3
T2-Removido, #13	m00002	3,54	1,63	1,58	3	3
T2-Removido, #13	m00003	10,99	2,63	4,19	1	2
T2-Removido, #13	m00004	9,75	2,6	3,06	1	2
T2-Removido, #13	m00005	8,82	2,6	3,56	1	2
T2-Removido, #13	m00006	9,3	2,83	3,21	1	3
T2-Removido, #13	m00007	13,55	2,07	3,03	1	2
T2-Removido, #13	m00008	6,86	2,66	1,96	1	3
T2-Removido, #13	m00009	4,93	1,75	2,87	3	2
T2-Removido, #13	m00010	9,24	2,13	3,95	1	3
T2-Removido, #13	m00011	12,09	2,16	5,55	1	2
T2-Removido, #13	m00012	8,5	1,98	2,78	1	3
T2-Removido, #13	m00013	8,85	2,73	2,85	1	2
T2-Removido, #13	m00014	9,05	2,54	4,23	1	2
T2-Removido, #13	m00015	6,99	3,4	3,51	1	2
T2-Removido, #13	m00016	4,48	1,66	2,51	1	2
T2-Removido, #13	m00017	7,63	2,13	2,73	1	2
T2-Removido, #13	m00018	6,01	1,71	1,85	3	2
T2-Removido, #13	m00019	6,36	2,08	1,75	2	3
T2-Removido, #13	m00020	8,02	2,63	2,22	1	3
T2-Removido, #13	m00021	6,15	1,7	1,64	1	3

#13						
T2-Removido, #13	m00022	10,8	2,13	2,15	1	2
T2-Removido, #13	m00023	8,28	3,17	2,81	2	2
T2-Removido, #13	m00024	8,9	1,86	3,06	1	2
T2-Removido, #13	m00025	6,68	1,61	2,74	1	2
T2-Removido, #13	m00026	6,83	1,72	3,03	1	2
T2-Removido, #13	m00027	4,97	1,56	3,38	3	2
T2-Removido, #13	m00028	5,82	1,97	1,58	1	2
T2-Removido, #13	m00029	6,05	1,87	1,71	1	2
T2-Removido, #13	m00030	6,6	1,98	2,53	1	2
T2-Removido, #13	m00031	5,8	1,88	2,49	1	3
T2-Removido, #13	m00032	6,05	1,83	2,19	2	2
T2-Removido, #13	m00033	6,36	1,88	2,19	1	2
T2-Removido, #13	m00034	5,93	1,85	1,66	1	3
T2-Removido, #13	m00035	6,22	1,84	1,98	1	2
T2-Removido, #13	m00036	7,62	2,17	4,63	1	2
T2-Removido, #13	m00037	6,92	2	3,12	1	1
T2-Removido, #13	m00038	6,4	1,46	3,39	1	2
T2-Removido, #13	m00039	4,76	1,62	1,8	2	3
T2-Removido, #13	m00040	5,42	1,88	1,52	1	2
T2-Removido, #13	m00041	6,85	1,58	2,09	1	3
T2-Removido, #13	m00042	3,7	1,28	0,6	1	3
T2-Removido, #13	m00043	3,79	1,9	0,66	1	3
T2-Removido, #13	m00044	3,76	1,66	0,9	1	3
T2-Removido, #13	m00045	6,12	1,8	1,57	1	3

#13						
T2-Removido, #13	m00046	5,08	1,65	1,39	1	2
T2-Removido, #13	m00047	4,54	1,49	2,78	3	2
T2-Removido, #13	m00048	5,13	1,83	1,83	1	2
T2-Removido, #13	m00049	4,38	1,58	1,54	1	2
T2-Removido, #13	m00050	4,52	2,04	1,24	1	3
T2-Removido, #13	m00051	4,78	1,68	0,63	1	3
T2-Removido, #13	m00052	6,4	1,59	1,32	1	3
T2-Removido, #13	m00053	3,23	1,28	1,21	1	3
T2-Removido, #13	m00054	3,77	1,24	1,4	1	2
T2-Removido, #13	m00055	5,41	1,9	1,54	1	3
T2-Removido, #13	m00056	4,05	1,86	1,6	1	2
T2-Removido, #13	m00057	4,51	1,87	1,63	1	2
T2-Removido, #13	m00058	3,43	1,4	1,78	1	2
T2-Removido, #13	m00059	5,05	1,48	1,76	1	2
T2-Removido, #13	m00060	6,03	2,09	1,59	1	
T2-Removido, #13	m00061	6,7	1,19	1,85	1	
T2-Removido, #13	m00062	4,67	2,09	1,08	1	
T2-Removido, #13	m00063	3,71	1,42	1,67	1	
T2-Removido, #13	m00064	3,41	1,27	1,3	1	
T2-Removido, #13	m00065	5,42	1,58	1,27	1	
T2-Removido, #13	m00066	6,03	1,74	1,51	1	
T2-Removido, #13	m00067	4,99	1,86	2,41	1	
T2-Removido, #13	m00068	4,53	1,23	1,72	1	
T2-Removido, #13	m00069	4,77	1,94	2,21	1	

T2-Removido, #13	m00070	5,18	1,9	1,74	1	
T2-Removido, #13	m00071	4,48	1,87	1,72	2	
T2-Removido, #13	m00072	4,48	1,76	1,23	2	
T2-Removido, #13	m00073	3,63	1,68	1,76	1	
T2-Removido, #13	m00074	5,83	1,72	2,01	1	
T2-Removido, #13	m00075	4,96	1,52	1,25	1	
T2-Removido, #13	m00076	5,14	2,62	1,76	1	
T2-Removido, #13	m00077	3,78	1,19	1,23	1	
T2-Removido, #13	m00078	5,72	1,77	1,34	1	
T2-Removido, #13	m00079	3,34	1,39	1,15	1	
T2-Removido, #13	m00080	4,61	1,3	1,27	2	
T2-Removido, #13	m00081	3,55	1,72	1,91	1	
T2-Removido, #13	m00082	4,83	1,6	1,89	1	
T2-Removido, #13	m00083	6,16	1,91	0,85	1	
T2-Removido, #13	m00084	5,11	2,21	1,87	1	
T2-Removido, #13	m00085	3,83	1,73	0,77	1	
T2-Removido, #13	m00086	4,51	1,79	1,83	2	
T2-Removido, #13	m00087	6,23	1,88	1	1	
T2-Removido, #13	m00088	5,64	1,53	1,07	2	
T2-Removido, #13	m00089	4,52	1,41	1,99	1	
T2-Removido, #13	m00090	6,57	2,36	2,04	1	
T2-Removido, #13	m00091	5,71	2,25	2,3	1	
T2-Removido, #13	m00092	5,87	2,02	1,83	1	
T2-Removido, #13	m00093	3,7	1,25	0,84	2	
T2-Removido, #13	m00094	4,05	1,88	2,06	1	

#13						
T2-Removido, #13	m00095	5,44	1,93	1,61	1	
T2-Removido, #13	m00096	7,21	2,28	2,62	1	
T2-Removido, #13	m00097	4,17	1,82	1,29	2	
T2-Removido, #13	m00098	4,45	1,4	1,77	1	
T2-Removido, #13	m00099	5,95	1,85	1,37	1	
T2-Removido, #13	m00100	6,31	2,18	1,08	1	
T2-Removido, #13	m00101	5,65	2	1,11	1	
T2-Removido, #13	m00102	4,02	1,31	1,87	1	
T2-Removido, #13	m00103	6,18	1,98	1,01	1	
T2-Removido, #13	m00104	4,31	1,66	1,59	1	
T2-Removido, #13	m00105	4,83	2,31	2,47	1	
T2-Removido, #13	m00106	3,92	1,19	1,15	2	
T2-Removido, #13	m00107	5,86	1,55	1,19	1	
T2-Removido, #13	m00108	5,38	2,53	1,26	1	
T2-Removido, #13	m00109	5,24	1,53	1,19	1	
T2-Removido, #13	m00110	4,02		1,47	1	
T2-Removido, #13	m00111	4,11	1,25	0,9	1	
T2-Removido, #13	m00112	3,78	1,58	1,01	1	
T2-Removido, #13	m00113	4,44	1,42	1,44	1	
T2-Removido, #13	m00114	3,7	1,12	1,86	1	
T2-Removido, #13	m00115	11,85	2,72	5,11	1	3
T2-Removido, #13	m00116	9,7	1,87	2,13	1	2
T2-Removido, #13	m00117	12,85	2,21	3,03	1	2
T2-Removido, #13	m00118	11,7	2,01	3,3	1	3

T2-Removido, #13	m00119	13,29	2,07	2,93	1	2
T2-Removido, #13	m00120	6,91	1,84	2,35	1	2
T2-Removido, #13	m00121	6,69	2,01	3,23	1	3
T2-Removido, #13	m00122	8,51	2,24	3,17	2	3
T2-Removido, #13	m00123	5,26	1,88	2,43	1	3
T2-Removido, #13	m00124	5,18	1,71	2,27	1	3
T2-Removido, #13	m00125	9,15	1,92	2,6	1	3
T2-Removido, #13	m00126	9	2,52	4,62	2	3
T2-Removido, #13	m00127	9,05	2,28	2,58	1	3
T2-Removido, #13	m00128	6,24	1,52	1,86	1	2
T2-Removido, #13	m00129	10,7	2,49	4,16	2	2
T2-Removido, #13	m00130	8,88	2,13	1,07	2	3
T2-Removido, #13	m00131	8,15	2,31	4,73	1	2
T2-Removido, #13	m00132	9,02	2,22	3,73	1	2
T2-Removido, #13	m00133	8,81	2,15	2,94	1	2
T2-Removido, #13	m00134	8,51	2,27	2,53	1	3
T2-Removido, #13	m00135	5,64	2,5	2,26	1	3
T2-Removido, #13	m00136	3,64	1,43	1,77	3	3
T2-Removido, #13	m00137	6,07	1,86	2,01	2	2
T2-Removido, #13	m00138	6,18	1,7	1,88	1	3
T2-Removido, #13	m00139	9,6	2,1	3,05	1	2
T2-Removido, #13	m00140	8,23	2,19	1,6	2	3
T2-Removido, #13	m00141	9,7	2,41	4,06	1	2
T2-Removido, #13	m00142	6,5	2,08	1,55	1	2
T2-Removido, #13	m00143	7,72	1,97	2,25	2	3

#13						
T2-Removido, #13	m00144	7,16	2,38	2,59	1	1
T2-Removido, #13	m00145	6,07	2,11	1,95	2	3
T2-Removido, #13	m00146	6,82	1,84	3,31	1	3
T2-Removido, #13	m00147	4,48	1,73	2,54	2	3
T2-Removido, #13	m00148	6,02	1,55	1,4	1	3
T2-Removido, #13	m00149	8,68	2,1	2,95	2	3
T2-Removido, #13	m00150	12,38	2,12	2,24	1	3
T2-Removido, #13	m00151	10,92	1,65	2,07	2	3
T2-Removido, #13	m00152	5,5	1,77	2,2	1	2
T2-Removido, #13	m00153	7,13	1,83	1,57	2	3
T2-Removido, #13	m00154	6,63	1,79	1,42	2	3
T2-Removido, #13	m00155	9,5	2,03	2,32	1	2
T2-Removido, #13	m00156	5,29	1,32	2,04	1	3
T2-Removido, #13	m00157	8,19	1,88	2,24	2	3
T2-Removido, #13	m00158	6,24	1,85	1,69	1	3
T2-Removido, #13	m00159	9,42	1,96	2,47	1	2
T2-Removido, #13	m00160	5,86	1,8	2,2	1	2
T2-Removido, #13	m00161	8,8	2,74	2,68	1	3
T2-Removido, #13	m00162	13,91	2,16	3,46	2	3
T2-Removido, #13	m00163	10,13	2,26	2,69	1	3
T2-Removido, #13	m00164	8,9	2,42	3,1	1	3
T2-Removido, #13	m00165	9,15	2,32	4,39	1	2
T2-Removido, #13	m00166	8,88	2,52	3,25	1	2
T2-Removido, #13	m00167	8,14	1,87	2,43	2	3

T2-Removido, #13	m00168	7,61	2,33	2,84	2	2
T2-Removido, #13	m00169	5,47	1,58	2,1	1	2
T2-Removido, #13	m00170	7,21	2,28	2,28	1	3
T2-Removido, #13	m00171	8,79	1,86	1,94	2	2
T2-Removido, #13	m00172	8,48	2,24	2,56	2	3
T2-Removido, #13	m00173	10,37	2,21	3,53	1	2
T2-Removido, #13	m00174	7,31	1,9	1,98	1	3
T2-Removido, #13	m00175	7,49	2,42	1,82	1	3
T2-Removido, #13	m00176	5,93	1,87	2,35	1	2
T2-Removido, #13	m00177	7,97	1,85	3,36	1	3
T2-Removido, #13	m00178	8,53	2,47	2	1	3
T2-Removido, #13	m00179	11,32	2,89	5,11	1	2
T2-Removido, #13	m00180	8,89	1,61	1,93	1	2
T2-Removido, #13	m00181	8,51	2,22	2,76	1	3
T2-Removido, #13	m00182	4,84	1,38	1,8	2	2
T2-Removido, #13	m00183	7,71	1,72	1,97	2	3
T2-Removido, #13	m00184	10,87	2,46	3,88	1	2
T2-Removido, #13	m00185	12,3	2,15	3,02	1	2
T2-Removido, #13	m00186	7,81	1,98	2,07	2	3
T2-Removido, #13	m00187	7,34	1,84	2,12	2	3
T2-Removido, #13	m00188	8,14	2,16	2,06	1	3
T2-Removido, #13	m00189	9,17	2,5	3,48	1	2
T2-Removido, #13	m00190	7,64	1,7	1,84	1	3
T2-Removido, #13	m00191	6,03	2,02	2,61	1	3

T2-Removido, #13	m00192	8,12	1,72	2,36	1	3
T2-Removido, #13	m00193	8,31	1,98	2,54	1	3
T2-Removido, #13	m00194	10,51	2,46	3,18	1	3
T2-Removido, #13	m00195	7,67	2,51	3,66	2	3
T2-Removido, #13	m00196	7,98	1,98	2,22	1	2
T2-Removido, #13	m00197	8,41	1,78	1,91	2	2
T2-Removido, #13	m00198	12,68	2,7	2,76	2	2
T2-Removido, #13	m00199	7,57	1,74	1,88	2	2
T2-Removido, #13	m00200	7,75	2,37	3,54	2	2
T2-Removido, #13	m00201	8,75	2,43	3,57	1	2
T2-Removido, #13	m00202	10,73	2,25	1,86	1	2
T2-Removido, #13	m00203	7,32	1,46	2,19	2	3
T2-Removido, #13	m00204	8,1	1,93	1,58	2	2
T2-Removido, #13	m00205	7,35	2	2,48	2	3
T2-Removido, #13	m00206	6,88	2,24	2,34	2	2
T2-Removido, #13	m00207	6,23	1,79	1,95	1	3
T2-Removido, #13	m00208	8,5	1,93	1,59	2	2
T2-Removido, #13	m00209	8,58	1,82	1,53	1	3
T2-Removido, #13	m00210	8,33	2,76	3,52	1	2
T2-Removido, #13	m00211	11,87	1,86	2,67	1	3
T2-Removido, #13	m00212	9,24	2,24	2,81	2	3
T2-Removido, #13	m00213	9,42	2,13	2,6	1	2
T2-Removido, #13	m00214	8,84	2,01	2,21	2	3
T2-Removido, #13	m00215	4,35	1,57	3	1	2

T2-Removido, #13	m00216	6,33	2,24	1,66	2	3
T2-Removido, #13	m00217	7,64	2	1,92	1	3
T2-Removido, #13	m00218	10,11	2,28	3,55	1	2
T2-Removido, #13	m00219	7,42	2,39	2,76	1	2
T2-Removido, #13	m00220	9	1,95	1,61	2	3
T2-Removido, #13	m00221	7,43	1,94	1,87	1	2
T2-Removido, #13	m00222	8,46	2,22	3,61	1	2
T2-Removido, #13	m00223	11,27	2,21	3	2	2
T2-Removido, #13	m00224	12,83	2,13	2,03	1	3
T2-Removido, #13	m00225	9,4	2,47	3,12	1	2
T2-Removido, #13	m00226	6,42	2,04	2,1	1	3
T2-Removido, #13	m00227	8,48	1,95	3,06	1	2
T2-Removido, #13	m00228	7,22	2,53	3,79	1	2
T2-Removido, #13	m00229	12,92	2,43	2,68	2	2
T2-Removido, #13	m00230	6,1	1,88	1,88	1	2
T2-Removido, #13	m00231	6,37	2,02	3,33	1	2
T2-Removido, #13	m00232	8,33	2,07	3,27	2	2
T2-Removido, #13	m00233	6,64	1,79	3,3	1	2
T2-Removido, #13	m00234	6,39	1,62	1,34	1	2
T2-Removido, #13	m00235	7,7	2,55	2	1	3
T2-Removido, #13	m00236	9,39	2,03	3,51	1	2
T2-Removido, #13	m00237	9	2,36	2,69	1	2
T2-Removido, #13	m00238	8,13	2,45	3,66	1	2
T2-Removido, #13	m00239	5,43	1,71	1,71	2	2
T2-Removido, #13	m00240	8,98	2	2,87	1	2

#13						
T2-Removido, #13	m00241	6,53	1,66	1,94	1	2
T2-Removido, #13	m00242	7,3	2,33	3,39	1	2
T2-Removido, #13	m00243	6,3	1,54	1,51	1	3
T2-Removido, #13	m00244	6,06	2,12	1,48	1	3
T2-Removido, #13	m00245	5,16	2	2,05	1	3
T2-Removido, #13	m00246	6,04	1,95	1,56	1	3
T2-Removido, #13	m00247	6,5	2,14	4,05	1	3
T2-Removido, #13	m00248	6,72	1,9	2,06	1	2
T2-Removido, #13	m00249	11,14	2,3	2,47	1	2
T2-Removido, #13	m00250	6,47	2,4	3,53	1	2
T2-Removido, #13	m00251	5,89	1,77	1,78	1	2
T2-Removido, #13	m00252	8,56	2,01	1,6	1	3
T2-Removido, #13	m00253	5,85	1,52	1,54	1	2
T2-Removido, #13	m00254	11,37	2,24	2,49	1	2
T2-Removido, #13	m00255	7,29	2,24	3,19	1	2
T2-Removido, #13	m00256	8,33	2,54	2,21	2	3
T2-Removido, #13	m00257	8,88	2,55	3,05	1	3
T2-Removido, #13	m00258	7,78	1,84	1,49	2	3
T2-Removido, #13	m00259	8,2	2,52	4,05	1	2
T2-Removido, #13	m00260	6,54	2,82	3,16	1	2
T2-Removido, #13	m00261	7,57	1,84	2,02	2	3
T2-Removido, #13	m00262	12,62	2,14	2,37	2	3
T2-Removido, #13	m00263	8,22	2,71	3,85	1	2
T2-Removido, #13	m00264	6,35	2,09	2,82	1	2

T2-Removido, #13	m00265	6,59	2,06	2,12	1	2
T2-Removido, #13	m00266	7,23	2,12	3,56	1	2
T2-Removido, #13	m00267	10,56	2,79	4,22	1	2
T2-Removido, #13	m00268	7,72	2,34	2,85	1	2
T2-Removido, #13	m00269	6,1	2,05	2,33	1	2
T2-Removido, #13	m00270	6,6	1,9	1,84	1	2
T2-Removido, #13	m00271	5,71	1,9	2,1	2	2
T2-Removido, #13	m00272	6,62	2,55	2,62	1	2
T2-Removido, #13	m00273	7,75	2,29	2,68	2	2
T2-Removido, #13	m00274	6,21	1,87	2,25	2	3
T2-Removido, #13	m00275	5,13	1,62	1,57	2	2
T2-Removido, #13	m00276	8,44	2,04	2,75	2	2
T2-Removido, #13	m00277	7,78	1,98	2,35	1	2
T2-Removido, #13	m00278	6,06	1,77	2,12	1	2
T2-Removido, #13	m00279	6,41	2,12	1,9	1	2
T2-Removido, #13	m00280	4,49	1,34	1,89	1	2
T2-Removido, #13	m00281	5,4	2,15	2,23	1	3
T2-Removido, #13	m00282	4,64	1,9	1,57	1	2
T2-Removido, #13	m00283	10,38	2,39	4,29	1	3
T2-Removido, #13	m00284	7,46	2,18	2,74	1	3
T2-Removido, #13	m00285	7,77	2,72	3,79	1	2
T2-Removido, #13	m00286	11,52	2,35	2,37	1	2
T2-Removido, #13	m00287	4,81	1,88	3,13	3	2
T2-Removido, #13	m00288	7,98	2,08	3,05	1	2

T2-Removido, #13	m00289	4,23	1,31	1,57	1	3
T2-Removido, #13	m00290	9,36	1,87	2,22	1	3
T2-Removido, #13	m00291	8,59	1,91	2,49	1	2
T2-Removido, #13	m00292	7,13	1,77	1,81	1	2
T2-Removido, #13	m00293	6,72	2,06	2,66	1	2
T2-Removido, #13	m00294	8,75	2,34	2,83	1	2
T2-Removido, #13	m00295	7,17	2,05	1,92	1	3
T2-Removido, #13	m00296	9,74	2,43	2,27	1	2
T2-Removido, #13	m00297	6,87	2,31	1,99	1	3
T2-Removido, #13	m00298	5,85	2,01	1,46	1	2
T2-Removido, #13	m00299	6,38	1,8	2	1	2
T2-Removido, #13	m00300	8,59	2,08	2,86	1	2
T2-Removido, #13	m00301	5,91	1,56	1,63	1	2
T2-Removido, #13	m00302	6,65	1,94	1,97	1	2
T2-Removido, #13	m00303	5,94	2,07	1,91	1	2
T2-Removido, #13	m00304	6,49	1,74	1,48	1	3
T2-Removido, #13	m00305	5,1	1,79	2,72	1	2
T2-Removido, #13	m00306	5,35	1,59	1,59	1	2
T2-Removido, #13	m00307	6,43	1,93	0,87	1	3
T2-Removido, #13	m00308	4,87	1,92	1,5	1	2
T2-Removido, #13	m00309	4,95	1,97	1,18	1	2
T2-Removido, #13	m00310	5,78	1,9	1,72	1	2
T2-Removido, #13	m00311	5,13	1,13	0,79	1	3
T2-Removido, #13	m00312	5,16	1,84	2,24	3	2
T2-Removido,	m00313	5,14	1,41	1,69	1	2

#13						
T2-Removido, #13	m00314	8,41	2,54	3,03	1	1
T2-Removido, #13	m00315	6,24	1,71	1,76	1	2
T2-Removido, #13	m00316	5,63	1,56	1,34	2	3
T2-Removido, #13	m00317	6,45	1,68	1,89	1	2
T2-Removido, #13	m00318	6	1,55	1,23	2	2
T2-Removido, #13	m00319	6,46	2,34	1,57	1	3
T2-Removido, #13	m00320	9,62	2,46	3,01	2	2
T2-Removido, #13	m00321	8,27	1,84	1,83	1	2
T2-Removido, #13	m00322	7,2	1,97	2,29	1	2
T2-Removido, #13	m00323	7,29	2,23	2,78	1	2
T2-Removido, #13	m00324	4,53	1,69	0,87	2	3
T2-Removido, #13	m00325	7,84	2,23	2	1	2
T2-Removido, #13	m00326	9,03	2,18	3,19	1	2
T2-Removido, #13	m00327	5,53	1,8	2,36	2	2
T2-Removido, #13	m00328	12,96	2,48	2,43	1	2
T2-Removido, #13	m00329	7,58	1,99	1,55	2	3
T2-Removido, #13	m00330	7,72	2,03	2,29	1	2
T2-Removido, #13	m00331	8,07	2,14	2,25	1	2
T2-Removido, #13	m00332	6,46	1,97	3,23	1	2
T2-Removido, #13	m00333	5,84	1,63	1,25	1	3
T2-Removido, #13	m00334	8,04	1,96	2,96	1	2
T2-Removido, #13	m00335	6,37	2,21	2,67	2	3
T2-Removido, #13	m00336	7,9	2,08	2,94	1	2
T2-Removido, #13	m00337	6,21	1,44	2,02	2	3

T2-Removido, #13	m00338	6,4	1,9	2,73	2	2
T2-Removido, #13	m00339	6,07	1,99	1,63	1	2
T2-Removido, #13	m00340	7,63	1,92	2,57	1	2
T2-Removido, #13	m00341	8,53	2,25	2,25	1	2
T2-Removido, #13	m00342	7,39	1,91	1,79	1	2
T2-Removido, #13	m00343	5,63	1,75	2,89	3	2
T2-Removido, #13	m00344	6,26	1,68	1,55	1	2
T2-Removido, #13	m00345	6,17	1,79	1,49	1	2
T2-Removido, #13	m00346	5,6	1,52	1,61	1	2
T2-Removido, #13	m00347	8,31	2,19	2,57	1	2
T2-Removido, #13	m00348	8,2	2,1	2,68	1	2
T2-Removido, #13	m00349	10,47	1,91	1,64	1	2
T2-Removido, #13	m00350	8,28	2,02	2,6	1	2
T2-Removido, #13	m00351	8,46	1,82	2,68	1	3
T2-Removido, #13	m00352	5,96	1,94	1,71	1	2
T2-Removido, #13	m00353	6,43	2,25	2,38	1	2
T2-Removido, #13	m00354	4,43	1,44	2,69	1	2
T2-Removido, #13	m00355	5,6	1,92	3,49	1	2
T2-Removido, #13	m00356	6,63	1,88	1,81	1	2
T2-Removido, #13	m00357	7,19	2,23	2,33	1	2
T2-Removido, #13	m00358	5,6	1,64	1,47	2	2
T2-Removido, #13	m00359	6,1	1,98	3,45	1	2
T2-Removido, #13	m00360	7,71	1,89	1,32	1	2
T2-Removido, #13	m00361	7,39	1,71	1,82	1	2
T2-Removido, #13	m00362	6,1	1,76	2,31	1	2

#13						
T2-Removido, #13	m00363	7,62	2,22	1,67	1	2
T2-Removido, #13	m00364	5	1,57	1,77	1	2
T2-Removido, #13	m00365	6,92	1,42	2,02	1	2
T2-Removido, #13	m00366	7,9	2,24	2,4	1	2
T2-Removido, #13	m00367	5,54	1,87	2,11	2	2
T2-Removido, #13	m00368	5,78	1,82	2	2	2
T2-Removido, #13	m00369	5,76	1,53	2,13	3	2
T2-Removido, #13	m00370	5,63	1,79	2,05	1	2
T2-Removido, #13	m00371	6,89	1,74	1,89	1	2
T2-Removido, #13	m00372	9,9	2,01	2,12	1	2
T2-Removido, #13	m00373	6,49	1,93	1,24	1	2
T2-Removido, #13	m00374	8,97	2,44	2,42	1	2
T2-Removido, #13	m00375	8,83	2,05	1,61	1	2
T2-Removido, #13	m00376	7,43	1,79	2,78	1	2
T2-Removido, #13	m00377	4,67	1,87	1,48	1	3
T2-Removido, #13	m00378	8,22	1,8	2,34	1	2
T2-Removido, #13	m00379	8,88	2,1	2,15	1	2
T2-Removido, #13	m00380	6,16	1,54	1,26	1	2
T2-Removido, #13	m00381	5,09	1,97	2,64	1	2
T2-Removido, #13	m00382	6,14	1,9	2,01	1	2
T2-Removido, #13	m00383	8,7	2,02	1,73	1	2
T2-Removido, #13	m00384	7,35	2,25	2,59	1	2
T2-Removido, #13	m00385	7,11	1,55	1,68	2	2
T2-Removido, #13	m00386	8,56	2,31	1,81	1	2

T2-Removido, #13	m00387	8,63	2,19	3,06	1	2
T2-Removido, #13	m00388	4,51	1,67	2,07	1	2
T2-Removido, #13	m00389	3,93	1,43	2,02	3	2
T2-Removido, #13	m00390	8,05	2,24	2,56	1	2
T2-Removido, #13	m00391	8,45	2,22	1,73	2	2
T2-Removido, #13	m00392	5,86	1,83	1,72	1	2
T2-Removido, #13	m00393	7,76	1,71	1,46	2	3
T2-Removido, #13	m00394	6,3	1,76	2,08	1	2
T2-Removido, #13	m00395	7,22	2,02	1,79	1	2
T2-Removido, #13	m00396	6,02	2,06	2,85	1	2
T2-Removido, #13	m00397	5,68	1,73	1,33	1	3
T2-Removido, #13	m00398	6,01	1,63	2,5	1	2
T2-Removido, #13	m00399	6,42	2,1	3,33	1	2
T2-Removido, #13	m00400	7,46	2,01	2,03	1	2
T2-Removido, #13	m00401	8,07	2,16	2,39	1	3
T2-Removido, #13	m00402	6,71	1,97	2,11	1	2
T2-Removido, #13	m00403	6,66	1,28	1,88	1	2
T2-Removido, #13	m00404	9,38	2,37	2,55	1	2
T2-Removido, #13	m00405	7,84	1,83	1,98	1	2
T2-Removido, #13	m00406	4,96	1,77	2,22	3	2
T2-Removido, #13	m00407	6,34	1,9	2,29	1	2
T2-Removido, #13	m00408	5,29	1,93	1,95	1	2
T2-Removido, #13	m00409	5,74	1,96	1,23	2	3
T2-Removido, #13	m00410	5,04	1,78	1,4	1	2
T2-Removido, #13	m00411	5,04	1,97	2,01	1	3

#13						
T2-Removido, #13	m00412	7,03	2,29	2,78	1	2
T2-Removido, #13	m00413	4,67	1,68	1,43	1	3
T2-Removido, #13	m00414	5,8	1,84	1,03	2	2
T2-Removido, #13	m00415	7,33	1,94	1,9	1	2
T2-Removido, #13	m00416	8,12	2,11	2,26	1	2
T2-Removido, #13	m00417	9,34	2,57	3,55	1	1
T2-Removido, #13	m00418	5,62	2,57	4,35		2
T2-Removido, #13	m00419	6,77	2,06	2,35	1	2
T2-Removido, #13	m00420	6,71	2,5	2,05	1	3
T2-Removido, #13	m00421	8,57	1,48	3,06	1	2
T2-Removido, #13	m00422	7,12	1,91	2,47	1	2
T2-Removido, #13	m00423	5,65	2,02	1,78	1	2
T2-Removido, #13	m00424	7,24	1,71	1,92	1	2
T2-Removido, #13	m00425	9,22	2,13	1,52	1	2
T2-Removido, #13	m00426	5,24	2,1	2,83	2	2
T2-Removido, #13	m00427	6,18	1,98	2,58	1	2
T2-Removido, #13	m00428	5,37	1,65	1,1	1	2
T2-Removido, #13	m00429	8,05	1,86	3,41	1	2
T2-Removido, #13	m00430	7,17	2,12	2,69	1	2
T2-Removido, #13	m00431	5,38	1,4	1,99	1	2
T2-Removido, #13	m00432	6,08	1,63	2	1	2
T2-Removido, #13	m00433	5,12	1,77	3,19	1	2
T2-Removido, #13	m00434	4,28	1,4	2,51	1	2
T2-Removido, #13	m00435	5,57	1,58	1,17	1	2

T2-Removido, #13	m00436	5,19	2	1,4	2	2
T2-Removido, #13	m00437	5,17	1,6	1,71	1	2
T2-Removido, #13	m00438	5,33	1,67	1,27	1	2
T2-Removido, #13	m00439	6,37	1,9	1,33	1	2
T2-Removido, #13	m00440	6,58	1,85	1,13	1	2
T2-Removido, #13	m00441	7,22	1,82	1,54	1	2
T2-Removido, #13	m00442	5,99	1,74	2,66	2	2
T2-Removido, #13	m00443	6,67	1,8	1,22	1	3
T2-Removido, #13	m00444	5,23	1,8	1,48	1	2
T2-Removido, #13	m00445	6,33	1,82	1,55	1	2
T2-Removido, #13	m00446	5,62	2,19	1,87	2	1
T2-Removido, #13	m00447	6,05	1,66	2,07	1	2
T2-Removido, #13	m00448	7,49	1,59	2,32	2	2
T2-Removido, #13	m00449	6	1,67	1,07	1	3
T2-Removido, #13	m00450	7,7	1,8	2,5	1	2
T2-Removido, #13	m00451	6,75	1,71	1,85	1	2
T2-Removido, #13	m00452	5,82	1,54	1,58	1	2
T2-Removido, #13	m00453	7,47	1,83	2,26	1	2
T2-Removido, #13	m00454	4,92	1,85	3,54	3	2
T2-Removido, #13	m00455	8,95	1,85	1,49	1	2
T2-Removido, #13	m00456	6,76	2,07	2,6	1	2
T2-Removido, #13	m00457	4,65	1,76	2,36	1	2
T2-Removido, #13	m00458	6,09	1,4	2,02	2	2
T2-Removido, #13	m00459	8,08	2,43	2,9	1	3
T2-Removido, #13	m00460	5,26	1,58	3,49	3	2

#13						
T2-Removido, #13	m00461	6,07	1,7	1,28	1	2
T2-Removido, #13	m00462	4,55	1,37	1,76	1	2
T2-Removido, #13	m00463	6,51	1,94	2,05	1	2
T2-Removido, #13	m00464	6,09	1,86	1,62	1	2
T2-Removido, #13	m00465	6,13	1,87	2,43	1	2
T2-Removido, #13	m00466	6,01	1,95	2	1	2
T2-Removido, #13	m00467	7,94	2,04	2,23	1	2
T2-Removido, #13	m00468	7,43	2,49	3,86	1	2
T2-Removido, #13	m00469	7,98	3,39	2,37	1	3
T2-Removido, #13	m00470	7,21	1,91	1,56	1	2
T2-Removido, #13	m00471	6,38	1,99	2,29	1	2
T2-Removido, #13	m00472	8,31	1,96	1,52	1	2
T2-Removido, #13	m00473	5,72	1,77	1,55	1	3
T2-Removido, #13	m00474	6,66	1,54	2,07	2	2
T2-Removido, #13	m00475	5,58	1,84	1,69	2	3
T2-Removido, #13	m00476	8,01	1,67	2,33	1	2
T2-Removido, #13	m00477	5,31	1,72	1,74	1	2
T2-Removido, #13	m00478	6,82	1,91	2,57	1	2
T2-Removido, #13	m00479	5,77	1,93	1,74	1	2
T2-Removido, #13	m00480	6,15	1,5	1,96	1	2
T2-Removido, #13	m00481	8	2,46	2,04	1	2
T2-Removido, #13	m00482	6,63	1,83	1,85	1	2
T2-Removido, #13	m00483	6,25	2,63	2,68	1	2
T2-Removido, #13	m00484	4,51	1,35	1,71	2	2

T2-Removido, #13	m00485	5,24	1,52	1,78	1	2
T2-Removido, #13	m00486	7,6	2,23	2,04	1	2
T2-Removido, #13	m00487	5,54	1,96	2,63	1	2
T2-Removido, #13	m00488	8,45	2,08	1,89	1	2
T2-Removido, #13	m00489	7,18	1,94	1,85	1	2
T2-Removido, #13	m00490	5,73	1,57	1,8	1	2
T2-Removido, #13	m00491	5,91	1,79	1,54	1	2
T2-Removido, #13	m00492	6,59	2,17	1,87	1	2
T2-Removido, #13	m00493	5,19	1,75	2,94	3	2
T2-Removido, #13	m00494	5,14	1,78	1,29	1	2
T2-Removido, #13	m00495	4,47	1,79	1,37	1	3
T2-Removido, #13	m00496	6,7	1,92	2,22	1	2
T2-Removido, #13	m00497	6,61	1,73	1,61	1	2
T2-Removido, #13	m00498	7,16	1,72	1,78	2	2
T2-Removido, #13	m00499	6,97	2,14	2,97	1	2
T2-Removido, #13	m00500	6,08	1,8	2,35	1	2
T2-Removido, #13	m00501	6,53	2,09	1,33	1	2
T2-Removido, #13	m00502	5,73	1,82	1,74	2	2
T2-Removido, #13	m00503	5,96	1,85	1,48	1	2
T2-Removido, #13	m00504	6,25	2,18	2,79	1	2
T2-Removido, #13	m00505	4,81	1,86	1	2	3
T2-Removido, #13	m00506	5,83	1,92	1,74	1	2
T2-Removido, #13	m00507	5,93	1,77	2,21	1	2
T2-Removido, #13	m00508	6,12	1,92	1,93	1	2
T2-Removido, #13	m00509	4,53	1,62	1,68	2	2

#13						
T2-Removido, #13	m00510	4,28	1,74	1,22	1	3
T2-Removido, #13	m00511	6,5	1,96	1,54	1	2
T2-Removido, #13	m00512	6,99	1,52	1,72	1	2
T2-Removido, #13	m00513	5,29	1,86	1,51	2	2
T2-Removido, #13	m00514	8,51	2,15	1,66	2	2
T2-Removido, #13	m00515	7,07	1,78	2,67	1	2
T2-Removido, #13	m00516	8,04	1,89	2,01	1	2
T2-Removido, #13	m00517	8,5	1,83	2,14	2	2
T2-Removido, #13	m00518	6,24	1,54	2,03	1	2
T2-Removido, #13	m00519	5,4	1,88	3,11	1	2
T2-Removido, #13	m00520	7,63	2,39	3,76	2	2
T2-Removido, #13	m00521	5,75	1,82	1,71	1	2
T2-Removido, #13	m00522	6,24	2,02	2,39	2	2
T2-Removido, #13	m00523	8,7	2,03	1,94	1	2
T2-Removido, #13	m00524	8,8	2	2,29	1	2
T2-Removido, #13	m00525	6,33	1,69	1,5	2	2
T2-Removido, #13	m00526	5,79	1,74	1,43	1	2
T2-Removido, #13	m00527	7,57	1,9	1,66	1	2
T2-Removido, #13	m00528	5,13	2,18	1,1	1	2
T2-Removido, #13	m00529	6,9	1,98	2,04	1	2
T2-Removido, #13	m00530	5,75	1,38	1,15	1	1
T2-Removido, #13	m00531	10,05	1,91	3,07	1	2
T2-Removido, #13	m00532	6,46	1,75	2,2	1	2
T2-Removido, #13	m00533	4,34	1,42	1,47	1	2

T2-Removido, #13	m00534	7,62	1,9	1,18	1	1
T2-Removido, #13	m00535	8,06	2,17	2,6	1	2
T2-Removido, #13	m00536	4,11	1,07	1,6	1	2
T2-Removido, #13	m00537	6,9	1,6	1,67	1	2
T2-Removido, #13	m00538	9,44	2,31	1,9	1	3
T2-Removido, #13	m00539	6,73	1,98	4,02	1	2
T2-Removido, #13	m00540	8,13	1,88	1,61	2	2
T2-Removido, #13	m00541	9,42	1,88	2,72	1	2
T2-Removido, #13	m00542	6,63	1,69	1,95	1	2
T2-Removido, #13	m00543	6,3	1,44	1,46	1	2
T2-Removido, #13	m00544	9,87	1,99	2,16	1	2
T2-Removido, #13	m00545	7,55	1,83	1,86	1	2
T2-Removido, #13	m00546	7,52	1,98	1,59	1	2
T2-Removido, #13	m00547	5,99	1,54	1,81	1	2
T2-Removido, #13	m00548	6,86	1,77	1,8	1	2
T2-Removido, #13	m00549	8,7	2,24	2,57	1	2
T2-Removido, #13	m00550	6,28	1,8	2,13	1	2
T2-Removido, #13	m00551	7,44	2,26	1,61	1	3
T2-Removido, #13	m00552	8,79	1,82	2,18	1	2
T2-Removido, #13	m00553	8,18	1,92	2,3	1	2
T2-Removido, #13	m00554	7,29	1,91	2,12	1	2
T2-Removido, #13	m00555	7,09	2,13	1,77	1	2
T2-Removido, #13	m00556	6,23	1,55	2,8	1	2
T2-Removido, #13	m00557	6,28	1,64	2,25	1	2
T2-Removido, #13	m00558	6,21	1,48	3,07	1	2

#13						
T2-Removido, #13	m00559	5,45	1,59	2,4	3	2
T2-Removido, #13	m00560	4,78	1,64	1,66	1	2
T2-Removido, #13	m00561	8,27	2,12	1,43	1	2
T2-Removido, #13	m00562	5,92	1,45	2,64	3	2
T2-Removido, #13	m00563	5,32	1,7	2,77	1	2
T2-Removido, #13	m00564	6,13	2,69	2,31	1	2
T2-Removido, #13	m00565	7,18	1,94	2,82	2	2
T2-Removido, #13	m00566	9,32	1,86	2,05	2	2
T2-Removido, #13	m00567	7,61	2,11	1,56	1	2
T2-Removido, #13	m00568	4,63	2,08	1,2	1	2
T2-Removido, #13	m00569	5,81	1,56	1,37	1	2
T2-Removido, #13	m00570	7,32	1,95	2,79	1	2
T2-Removido, #13	m00571	4,16	1,68	1,72	1	2
T2-Removido, #13	m00572	5,39	1,78	2,56	1	2
T2-Removido, #13	m00573	5,2	1,3	1,78	1	2
T2-Removido, #13	m00574	6,96	1,64	1,86	1	2
T2-Removido, #13	m00575	6,15	2,09	2,32	1	2
T2-Removido, #13	m00576	4,78	1,5	1,94	1	2
T2-Removido, #13	m00577	9,26	1,85	2,47	1	2
T2-Removido, #13	m00578	7,19	1,9	1,05	1	3
T2-Removido, #13	m00579	7,4	1,53	2,1	1	2
T2-Removido, #13	m00580	8,97	2,11	2,4	1	2
T2-Removido, #13	m00581	7,25	1,99	1,93	2	1
T2-Removido, #13	m00582	6,62	2,02	2,45	1	2

#13						
T2-Removido, #13	m00583	6,33	1,69	1,65	2	2
T2-Removido, #13	m00584	8,85	1,86	1,83	1	2
T2-Removido, #13	m00585	9,02	1,9	2,15	1	2
T2-Removido, #13	m00586	7,67	1,84	2,5	1	2
T2-Removido, #13	m00587	5,62	1,71	1,39	1	2
T2-Removido, #13	m00588	6,81	1,83	2,13	1	2
T2-Removido, #13	m00589	8,92	2,06	2,54	1	2
T2-Removido, #13	m00590	8,05	3,26	2,51	1	2
T2-Removido, #13	m00591	7,23	1,95	2,54	1	2
T2-Removido, #13	m00592	4,57	1,71	2,08	3	2
T2-Removido, #13	m00593	9,65	1,97	3,12	1	2
T2-Removido, #13	m00594	7,98	1,85	2,32	1	2
T2-Removido, #13	m00595	7,34	1,67	1,89	1	2
T2-Removido, #13	m00596	5,7	1,43	1,92	1	2
T2-Removido, #13	m00597	8,84	2,03	2,65	1	2
T2-Removido, #13	m00598	6,57	1,65	2,52	1	2
T2-Removido, #13	m00599	7,01	1,76	2,5	1	2
T2-Removido, #13	m00600	7,72	1,81	2,05	2	2
T2-Removido, #13	m00601	7,42	1,91	2,65	1	2
T2-Removido, #13	m00602	4,78	1,39	1,79	2	2
T2-Removido, #13	m00603	5,61	1,89	2,1	1	2
T2-Removido, #13	m00604	8,25	1,74	1,97	1	2
T2-Removido, #13	m00605	7,73	2,2	3,98	1	2
T2-Removido, #13	m00606	6,5	2,3	2,36	1	2

T2-Removido, #13	m00607	5,27	1,83	2,48	1	2
T2-Removido, #13	m00608	3,98	1,36	1,49	1	2
T2-Removido, #13	m00609	7,22	1,84	2,77	1	2
T2-Removido, #13	m00610	4,18	1,54	2,17	3	2
T2-Removido, #13	m00611	5,77	1,54	2,71	1	2
T2-Removido, #13	m00612	5,5	1,96	3,37	1	2
T2-Removido, #13	m00613	7,74	1,67	1,79	1	2
T2-Removido, #13	m00614	4,34	1,47	2,14	2	2
T2-Removido, #13	m00615	6,18	1,7	2,11	1	2
T2-Removido, #13	m00616	6,41	1,6	1,88	1	2
T2-Removido, #13	m00617	5,37	1,47	1,38	1	3
T2-Removido, #13	m00618	5,55	1,69	2,69	1	2
T2-Removido, #13	m00619	7,48	1,99	2,21	1	2
T2-Removido, #13	m00620	6,68	2,09	3,36	1	2
T2-Removido, #13	m00621	5,29	1,51	2,12	1	2
T2-Removido, #13	m00622	6	1,98	2,37	1	2
T2-Removido, #13	m00623	6,71	1,81	2,78	1	2
T2-Removido, #13	m00624	7,79	1,75	2,01	1	2
T2-Removido, #13	m00625	7,27	2,1	2,47	1	2
T2-Removido, #13	m00626	6,72	2,49	2,21	1	2
T2-Removido, #13	m00627	7,5	2	0,94	1	3
T2-Removido, #13	m00628	5,15	1,42	1,71	3	2
T2-Removido, #13	m00629	6,62	1,62	1,93	1	2
T2-Removido, #13	m00630	4,62	1,94	2,11	1	2
T2-Removido, #13	m00631	6,09	1,67	1,42	1	2

#13						
T2-Removido, #13	m00632	5,04	1,68	3,48	3	2
T2-Removido, #13	m00633	5,98	1,65	2,34	1	2
T2-Removido, #13	m00634	8,62	1,94	2,81	1	2
T2-Removido, #13	m00635	6,42	1,7	1,94	2	2
T2-Removido, #13	m00636	5,99	1,75	1,39	1	2
T2-Removido, #13	m00637	4,79	1,5	1,65	1	2
T2-Removido, #13	m00638	6,38	2	2,61	1	2
T2-Removido, #13	m00639	4,45	2,29	2,39	3	2
T2-Removido, #13	m00640	6,42	1,59	1,2	1	2
T2-Removido, #13	m00641	6,26	1,68	2,41	1	2
T2-Removido, #13	m00642	7,96	2,23	2,74	1	2
T2-Removido, #13	m00643	4,96	1,4	1,52	1	2
T2-Removido, #13	m00644	5,91	1,73	1,27	1	2
T2-Removido, #13	m00645	5,97	1,55	2,38	1	2
T2-Removido, #13	m00646	6,58	1,63	1,63	1	2
T2-Removido, #13	m00647	5,39	1,5	2,35	1	2
T2-Removido, #13	m00648	4,2	0,95	1,68	1	2
T2-Removido, #13	m00649	4,47	1,54	1,86	2	2
T2-Removido, #13	m00650	4,49	1,39	2,18	1	2
T2-Removido, #13	m00651	5,99	1,7	1,75	1	3
T2-Removido, #13	m00652	6,31	1,73	1,83	1	2
T2-Removido, #13	m00653	5,55	1,57	2,35	1	2
T2-Removido, #13	m00654	6,84	1,67	2,21	1	2
T2-Removido, #13	m00655	4,67	1,64	1,86	1	2

T2-Removido, #13	m00656	6,16	1,84	1,61	1	2
T2-Removido, #13	m00657	6,08	1,63	2,65	1	2
T2-Removido, #13	m00658	5,18	1,66	1,54	1	3
T2-Removido, #13	m00659	6,35	1,57	1,42	1	2
T2-Removido, #13	m00660	6,05	1,98	2,25	1	3
T2-Removido, #13	m00661	5,28	2,04	1,83	1	2
T2-Removido, #13	m00662	6,02	1,68	2,26	1	2
T2-Removido, #13	m00663	6,36	2,43	1,41	1	2
T2-Removido, #13	m00664	4,61	1,5	1,13	1	3
T2-Removido, #13	m00665	5,94	1,48	0,82	1	2
T2-Removido, #13	m00666	6,66	1,89	2,22	1	2
T2-Removido, #13	m00667	7,26	2,18	1,64	1	3
T2-Removido, #13	m00668	6,65	1,79	1,7	1	2
T2-Removido, #13	m00669	5,32	1,42	2,16	1	2
T2-Removido, #13	m00670	5,68	1,59	1,44	1	2
T2-Removido, #13	m00671	5,17	1,49	1,93	1	2
T2-Removido, #13	m00672	4,07	1,54	1,85	1	2
T2-Removido, #13	m00673	4,64	1,94	2,4	1	2
T2-Removido, #13	m00674	6,33	1,8	1,93	2	3
T2-Removido, #13	m00675	5,91	1,61	1,35	1	2
T2-Removido, #13	m00676	8,18	1,73	2,33	1	2
T2-Removido, #13	m00677	6,24	1,83	1,55	1	2
T2-Removido, #13	m00678	5,12	1,78	0,93	1	3
T2-Removido, #13	m00679	6,16	1,4	2,31	1	2
T2-Removido, #13	m00680	5,44	1,51	2,08	1	3

#13						
T2-Removido, #13	m00681	7,46	2,18	2,5	1	1
T2-Removido, #13	m00682	9,6	1,82	2,03	1	2
T2-Removido, #13	m00683	6,34	1,76	1,34	2	2
T2-Removido, #13	m00684	5,11	1,73	2,56	3	2
T2-Removido, #13	m00685	6,04	1,79	2,08	1	2
T2-Removido, #13	m00686	6,5	1,58	2,04	2	2
T2-Removido, #13	m00687	5,84	1,55	1,78	1	2
T2-Removido, #13	m00688	6,61	2,12	3,13	1	2
T2-Removido, #13	m00689	5,08	1,5	0,95	1	2
T2-Removido, #13	m00690	6,58	1,49	2,04	1	2
T2-Removido, #13	m00691	5,66	1,89	1,35	1	3
T2-Removido, #13	m00692	6,63	1,66	2,55	1	2
T2-Removido, #13	m00693	7,59	1,88	1,89	1	2
T2-Removido, #13	m00694	7,53	1,74	1,88	1	2
T2-Removido, #13	m00695	5,85	1,83	1,95	1	2
T2-Removido, #13	m00696	5,98	1,62	1,24	1	3
T2-Removido, #13	m00697	6,62	1,73	2,59	1	2
T2-Removido, #13	m00698	5,75	1,66	2,37	1	2
T2-Removido, #13	m00699	5,68	1,69	3,07	2	2
T2-Removido, #13	m00700	5,95	1,62	2,28	1	2
T2-Removido, #13	m00701	6,41	1,32	2,06	1	2
T2-Removido, #13	m00702	6,29	2,06	2,51	1	2
T2-Removido, #13	m00703	3,92	1,33	2,08	1	2
T2-Removido, #13	m00704	6,47	1,39	2,3	1	2

T2-Removido, #13	m00705	5,99	1,56	1,5	1	2
T2-Removido, #13	m00706	4,73	1,46	1,36	1	2
T2-Removido, #13	m00707	4,93	1,92	1,63	1	2
T2-Removido, #13	m00708	5,49	1,3	2,05	1	2
T2-Removido, #13	m00709	9,01	1,58	2,31	1	2
T2-Removido, #13	m00710	5,78	1,92	2,78	1	2
T2-Removido, #13	m00711	6,43	1,65	0,8	1	3
T2-Removido, #13	m00712	7,72	2,51	2,69	1	2
T2-Removido, #13	m00713	6,89	1,75	1,73	1	2
T2-Removido, #13	m00714	6,17	1,82	1,93	2	2
T2-Removido, #13	m00715	6,92	2,2	1,97	1	3
T2-Removido, #13	m00716	4,49	1,35	2,33	1	2
T2-Removido, #13	m00717	8,35	1,88	2,63	1	2
T2-Removido, #13	m00718	5,67	1,81	1,82	1	1
T2-Removido, #13	m00719	6,38	1,77	1,87	1	2
T2-Removido, #13	m00720	6,52	1,68	3,02	1	2
T2-Removido, #13	m00721	6,21	1,86	1,47	1	2
T2-Removido, #13	m00722	6,54	1,98	2,09	1	2
T2-Removido, #13	m00723	6,4	1,49	2	1	2
T2-Removido, #13	m00724	6,33	1,54	1,31	1	2
T2-Removido, #13	m00725	5,9	1,77	2,11	1	2
T2-Removido, #13	m00726	6,22	1,56	2,12	2	2
T2-Removido, #13	m00727	5,64	1,55	2,02	1	2
T2-Removido, #13	m00728	4,74	1,65	1,09	1	2
T2-Removido, #13	m00729	5,98	1,77	1,68	1	1

#13						
T2-Removido, #13	m00730	5,95	1,94	2,74	1	2
T2-Removido, #13	m00731	6,48	2,23	1,09	1	3
T2-Removido, #13	m00732	5,54	1,7	1,93	1	2
T2-Removido, #13	m00733	5,47	1,95	1,19	2	1
T2-Removido, #13	m00734	4,26	1,33	2,07	3	2
T2-Removido, #13	m00735	5,63	1,41	1,69	1	2
T2-Removido, #13	m00736	6,18	1,46	1,82	1	2
T2-Removido, #13	m00737	5,78	1,8	1,66	1	2
T2-Removido, #13	m00738	5,85	1,82	1,88	1	2
T2-Removido, #13	m00739	6,14	1,91	1,57	1	1
T2-Removido, #13	m00740	5,92	1,94	2,31	1	2
T2-Removido, #13	m00741	4,75	1,57	1,97	1	2
T2-Removido, #13	m00742	6,06	1,38	2,44	1	2
T2-Removido, #13	m00743	5,03	1,66	1,05	1	1
T2-Removido, #13	m00744	5,43	1,59	1,64	1	2
T2-Removido, #13	m00745	6,24	2,11	1,72	1	1
T2-Removido, #13	m00746	4,01	1,28	1,48	1	2
T2-Removido, #13	m00747	5,51	1,58	1,55	1	2
T2-Removido, #13	m00748	5,44	1,44	1,7	1	2
T2-Removido, #13	m00749	5,86	1,62	1,69	1	2
T2-Removido, #13	m00750	4,98	1,22	1,8	1	2
T2-Removido, #13	m00751	7,26	2,68	3,09	1	2
T2-Removido, #13	m00752	5,35	1,78	1,64	1	2
T2-Removido, #13	m00753	5,62	1,82	1,81	2	2

T2-Removido, #13	m00754	7,13	1,88	1,89	1	2
T2-Removido, #13	m00755	6,28	1,79	2,33	1	3
T2-Removido, #13	m00756	7,16	1,58	1,78	1	2
T2-Removido, #13	m00757	5,65	1,37	1,93	1	2
T2-Removido, #13	m00758	5,96	1,57	1,21	1	2
T2-Removido, #13	m00759	6,15	1,85	2,15	1	2
T2-Removido, #13	m00760	5,87	1,94	1,59	1	2
T2-Removido, #13	m00761	6,39	1,95	2,02	1	2
T2-Removido, #13	m00762	6,25	1,82	1,41	1	3
T2-Removido, #13	m00763	4,07	1,39	2	1	2
T2-Removido, #13	m00764	5,1	1,57	1,67	1	3
T2-Removido, #13	m00765	4,41	2,01	1,82	1	2
T2-Removido, #13	m00766	5,26	1,42	1,81	1	2
T2-Removido, #13	m00767	6,38	1,42	1,47	1	1
T2-Removido, #13	m00768	4,13	2,6	1,08	1	1
T2-Removido, #13	m00769	5,98	1,78	2,28	1	2
T2-Removido, #13	m00770	5,29	1,55	1,91	1	2
T2-Removido, #13	m00771	4,87	1,4	2,43	1	2
T2-Removido, #13	m00772	5,03	1,47	2,22	1	2
T2-Removido, #13	m00773	6,3	1,84	1,99	1	2
T2-Removido, #13	m00774	4,01	1,41	2,5	1	2
T2-Removido, #13	m00775	6,44	1,6	1,43	1	2
T2-Removido, #13	m00776	5,34	1,69	2,06	2	2
T2-Removido, #13	m00777	5,06	1,69	1,47	1	3
T2-Removido, #13	m00778	6,01	1,94	1,68	1	2

#13						
T2-Removido, #13	m00779	6,08	1,94	2,44	1	2
T2-Removido, #13	m00780	6,89	1,43	1,51	1	2
T2-Removido, #13	m00781	4,95	1,6	1,72	1	2
T2-Removido, #13	m00782	5,33	1,39	1,88	1	2
T2-Removido, #13	m00783	5,94	1,69	2,02	1	2
T2-Removido, #13	m00784	5,95	1,58	1,74	1	2
T2-Removido, #13	m00785	4,64	1,35	1,03	1	2
T2-Removido, #13	m00786	6,5	1,82	1,79	1	2
T2-Removido, #13	m00787	8,83	2,09	2,1	1	2
T2-Removido, #13	m00788	3,55	1,47	2,6	1	2
T2-Removido, #13	m00789	5,54	1,67	1,54	1	2
T2-Removido, #13	m00790	7,68	1,65	1,9	1	2
T2-Removido, #13	m00791	3,72	1,57	1,97	1	2
T2-Removido, #13	m00792	4,83	2,06	1,96	1	2
T2-Removido, #13	m00793	5,34	1,68	1,16	1	2
T2-Removido, #13	m00794	5,76	1,57	1,62	1	3
T2-Removido, #13	m00795	4,81	1,85	1,18	1	3
T2-Removido, #13	m00796	5,79	1,96	1,81	1	2
T2-Removido, #13	m00797	6,47	1,8	1,48	1	2
T2-Removido, #13	m00798	3,89	1,42	1,79	3	2
T2-Removido, #13	m00799	4,76	1,34	1,47	3	2
T2-Removido, #13	m00800	5,36	1,86	1,47	1	2
T2-Removido, #13	m00801	4,83	1,85	1,01	2	1
T2-Removido, #13	m00802	5,94	1,5	2,95	2	2

T2-Removido, #13	m00803	5,33	1,87	1,47	1	2
T2-Removido, #13	m00804	5,23	1,39	1,08	2	2
T2-Removido, #13	m00805	6,7	2,03	2,39	1	2
T2-Removido, #13	m00806	5,95	1,7	2,39	1	2
T2-Removido, #13	m00807	5,52	1,8	1,83	1	2
T2-Removido, #13	m00808	5,4	1,58	1,95	1	2
T2-Removido, #13	m00809	5,38	1,56	2,16	3	2
T2-Removido, #13	m00810	7,19	1,95	3,19	1	2
T2-Removido, #13	m00811	6,06	1,65	1,81	2	2
T2-Removido, #13	m00812	4,53	1,7	1,58	3	1
T2-Removido, #13	m00813	5,46	1,62	1,87	1	2
T2-Removido, #13	m00814	5,76	1,36	2,09	1	2
T2-Removido, #13	m00815	4,78	1,37	2,16	3	2
T2-Removido, #13	m00816	6,47	1,92	1,62	1	2
T2-Removido, #13	m00817	5,63	1,51	1,46	1	2
T2-Removido, #13	m00818	5,13	1,67	1,95	1	2
T2-Removido, #13	m00819	5,28	1,76	2	2	2
T2-Removido, #13	m00820	4,93	1,56	2,14	1	2
T2-Removido, #13	m00821	5,92	1,52	2,39	1	2
T2-Removido, #13	m00822	4,83	1,55	1,29	1	2
T2-Removido, #13	m00823	5,67	1,25	1,88	1	2
T2-Removido, #13	m00824	4,97	1,5	1,24	1	2
T2-Removido, #13	m00825	8,55	1,82	1,66	1	1
T2-Removido, #13	m00826	6,14	1,77	1,69	1	2
T2-Removido, #13	m00827	5,72	1,59	1,89	1	1

#13						
T2-Removido, #13	m00828	3,88	1,06	1,4	1	2
T2-Removido, #13	m00829	6,76	1,63	2,2	1	2
T2-Removido, #13	m00830	3,55	1,35	2,02	1	2
T2-Removido, #13	m00831	6,78	1,92	1,57	1	2
T2-Removido, #13	m00832	5,05	1,42	2,04	1	2
T2-Removido, #13	m00833	4,76	1,61	2,28	3	2
T2-Removido, #13	m00834	3,88	1,04	2,11	1	2
T2-Removido, #13	m00835	5,51	1,48	1,46	2	2
T2-Removido, #13	m00836	4,84	1,54	2,09	1	2
T2-Removido, #13	m00837	4,36	1,6	1,73	3	3
T2-Removido, #13	m00838	5,5	1,83	1,04	1	3
T2-Removido, #13	m00839	5,11	1,6	1,31	1	2
T2-Removido, #13	m00840	5,05	1,45	2,23	1	2
T2-Removido, #13	m00841	5,08	2,07	2,19	1	2
T2-Removido, #13	m00842	4,12	1,63	1,64	1	2
T2-Removido, #13	m00843	3,63	1,29	1,45	1	2
T2-Removido, #13	m00844	5,43	1,82	1,05	1	2
T2-Removido, #13	m00845	7,37	2,25	2,03	1	2
T2-Removido, #13	m00846	4,65	1,31	1,99	1	2
T2-Removido, #13	m00847	5,13	1,58	0,96	1	3
T2-Removido, #13	m00848	5,25	1,39	1,36	1	2
T2-Removido, #13	m00849	4,96	1,52	0,71	1	1
T2-Removido, #13	m00850	3,95	1,36	1,73	3	1
T2-Removido, #13	m00851	4,24	1,5	2,08	3	2

T2-Removido, #13	m00852	5,02	1,65	1,6	3	1
T2-Removido, #13	m00853	5,96	1,87	1,39	1	2
T2-Removido, #13	m00854	4,63	1,67	1,44	1	2
T2-Removido, #13	m00855	6,62	1,81	1,81	1	2
T2-Removido, #13	m00856	3,5	1,27	1,79	1	2
T2-Removido, #13	m00857	5,88	1,66	0,85	1	3
T2-Removido, #13	m00858	5,51	1,6	1,6	1	2
T2-Removido, #13	m00859	6,99	1,82	2,27	1	2
T2-Removido, #13	m00860	4,31	1,57	2,25	1	2
T2-Removido, #13	m00861	5,54	1,55	1,77	1	2
T2-Removido, #13	m00862	4,69	1,87	2,81	1	2
T2-Removido, #13	m00863	6,52	1,8	2,11	1	2
T2-Removido, #13	m00864	6,06	1,87	1,34	1	2
T2-Removido, #13	m00865	5,6	2	1,19	1	3
T2-Removido, #13	m00866	4,87	0,9	2,28	1	2
T2-Removido, #13	m00867	4,9	1,84	1,01	1	3
T2-Removido, #13	m00868	4,48	1,71	2,06	1	2
T2-Removido, #13	m00869	3,61	1,61	1,97	1	2
T2-Removido, #13	m00870	4,27	1,35	1,14	1	3
T2-Removido, #13	m00871	6,01	1,3	1,15	1	2
T2-Removido, #13	m00872	3,65	1,37	1,76	1	2
T2-Removido, #13	m00873	3,59	1,28	1,99	1	2
T2-Removido, #13	m00874	4,95	1,89	1,01	1	1
T2-Removido, #13	m00875	4,89	1,4	1,21	1	2
T2-Removido, #13	m00876	5,32	1,74	2,3	1	2

#13						
T2-Removido, #13	m00877	4,59	1,72	2,5	2	2
T2-Removido, #13	m00878	4,65	1,43	1,82	1	2
T2-Removido, #13	m00879	3,83	1,34	1,65	1	2
T2-Removido, #13	m00880	3,96	1,66	1,32	1	2
T2-Removido, #13	m00881	4,3	1,43	1,94	1	2
T2-Removido, #13	m00882	5,78	1,85	1,98	1	2
T2-Removido, #13	m00883	4,99	1,78	1,14	1	3
T2-Removido, #13	m00884	5,26	1,54	2,61	1	2
T2-Removido, #13	m00885	4,99	1,4	1,55	1	2
T2-Removido, #13	m00886	3,64	1,36	2,57	1	2
T2-Removido, #13	m00887	4,98	1,76	1,38	1	2
T2-Removido, #13	m00888	4,81	1,68	2,01	1	2
T2-Removido, #13	m00889	4,06	1,63	1,37	1	3
T2-Removido, #13	m00890	4,88	1,64	1,06	1	2
T2-Removido, #13	m00891	3,74	1,19	0,9	1	3
T2-Removido, #13	m00892	4,88	1,42	1,38	2	3
T2-Removido, #13	m00893	4,67	1,62	2,3	3	2
T2-Removido, #13	m00894	6,29	1,61	1,58	1	2
T2-Removido, #13	m00895	5,31	1,55	2,09	1	2
T2-Removido, #13	m00896	5,37	1,49	2,33	3	2
T2-Removido, #13	m00897	4,44	1,57	1,39	1	2
T2-Removido, #13	m00898	6,05	1,72	1,32	1	1
T2-Removido, #13	m00899	6,43	2,05	1,91	1	2
T2-Removido, #13	m00900	4,76	1,58	1,8	1	2

T2-Removido, #13	m00901	6,09	1,48	2,56	1	2
T2-Removido, #13	m00902	4,63	1,77	1,89	2	2
T2-Removido, #13	m00903	5,51	1,79	1,55	1	2
T2-Removido, #13	m00904	4,99	1,59	1,27	1	2
T2-Removido, #13	m00905	5,97	1,94	3,17	1	1
T2-Removido, #13	m00906	5,11	1,79	1,06	2	3
T2-Removido, #13	m00907	5,19	1,7	2,05	3	2
T2-Removido, #13	m00908	5,4	1,74	1,74	2	2
T2-Removido, #13	m00909	6,37	1,66	1,68	1	2
T2-Removido, #13	m00910	4,19	1,36	2,24	3	2
T2-Removido, #13	m00911	4,58	1,57	2,19	1	2
T2-Removido, #13	m00912	4,91	1,53	1,16	1	3
T2-Removido, #13	m00913	5,42	1,62	1,8	1	2
T2-Removido, #13	m00914	5,01	1,67	1,27	1	2
T2-Removido, #13	m00915	5,38	2,21	2,96	1	2
T2-Removido, #13	m00916	4,23	1,17	1,28	1	2
T2-Removido, #13	m00917	5,31	1,44	2,06	1	2
T2-Removido, #13	m00918	5,38	1,71	1,75	1	2
T2-Removido, #13	m00919	4,21	1,64	2,91	1	2
T2-Removido, #13	m00920	5,84	1,49	1,69	1	2
T2-Removido, #13	m00921	6,19	1,76	1,47	1	2
T2-Removido, #13	m00922	5,19	1,47	1,78	1	2
T2-Removido, #13	m00923	6,06	1,74	1,55	1	2
T2-Removido, #13	m00924	5,93	1,95	1,72	1	2
T2-Removido, #13	m00925	5,57	1,37	1,86	1	2

#13						
T2-Removido, #13	m00926	5,27	1,98	1,61	1	2
T2-Removido, #13	m00927	6,97	1,95	1,97	1	2
T2-Removido, #13	m00928	6,28	1,62	1,51	1	2
T2-Removido, #13	m00929	4,2	1,33	1,5	2	2
T2-Removido, #13	m00930	3,89	1,19	1,68	1	2
T2-Removido, #13	m00931	3,72	1,35	2,07	1	2
T2-Removido, #13	m00932	4,75	1,78	1,4	1	2
T2-Removido, #13	m00933	6,42	1,54	2,22	1	2
T2-Removido, #13	m00934	6,3	2,2	2,17	1	2
T2-Removido, #13	m00935	5,04	1,26	2,04	1	2
T2-Removido, #13	m00936	4,16	1,56	1,46	1	1
T2-Removido, #13	m00937	4,17	0,92	1,59	1	2
T2-Removido, #13	m00938	4,78	1,61	2,14	3	2
T2-Removido, #13	m00939	5,96	1,73	1,72	1	3
T2-Removido, #13	m00940	7,37	1,95	2,08	1	2
T2-Removido, #13	m00941	5,52	1,65	1,36	1	2
T2-Removido, #13	m00942	4,48	1,39	2,18	3	2
T2-Removido, #13	m00943	4,87	1,55	2,15	1	2
T2-Removido, #13	m00944	5,1	1,4	1,17	1	2
T2-Removido, #13	m00945	5,82	1,72	1,48	1	2
T2-Removido, #13	m00946	5,58	1,68	1,18	1	2
T2-Removido, #13	m00947	4,9	1,64	2,26	1	2
T2-Removido, #13	m00948	3,95	1,63	1,85	1	2
T2-Removido, #13	m00949	3,78	1,87	2,32	3	3

T2-Removido, #13	m00950	5,69	1,75	1,53	1	2
T2-Removido, #13	m00951	6,05	1,84	1,75	1	2
T2-Removido, #13	m00952	6,57	1,6	1,86	1	2
T2-Removido, #13	m00953	5,76	1,61	1,83	1	2
T2-Removido, #13	m00954	4,52	1,28	1,59	1	2
T2-Removido, #13	m00955	4,01	1,4	1,84	1	2
T2-Removido, #13	m00956	5,75	1,84	1,81	1	2
T2-Removido, #13	m00957	5,51	1,79	1,05	2	2
T2-Removido, #13	m00958	5,12	1,97	1,11	1	2
T2-Removido, #13	m00959	5,77	1,9	1,4	1	3
T2-Removido, #13	m00960	4,3	1,36	1,62	1	2
T2-Removido, #13	m00961	4,19	1,4	2,18	1	2
T2-Removido, #13	m00962	4,22	1,62	1,68	1	2
T2-Removido, #13	m00963	4,96	1,27	1,83	1	2
T2-Removido, #13	m00964	4,88	1,62	1,59	1	2
T2-Removido, #13	m00965	3,46	1,29	1,58	1	2
T2-Removido, #13	m00966	4,87	1,69	1,96	1	2
T2-Removido, #13	m00967	4,34	1,23	1,65	1	2
T2-Removido, #13	m00968	4,59	1,51	1,19	1	3
T2-Removido, #13	m00969	3,48	1,26	1,59	1	2
T2-Removido, #13	m00970	6,17	1,52	1,43	1	2
T2-Removido, #13	m00971	5,8	1,53	1,05	1	2
T2-Removido, #13	m00972	4,38	1,29	1,17	1	3
T2-Removido, #13	m00973	6,31	1,41	1,75	1	2
T2-Removido, #13	m00974	5	1,75	1,53	1	2

#13						
T2-Removido, #13	m00975	5,67	1,41	1,86	1	2
T2-Removido, #13	m00976	4,8	1,89	0,81	1	2
T2-Removido, #13	m00977	5,02	1,56	1,76	2	2
T2-Removido, #13	m00978	4,07	1	1,55	1	2
T2-Removido, #13	m00979	3,88	1,34	1,26	1	2
T2-Removido, #13	m00980	4,18	1,28	1,59	1	2
T2-Removido, #13	m00981	4,21	1,67	2,08	1	2
T2-Removido, #13	m00982	3,71	1,2	2,17	1	2
T2-Removido, #13	m00983	3,56	1,38	1,92	1	2
T2-Removido, #13	m00984	5,99	1,39	1,4	1	3
T2-Removido, #13	m00985	4,06	1,01	1,31	1	2
T2-Removido, #13	m00986	3,9	1,4	1,2	1	3
T2-Removido, #13	m00987	3,3	1,36	1,88	1	2
T2-Removido, #13	m00988	4,16	1,38	1,2	1	2
T2-Removido, #13	m00989	4,87	1,34	1,64	1	2
T2-Removido, #13	m00990	5,2	1,59	1,03	1	1
T2-Removido, #13	m00991	4,28	1,31	1,42	1	3
T2-Removido, #13	m00992	4,02	1,4	0,72	1	1
T2-Removido, #13	m00993	3,85	1,56	0,94	1	2
T2-Removido, #13	m00994	6,92	1,68	1,96	1	2
T2-Removido, #13	m00995	5,66	1,76	2,3	1	2
T2-Removido, #13	m00996	5,46	1,83	1,31	1	3
T2-Removido, #13	m00997	7,27	1,78	2,67	1	2
T2-Removido, #13	m00998	5,71	1,5	1,38	1	2

T2-Removido, #13	m00999	7,02	1,6	1,58	1	2
T2-Removido, #13	m01000	5,46	1,59	2,42	1	2
T2-Removido, #13	m01001	4,15	1,27	1,27	1	2
T2-Removido, #13	m01002	5,56	1,46	1,26	2	3
T2-Removido, #13	m01003	6,57	1,66	2	1	2
T2-Removido, #13	m01004	8,54	2,13	1,85	1	2
T2-Removido, #13	m01005	4,68	1,14	2,32	1	2
T2-Removido, #13	m01006	4,99	1,56	2,06	1	2
T2-Removido, #13	m01007	5,19	1,24	1,51	1	2
T2-Removido, #13	m01008	4,1	1,07	2,39	1	2
T2-Removido, #13	m01009	5,21	1,54	2,62	1	2
T2-Removido, #13	m01010	4,42	1,65	2,15	1	3
T2-Removido, #13	m01011	4,78	1,51	2,12	1	2
T2-Removido, #13	m01012	4,26	1,24	1,69	1	2
T2-Removido, #13	m01013	5,6	1,34	2	1	2
T2-Removido, #13	m01014	7,03	1,81	1,92	1	2
T2-Removido, #13	m01015	4,33	1,6	1,9	1	2
T2-Removido, #13	m01016	6,78	1,65	1,31	1	2
T2-Removido, #13	m01017	4,59	1,3	2,19	1	2
T2-Removido, #13	m01018	4,96	1,35	2,3	3	2
T2-Removido, #13	m01019	4,43	1,33	1,54	1	2
T2-Removido, #13	m01020	4,82	1,94	1,86	1	2
T2-Removido, #13	m01021	5,57	1,73	1,63	1	2
T2-Removido, #13	m01022	4,75	1,62	1,7	1	2
T2-Removido, #13	m01023	5,59	1,57	2,33	1	2

#13						
T2-Removido, #13	m01024	6,24	1,73	3,41	1	2
T2-Removido, #13	m01025	5,84	1,61	3,47	1	2
T2-Removido, #13	m01026	6,51	1,74	1,96	1	2
T2-Removido, #13	m01027	7,01	1,41	1,9	1	2
T2-Removido, #13	m01028	5,5	1,72	1,86	1	2
T2-Removido, #13	m01029	4,11	1,89	2,87	1	2
T2-Removido, #13	m01030	6,19	1,62	2,05	1	2
T2-Removido, #13	m01031	5,2	1,33	2,62	1	2
T2-Removido, #13	m01032	4,86	1,46	2,51	1	2
T2-Removido, #13	m01033	6,2	1,45	2,3	1	2
T2-Removido, #13	m01034	5,36	1,8	1,66	1	2
T2-Removido, #13	m01035	5,9	1,98	1,42	1	2
T2-Removido, #13	m01036	5,89	1,62	1,4	1	2
T2-Removido, #13	m01037	6,21	1,65	1,18	1	
T2-Removido, #13	m01038	5,84	1,49	2,61	1	2
T2-Removido, #13	m01039	5,56	1,95	1,74	1	3
T2-Removido, #13	m01040	6,18	1,45	2,14	3	2
T2-Removido, #13	m01041	4,95	1,83	2,64	1	2
T2-Removido, #13	m01042	5,92	1,47	1,77	1	2
T2-Removido, #13	m01043	4,65	1,87	1,82	1	2
T2-Removido, #13	m01044	4,89	1,47	1,43	1	2
T2-Removido, #13	m01045	5,93	1,37	1,71	1	2
T2-Removido, #13	m01046	6,76	1,68	2,11	1	2
T2-Removido, #13	m01047	5,08	1,79	1,74	1	2

T2-Removido, #13	m01048	6,2	1,72	2,32	1	2
T2-Removido, #13	m01049	5,68	1,73	1,76	1	2
T2-Removido, #13	m01050	5,39	1,96	1,86	1	1
T2-Removido, #13	m01051	6,55	1,78	1,78	1	2
T2-Removido, #13	m01052	5,01	1,68	1,99	1	2
T2-Removido, #13	m01053	5,2	1,75	1,29	1	3
T2-Removido, #13	m01054	5,63	1,61	2,24	1	2
T2-Removido, #13	m01055	4,97	1,59	2,07	1	2
T2-Removido, #13	m01056	4,62	1,37	1,17	1	2
T2-Removido, #13	m01057	5,16	1,39	1,26	1	2
T2-Removido, #13	m01058	5,94	1,34	1,7	1	3
T2-Removido, #13	m01059	4,1	1,51	1,63	1	2
T2-Removido, #13	m01060	4,91	1,68	1,5	1	3
T2-Removido, #13	m01061	6,64	2,06	2,32	1	2
T2-Removido, #13	m01062	5,39	1,64	1,97	1	2
T2-Removido, #13	m01063	5,59	1,48	3,18	3	2
T2-Removido, #13	m01064	6,14	1,67	2,1	1	2
T2-Removido, #13	m01065	3,5	1,22	2,09	1	2
T2-Removido, #13	m01066	4,49	1,22	2,51	1	2
T2-Removido, #13	m01067	6,6	1,91	1,6	1	2
T2-Removido, #13	m01068	5,34	1,98	1,39	1	2
T2-Removido, #13	m01069	5,34	1,62	1,7	1	2
T2-Removido, #13	m01070	5,33	1,93	2,59	1	3
T2-Removido, #13	m01071	7,57	1,9	2,01	1	2
T2-Removido, #13	m01072	5,16	1,6	1,26	1	3

#13						
T2-Removido, #13	m01073	6,27	2,51	2,23	1	2
T2-Removido, #13	m01074	5,89	1,66	1,6	1	2
T2-Removido, #13	m01075	6,38	1,7	1,94	1	2
T2-Removido, #13	m01076	6,41	1,72	1,66	1	2
T2-Removido, #13	m01077	3,7	1,5	2,12	3	2
T2-Removido, #13	m01078	6,08	1,71	1,29	1	3
T2-Removido, #13	m01079	6,34	2,64	3,21	1	2
T2-Removido, #13	m01080	5,98	1,75	2,02	1	3
T2-Removido, #13	m01081	5,26	1,5	1,49	2	2
T2-Removido, #13	m01082	5,68	1,83	2,04	1	2
T2-Removido, #13	m01083	5,74	1,78	2,58	1	2
T2-Removido, #13	m01084	5,29	1,59	2,07	1	2
T2-Removido, #13	m01085	4,89	1,95	3,78	1	2
T2-Removido, #13	m01086	6,73	1,95	1,71	1	2
T2-Removido, #13	m01087	4,61	1,51	2,51	1	2
T2-Removido, #13	m01088	5,49	1,92	0,98	1	1
T2-Removido, #13	m01089	5,51	1,26	3,16	1	2
T2-Removido, #13	m01090	5,25	1,51	2,76	1	2
T2-Removido, #13	m01091	6,91	1,57	2,05	1	2
T2-Removido, #13	m01092	6,73	1,62	1,03	1	1
T2-Removido, #13	m01093	5,74	1,32	1,99	1	2
T2-Removido, #13	m01094	4,45	1,36	3,04	1	2
T2-Removido, #13	m01095	4,56	1,6	1,71	1	2
T2-Removido, #13	m01096	4,1	1,29	2,3	3	2

T2-Removido, #13	m01097	4,14	1,25	3,13	1	2
T2-Removido, #13	m01098	5,98	1,88	1,59	1	2
T2-Removido, #13	m01099	4,14	1,29	2,81	1	2
T2-Removido, #13	m01100	6,1	1,67	1,25	1	1
T2-Removido, #13	m01101	5,74	1,75	1,76	1	2
T2-Removido, #13	m01102	6,2	1,77	1,29	1	3
T2-Removido, #13	m01103	5,95	1,61	1,97	1	2
T2-Removido, #13	m01104	4,89	1,72	1,42	1	3
T2-Removido, #13	m01105	5,84	1,89	1,14	1	3
T2-Removido, #13	m01106	3,98	1,37	2,19	1	2
T2-Removido, #13	m01107	5,2	1,43	1,14	1	3
T2-Removido, #13	m01108	5,69	1,74	1,26	1	2
T2-Removido, #13	m01109	5,66	1,51	1,86	1	2
T2-Removido, #13	m01110	3,3	1,35	2,5	1	2
T2-Removido, #13	m01111	4,09	1,76	1,68	1	3
T2-Removido, #13	m01112	5,21	2,47	8,62	1	2
T2-Removido, #13	m01113	5,46	2,28	10,05	1	2
T2-Removido, #13	m01114	4,89	1,96	2,1	1	2
T2-Removido, #13	m01115	5,44	1,59	2,54	1	2
T2-Removido, #13	m01116	5,25	1,4	1,79	1	2
T2-Removido, #13	m01117	5,53	1,5	1,67	1	3
T2-Removido, #13	m01118	4,84	1,33	1,83	3	3
T2-Removido, #13	m01119	6,41	1,7	2,34	1	2
T2-Removido, #13	m01120	5,93	1,79	1,41	1	2
T2-Removido, #13	m01121	6,1	1,59	2,16	3	2

#13						
T2-Removido, #13	m01122	6,45	1,64	1,94	1	2
T2-Removido, #13	m01123	5,64	1,99	1,61	1	2
T2-Removido, #13	m01124	5,64	1,72	1,62	1	2
T2-Removido, #13	m01125	6,43	1,98	2,02	1	2
T2-Removido, #13	m01126	7,19	1,82	1,1	2	3
T2-Removido, #13	m01127	6,77	1,7	1,34	1	2
T2-Removido, #13	m01128	5,17	1,73	1,36	1	3
T2-Removido, #13	m01129	4,43	1,21	2,28	1	2
T2-Removido, #13	m01130	4,96	1,63	1,35	2	1
T2-Removido, #13	m01131	5,07	1,66	1,14	1	2
T2-Removido, #13	m01132	5,93	1,44	1,47	1	2
T2-Removido, #13	m01133	5,29	1,47	2,14	2	2
T2-Removido, #13	m01134	6,06	1,59	2,01	1	2
T2-Removido, #13	m01135	5,08	1,83	1,67	1	2
T2-Removido, #13	m01136	4,13	1,31	2,2	1	2
T2-Removido, #13	m01137	6,03	1,55	1,55	1	2
T2-Removido, #13	m01138	5,78	1,58	1,77	1	2
T2-Removido, #13	m01139	4,52	1,42	1,58	1	2
T2-Removido, #13	m01140	5,78	1,29	2,51	2	2
T2-Removido, #13	m01141	5,95	1,9	1,44	1	3
T2-Removido, #13	m01142	5,43	1,37	1,43	1	3
T2-Removido, #13	m01143	3,93	1,67	1,7	1	2
T2-Removido, #13	m01144	4,32	0,97	1,64	1	2
T2-Removido, #13	m01145	4,3	1,3	1,59	1	1

T2-Removido, #13	m01146	5,71	1,85	1,47	1	2
T2-Removido, #13	m01147	4,74	1,38	1,66	3	2
T2-Removido, #13	m01148	4,55	1,4	2,1	1	2
T2-Removido, #13	m01149	5,09	1,6	1,59	2	2
T2-Removido, #13	m01150	6,83	1,91	1,43	1	2
T2-Removido, #13	m01151	4,44	1,56	1,42	2	3
T2-Removido, #13	m01152	5,61	1,48	3,6	1	2
T2-Removido, #13	m01153	5,69	1,58	1,59	1	3
T2-Removido, #13	m01154	5,07	1,78	1,44	2	2
T2-Removido, #13	m01155	5,88	1,82	1,32	2	3
T2-Removido, #13	m01156	4,11	1,42	3,12	1	2
T2-Removido, #13	m01157	3,79	1,35	1,69	1	2
T2-Removido, #13	m01158	4,28	1,13	2,09	1	2
T2-Removido, #13	m01159	4,28	1,68	2,21	1	2
T2-Removido, #13	m01160	6,1	2,12	1,41	1	2
T2-Removido, #13	m01161	5,25	1,54	1,78	1	2
T2-Removido, #13	m01162	4,06	1,39	1,35	1	2
T2-Removido, #13	m01163	4,38	1,47	1,57	1	2
T2-Removido, #13	m01164	3,19	1,53	1,88	1	2
T2-Removido, #13	m01165	11,13	2,68	4,04	1	2
T2-Removido, #13	m01166	8,89	2,19	3,03	1	2
T2-Removido, #13	m01167	10,18	2,4	4,32	1	2
T2-Removido, #13	m01168	13,48	2,15	3,4	1	2
T2-Removido, #13	m01169	10,11	1,84	3,18	2	2
T2-Removido, #13	m01170	8,79	2,5	3,45	1	2

#13						
T2-Removido, #13	m01171	7,21	1,92	3,6	1	2
T2-Removido, #13	m01172	11,65	2,12	3	1	2
T2-Removido, #13	m01173	11,12	1,87	4,11	1	2
T2-Removido, #13	m01174	11,95	1,9	3,43	1	2
T2-Removido, #13	m01175	9,81	1,74	3,64	1	2
T2-Removido, #13	m01176	9,09	2,24	4,15	1	2
T2-Removido, #13	m01177	9,57	2,29	2,68	1	2
T2-Removido, #13	m01178	9,69	2,01	2,46	1	2
T2-Removido, #13	m01179	10,26	1,91	2,49	1	2
T2-Removido, #13	m01180	10,43	2,14	4,14	1	2
T2-Removido, #13	m01181	10,61	2,74	4,64	1	2
T2-Removido, #13	m01182	11,41	1,66	2,81	1	2
T2-Removido, #13	m01183	9,99	1,82	3,56	1	2
T2-Removido, #13	m01184	7,99	1,65	3,5	1	2
T2-Removido, #13	m01185	13,07	2,4	4,46	1	2
T2-Removido, #13	m01186	9,32	1,83	3,11	1	2
T2-Removido, #13	m01187	9,88	1,66	1,51	1	2
T2-Removido, #13	m01188	11,78	1,63	3,66	1	2
T2-Removido, #13	m01189	10,78	3,07	4,49	1	2
T2-Removido, #13	m01190	9,78	2,34	5,41	1	2
T2-Removido, #13	m01191	10,29	2,81	3,84	1	2
T2-Removido, #13	m01192	11,18	1,9	2,23	1	2
T2-Removido, #13	m01193	10,89	1,91	3,55	1	2
T2-Removido, #13	m01194	10,3	2,13	3,48	1	2

T2-Removido, #13	m01195	11,49	1,96	3,39	2	2
T2-Removido, #13	m01196	8,99	2,39	4	1	2
T2-Removido, #13	m01197	9,25	1,73	3,04	1	2
T2-Removido, #13	m01198	11,16	1,57	1,87	2	2
T2-Removido, #13	m01199	9,77	2,15	3,87	1	2
T2-Removido, #13	m01200	11,9	2,01	4,18	1	2
T2-Removido, #13	m01201	11,49	2,18	5,33	1	2
T2-Removido, #13	m01202	11,01	1,53	2,26	1	2
T2-Removido, #13	m01203	11,6	2,72	4,48	1	2
T2-Removido, #13	m01204	10,05	2,04	4,58	1	2
T2-Removido, #13	m01205	8,73	1,91	4,62	1	2
T2-Removido, #13	m01206	10,44	2,01	1,97	1	3
T2-Removido, #13	m01207	8,25	2,48	2,17	1	1
T2-Removido, #13	m01208	10,25	1,71	1,77	1	2
T2-Removido, #13	m01209	8,45	2	2,68	1	2
T2-Removido, #13	m01210	10,88	2,58	3,88	1	2
T2-Removido, #13	m01211	10,71	1,87	3,05	1	2
T2-Removido, #13	m01212	7,9	2,07	4,11	1	2
T2-Removido, #13	m01213	11,25	2,74	4,6	1	2
T2-Removido, #13	m01214	9,98	1,81	2,11	1	2
T2-Removido, #13	m01215	10,72	2,31	3,25	1	2
T2-Removido, #13	m01216	10,36	2,38	3,92	1	2
T2-Removido, #13	m01217	10,26	2,02	2	1	2
T2-Removido, #13	m01218	9,17	1,5	3,6	1	2
T2-Removido, #13	m01219	10,71	1,83	2,34	1	2

#13						
T2-Removido, #13	m01220	11,02	1,93	1,83	2	3
T2-Removido, #13	m01221	8,95	1,82	2,24	1	3
T2-Removido, #13	m01222	12,74	2,12	3,11	1	2
T2-Removido, #13	m01223	9,97	1,75	1,72	1	2
T2-Removido, #13	m01224	8,28	1,55	3,06	1	2
T2-Removido, #13	m01225	12,25	3,32	5,13	1	2
T2-Removido, #13	m01226	10,48	1,58	3,83	1	2
T2-Removido, #13	m01227	11,29	1,63	2,37	1	2
T2-Removido, #13	m01228	9,38	1,77	1,69	1	2
T2-Removido, #13	m01229	12,78	2,63	5,69	1	2
T2-Removido, #13	m01230	9,75	2,21	3,32	1	2
T2-Removido, #13	m01231	10,05	1,7	2,87	1	2
T2-Removido, #13	m01232	8,25	2,31	3,31	1	2
T2-Removido, #13	m01233	8,54	2,15	2,85	1	3
T2-Removido, #13	m01234	9,68	1,89	4,27	1	2
T2-Removido, #13	m01235	10,72	1,7	3,39	1	2
T2-Removido, #13	m01236	10,23	2,23	4,79	1	2
T2-Removido, #13	m01237	11,46	2,01	2,47	1	2
T2-Removido, #13	m01238	9,66	1,72	3,43	1	2
T2-Removido, #13	m01239	11,03	3,16	4,65	1	2
T2-Removido, #13	m01240	9,73	1,68	3,73	1	2
T2-Removido, #13	m01241	12,69	2,24	2,14	1	3
T2-Removido, #13	m01242	11,59	1,76	2,12	1	2
T2-Removido, #13	m01243	8,63	1,61	2,75	2	2

T2-Removido, #13	m01244	11,25	2,13	2,22	1	2
T2-Removido, #13	m01245	8,99	1,98	3,41	1	2
T2-Removido, #13	m01246	9,84	2,93	4,37	1	2
T2-Removido, #13	m01247	10,74	2,25	2,69	1	2
T2-Removido, #13	m01248	9,81	2,18	3,1	1	2
T2-Removido, #13	m01249	9,97	1,98	3,17	1	2
T2-Removido, #13	m01250	8,9	2,25	3,09	1	2
T2-Removido, #13	m01251	12,65	1,97	1,85	1	2
T2-Removido, #13	m01252	9,19	1,89	3,35	1	2
T2-Removido, #13	m01253	10,54	1,85	3,59	1	2
T2-Removido, #13	m01254	8,56	1,75	2,82	1	2
T2-Removido, #13	m01255	11,17	1,91	2,06	1	3
T2-Removido, #13	m01256	8,73	1,75	3,32	1	2
T2-Removido, #13	m01257	12,11	1,56	1,93	1	2
T2-Removido, #13	m01258	8,97	1,88	1,89	2	1
T2-Removido, #13	m01259	8,8	1,84	2,87	1	2
T2-Removido, #13	m01260	9,81	1,99	3,86	1	2
T2-Removido, #13	m01261	9,32	2,46	3,23	1	2
T2-Removido, #13	m01262	9,45	1,89	3,82	1	2
T2-Removido, #13	m01263	9,1	1,68	2,34	1	2
T2-Removido, #13	m01264	9,38	2,05	5,18	1	2
T2-Removido, #13	m01265	8,54	1,69	3,55	1	2
T2-Removido, #13	m01266	9,53	1,95	3,17	1	2
T2-Removido, #13	m01267	10,36	2,35	1,8	1	2
T2-Removido, #13	m01268	10,58	1,86	3,39	1	2

#13						
T2-Removido, #13	m01269	12,29	1,94	3,61	1	2
T2-Removido, #13	m01270	10,35	1,8	4,41	1	2
T2-Removido, #13	m01271	8,96	1,86	2,19	2	2
T2-Removido, #13	m01272	10,45	1,76	1,84	1	2
T2-Removido, #13	m01273	9	1,75	2,62	1	2
T2-Removido, #13	m01274	9,03	3,28	2,51	1	3
T2-Removido, #13	m01275	9,55	1,94	2,38	1	2
T2-Removido, #13	m01276	10,95	2,2	4,45	1	2
T2-Removido, #13	m01277	10,61	3,85	3,21	1	1
T2-Removido, #13	m01278	11,3	1,91	2,18	1	2
T2-Removido, #13	m01279	9,84	2,35	2,98	1	2
T2-Removido, #13	m01280	9,09	2,16	3,09	1	2
T2-Removido, #13	m01281	9,7	1,66	1,89	1	2
T2-Removido, #13	m01282	10,49	1,93	2,44	1	2
T2-Removido, #13	m01283	8,15	1,74	3,56	1	2
T2-Removido, #13	m01284	11,33	2,03	5,74	1	2
T2-Removido, #13	m01285	9,2	1,94	2,32	2	2
T2-Removido, #13	m01286	11,52	2,02	3,76	1	2
T2-Removido, #13	m01287	8,72	1,9	2,32	1	2
T2-Removido, #13	m01288	9,49	2,29	2,95	1	2
T2-Removido, #13	m01289	8,92	1,86	1,92	1	2
T2-Removido, #13	m01290	8,67	2,02	1,38	1	3
T2-Removido, #13	m01291	9,21	2,05	2,83	1	2
T2-Removido, #13	m01292	9,32	1,98	2,41	1	3

T2-Removido, #13	m01293	9,29	2,21	3,34	1	2
T2-Removido, #13	m01294	10,02	2,23	4,71	1	2
T2-Removido, #13	m01295	12,52	1,8	2,22	1	2
T2-Removido, #13	m01296	8,95	2,32	1,97	2	2
T2-Removido, #13	m01297	8,81	1,81	3,1	1	2
T2-Removido, #13	m01298	9,37	2,76	2,01	1	3
T2-Removido, #13	m01299	9,28	2,09	4,43	1	2
T2-Removido, #13	m01300	9,42	2,01	3,31	2	2
T2-Removido, #13	m01301	10,34	2,11	3,19	1	2
T2-Removido, #13	m01302	9,16	2,24	3,09	1	2
T2-Removido, #13	m01303	9,29	2,24	2,17	1	2
T2-Removido, #13	m01304	10,1	1,95	1,9	1	2
T2-Removido, #13	m01305	8,98	2,22	2,95	1	2
T2-Removido, #13	m01306	8,75	2,44	4,07	1	2
T2-Removido, #13	m01307	9,29	1,93	2,96	1	2
T2-Removido, #13	m01308	9,25	1,89	2,71	1	2
T2-Removido, #13	m01309	8,52	2,02	2,62	2	2
T2-Removido, #13	m01310	11,3	1,9	1,49	2	3
T2-Removido, #13	m01311	8,75	1,83	1,68	1	3
T2-Removido, #13	m01312	10,78	2,05	3,69	1	2
T2-Removido, #13	m01313	8,63	1,57	3,35	1	2
T2-Removido, #13	m01314	9,07	2,01	1,89	1	3
T2-Removido, #13	m01315	8,72	2,2	3,7	1	2
T2-Removido, #13	m01316	9,06	1,82	2,48	2	2
T2-Removido, #13	m01317	7,92	1,95	2,28	2	3

#13						
T2-Removido, #13	m01318	9,05	1,68	3,53	1	2
T2-Removido, #13	m01319	9,84	2,32	2,69	1	2
T2-Removido, #13	m01320	10,09	2,32	3,27	1	2
T2-Removido, #13	m01321	8,72	1,98	2,71	1	2
T2-Removido, #13	m01322	9,4	1,77	2,81	1	2
T2-Removido, #13	m01323	9,82	2,91	3,29	1	2
T2-Removido, #13	m01324	10,81	1,83	2,5	1	2
T2-Removido, #13	m01325	8,93	2,11	2,53	1	2
T2-Removido, #13	m01326	7,85	2,07	2,59	1	3
T2-Removido, #13	m01327	8,61	1,81	3,18	1	2
T2-Removido, #13	m01328	7,92	1,89	2,94	1	2
T2-Removido, #13	m01329	8,46	1,91	2,44	1	2
T2-Removido, #13	m01330	10,35	1,75	2,34	1	2
T2-Removido, #13	m01331	9,4	1,84	3,18	1	2
T2-Removido, #13	m01332	9,37	1,64	3,55	1	2
T2-Removido, #13	m01333	9,27	1,79	1,59	2	3
T2-Removido, #13	m01334	9,84	2,3	2,83	1	2
T2-Removido, #13	m01335	8,94	2,44	3,39	1	2
T2-Removido, #13	m01336	9,57	1,78	1,85	2	3
T2-Removido, #13	m01337	9,89	1,93	2,45	1	3
T2-Removido, #13	m01338	8,85	1,55	1,99	1	2
T2-Removido, #13	m01339	11,16	1,79	3,54	2	2
T2-Removido, #13	m01340	9,5	2,39	1,74	1	3
T2-Removido, #13	m01341	7,32	1,7	1,65	1	3

T2-Removido, #13	m01342	8,98	2	3,31	1	2
T2-Removido, #13	m01343	8,9	2,39	3,42	1	2
T2-Removido, #13	m01344	8,68	2,19	3,25	1	2
T2-Removido, #13	m01345	9,89	1,73	2,12	1	2
T2-Removido, #13	m01346	9,04	2,13	2,43	2	3
T2-Removido, #13	m01347	10,01	1,83	3,39	1	2
T2-Removido, #13	m01348	9,27	1,36	2,45	1	2
T2-Removido, #13	m01349	10,41	2,3	3,39	1	2
T2-Removido, #13	m01350	8,38	2,32	2,16	1	3
T2-Removido, #13	m01351	8,28	2,22	1,74	1	3
T2-Removido, #13	m01352	9,8	1,83	2,86	1	2
T2-Removido, #13	m01353	9,38	2,17	3,87	1	2
T2-Removido, #13	m01354	9,75	2,71	3,5	1	2
T2-Removido, #13	m01355	9,27	1,9	3,13	1	2
T2-Removido, #13	m01356	13,31	2,34	2,55	1	2
T2-Removido, #13	m01357	8,36	2,2	3,92	1	2
T2-Removido, #13	m01358	11,35	2,16	5,55	1	2
T2-Removido, #13	m01359	10,98	1,88	3,57	1	2
T2-Removido, #13	m01360	11,74	5,23	3,14	1	3
T2-Removido, #13	m01361	11,53	2,54	3,54	1	2
T2-Removido, #13	m01362	12,59	3,03	4,24	1	2
T2-Removido, #13	m01363	12,07	2,19	5,24	1	2
T2-Removido, #13	m01364	9,91	1,58	3,97	1	2
T2-Removido, #13	m01365	12,57	5,09	4,58	1	2
T2-Removido, #13	m01366	10,31	2,14	2,26	1	2

#13						
T2-Removido, #13	m01367	11,06	2,23	4,59	1	2
T2-Removido, #13	m01368	11,52	1,78	1,78	1	3
T2-Removido, #13	m01369	10,09	2,16	3,09	1	2
T2-Removido, #13	m01370	11,2	1,96	2,49	1	2
T2-Removido, #13	m01371	8,42	2,07	2,77	2	2
T2-Removido, #13	m01372	10,6	1,68	3,19	1	2
T2-Removido, #13	m01373	9,64	2,04	2,92	1	2
T2-Removido, #13	m01374	10,42	1,9	2,63	1	2
T2-Removido, #13	m01375	8,64	2,12	3,06	1	2
T2-Removido, #13	m01376	11,09	2,17	3,47	1	2
T2-Removido, #13	m01377	11,13	2,64	2,85	1	2
T2-Removido, #13	m01378	9,27	2,5	4,82	1	2
T2-Removido, #13	m01379	8,06	1,68	3,08	1	2
T2-Removido, #13	m01380	11,1	2,19	4,55	1	2
T2-Removido, #13	m01381	9,92	2,08	3,22	1	2
T2-Removido, #13	m01382	10,43	1,85	5,29	1	2
T2-Removido, #13	m01383	10,82	2,05	2,47	2	2
T2-Removido, #13	m01384	9,14	1,83	3,69	1	2
T2-Removido, #13	m01385	11,43	2	2,66	2	2
T2-Removido, #13	m01386	9,18	1,74	2,97	1	2
T2-Removido, #13	m01387	13,48	2,08	2,23	2	2
T2-Removido, #13	m01388	9,8	1,87	4,82	1	2
T2-Removido, #13	m01389	15,04	2,37	2,25	1	2
T2-Removido, #13	m01390	10,46	2,83	3,76	1	2

T2-Removido, #13	m01391	9,51	3,6	3,64	1	3
T2-Removido, #13	m01392	14,46	2,4	3,56	2	2
T2-Removido, #13	m01393	11,12	1,78	3,67	1	2
T2-Removido, #13	m01394	9,08	2,6	3,23	1	3
T2-Removido, #13	m01395	9,89	2,29	4,99	1	2
T2-Removido, #13	m01396	10,91	2,27	4,36	1	2
T2-Removido, #13	m01397	9,63	1,92	3,57	1	2
T2-Removido, #13	m01398	8,57	1,81	2,86	1	2
T2-Removido, #13	m01399	10,08	1,98	3,21	1	2
T2-Removido, #13	m01400	9,72	1,9	3,23	1	2
T2-Removido, #13	m01401	10,82	1,76	2,39	1	2
T2-Removido, #13	m01402	9,71	1,66	1,47	1	3
T2-Removido, #13	m01403	11,1	1,93	3,18	1	2
T2-Removido, #13	m01404	11,06	2,23	3,37	1	2
T2-Removido, #13	m01405	10,41	2,21	4,22	1	2
T2-Removido, #13	m01406	10,73	1,7	3,31	2	2
T2-Removido, #13	m01407	10,3	2,12	5,13	1	2
T2-Removido, #13	m01408	9,56	2,24	2,94	1	2
T2-Removido, #13	m01409	10,3	2,07	2,88	1	2
T2-Removido, #13	m01410	10,24	2,98	3,4	1	2
T2-Removido, #13	m01411	9,71	3,12	3,08	1	2
T2-Removido, #13	m01412	10,14	2,22	4,58	1	2
T2-Removido, #13	m01413	11,38	2,41	1,91	1	3
T2-Removido, #13	m01414	10,76	1,69	2,81	1	2
T2-Removido, #13	m01415	10,92	2,12	1,95	1	2

#13						
T2-Removido, #13	m01416	10,41	1,92	3,77	1	2
T2-Removido, #13	m01417	12,99	2,8	5,66	1	2
T2-Removido, #13	m01418	12,94	2,59	4,39	1	2
T2-Removido, #13	m01419	9	1,69	3,01	1	2
T2-Removido, #13	m01420	8,94	1,55	3,61	1	2
T2-Removido, #13	m01421	11,46	1,6	4,43	1	2
T2-Removido, #13	m01422	9,71	2,64	3,75	1	3
T2-Removido, #13	m01423	11,06	2,54	4,55	1	2
T2-Removido, #13	m01424	10	2,69	2,65	1	1
T2-Removido, #13	m01425	10,73	2,41	2,82	1	2
T2-Removido, #13	m01426	9,14	2,23	3,4	1	2
T2-Removido, #13	m01427	9,87	1,81	3,27	1	2
T2-Removido, #13	m01428	9,59	2,23	3,33	2	2
T2-Removido, #13	m01429	8,77	2,16	3,9	1	2
T2-Removido, #13	m01430	12,28	3,49	5,21	1	2
T2-Removido, #13	m01431	11,13	2,8	6,11	1	2
T2-Removido, #13	m01432	9,64	2,02	3,45	2	2
T2-Removido, #13	m01433	10,04	1,71	3,49	1	2
T2-Removido, #13	m01434	10,76	1,61	3,81	1	2
T2-Removido, #13	m01435	11,11	1,71	1,78	2	2
T2-Removido, #13	m01436	10,37	2,06	3,78	1	2
T2-Removido, #13	m01437	11,18	1,6	2,44	1	2
T2-Removido, #13	m01438	9,98	1,6	3,83	1	2
T2-Removido, #13	m01439	9,89	2,63	4,18	1	2

T2-Removido, #13	m01440	12,16	2,28	4,82	1	2
T2-Removido, #13	m01441	11,52	2,17	4,39	1	2
T2-Removido, #13	m01442	11,79	1,83	3,95	1	2
T2-Removido, #13	m01443	14,21	2,54	2,04	1	3
T2-Removido, #13	m01444	9,56	1,77	2,68	1	2
T2-Removido, #13	m01445	10,84	1,68	4,37	1	2
T2-Removido, #13	m01446	10,59	1,45	4,4	1	2
T2-Removido, #13	m01447	10,47	1,93	4,61	1	2
T2-Removido, #13	m01448	11,07	1,79	3,05	1	3
T2-Removido, #13	m01449	10,53	2,44	3,1	1	3
T2-Removido, #13	m01450	13,42	2,28	3,1	1	2
T2-Removido, #13	m01451	10,6	2,44	3,04	1	2
T2-Removido, #13	m01452	11,75	1,93	1,59	2	2
T2-Removido, #13	m01453	9,13	2,09	2,98	1	2
T2-Removido, #13	m01454	9,73	1,81	2,13	2	2
T2-Removido, #13	m01455	9,65	2,31	3,39	1	2
T2-Removido, #13	m01456	10,77	1,94	1,57	2	3
T2-Removido, #13	m01457	8,93	1,92	2,89	1	3
T2-Removido, #13	m01458	9	2,14	4,35	2	2
T2-Removido, #13	m01459	8,79	2,42	2,7	1	1
T2-Removido, #13	m01460	7,92	2,09	2,79	2	3
T2-Removido, #13	m01461	9,27	1,78	2	1	3
T2-Removido, #13	m01462	8,88	2,81	2,98	1	2
T2-Removido, #13	m01463	9,23	2,22	3,06	1	2
T2-Removido, #13	m01464	9,14	1,72	3,23	1	2

#13						
T2-Removido, #13	m01465	8,62	2,22	2,45	1	3
T2-Removido, #13	m01466	8,74	2,49	4,62	1	2
T2-Removido, #13	m01467	9,41	2,12	3,32	1	2
T2-Removido, #13	m01468	8,95	1,52	2,07	2	2
T2-Removido, #13	m01469	11,22	1,47	2,18	1	2
T2-Removido, #13	m01470	8,58	1,8	2,99	1	2
T2-Removido, #13	m01471	10,15	2,16	2,94	1	2
T2-Removido, #13	m01472	9,92	2,01	2,95	1	2
T2-Removido, #13	m01473	9,54	1,85	2,87	1	2
T2-Removido, #13	m01474	9,66	1,73	2,43	2	3
T2-Removido, #13	m01475	8,86	2,07	2,61	2	2
T2-Removido, #13	m01476	10,62	1,88	2,79	1	2
T2-Removido, #13	m01477	9,51	2,15	2,41	1	2
T2-Removido, #13	m01478	10,91	1,96	3,51	1	2
T2-Removido, #13	m01479	11,34	1,91	2,63	1	3
T2-Removido, #13	m01480	8,18	2,13	3,94	2	2
T2-Removido, #13	m01481	9,39	2,13	2,56	1	2
T2-Removido, #13	m01482	8,74	2	1,92	1	1
T2-Removido, #13	m01483	9,76	2,63	4,89	1	2
T2-Removido, #13	m01484	9,18	1,93	2,69	1	1
T2-Removido, #13	m01485	9,16	1,99	2,89	2	2
T2-Removido, #13	m01486	9,26	1,81	3,15	2	2
T2-Removido, #13	m01487	10,2	2,6	4,02	1	2
T2-Removido, #13	m01488	9,84	1,73	1,63	1	2

T2-Removido, #13	m01489	9,94	2,28	2,88	1	2
T2-Removido, #13	m01490	10,44	2,52	3,8	1	2
T2-Removido, #13	m01491	9,85	2,29	3,62	1	2
T2-Removido, #13	m01492	11,29	1,82	4,09	1	2
T2-Removido, #13	m01493	9,62	1,83	2,65	1	3
T2-Removido, #13	m01494	9,53	1,43	2,09	1	3
T2-Removido, #13	m01495	11,97	1,73	2,67	1	2
T2-Removido, #13	m01496	9,53	1,54	2,72	1	2
T2-Removido, #13	m01497	11,62	1,96	2,63	1	2
T2-Removido, #13	m01498	9,57	2,04	2,45	1	2
T2-Removido, #13	m01499	9,79	2,17	3,12	1	2
T2-Removido, #13	m01500	11,6	2,55	4,57	1	2
T2-Removido, #13	m01501	9,11	2,03	3,4	2	2
T2-Removido, #13	m01502	9,68	1,74	1,65	2	2
T2-Removido, #13	m01503	9,43	2,37	2,21	1	1
T2-Removido, #13	m01504	11,71	2,13	3,16	2	3
T2-Removido, #13	m01505	10,54	1,7	2,14	1	3
T2-Removido, #13	m01506	9,53	2,09	3,99	1	2
T2-Removido, #13	m01507	9,7	2,44	3,43	1	3
T2-Removido, #13	m01508	10,17	3,04	3,58	1	3
T2-Removido, #13	m01509	8,87	2,52	3,52	1	3
T2-Removido, #13	m01510	9,93	2,28	4,18	1	2
T2-Removido, #13	m01511	9,34	2,11	3,29	1	3
T2-Removido, #13	m01512	11,37	2,66	3,9	1	2
T2-Removido, #13	m01513	9,32	2,5	4,89	1	2

#13						
T2-Removido, #13	m01514	11,74	1,81	3,8	1	2
T2-Removido, #13	m01515	11,27	1,88	2,93	1	3
T2-Removido, #13	m01516	8,49	1,63	1,86	1	3
T2-Removido, #13	m01517	8,78	2,07	1,53	2	3
T2-Removido, #13	m01518	8,91	2,43	2,55	1	3
T2-Removido, #13	m01519	10,54	2,02	3,74	1	2
T2-Removido, #13	m01520	10,38	2,49	4,6	1	2
T2-Removido, #13	m01521	9,65	1,91	3,55	1	2
T2-Removido, #13	m01522	9,25	3,33	3,04	1	2
T2-Removido, #13	m01523	9,99	1,86	4,51	1	2
T2-Removido, #13	m01524	9,45	2,2	2,6	1	2
T2-Removido, #13	m01525	10,19	2,24	3,28	1	2
T2-Removido, #13	m01526	9,12	2,07	3,65	1	2
T2-Removido, #13	m01527	9,83	2,3	3,27	1	3
T2-Removido, #13	m01528	8,88	1,67	4,56	1	2
T2-Removido, #13	m01529	11,84	1,83	2,92	2	3
T2-Removido, #13	m01530	9,64	2	2,52	1	2
T2-Removido, #13	m01531	9,81	1,9	2,47	2	3
T2-Removido, #13	m01532	8,72	1,88	3,83	1	2
T2-Removido, #13	m01533	8,68	2,51	2,31	1	3
T2-Removido, #13	m01534	11,81	2,11	3,08	1	2
T2-Removido, #13	m01535	9,44	1,89	2,64	1	2
T2-Removido, #13	m01536	9,53	1,7	3,4	1	2
T2-Removido, #13	m01537	10,72	2,19	4,47	1	2

T2-Removido, #13	m01538	10,62	2,03	4,93	1	3
T2-Removido, #13	m01539	9,49	1,99	4,7	1	2
T2-Removido, #13	m01540	11,16	1,98	3,35	1	2
T2-Removido, #13	m01541	10,5	1,77	2,13	1	2
T2-Removido, #13	m01542	13,3	1,93	2,68	1	3
T2-Removido, #13	m01543	8,09	2,38	2,19	1	3
T2-Removido, #13	m01544	8,12	2,39	2,83	1	3
T2-Removido, #13	m01545	10,11	2,21	4,21	1	2
T2-Removido, #13	m01546	9,59	1,94	3,12	1	2
T2-Removido, #13	m01547	12,02	1,87	2,27	1	2
T2-Removido, #13	m01548	9,66	2,14	5,83	1	2
T2-Removido, #13	m01549	10,95	1,78	3,03	1	2
T2-Removido, #13	m01550	8,86	1,95	3,06	2	2
T2-Removido, #13	m01551	10,88	3,96	3,69	1	2
T2-Removido, #13	m01552	9,13	1,75	3,35	1	2
T2-Removido, #13	m01553	10,53	2,44	4,79	1	2
T2-Removido, #13	m01554	11,87	4,12	4,24	1	3
T2-Removido, #13	m01555	10,28	1,62	3,71	1	2
T2-Removido, #13	m01556	8,45	2,59	4,8	1	2
T2-Removido, #13	m01557	10,4	3,49	4,17	1	2
T2-Removido, #13	m01558	10,25	2,35	3,35	1	2
T2-Removido, #13	m01559	9,7	2,22	3,17	1	3
T2-Removido, #13	m01560	10,53	2,74	3,85	1	3
T2-Removido, #13	m01561	10,9	2,44	3,99	1	2
T2-Removido, #13	m01562	9,78	2,09	2,92	1	3

#13						
T2-Removido, #13	m01563	8,62	1,91	3,65	1	2
T2-Removido, #13	m01564	10,9	2,37	3,63	1	1
T2-Removido, #13	m01565	10,56	2,96	3,52	1	2
T2-Removido, #13	m01566	9,59	2,17	4,35	1	2
T2-Removido, #13	m01567	8,4	2,28	2,31	1	2
T2-Removido, #13	m01568	9,35	1,94	3,01	1	2
T2-Removido, #13	m01569	9,43	2,08	2,74	1	2
T2-Removido, #13	m01570	11,5	1,74	2,94	2	2
T2-Removido, #13	m01571	9,15	2,17	3,37	1	2
T2-Removido, #13	m01572	10,69	2,07	5,8	1	2
T2-Removido, #13	m01573	9,85	1,72	3,49	1	2
T2-Removido, #13	m01574	9,44	2,02	4,28	2	2
T2-Removido, #13	m01575	9,69	1,7	2,23	1	3
T2-Removido, #13	m01576	10,47	2,27	3,43	1	2
T2-Removido, #13	m01577	9,24	2,03	3,77	1	2
T2-Removido, #13	m01578	9,06	2,14	3,35	1	3
T2-Removido, #13	m01579	10,1	2,39	3,42	1	2
T2-Removido, #13	m01580	8,94	2,14	3,49	1	3
T2-Removido, #13	m01581	9,6	1,43	2,07	1	2
T2-Removido, #13	m01582	10	1,81	2,98	1	2
T2-Removido, #13	m01583	9,71	1,62	2,56	2	2
T2-Removido, #13	m01584	8,79	1,98	3,39	1	2
T2-Removido, #13	m01585	8,94	2,41	2,91	1	2
T2-Removido, #13	m01586	9,49	1,89	3,27	1	2

T2-Removido, #13	m01587	8,83	1,75	2,81	1	2
T2-Removido, #13	m01588	8,95	1,95	3,19	1	2
T2-Removido, #13	m01589	9,14	1,78	2,4	1	3
T2-Removido, #13	m01590	9,37	1,75	2,5	1	2
T2-Removido, #13	m01591	9,52	1,92	3,33	1	2
T2-Removido, #13	m01592	9,65	1,91	2,75	1	3
T2-Removido, #13	m01593	8,85	1,72	2,25	2	2
T2-Removido, #13	m01594	9,83	1,73	2,05	1	2
T2-Removido, #13	m01595	10,4	1,85	1,99	2	2
T2-Removido, #13	m01596	10,49	1,89	2,56	2	2
T2-Removido, #13	m01597	8,21	2,19	3,02	1	2
T2-Removido, #13	m01598	7,76	1,59	2,15	1	2
T2-Removido, #13	m01599	10,06	1,74	2,79	1	2
T2-Removido, #13	m01600	9,11	2,11	3,32	1	2
T2-Removido, #13	m01601	8,64	1,76	3,9	1	2
T2-Removido, #13	m01602	8,61	2,55	3,69	1	2
T2-Removido, #13	m01603	8,82	1,87	2,67	1	2
T2-Removido, #13	m01604	10,96	2,89	3,87	1	3
T2-Removido, #13	m01605	7,99	2,02	2,35	1	3
T2-Removido, #13	m01606	7,88	2,04	3,67	2	3
T2-Removido, #13	m01607	9,73	2,17	3,61	2	3
T2-Removido, #13	m01608	8,57	1,92	2,9	1	2
T2-Removido, #13	m01609	7,57	2	3,89	1	3
T2-Removido, #13	m01610	9,39	2,2	3,24	1	3
T2-Removido, #13	m01611	9,49	1,92	2,88	2	2

#13						
T2-Removido, #13	m01612	8,82	1,83	3,22	1	2
T2-Removido, #13	m01613	9,61	1,59	2,37	2	3
T2-Removido, #13	m01614	7,33	2,1	3,2	1	2
T2-Removido, #13	m01615	8,55	2,06	1,44	1	3
T2-Removido, #13	m01616	7,79	2,16	3,78	1	3
T2-Removido, #13	m01617	8,86	2,03	2,67	1	2
T2-Removido, #13	m01618	9,05	1,92	2,64	1	3
T2-Removido, #13	m01619	9,04	2,2	2,58	1	3
T2-Removido, #13	m01620	5,25	1,68	1,75	3	3
T2-Removido, #13	m01621	5,7	1,71	3,69	3	2
T2-Removido, #13	m01622	9,87	1,88	3,16	1	2
T2-Removido, #13	m01623	9,18	2,05	2,38	1	2
T2-Removido, #13	m01624	9,04	2,28	2,2	1	1
T2-Removido, #13	m01625	9,23	1,83	2,75	1	3
T2-Removido, #13	m01626	7,62	1,66	1,88	2	3
T2-Removido, #13	m01627	9,69	1,96	2,03	1	2
T2-Removido, #13	m01628	9,14	1,58	2,37	1	2
T2-Removido, #13	m01629	8,18	1,72	1,84	1	1
T2-Removido, #13	m01630	8,57	1,73	1,61	2	3
T2-Removido, #13	m01631	5,02	1,91	2,82	3	2
T2-Removido, #13	m01632	7,71	1,72	2,63	1	2
T2-Removido, #13	m01633	8,35	2,14	2,06	1	2
T2-Removido, #13	m01634	8,27	2,82	3,61	1	3
T2-Removido, #13	m01635	8,37	1,87	2,04	1	3

T2-Removido, #13	m01636	6,61	1,93	3,17	2	2
T2-Removido, #13	m01637	8,43	1,78	2,58	1	2
T2-Removido, #13	m01638	9,79	1,75	1,94	1	1
T2-Removido, #13	m01639	8,76	1,99	1,7	1	3
T2-Removido, #13	m01640	8,01	1,71	2,81	1	2
T2-Removido, #13	m01641	8,89	1,81	2,2	1	2
T2-Removido, #13	m01642	7,53	1,74	1,73	1	2
T2-Removido, #13	m01643	7,13	1,64	1,79	2	2
T2-Removido, #13	m01644	7,06	1,8	1,16	1	3
T2-Removido, #13	m01645	7,72	1,77	1,92	1	2
T2-Removido, #13	m01646	9,16	2,13	1,56	1	1
T2-Removido, #13	m01647	8,43	1,93	0,96	2	3
T2-Removido, #13	m01648	8,84	2,05	2,73	1	2
T2-Removido, #13	m01649	9,66	1,94	2,1	1	1
T2-Removido, #13	m01650	5,49	1,84	1,62	1	3
T2-Removido, #13	m01651	11,05	2,38	4,36	1	2
T2-Removido, #13	m01652	9,04	1,89	2,98	1	2
T2-Removido, #13	m01653	11,11	2,78	3,72	1	2
T2-Removido, #13	m01654	10,52	2,08	4,39	1	2
T2-Removido, #13	m01655	9,55	1,78	2,91	1	2
T2-Removido, #13	m01656	11,66	2,65	2,26	1	2
T2-Removido, #13	m01657	10,21	1,89	2,86	1	2
T2-Removido, #13	m01658	12,39	1,83	2,46	1	2
T2-Removido, #13	m01659	10,91	2,4	3,67	1	2
T2-Removido, #13	m01660	12,54	1,81	2,45	1	2

#13						
T2-Removido, #13	m01661	9,78	2,68	4,04	1	2
T2-Removido, #13	m01662	9,21	2,12	3,63	1	2
T2-Removido, #13	m01663	9,76	1,96	2,46	1	2
T2-Removido, #13	m01664	8,17	2,14	3,1	2	2
T2-Removido, #13	m01665	9,91	2,61	3,84	1	2
T2-Removido, #13	m01666	10,29	1,89	2,75	1	2
T2-Removido, #13	m01667	10,33	2,17	2,59	1	2
T2-Removido, #13	m01668	9,11	2,26	4,4	2	2
T2-Removido, #13	m01669	9,51	2,04	2,73	1	3
T2-Removido, #13	m01670	9,47	2,03	4,17	1	2
T2-Removido, #13	m01671	12,42	2,62	3,58	1	2
T2-Removido, #13	m01672	10,67	1,85	3,59	1	2
T2-Removido, #13	m01673	9,14	2,95	2,51	1	3
T2-Removido, #13	m01674	10,92	2,03	3,92	1	2
T2-Removido, #13	m01675	10,88	2,12	2,44	1	2
T2-Removido, #13	m01676	9,72	1,93	4,03	2	2
T2-Removido, #13	m01677	9,33	2,16	3,25	1	3
T2-Removido, #13	m01678	8,32	1,78	1,74	1	2
T2-Removido, #13	m01679	9,59	2,12	3,91	1	3
T2-Removido, #13	m01680	9,65	2,14	2,28	2	2
T2-Removido, #13	m01681	9,59	1,92	3,88	2	2
T2-Removido, #13	m01682	10,78	2,22	3,09	1	2
T2-Removido, #13	m01683	9,44	2,72	2,56	1	3
T2-Removido, #13	m01684	9,67	2,21	4,1	2	2

T2-Removido, #13	m01685	10,7	2,47	3,15	2	2
T2-Removido, #13	m01686	7,92	2,38	4,65	1	2
T2-Removido, #13	m01687	8,75	1,98	2,21	2	2
T2-Removido, #13	m01688	9,31	1,76	2,14	1	2
T2-Removido, #13	m01689	9,88	1,76	2,97	1	2
T2-Removido, #13	m01690	9,65	1,83	3,99	1	2
T2-Removido, #13	m01691	9,17	2,04	2,47	1	2
T2-Removido, #13	m01692	9,59	2	2,46	1	2
T2-Removido, #13	m01693	9,24	1,9	2,23	1	3
T2-Removido, #13	m01694	9,05	2,01	3,11	1	2
T2-Removido, #13	m01695	9,54	2,04	2,83	1	2
T2-Removido, #13	m01696	7,84	1,92	2,96	2	2
T2-Removido, #13	m01697	8,89	1,89	2,83	1	2
T2-Removido, #13	m01698	7,82	1,92	1,79	2	3
T2-Removido, #13	m01699	9,97	1,8	2,64	1	2
T2-Removido, #13	m01700	8,29	2	1,95	1	3
T2-Removido, #13	m01701	8,31	2,12	3,58	1	2
T2-Removido, #13	m01702	9,96	1,93	4,08	1	2
T2-Removido, #13	m01703	8,99	2,28	4,17	1	2
T2-Removido, #13	m01704	9,01	2,2	3,18	2	2
T2-Removido, #13	m01705	8,76	2,43	2,85	1	2
T2-Removido, #13	m01706	9,13	1,86	2,71	1	2
T2-Removido, #13	m01707	9,09	1,73	1,69	2	3
T2-Removido, #13	m01708	9,13	2,27	2,65	1	2
T2-Removido, #13	m01709	9,37	2,05	3,72	1	2

#13						
T2-Removido, #13	m01710	9,79	2,16	3,28	1	2
T2-Removido, #13	m01711	8,85	1,76	2,55	1	2
T2-Removido, #13	m01712	8,79	2,01	2,12	2	3
T2-Removido, #13	m01713	8,93	1,6	2,75	1	2
T2-Removido, #13	m01714	7,92	1,84	2,8	1	2
T2-Removido, #13	m01715	8,9	1,87	2,2	2	2
T2-Removido, #13	m01716	9,08	1,39	1,86	1	3
T2-Removido, #13	m01717	7,31	2,08	2,02	1	2
T2-Removido, #13	m01718	9,48	2,28	2,54	1	2
T2-Removido, #13	m01719	9,1	2,39	3,36	1	2
T2-Removido, #13	m01720	8,94	1,58	2,16	1	2
T2-Removido, #13	m01721	8,03	2,29	3,21	1	3
T2-Removido, #13	m01722	8,5	1,83	2,9	1	2
T2-Removido, #13	m01723	9,86	2,19	4,56	1	2
T2-Removido, #13	m01724	8,07	1,53	2,58	1	2
T2-Removido, #13	m01725	7,4	1,44	3,06	1	2
T2-Removido, #13	m01726	8,51	1,86	2,15	2	2
T2-Removido, #13	m01727	8,45	1,75	2,03	2	3
T2-Removido, #13	m01728	9,8	1,57	1,84	1	3
T2-Removido, #13	m01729	8,4	2,21	2,39	1	2
T2-Removido, #13	m01730	8,81	1,82	2,08	1	2
T2-Removido, #13	m01731	8,48	2,02	2,54	1	2
T2-Removido, #13	m01732	8,82	1,62	2,94	1	2
T2-Removido, #13	m01733	9,04	2,15	1,85	2	2

T2-Removido, #13	m01734	9,46	1,66	1,85	1	2
T2-Removido, #13	m01735	9,24	1,93	2,6	1	2
T2-Removido, #13	m01736	8,88	2,06	1,79	1	2
T2-Removido, #13	m01737	9,29	1,85	1,9	1	2
T2-Removido, #13	m01738	7,5	2,04	3,07	1	2
T2-Removido, #13	m01739	9,76	1,81	1,61	2	3
T2-Removido, #13	m01740	8,75	1,6	2,08	1	2
T2-Removido, #13	m01741	9,18	2,04	1,67	1	1
T2-Removido, #13	m01742	7,71	2,11	3,45	1	2
T2-Removido, #13	m01743	7,78	1,72	3,05	2	2
T2-Removido, #13	m01744	9,33	2,17	2,79	1	2
T2-Removido, #13	m01745	7,93	1,8	2,86	2	2
T2-Removido, #13	m01746	8,57	1,91	3,31	1	2
T2-Removido, #13	m01747	8,55	3,27	3,67	1	3
T2-Removido, #13	m01748	8,47	1,85	1,77	1	3
T2-Removido, #13	m01749	9,23	1,73	1,25	1	3
T2-Removido, #13	m01750	9,11	2	1,6	1	1
T2-Removido, #13	m01751	9,58	1,53	1,89	1	2
T2-Removido, #13	m01752	10,74	3,17	4,53	1	2
T2-Removido, #13	m01753	11,78	2,06	4,09	1	2
T2-Removido, #13	m01754	11,41	3,23	3,89	1	3
T2-Removido, #13	m01755	9,19	2,04	4,82	1	2
T2-Removido, #13	m01756	10,1	1,52	2,73	1	2
T2-Removido, #13	m01757	9,52	1,75	3,72	2	2
T2-Removido, #13	m01758	10,25	1,67	2,92	1	2

#13						
T2-Removido, #13	m01759	9	2,04	3,58	1	2
T2-Removido, #13	m01760	9,54	2,13	2,98	1	2
T2-Removido, #13	m01761	10,05	2,09	3,99	1	2
T2-Removido, #13	m01762	11,37	2,29	4,13	1	2
T2-Removido, #13	m01763	9,83	2,1	4,86	1	2
T2-Removido, #13	m01764	10,64	2,2	4,14	1	2
T2-Removido, #13	m01765	10,97	1,96	4,35	1	2
T2-Removido, #13	m01766	9,48	1,84	3,35	1	2
T2-Removido, #13	m01767	8,71	1,98	3,5	1	2
T2-Removido, #13	m01768	8,71	2,01	3,23	1	2
T2-Removido, #13	m01769	9,88	1,85	3,25	1	2
T2-Removido, #13	m01770	10,73	2,09	3,3	1	2
T2-Removido, #13	m01771	9,35	2,14	2,94	1	2
T2-Removido, #13	m01772	11,17	1,92	4,03	1	2
T2-Removido, #13	m01773	12,6	2	3,51	1	2
T2-Removido, #13	m01774	9,29	2,15	4,9	1	2
T2-Removido, #13	m01775	9,32	1,77	3,87	1	2
T2-Removido, #13	m01776	9,98	1,8	3,3	1	2
T2-Removido, #13	m01777	10,09	2,21	3,9	1	2
T2-Removido, #13	m01778	10,04	1,78	3,3	1	2
T2-Removido, #13	m01779	11,59	2,62	4,72	1	2
T2-Removido, #13	m01780	9,07	2,27	3,52	1	2
T2-Removido, #13	m01781	11,85	1,82	2,11	1	2
T2-Removido, #13	m01782	13,66	2	3,06	1	2

T2-Removido, #13	m01783	9,25	1,81	3,14	1	2
T2-Removido, #13	m01784	8,51	2,08	4,21	1	2
T2-Removido, #13	m01785	9,65	1,73	2,25	2	2
T2-Removido, #13	m01786	11,99	3,07	4,03	1	2
T2-Removido, #13	m01787	11,13	1,7	2,9	1	2
T2-Removido, #13	m01788	11,97	2,38	5,22	1	2
T2-Removido, #13	m01789	8,95	1,65	2,85	1	2
T2-Removido, #13	m01790	9,93	2,34	2,58	1	3
T2-Removido, #13	m01791	10,39	1,95	3,75	1	2
T2-Removido, #13	m01792	11,28	1,54	4,16	1	2
T2-Removido, #13	m01793	9,46	1,94	3,42	1	2
T2-Removido, #13	m01794	9,71	1,94	1,64	1	3
T2-Removido, #13	m01795	8,94	2,34	2,61	1	3
T2-Removido, #13	m01796	9,11	1,82	2,77	1	3
T2-Removido, #13	m01797	13,67	1,95	3,06	2	2
T2-Removido, #13	m01798	10,8	1,89	3,78	1	2
T2-Removido, #13	m01799	9,91	2,01	3,37	1	3
T2-Removido, #13	m01800	10,34	1,72	3,23	1	2
T2-Removido, #13	m01801	9,41	2,14	2,9	1	3
T2-Removido, #13	m01802	10,17	2,77	3	1	3
T2-Removido, #13	m01803	10,34	1,82	2,89	1	2
T2-Removido, #13	m01804	12,07	2,65	4,01	1	2
T2-Removido, #13	m01805	9,58	2,73	4,61	1	2
T2-Removido, #13	m01806	9,95	2,51	2,73	1	3
T2-Removido, #13	m01807	9,3	1,62	3,54	1	2

#13						
T2-Removido, #13	m01808	10,58	1,78	2,79	1	2
T2-Removido, #13	m01809	9,46	2,26	2,93	2	2
T2-Removido, #13	m01810	9,84	1,6	3,23	1	2
T2-Removido, #13	m01811	8,63	1,96	3,78	1	2
T2-Removido, #13	m01812	9,76	1,54	3,19	1	2
T2-Removido, #13	m01813	11,34	2,19	2,73	2	2
T2-Removido, #13	m01814	12,55	2,09	4,38	1	2
T2-Removido, #13	m01815	10,92	1,99	3,19	1	2
T2-Removido, #13	m01816	10	1,91	2,56	1	2
T2-Removido, #13	m01817	10,77	1,68	2,85	1	2
T2-Removido, #13	m01818	10,25	1,68	3,16	1	2
T2-Removido, #13	m01819	8,95	1,61	2,95	1	2
T2-Removido, #13	m01820	9,22	1,89	3,51	1	2
T2-Removido, #13	m01821	11,52	2,12	4,61	1	2
T2-Removido, #13	m01822	12,58	1,79	2,48	1	1
T2-Removido, #13	m01823	8,88	2,54	2,27	1	3
T2-Removido, #13	m01824	9,78	1,91	2,12	2	3
T2-Removido, #13	m01825	10,96	1,53	3,49	1	2
T2-Removido, #13	m01826	8,47	2,01	2,49	1	2
T2-Removido, #13	m01827	11,86	1,69	2,2	1	2
T2-Removido, #13	m01828	9,66	2,24	2,17	2	3
T2-Removido, #13	m01829	10,98	1,8	2,11	1	1
T2-Removido, #13	m01830	9,51	1,77	2,8	2	2
T2-Removido, #13	m01831	9,49	2,24	3,39	1	3

T2-Removido, #13	m01832	9,51	1,71	2,15	2	3
T2-Removido, #13	m01833	11,49	1,98	3,87	1	2
T2-Removido, #13	m01834	8,82	2	3,41	1	2
T2-Removido, #13	m01835	10,48	2,03	2,7	2	2
T2-Removido, #13	m01836	9,55	1,73	2,17	1	3
T2-Removido, #13	m01837	11,11	2,15	1,1	2	3
T2-Removido, #13	m01838	9,97	2,01	3,85	1	2
T2-Removido, #13	m01839	9,85	2,04	3,29	1	2
T2-Removido, #13	m01840	10,01	1,96	5,24	2	2
T2-Removido, #13	m01841	9,65	1,95	3,34	1	2
T2-Removido, #13	m01842	10,25	3,53	4,49	1	2
T2-Removido, #13	m01843	9,69	2,53	3,91	1	2
T2-Removido, #13	m01844	11	2,17	5,71	1	2
T2-Removido, #13	m01845	9,48	2,19	4,03	1	2
T2-Removido, #13	m01846	9,24	1,68	3	1	2
T2-Removido, #13	m01847	9,9	1,99	3,03	1	2
T2-Removido, #13	m01848	8,77	1,64	3,58	1	2
T2-Removido, #13	m01849	9,88	1,84	2,52	1	3
T2-Removido, #13	m01850	8,58	1,62	2,57	1	2
T2-Removido, #13	m01851	9,41	1,83	2,37	2	3
T2-Removido, #13	m01852	8,68	1,45	2,68	1	2
T2-Removido, #13	m01853	11,22	2,65	3,97	1	2
T2-Removido, #13	m01854	12,93	2,26	3,65	2	2
T2-Removido, #13	m01855	9,74	2,35	3,44	1	3
T2-Removido, #13	m01856	11,37	3,1	4,56	1	2

#13						
T2-Removido, #13	m01857	13,14	1,95	2,57	1	3
T2-Removido, #13	m01858	11,28	1,81	3,26	1	2
T2-Removido, #13	m01859	11,16	2,18	3,18	1	1
T2-Removido, #13	m01860	13,7	1,7	3,39	2	2
T2-Removido, #13	m01861	10,93	1,93	5,03	1	2
T2-Removido, #13	m01862	11,15	1,75	2,31	2	3
T2-Removido, #13	m01863	10,59	1,8	2,84	1	2
T2-Removido, #13	m01864	10,05	3,19	2,71	1	2
T2-Removido, #13	m01865	10,22	1,78	4,25	1	2
T2-Removido, #13	m01866	10,78	2,7	2,59	1	2
T2-Removido, #13	m01867	11,45	1,7	2,69	1	2
T2-Removido, #13	m01868	11,64	2,51	4,63	1	2
T2-Removido, #13	m01869	11,19	1,47	3,59	1	2
T2-Removido, #13	m01870	9,91	1,93	3,56	1	2
T2-Removido, #13	m01871	11,93	1,81	3,36	2	2
T2-Removido, #13	m01872	14,15	1,64	2,08	2	3
T2-Removido, #13	m01873	9,82	2,24	3,22	1	2
T2-Removido, #13	m01874	9,32	1,69	1,96	2	3
T2-Removido, #13	m01875	13,23	2,08	3,26	2	2
T2-Removido, #13	m01876	8,87	1,92	3,29	1	2
T2-Removido, #13	m01877	10,02	1,76	2,18	1	2
T2-Removido, #13	m01878	9,7	2,16	5,99	1	2
T2-Removido, #13	m01879	12,3	1,56	2,41	1	2
T2-Removido, #13	m01880	10,32	1,8	3	2	3

T2-Removido, #13	m01881	11,59	2,03	5,18	1	2
T2-Removido, #13	m01882	11,07	1,49	3,19	2	2
T2-Removido, #13	m01883	11,88	1,81	2,65	1	2
T2-Removido, #13	m01884	12,3	3,78	6,05	1	2
T2-Removido, #13	m01885	10,83	2,35	3,43	1	2
T2-Removido, #13	m01886	13,02	2,26	4,97	1	2
T2-Removido, #13	m01887	11,65	2,4	3,83	1	2
T2-Removido, #13	m01888	12,36	2,39	2,84	1	3
T2-Removido, #13	m01889	9,91	2	4,45	1	2
T2-Removido, #13	m01890	8,99	2,05	3,87	1	2
T2-Removido, #13	m01891	12,79	2,04	4,46	2	2
T2-Removido, #13	m01892	10,85	3,23	2,8	1	3
T2-Removido, #13	m01893	11,62	1,77	4,62	1	2
T2-Removido, #13	m01894	13,15	1,98	3,19	1	3
T2-Removido, #13	m01895	9,56	1,95	3,5	2	2
T2-Removido, #13	m01896	13,18	1,93	2,37	2	2
T2-Removido, #13	m01897	10,34	1,66	2,37	1	2
T2-Removido, #13	m01898	9,48	2,02	3,91	1	2
T2-Removido, #13	m01899	12,76	2,06	2,81	1	2
T2-Removido, #13	m01900	10,78	2,71	3,22	1	2
T2-Removido, #13	m01901	11,38	2,01	4,39	1	2
T2-Removido, #13	m01902	9,77	1,78	3,46	1	2
T2-Removido, #13	m01903	10,47	1,74	3,8	1	2
T2-Removido, #13	m01904	12,62	2,4	2,67	1	2
T2-Removido, #13	m01905	10,97	1,72	4,75	1	2

#13						
T2-Removido, #13	m01906	11,17	2,8	3,7	1	2
T2-Removido, #13	m01907	9,28	2,05	3,66	1	2
T2-Removido, #13	m01908	11,25	2,8	7,29	1	2
T2-Removido, #13	m01909	12,34	3,01	4,48	1	3
T2-Removido, #13	m01910	10,93	2,05	3,8	1	2
T2-Removido, #13	m01911	9,37	2,68	4,7	1	2
T2-Removido, #13	m01912	9,11	2,61	3,03	1	3
T2-Removido, #13	m01913	12,39	2,05	3,55	1	2
T2-Removido, #13	m01914	13,12	2,27	1,98	2	3
T2-Removido, #13	m01915	11,53	2,04	2,3	2	2
T2-Removido, #13	m01916	9,04	1,78	4,52	2	2
T2-Removido, #13	m01917	11,31	2,6	3,98	1	2
T2-Removido, #13	m01918	11,7	2,05	4,58	1	2
T2-Removido, #13	m01919	11,23	1,92	3,11	1	1
T2-Removido, #13	m01920	9,09	3,21	3,25	1	2
T2-Removido, #13	m01921	10,81	2,68	3,53	1	2
T2-Removido, #13	m01922	9,4	2,39	2,79	1	2
T2-Removido, #13	m01923	10,08	1,82	3,89	1	2
T2-Removido, #13	m01924	9,46	1,61	3,15	2	3
T2-Removido, #13	m01925	12,71	1,87	3,03	2	2
T2-Removido, #13	m01926	11,66	1,6	3,61	1	2
T2-Removido, #13	m01927	11,62	1,73	1,9	1	2
T2-Removido, #13	m01928	11,08	2,15	4,04	1	2
T2-Removido, #13	m01929	10,4	1,69	3,52	1	2

T2-Removido, #13	m01930	10	2,09	4,28	1	2
T2-Removido, #13	m01931	10,62	1,75	3,9	1	2
T2-Removido, #13	m01932	11,84	2,62	4,94	1	2
T2-Removido, #13	m01933	9,87	1,66	4,29	1	2
T2-Removido, #13	m01934	11,2	2,04	3,54	1	2
T2-Removido, #13	m01935	11,2	2,03	4,29	1	2
T2-Removido, #13	m01936	9,37	1,7	3,44	1	2
T2-Removido, #13	m01937	11,03	1,9	3,74	1	2
T2-Removido, #13	m01938	11,26	1,8	2,85	2	2
T2-Removido, #13	m01939	9,37	2,31	4,84	1	2
T2-Removido, #13	m01940	9,43	2,07	3,69	1	2
T2-Removido, #13	m01941	8,62	1,99	3,19	2	2
T2-Removido, #13	m01942	10,75	1,81	3,98	1	2
T2-Removido, #13	m01943	11,82	2,56	3,46	1	2
T2-Removido, #13	m01944	9,44	2,07	2,45	2	2
T2-Removido, #13	m01945	9,39	1,92	2,34	2	3
T2-Removido, #13	m01946	9,03	1,87	2,23	2	2
T2-Removido, #13	m01947	10,92	1,56	2,16	1	2
T2-Removido, #13	m01948	8,65	1,78	2,97	1	2
T2-Removido, #13	m01949	10,38	1,57	1,63	1	2
T2-Removido, #13	m01950	13,87	2,11	2,83	2	2
T2-Removido, #13	m01951	13,39	2,07	2,39	2	2
T2-Removido, #13	m01952	11,27	3,96	3,52	1	1
T2-Removido, #13	m01953	9,7	2,03	3,26	1	2
T2-Removido, #13	m01954	13,33	1,82	3,96	2	2

#13						
T2-Removido, #13	m01955	13,12	1,71	2,51	1	2
T2-Removido, #13	m01956	12,38	3,69	3,38	1	1
T2-Removido, #13	m01957	11,64	1,77	2,81	2	3
T2-Removido, #13	m01958	10,26	2,86	5,23	1	2
T2-Removido, #13	m01959	11,88	3,85	4,47	1	3
T2-Removido, #13	m01960	11,16	1,56	3,89	1	2
T2-Removido, #13	m01961	12,67	1,88	3,13	2	2
T2-Removido, #13	m01962	10,04	2,86	4,34	1	2
T2-Removido, #13	m01963	10,84	2,03	3,98	1	2
T2-Removido, #13	m01964	11,32	1,94	2,34	1	2
T2-Removido, #13	m01965	10,68	2,19	3,8	1	2
T2-Removido, #13	m01966	9,88	2,34	5,38	1	2
T2-Removido, #13	m01967	10,69	2,19	3,27	1	2
T2-Removido, #13	m01968	12,53	1,37	2,71	1	2
T2-Removido, #13	m01969	10,53	2,18	4,97	1	2
T2-Removido, #13	m01970	14,32	1,68	2,87	1	2
T2-Removido, #13	m01971	9,78	2,16	3,92	1	2
T2-Removido, #13	m01972	10,08	2,18	4,8	1	2
T2-Removido, #13	m01973	12,61	1,58	2,33	1	2
T2-Removido, #13	m01974	11,77	1,73	3,59	1	2
T2-Removido, #13	m01975	11	3,24	3,71	1	3
T2-Removido, #13	m01976	10,91	1,78	3,41	1	3
T2-Removido, #13	m01977	9,55	1,98	4,77	1	2
T2-Removido, #13	m01978	10,89	1,73	3,88	1	2

T2-Removido, #13	m01979	11,34	1,6	3,6	1	2
T2-Removido, #13	m01980	12,1	2,48	2,58	1	2
T2-Removido, #13	m01981	10,33	3,18	4,97	1	2
T2-Removido, #13	m01982	9,35	1,8	3,98	1	2
T2-Removido, #13	m01983	10,78	2,32	2,84	1	2
T2-Removido, #13	m01984	11,02	2,24	4,51	1	2
T2-Removido, #13	m01985	11,34	3,55	5,47	1	2
T2-Removido, #13	m01986	8,32	1,93	4,07	1	2
T2-Removido, #13	m01987	9,98	2,32	3,88	1	2
T2-Removido, #13	m01988	10,35	3	3,6	1	1
T2-Removido, #13	m01989	10,06	3,03	3,81	1	2
T2-Removido, #13	m01990	10,09	2,05	4,27	1	2
T2-Removido, #13	m01991	10,99	2,54	6,08	1	2
T2-Removido, #13	m01992	10,55	2,65	3,73	1	2
T2-Removido, #13	m01993	12,94	1,97	4,2	2	2
T2-Removido, #13	m01994	10,93	2,29	4,81	1	2
T2-Removido, #13	m01995	11,43	1,77	1,96	2	3
T2-Removido, #13	m01996	10,37	2,26	3,25	1	2
T2-Removido, #13	m01997	10,22	3,06	5,02	1	2
T2-Removido, #13	m01998	11,66	1,92	3,26	1	2
T2-Removido, #13	m01999	10,43	1,86	4,2	1	2
T2-Removido, #13	m02000	9,77	2,03	3,99	2	2
T2-Removido, #13	m02001	10,77	1,94	4,62	1	2
T2-Removido, #13	m02002	10,09	1,88	3,11	1	2
T2-Removido, #13	m02003	11,48	2,77	3,8	1	2

#13						
T2-Removido, #13	m02004	9,43	2,05	3,13	1	3
T2-Removido, #13	m02005	10,81	4,29	4,23	1	2
T2-Removido, #13	m02006	9,27	1,82	4,43	1	2
T2-Removido, #13	m02007	10,23	2,21	4,18	1	2
T2-Removido, #13	m02008	8,64	2	2,48	1	3
T2-Removido, #13	m02009	11,34	2,77	3,51	1	2
T2-Removido, #13	m02010	9,87	2,03	3,05	1	2
T2-Removido, #13	m02011	9,56	2,75	2,61	1	3
T2-Removido, #13	m02012	11,13	1,62	3,49	1	2
T2-Removido, #13	m02013	9,52	2,07	3,01	1	1
T2-Removido, #13	m02014	8,8	1,88	2,56	2	2
T2-Removido, #13	m02015	11,87	2,08	2,52	1	3
T2-Removido, #13	m02016	11,54	1,63	3,27	1	2
T2-Removido, #13	m02017	9,19	1,6	3,02	1	2
T2-Removido, #13	m02018	10,82	1,94	3,35	1	2
T2-Removido, #13	m02019	10,42	2,67	5,12	1	2
T2-Removido, #13	m02020	9,2	1,7	2,69	2	3
T2-Removido, #13	m02021	11,15	1,96	2,25	2	2
T2-Removido, #13	m02022	9,19	1,71	3,73	1	2
T2-Removido, #13	m02023	9,1	2,2	2,54	1	2
T2-Removido, #13	m02024	9,63	1,84	3,15	2	3
T2-Removido, #13	m02025	9,96	2,42	2,72	1	2
T2-Removido, #13	m02026	8,79	1,75	3,11	1	2
T2-Removido, #13	m02027	9,08	1,78	2,08	1	2

T2-Removido, #13	m02028	11,06	1,86	2,71	1	2
T2-Removido, #13	m02029	8,55	1,58	2,8	2	2
T2-Removido, #13	m02030	10,06	2,42	3,57	1	3
T2-Removido, #13	m02031	9,33	2,26	2,53	1	2
T2-Removido, #13	m02032	9,76	2,26	2,72	1	2
T2-Removido, #13	m02033	9,01	1,78	3,7	1	2
T2-Removido, #13	m02034	11,45	2,04	3,73	2	2
T2-Removido, #13	m02035	8,93	2,16	2,83	1	2
T2-Removido, #13	m02036	8,93	1,79	3,14	1	2
T2-Removido, #13	m02037	10,35	1,6	2,13	2	2
T2-Removido, #13	m02038	10,55	1,93	2,23	1	2
T2-Removido, #13	m02039	11,53	2,17	2,78	1	1
T2-Removido, #13	m02040	10,92	1,5	2,74	1	2
T2-Removido, #13	m2041	9,53	1,68	3,04	1	2
T2-Removido, #13	m2042	9,6	2,09	3,29	1	2
T2-Removido, #13	m2043	10,64	4,33	3,37	1	3
T2-Removido, #13	m2044	10,91	1,8	4	1	2
T2-Removido, #13	m2045	11,02	1,81	2,52	1	2
T2-Removido, #13	m2046	11,02	1,69	3,07	1	2
T2-Removido, #13	m2047	10,68	1,86	2,86	1	2
T2-Removido, #13	m2048	9,79	2,42	3,79	1	2
T2-Removido, #13	m2049	10,41	1,77	2,06	2	2
T2-Removido, #13	m2050	10,87	2,04	1,63	2	2
T2-Removido, #13	m2051	12,85	2,13	4,4	1	2
T2-Removido, #13	m2052	10,76	1,73	3,54	1	2

#13						
T2-Removido, #13	m2053	8,25	2,03	3,92	2	2
T2-Removido, #13	m2054	9,37	2,1	4,64	2	2
T2-Removido, #13	m2055	10,75	2,05	4,71	1	2
T2-Removido, #13	m2056	11,08	2,56	4,34	1	2
T2-Removido, #13	m2057	11,89	1,81	3,37	1	2
T2-Removido, #13	m2058	10,69	1,83	2,54	1	1
T2-Removido, #13	m2059	11,13	3,45	4,06	1	2
T2-Removido, #13	m2060	11,44	2,18	4,17	1	2
T2-Removido, #13	m2061	11,08	1,84	3,87	1	2
T2-Removido, #13	m2062	9,38	1,83	3,12	1	2
T2-Removido, #13	m2063	9,96	1,88	3,17	1	2
T2-Removido, #13	m2064	11,34	2,27	3,52	1	2
T2-Removido, #13	m2065	9,13	2,12	2,85	1	2
T2-Removido, #13	m2066	8,54	1,71	1,66	1	3
T2-Removido, #13	m2067	9,01	2,08	2,44	1	2
T2-Removido, #13	m2068	9,59	2,51	2,46	1	2
T2-Removido, #13	m2069	12,47	1,64	1,84	2	2
T2-Removido, #13	m2070	10,7	3,04	3,81	1	2
T2-Removido, #13	m2071	7,87	1,76	3,87	1	2
T2-Removido, #13	m2072	9,1	1,81	2,26	2	1
T2-Removido, #13	m2073	10,21	1,59	2,17	1	2
T2-Removido, #13	m2074	9,23	1,91	1,92	2	1
T2-Removido, #13	m2075	9,45	1,68	2,54	1	2
T2-Removido, #13	m2076	11,12	1,75	2,32	1	2

T2-Removido, #13	m2077	7,49	1,77	2,13	1	2
T2-Removido, #13	m2078	11,46	1,7	2,46	1	2
T2-Removido, #13	m2079	9,54	2,48	2,09	1	2
T2-Removido, #13	m2080	9,27	1,77	2,18	1	2
T2-Removido, #13	m2081	10,36	1,65	2,63	1	2
T2-Removido, #13	m2082	10,73	3,91	3,21	1	2
T2-Removido, #13	m2083	11,69	2,1	5,1	1	2
40N/56E- T2;N2-009-x	m2084	5,19	2,17	1,1	1	3
40N/56E- T2;N2-009-x	m2085	5,36	1,8	0,91	2	3
40N/56E- T2;N2-009-x	m2086	6,49	2,22	2,61	1	3
40N/56E- T2;N2-009-x	m2087	5,47	1,43	1,26	2	2
40N/56E- T2;N2-009-x	m2088	5,55	1,63	2,35	1	
40N/56E- T2;N2-009-x	m2089	4,79	1,41	1,24	1	3
40N/56E- T2;N2-009-x	m2090	5,75	1,82	2,28	1	
40N/56E- T2;N2-009-x	m2091	6,22	1,82	1,35	1	2
40N/56E- T2;N2-009-x	m2092	4,64	1,54	1,5	1	2
40N/56E- T2;N2-009-x	m2093	5,83	1,6	1,75	1	
40N/56E- T2;N2-009-x	m2094	5,91	1,4	1,59	1	2
40N/56E- T2;N2-009-x	m2095	5,81	1,73	1,71	1	2
40N/56E-T2; N1-004-x	m2096	4,32	1,32	2,59	1	2
40N/56E-T2; N1-004-x	m2097	5,4	1,43	1,29	1	2
40N/56E-T2; N1-004-x	m2098	4,58	1,4	2,18	3	2
40N/56E-T2; N1-004-x	m2099	3,76	1,25	1,78	1	2
40N/56E-T2; N1-004-x	m2100	5,24	1,71	1	1	2
40N/56E-T2;	m2101	5,52	1,39	1,85	2	2

N1-004-x						
40N/56E-T2; N1-004-x	m2102	4,46	1,46	1,81	1	2
40N/56E-T2; N1-004-x	m2103	5,66	1,61	1,48	1	2
40N/56E-T2; N1-004-x	m2104	5,74	1,62	1,42	1	3
40N/56E-T2; N1-004-x	m2105	5,3	1,84	1,25	1	3
40N/56E-T2; N1-004-x	m2106	4,69	1,4	1,98	1	2
40N/56E-T2; N1-004-x	m2107	5,35	1,26	1,6	3	3
40N/56E-T2; N1-004-x	m2108	4,89	1,14	1,57	1	2
40N/56E-T2; N1-004-x	m2109	2,87	1,45	2,08	1	2
40N/56E-T2; N1-004-x	m2110	5,3	1,72	1,02	1	3
40N/56E-T2; N1-004-x	m2111	3,79	1,13	1,94	3	3
40N/56E-T2; N1-004-x	m2112	3,51	1,11	1,66	1	2
40N/56E-T2; N1-004-x	m2113	3,06	1,48	1,69	1	2
40N/56E-T2; N1-004-x	m2114	5,67	1,84	1,3	1	1
40N/56E-T2; N1-004-x	m2115	5,21	1,79	1,25	1	2
40N/56E-T2; N1-004-x	m2116	4,06	1,4	1,22	1	2
40N/56E-T2; N1-004-x	m2117	3,96	1,18	1,49	1	2
40N/56E-T2; N1-004-x	m2118	4,09	1,41	1,98	1	1
N5-116-x	m2119	6,86	1,91	4,04	1	2
N5-116-x	m2120	6,55	1,43	2,94	1	2
N5-116-x	m2121	4,53	1,36	2,52	1	2
N5-116-x	m2122	6,97	2,21	3,15	1	1
N5-116-x	m2123	7,24	1,52	1,72	1	2
N5-116-x	m2124	6,84	1,64	1,91	1	3
N5-116-x	m2125	6,65	1,98	1,71	1	2
N2-008-x	m2126	8,73	2,21	5,09	2	2
N2-008-x	m2127	9,23	2,75	3,13	1	2
N2-008-x	m2128	8,54	2,08	2,33	1	2
N2-008-x	m2129	5,37	2,57	8,98	1	2
N2-008-x	m2130	6,91	2,04	2,43	1	2

N2-008-x	m2131	6,32	1,98	3,62	1	
N2-008-x	m2132	6,52	1,56	1,36	2	2
N2-008-x	m2133	6,1	1,92	2,64	1	
N2-008-x	m2134	6,98	1,66	2,06	1	2
N2-008-x	m2135	6,88	2,37	2,38	1	
N2-008-x	m2136	6,55	1,89	1,8	1	2
N2-008-x	m2137	8,82	2,46	2,75	1	2
N2-008-x	m2138	6,08	1,72	2,86	1	2
N2-008-x	m2139	6,38	1,66	2,4	1	2
N2-008-x	m2140	5,57	1,37	3,09	3	
N2-008-x	m2141	6,46	1,52	2,3	2	2
N2-008-x	m2142	8,67	1,94	1,66	1	2
40N/53E-T2;N1-002-x	m2143	9,28	1,37	4,33	1	
40N/53E-T2;N1-002-x	m2144	8,5	1,92	2,49	1	2
40N/53E-T2;N1-002-x	m2145	8,61	1,97	3,24	1	2
40N/53E-T2;N1-002-x	m2146	9,28	2,71	1,71	1	3
41N/56E-T2;N1-024-X	m2147	5,86	1,73	1,41	1	2
41N/56E-T2;N1-024-X	m2148	4,1	1,46	1,87	1	
41N/56E-T2;N1-024-X	m2149	5,69	1,3	1,55	1	2
41N/56E-T2;N1-024-X	m2150	5,13	1,67	2,77	1	2
41N/56E-T2;N1-024-X	m2151	6,01	1,52	1,95	2	2
41N/56E-T2;N1-024-X	m2152	5,69	1,6	1,63	1	3
41N/56E-T2;N1-024-X	m2153	4,2	1,74	1,83	2	3
41N/56E-T2;N1-024-X	m2154	5,31	1,53	1,48	1	2
41N/56E-T2;N1-024-X	m2155	3,63	1,26	1,87	1	2
41N/56E-T2;N1-024-X	m2156	5,51	1,77	1,77	1	2
41N/56E-T2;N1-024-X	m2157	4,11	1,09	1,81	1	2
41N/56E-T2;N1-024-X	m2158	4,66	1,28	1,72	1	2
41N/56E-T2;N1-024-X	m2159	5,35	1,65	2,01	1	3

41N/56E-T2;N1-024-X	m2160	4,34	1,77	1,86	1	2
41N/56E-T2;N1-024-X	m2161	5,16	1,45	2,06	1	2
41N/56E-T2;N1-024-X	m2162	4,11	1,47	3,23	1	2
41N/56E-T2;N1-024-X	m2163	4,86	1,73	1,56	1	2
41N/56E-T2;N1-024-X	m2164	4,87	1,31	2,78	1	2
41N/56E-T2;N1-024-X	m2165	4,92	1,91	2,01	1	2
41N/56E-T2;N1-024-X	m2166	4,51	1,09	2,27	1	2
41N/56E-T2;N1-024-X	m2167	4,88	1,33	2,12	1	2
41N/56E-T2;N1-024-X	m2168	4,8	1,03	1,61	1	2
41N/56E-T2;N1-024-X	m2169	4,6	1,42	1,53	1	2
41N/56E-T2;N1-024-X	m2170	4,99	1,59	1,14	1	1
41N/56E-T2;N1-024-X	m2171	5,05	1,67	1,98	1	2
41N/56E-T2;N1-024-X	m2172	4,75	1,4	1,59	1	2
41N/56E-T2;N1-024-X	m2173	5,22	1,73	0,96	1	1
41N/56E-T2;N1-024-X	m2174	4,6	1,43	3,82	1	
41N/56E-T2;N1-024-X	m2175	4,59	1,7	2,16	2	3
41N/56E-T2;N1-024-X	m2176	4,63	1,2	2,69	1	2
41N/56E-T2;N1-024-X	m2177	5,07	1,68	1,48	1	3
41N/56E-T2;N1-024-X	m2178	5,32	1,48	1,88	1	
41N/56E-T2;N1-024-X	m2179	3,95	1,34	1,7	1	2
41N/56E-T2;N1-024-X	m2180	5,57	1,43	1,23	1	2
41N/56E-T2;N1-024-X	m2181	5,96	1,6	2,53	1	2
41N/56E-T2;N1-024-X	m2182	4,6	1,21	2,39	1	2
41N/56E-T2;N1-024-X	m2183	5,19	1,23	2	3	2
41N/56E-	m2184	4,16	1,49	1,42	1	3

T2;N1-024-X						
41N/56E-T2;N1-024-X	m2185	4,75	1,42	1,41	1	2
41N/56E-T2;N1-024-X	m2186	4,75	1,47	2,05	1	2
41N/56E-T2;N1-024-X	m2187	4,76	1,57	0,8	1	3
41N/56E-T2;N1-024-X	m2188	4,73	1,22	2,18	1	2
41N/56E-T2;N1-024-X	m2189	4,4	1,35	1,34	1	2
41N/56E-T2;N1-024-X	m2190	3,96	1,24	1,56	1	2
41N/56E-T2;N1-024-X	m2191	4,08	1,29	1,55	1	2
41N/56E-T2;N1-024-X	m2192	5,48	1,62	1,94	1	2
41N/56E-T2;N1-024-X	m2193	4,11	0,92	1,56	1	2
41N/56E-T2;N1-024-X	m2194	4,83	2,08	2,59	1	2
41N/56E-T2;N1-024-X	m2195	5,1	1,27	1,43	1	2
41N/56E-T2;N1-024-X	m2196	4,59	1,32	2,21	1	2
41N/56E-T2;N1-024-X	m2197	5,65	1,48	1,3	1	2
41N/56E-T2;N1-024-X	m2198	5,11	1,42	2,09	1	
41N/56E-T2;N1-024-X	m2199	3,37	1,35	1,93	1	
41N/56E-T2;N1-024-X	m2200	5,29	1,91	1,19	1	3
41N/56E-T2;N1-024-X	m2201	4,6	1,4	1,47	1	2
41N/56E-T2;N1-024-X	m2202	6,14	1,59	0,96	1	3
41N/56E-T2;N1-024-X	m2203	4,4	1,6	2,02	1	2
41N/56E-T2;N1-024-X	m2204	4,63	2,29	1,62	1	3
41N/56E-T2;N1-024-X	m2205	4,4	1,47	1,15	1	3
41N/56E-T2;N1-024-X	m2206	4,48	1,45	1,7	1	3
41N/56E-T2;N1-024-X	m2207	4,84	1,32	1,48	1	2
41N/56E-T2;N1-024-X	m2208	4	1,09	1,64	1	1

41N/56E-T2;N1-024-X	m2209	3,47	1,16	1,65	1	2
41N/56E-T2;N1-024-X	m2210	4,43	1,21	1,45	1	2
41N/56E-T2;N1-024-X	m2211	3,18	1,11	1,72	1	2
41N/56E-T2;N1-024-X	m2212	4,44	1,49	1,46	1	1
41N/56E-T2;N1-024-X	m2213	5,07	1,65	1,67	1	2
41N/56E-T2;N1-024-X	m2214	4,83	1,63	0,76	2	1
41N/56E-T2;N1-024-X	m2215	4,06	1,13	1,32	1	2
41N/56E-T2;N1-024-X	m2216	4,1	1,16	1,15	1	1
41N/56E-T2;N1-024-X	m2217	4,01	1,45	1,16	1	1
41N/56E-T2;N1-024-X	m2218	4,8	1,33	1,51	1	1
41N/56E-T2;N1-024-X	m2219	4,79	1,7	1,2	1	1
41N/56E-T2;N1-024-X	m2220	4,63	1,05	2,04	1	2
41N/56E-T2;N1-024-X	m2221	4,99	1,82	1,7	1	1
41N/56E-T2;N1-024-X	m2222	3,29	1,24	0,99	1	3
41N/56E-T2;N1-024-X	m2223	4,6	1,45	1,33	1	2
41N/56E-T2;N1-024-X	m2224	3,51	1,25	0,98	1	2
41N/56E-T2;N1-024-X	m2225	6,08	1,35	2,08	1	2
41N/56E-T2;N1-024-X	m2226	4,69	1,48	1,39	2	2
41N/56E-T2;N1-024-X	m2227	4,64	1,46	1,3	1	2
41N/56E-T2;N1-024-X	m2228	4,27	1,2	2,27	1	2
41N/56E-T2;N1-024-X	m2229	4,44	1,27	1,04	1	3
41N/56E-T2;N1-024-X	m2230	4,55	1,77	2,05	1	3
41N/56E-T2;N1-024-X	m2231	4,68	1,52	1,34	1	3
41N/56E-T2;N1-024-X	m2232	3,87	1,63	1,64	1	1
41N/56E-	m2233	4,56	1,43	2,07	1	2

T2;N1-024-X						
41N/56E-T2;N1-024-X	m2234	4	1,33	1,23	2	2
41N/56E-T2;N1-024-X	m2235	5,82	1,74	1,49	1	2
41N/56E-T2;N1-024-X	m2236	3,52	1,13	1,7	1	2
41N/56E-T2;N1-024-X	m2237	4,58	1,63	1,36	1	3
41N/56E-T2;N1-024-X	m2238	3,58	1,18	1,7	1	2
41N/56E-T2;N1-024-X	m2239	3,43	1,51	1,91	1	3
41N/56E-T2;N1-024-X	m2240	4,16	1,21	2,07	2	
41N/56E-T2;N1-024-X	m2241	4,66	1,57	1,3	1	3
41N/56E-T2;N1-024-X	m2242	4,73	1,74	1,75	1	3
41N/56E-T2;N1-024-X	m2243	3,65	1,18	1,08	1	2
41N/56E-T2;N1-024-X	m2244	3,26	1,19	1,97	1	2
41N/56E-T2;N1-024-X	m2245	3,55	1,22	2,05	1	
41N/56E-T2;N1-024-X	m2246	4,1	1,64	1,7	1	3
41N/56E-T2;N1-024-X	m2247	4,57	1,48	1,26	1	3
41N/56E-T2;N1-024-X	m2248	4,42	1,52	2,1	1	2
41N/56E-T2;N1-024-X	m2249	4,15	1,24	1,67	1	2
41N/56E-T2;N1-024-X	m2250	4,9	1,5	1,17	1	3
41N/56E-T2;N1-024-X	m2251	4,39	1,51	1,4	2	3
41N/56E-T2;N1-024-X	m2252	4,45	1,7	1,45	1	2
41N/56E-T2;N1-024-X	m2253	3,88	1,55	1,49	1	2
41N/56E-T2;N1-024-X	m2254	4,65	1,27	1,4	1	3
41N/56E-T2;N1-024-X	m2255	3,93	1,51	1,07	1	3
41N/56E-T2;N1-024-X	m2256	3,73	1,3	1,21	1	3
41N/56E-T2;N1-024-X	m2257	4,24	1,54	1,61	2	2

41N/56E-T2;N1-024-X	m2258	5,02	1,49	1,41	1	2
41N/56E-T2;N1-024-X	m2259	4,36	1,59	1,26	1	3
41N/56E-T2;N1-024-X	m2260	3,79	1,12	0,98	1	2
41N/56E-T2;N1-024-X	m2261	4,35	1,97	1,3	1	1
41N/56E-T2;N1-024-X	m2262	4,33	1,36	1,15	1	2
41N/56E-T2;N1-024-X	m2263	3,32	1,1	1,24	1	3
41N/56E-T2;N1-024-X	m2264	3,52	1,68	1,29	1	
41N/56E-T2;N1-024-X	m2265	3,46	1,33	0,88	1	3
41N/56E-T2;N1-024-X	m2266	3,98	1,31	1,01	1	3
41N/56E-T2;N1-024-X	m2267	3,72	1,28	0,86	1	2
41N/56E-T2;N1-024-X	m2268	4,21	1,35	0,89	1	1
41N/56E-T2;N1-024-X	m2269	4,62	1,67	1,5	1	1
39N/52E-T2;N1-005-X	m2270	6,22	1,69	1,74	1	3
39N/52E-T2;N1-005-X	m2271	6,34	1,77	1,79	1	3
39N/52E-T2;N1-005-X	m2272	5,87	2,09	2,15	1	1
39N/52E-T2;N1-005-X	m2273	6,2	1,7	1,46	1	3
39N/53E-T2;N4-004-X	m2274	7,68	2,15	1,5	2	3
40N/54E-T2;N4-001-X	m2275	10,75	1,61	1,87	1	2
40N/54E-T2;N4-001-X	m2276	9,15	1,85	2,94	1	3
40N/54E-T2;N4-001-X	m2277	10,46	1,61	2,18	1	2
40N/53E-T2;N4-008-X	m2278	10,26	1,93	3,35	1	2
40N/53E-T2;N4-008-X	m2279	10,61	2,67	6,05	1	2
40N/53E-T2;N4-008-X	m2280	9,16	2,12	3,78	2	2
40N/53E-T2;N4-008-X	m2281	9,13	1,87	2,84	1	2
40N/53E-	m2282	8,67	1,88	2,95	1	2

T2;N4-008-X						
40N/53E-T2;N4-008-X	m2283	9,79	1,88	4,04	1	2
40N/53E-T2;N4-008-X	m2284	8,55	2,62	3,31	1	2
40N/53E-T2;N4-008-X	m2285	11,33	1,89	2,05	1	2
40N/53E-T2;N4-008-X	m2286	8,92	2,36	1,81	2	3
40N/53E-T2;N4-008-X	m2287	9,75	1,96	3,59	1	2
40N/53E-T2;N4-008-X	m2288	9,47	2,46	1,94	2	3
40N/53E-T2;N4-008-X	m2289	8,21	1,74	3,04	2	2
40N/53E-T2;N4-008-X	m2290	8,85	1,66	3,26	1	2
40N/53E-T2;N4-008-X	m2291	9,34	1,89	2,87	2	2
40N/53E-T2;N4-008-X	m2292	7,97	1,83	3,31	1	3
40N/53E-T2;N4-008-X	m2293	9,28	1,73	1,51	2	3
40N/53E-T2;N4-008-X	m2294	8,7	2,12	3,05	1	2
40N/53E-T2;N4-008-X	m2295	7,94	1,86	0,9	1	3
40N/53E-T2;N4-008-X	m2296	7,14	1,88	2,24	1	3
40N/53E-T2;N4-008-X	m2297	8,54	2,05	2,52	2	3
40N/53E-T2;N4-008-X	m2298	8,51	1,86	2,82	1	2
40N/53E-T2;N4-008-X	m2299	8,05	1,69	2,25	1	3
40N/53E-T2;N4-008-X	m2300	8,92	1,96	1,28	1	3
40N/53E-T2;N4-008-X	m2301	10,67	1,84	2,07	1	2
40N/53E-T2;N4-008-X	m2302	8,12	2,19	2,2	1	3
40N/53E-T2;N4-008-X	m2303	10,3	1,87	2	1	3
40N/53E-T2;N4-008-X	m2304	8,52	1,95	1,4	1	3
40N/53E-T2;N4-008-X	m2305	10,74	1,49	1,6	1	2
40N/53E-	m2306	9,14	1,69	2,48	1	2

T2;N4-008-X						
40N/53E-T2;N4-008-X	m2307	8,78	1,87	2,06	1	3
40N/53E-T2;N4-008-X	m2308	9,18	1,78	3	1	2
40N/53E-T2;N4-008-X	m2309	9,86	1,81	2,56	1	1
40N/53E-T2;N4-008-X	m2310	7,16	1,82	1,43	1	1
40N/53E-T2;N4-008-X	m2311	8,66	1,66	2,54	1	2
40N/53E-T2;N4-008-X	m2312	8,03	1,98	2,34	1	2
40N/53E-T2;N4-008-X	m2313	7,26	1,84	2,18	1	2
39N/54E-T2;N3-002-X	m2314	5,84	1,54	2,45	1	
39N/54E-T2;N3-002-X	m2315	3,44	1,3	1,43	1	3
39N/54E-T2;N3-002-X	m2316	3,98	1,25	1,92	1	3
39N/54E-T2;N3-002-X	m2317	4,71	1,53	1,03	1	3
40N/52E-T2;N4-035-X	m2318	4,84	1,47	1,12	1	3
41N/56E-T2;N3-010-X	m2319	10,09	1,98	2,8	1	2
41N/56E-T2;N3-010-X	m2320	5,85	1,65	1,57	1	3
39N/53E-TE;N5-007-X	m2321	8,75	1,7	3,66	1	2
39N/53E-TE;N5-007-X	m2322	7,9	2,56	2,92	1	3
40N/53E-T2;N1-003-X	m2323	7,59	1,53	2,23	1	2
40N/53E-T2;N1-003-X	m2324	6,57	1,99	1,81	1	3
40N/53E-T2;N1-003-X	m2325	6,24	1,84	1,4	1	3
40N/53E-T2;N1-003-X	m2326	7,11	1,94	1,88	2	3
40N/53E-T2;N1-003-X	m2327	8,04	1,81	1,88	1	2
40N/53E-T2;N1-003-X	m2328	7,56	1,43	1,75	1	2
40N/53E-T2;N1-003-X	m2329	5,97	1,49	1,7	2	2
40N/53E-T2;N1-003-X	m2330	5,83	1,84	2,33	1	2

40N/53E-T2;N1-003-X	m2331	6,02	1,5	1,12	1	3
40N/53E-T2;N1-003-X	m2332	5,84	1,62	1,38	2	3
40N/53E-T2;N1-003-X	m2333	6,67	1,85	1,84	2	2
40N/53E-T2;N1-003-X	m2334	5,24	2,2	1,7	2	3
40N/53E-T2;N1-003-X	m2335	5,58	1,3	1,12	2	3
43N/70E-T2;N10-001-X	m2336	6,87	1,39	2,03	1	2
43N/70E-T2;N10-001-X	m2337	8,65	1,83	4,1	1	2
43N/70E-T2;N10-001-X	m2338	10,67	2,13	3,07	1	
43N/70E-T2;N10-001-X	m2339	7,17	2,28	3,93	1	2
43N/70E-T2;N10-001-X	m2340	12,45	1,75	3,04	2	2
43N/70E-T2;N10-001-X	m2341	8,3	1,83	2,28	1	1
43N/70E-T2;N10-001-X	m2342	7,98	1,61	1,26	1	3
43N/70E-T2;N10-001-X	m2343	8,94	2,2	2,45	1	2
43N/70E-T2;N10-001-X	m2344	7,47	1,75	1,49	1	2
39N/56E-T2;N1-007-X	m2345	5,7	1,7	2,24	1	3
39N/56E-T2;N1-007-X	m2346	4,48	1,4	2,08	1	2
39N/56E-T2;N1-007-X	m2347	4,9	1,01	2,15	1	2
39N/56E-T2;N1-007-X	m2348	4,62	1,52	2,57	1	2
39N/56E-T2;N1-007-X	m2349	5,5	1,6	1,91	1	3
39N/56E-T2;N1-007-X	m2350	5,63	1,81	1,52	1	3
39N/56E-T2;N1-007-X	m2351	4,95	1,05	2,11	1	1
39N/56E-T2;N1-007-X	m2352	4,8	1,47	2,39	1	
39N/56E-T2;N1-007-X	m2353	3,66	1,18	2,39	1	2
39N/56E-T2;N1-007-X	m2354	4,2	1,18	1,74	1	2
39N/56E-	m2355	5,44	1,73	1,58	1	3

T2;N1-007-X						
39N/56E-T2;N1-007-X	m2356	3,92	1,74	2,15	1	3
39N/56E-T2;N1-007-X	m2357	5,44	1,55	1,37	1	1
39N/56E-T2;N1-007-X	m2358	4,28	1,65	3,1	3	2
39N/56E-T2;N1-007-X	m2359	5,81	1,52	1,49	2	2
39N/56E-T2;N1-007-X	m2360	4,88	1,2	1,16	1	1
39N/56E-T2;N1-007-X	m2361	3,68	1,21	2,02	1	2
39N/56E-T2;N1-007-X	m2362	5,28	1,61	1,27	1	3
39N/56E-T2;N1-007-X	m2363	4,92	1,86	1,59	1	3
39N/56E-T2;N1-007-X	m2364	4,67	1,65	1,29	1	3
39N/56E-T2;N1-007-X	m2365	3,77	2,08	2,13	1	3
39N/56E-T2;N1-007-X	m2366	3,91	1,31	1,42	1	2
39N/56E-T2;N1-007-X	m2367	4,63	1,64	1,88	1	2
39N/56E-T2;N1-007-X	m2368	4,7	1,15	1,86	1	2
39N/56E-T2;N1-007-X	m2369	6,53	1,68	1,51	1	3
39N/56E-T2;N1-007-X	m2370	5,14	1,64	2,44	1	1
39N/56E-T2;N1-007-X	m2371	5,26	1,39	1,61	3	2
39N/56E-T2;N1-007-X	m2372	3,92	1,35	1,53	3	1
39N/56E-T2;N1-007-X	m2373	5,25	1,25	1,97	1	
39N/56E-T2;N1-007-X	m2374	6	1,76	1,36	1	2
39N/56E-T2;N1-007-X	m2375	5,68	1,44	1,57	2	2
39N/56E-T2;N1-007-X	m2376	4,68	1,69	1,78	1	3
39N/56E-T2;N1-007-X	m2377	4,03	1,55	1,16	1	3
39N/56E-T2;N1-007-X	m2378	4,66	1,44	1,74	1	3
39N/56E-T2;N1-007-X	m2379	4,88	1,58	1,69	1	2

39N/56E-T2;N1-007-X	m2380	5,73	1,78	1,42	2	1
39N/56E-T2;N1-007-X	m2381	2,94	1,14	1	1	3
39N/56E-T2;N1-007-X	m2382	3,86	1,33	2,16	1	2
39N/56E-T2;N1-007-X	m2383	3,86	1,21	2,06	1	2
39N/56E-T2;N1-007-X	m2384	4,02	1,22	2,31	1	2
39N/56E-T2;N1-007-X	m2385	4,51	1,43	1,8	1	2
39N/56E-T2;N1-007-X	m2386	4,18	1,17	2,01	1	2
39N/56E-T2;N1-007-X	m2387	4,55	1,35	1,24	1	1
39N/56E-T2;N1-007-X	m2388	4,29	1,48	1,36	1	2
39N/56E-T2;N1-007-X	m2389	4,09	1,59	1,12	2	3
39N/56E-T2;N1-007-X	m2390	4,83	1,56	1,56	1	2
39N/56E-T2;N1-007-X	m2391	3,51	1,5	1,14	1	3
39N/56E-T2;N1-007-X	m2392	4,58	1,39	0,98	3	1
39N/56E-T2;N1-007-X	m2393	3,42	1,31	1,72	1	2
39N/56E-T2;N1-007-X	m2394	4,15	1,59	1,52	1	3
39N/56E-T2;N1-007-X	m2395	3,73	1,18	1,47	1	3
39N/56E-T2;N1-007-X	m2396	4,4	0,96	1,21	1	2
39N/56E-T2;N1-007-X	m2397	3,31	1,06	1,38	1	3
39N/56E-T2;N1-007-X	m2398	3,53	1,24	1,05	1	2
39N/56E-T2;N1-007-X	m2399	3,94	1,33	1,54	1	3
39N/56E-T2;N1-007-X	m2400	4,54	1,36	1,28	1	3
39N/56E-T2;N1-007-X	m2401	4,58	1,48	1,33	1	3
39N/56E-T2;N1-007-X	m2402	4,21	1,44	1,71	1	1
39N/56E-T2;N1-007-X	m2403	2,81	0,96	1,34	1	2
39N/56E-	m2404	3,4	1,12	1,26	1	3

T2;N1-007-X						
39N/56E-T2;N1-007-X	m2405	4,2	1,71	1,93	1	3
39N/56E-T2;N1-007-X	m2406	4,56	1,51	2,27	1	1
39N/56E-T2;N1-007-X	m2407	3,72	1,47	1,86	1	3
39N/56E-T2;N1-007-X	m2408	3,34	1,28	1,46	1	3
39N/56E-T2;N1-007-X	m2409	4,66	1,31	1,24	1	3
39N/56E-T2;N1-007-X	m2410	5,78	1,61	1,28	1	2
39N/56E-T2;N1-007-X	m2411	4,12	1,41	1,7	1	3
39N/56E-T2;N1-007-X	m2412	4,2	1,53	1,23	2	3
39N/56E-T2;N1-007-X	m2413	4,01	1,98	2,07	1	3
39N/56E-T2;N1-007-X	m2414	4,05	1,22	1,62	1	3
39N/56E-T2;N1-007-X	m2415	4,84	1,72	0,87	1	3
39N/56E-T2;N1-007-X	m2416	4,59	1,35	1,73	1	2
39N/56E-T2;N1-007-X	m2417	4,09	1,37	1,76	1	
39N/56E-T2;N1-007-X	m2418	3,82	1,67	2,01	1	3
39N/56E-T2;N1-007-X	m2419	3,78	1,68	1,7	1	1
39N/56E-T2;N1-007-X	m2420	5,02	1,61	1,11	1	1
39N/56E-T2;N1-007-X	m2421	3,97	1,26	1,71	1	2
39N/56E-T2;N1-007-X	m2422	4,5	1,21	1,49	1	2
39N/56E-T2;N1-007-X	m2423	3,17	1,48	1,27	1	3
39N/56E-T2;N1-007-X	m2424	3,22	1,19	1,39	1	3
39N/56E-T2;N1-007-X	m2425	3,47	1,2	1,36	1	3
39N/56E-T2;N1-007-X	m2426	4,7	1,45	1,66	2	1
39N/56E-T2;N1-007-X	m2427	3,94	1,52	1,87	1	1
39N/56E-T2;N1-007-X	m2428	4,2	1,68	1,91	1	3

39N/56E-T2;N1-007-X	m2429	3,88	1,28	1,98	1	1
39N/56E-T2;N1-007-X	m2430	3,9	1,31	1,28	1	3
39N/56E-T2;N1-007-X	m2431	3,07	1,32	1,13	1	3
39N/56E-T2;N1-007-X	m2432	3,57	1,5	0,91	1	3
39N/56E-T2;N1-007-X	m2433	2,98	1,28	1,06	1	3
39N/56E-T2;N1-007-X	m2434	3,73	0,96	0,83	1	3
40N/52E-T2;N5-115-X	m2435	10,72	1,8	2,69	1	2
40N/52E-T2;N5-115-X	m2436	9,03	2	2,81	1	1
40N/52E-T2;N5-115-X	m2437	9,72	1,93	2,4	1	2
40N/52E-T2;N5-115-X	m2438	8,38	2,76	3,86	1	2
40N/52E-T2;N5-115-X	m2439	7,57	1,7	2,82	1	2
40N/52E-T2;N5-115-X	m2440	8,46	2,2	1,45	1	3
40N/52E-T2;N4-034-X	m2441	7,29	1,67	2,56	2	3
40N/53E-T2;N6-014-X	m2442	10,32	2,05	4,04	2	2
40N/53E-T2;N6-014-X	m2443	9,5	1,53	2,65	1	2
40N/53E-T2;N6-014-X	m2444	10,49	1,76	1,6	1	2
40N/53E-T2;N6-014-X	m2445	8,77	2,5	3,96	1	2
40N/53E-T2;N6-014-X	m2446	10,74	2,03	2,09	2	3
40N/53E-T2;N6-014-X	m2447	9,7	1,82	2,71	1	2
40N/53E-T2;N6-014-X	m2448	10,4	1,71	2,91	1	2
40N/53E-T2;N6-014-X	m2449	9,67	1,89	3,47	1	2
40N/53E-T2;N6-014-X	m2450	9,02	1,95	2,28	2	2
40N/53E-T2;N6-014-X	m2451	10,5	2,3	2,21	1	2
40N/53E-T2;N6-014-X	m2452	8,03	2	2,7	1	1
40N/53E-	m2453	10,64	1,98	2,44	1	2

T2;N6-014-X						
40N/53E-T2;N6-014-X	m2454	9,53	1,83	3,9	2	3
40N/53E-T2;N6-014-X	m2455	8,5	2,03	1,08	1	3
40N/53E-T2;N6-014-X	m2456	8,5	2,2	2,3	1	2
40N/53E-T2;N6-014-X	m2457	10,51	2,16	2,21	1	2
39N/54E-T2;N2-006-X	m2458	4,48	1,51	2,59	1	3
39N/54E-T2;N2-006-X	m2459	4,96	1,76	1,39	1	3
39N/54E-T2;N2-006-X	m2460	5,24	1,56	2,36	2	2
39N/54E-T2;N2-006-X	m2461	4,21	1,38	2,51	1	3
39N/54E-T2;N2-006-X	m2462	5,27	1,74	1,56	2	2
39N/54E-T2;N2-006-X	m2463	5,2	1,54	2,05	1	2
39N/54E-T2;N2-006-X	m2464	5,72	1,54	1,19	1	3
39N/54E-T2;N2-006-X	m2465	4,24	1,25	2,38	1	2
39N/54E-T2;N2-006-X	m2466	3,84	1,18	2,3	1	2
39N/54E-T2;N2-006-X	m2467	4,4	1,49	2,92	1	2
39N/54E-T2;N2-006-X	m2468	4,36	1,6	1,35	1	3
39N/54E-T2;N2-006-X	m2469	5,29	1,68	1,6	1	3
39N/54E-T2;N2-006-X	m2470	2,92	1,44	2,39	1	2
39N/54E-T2;N2-006-X	m2471	5,22	1,71	1,26	1	3
39N/54E-T2;N2-006-X	m2472	4,71	1,38	1,37	1	2
39N/54E-T2;N2-006-X	m2473	4,98	1,64	1,54	1	2
39N/54E-T2;N2-006-X	m2474	4,53	1,28	1,82	2	2
39N/54E-T2;N2-006-X	m2475	3,97	0,9	1,63	1	2
39N/54E-T2;N2-006-X	m2476	3,64	1,62	1,48	1	3
39N/54E-T2;N2-006-X	m2477	3,15	1,19	2,31	1	2

39N/54E-T2;N2-006-X	m2478	3,79	1,39	1,64	1	3
39N/54E-T2;N2-006-X	m2479	4,11	1,3	1,1	1	3
39N/54E-T2;N2-006-X	m2480	3,68	1,26	1,21	1	3
39N/56E-T2;N1-006-X	m2481	6,94	1,68	2,05	1	1
39N/56E-T2;N1-006-X	m2482	6,8	1,65	1,94	1	2
39N/56E-T2;N1-006-X	m2483	7,01	1,65	2,69	1	3
39N/56E-T2;N1-006-X	m2484	6,28	1,97	2,5	1	2
39N/56E-T2;N1-006-X	m2485	5,66	1,87	2,23	1	3
39N/56E-T2;N1-006-X	m2486	5,95	1,56	1,62	2	2
39N/56E-T2;N1-006-X	m2487	5,18	1,54	1,63	2	3
39N/56E-T2;N1-006-X	m2488	5,69	1,62	4,05	1	2
39N/56E-T2;N1-006-X	m2489	6,5	2,12	1,8	1	2
39N/56E-T2;N1-006-X	m2490	5,96	2,05	1,23	1	3
39N/56E-T2;N1-006-X	m2491	5,72	1,44	1,34	1	3
39N/56E-T2;N1-006-X	m2492	7,06	1,68	2,08	1	2
39N/56E-T2;N1-006-X	m2493	6,57	2,14	2,23	1	3
39N/56E-T2;N1-006-X	m2494	4,81	1,56	1,26	1	3
39N/56E-T2;N1-006-X	m2495	4,78	1,84	2,17	2	3
39N/56E-T2;N1-006-X	m2496	6	1,63	2,35	1	2
39N/56E-T2;N1-006-X	m2497	5,78	2,26	1,98	1	3
39N/56E-T2;N1-006-X	m2498	5,82	1,9	1,25	2	3
39N/56E-T2;N1-006-X	m2499	5,95	1,65	1,61	3	2
39N/56E-T2;N1-006-X	m2500	5,38	1,58	1,1	1	3
39N/56E-T2;N1-006-X	m2501	5,15	1,51	1,32	1	3

39N/56E-T2;N1-006-X	m2502	6,45	1,75	1,51	1	2
39N/56E-T2;N1-006-X	m2503	5,33	1,85	1,88	1	2
39N/56E-T2;N1-006-X	m2504	6,78	1,94	1,69	1	2
39N/56E-T2;N1-006-X	m2505	6,67	1,61	1,56	1	2
39N/56E-T2;N1-006-X	m2506	5,1	1,42	1,3	1	3
39N/56E-T2;N1-006-X	m2507	4,59	1,21	1,42	1	2
39N/56E-T2;N1-006-X	m2508	6,4	1,73	1,51	1	3
39N/56E-T2;N1-006-X	m2509	5,41	1,33	2,15	1	
39N/56E-T2;N1-006-X	m2510	5,24	1,78	1,4	1	2
39N/56E-T2;N1-006-X	m2511	5,68	1,72	1,64	1	2
39N/56E-T2;N1-006-X	m2512	6,02	1,5	1,42	1	3
39N/56E-T2;N1-006-X	m2513	5,82	1,67	1,51	1	2
39N/56E-T2;N1-006-X	m2514	5,59	1,69	1,44	1	1
40N/54E-T2;N4-005-X	m2515	6,49	2,35	1,68	1	3
40N/54E-T2;N4-005-X	m2516	5,78	1,7	1,67	1	2
40N/54E-T2;N4-005-X	m2517	5,78	1,61	1,46	1	2
40N/54E-T2;N4-005-X	m2518	5,2	1,39	2,04	1	2
40N/52E-T2;N5-117-X	m2519	5,05	1,76	1,68	1	3
40N/52E-T2;N5-117-X	m2520	6,02	1,91	1,62	1	2
40N/52E-T2;N5-117-X	m2521	3,85	1,4	1,95	1	3
40N/52E-T2;N5-117-X	m2522	4,39	1,48	2,09	1	3
40N/52E-T2;N5-117-X	m2523	3,48	1,34	1,48	1	3
40N/52E-T2;N5-117-X	m2524	3,35	1,16	1,08	1	3
40N/52E-T2;N5-117-X	m2525	4,71	1,55	1,8	1	2

40N/52E-T2;N6-044-X	m2526	9,05	1,84	3,04	1	2
40N/52E-T2;N6-044-X	m2527	10,57	1,76	3,03	1	2
40N/52E-T2;N6-044-X	m2528	9,32	1,87	3,02	1	2
40N/52E-T2;N6-044-X	m2529	8,68	2,65	2,99	1	2
40N/52E-T2;N6-044-X	m2530	8,32	2,38	3	1	2
40N/52E-T2;N6-044-X	m2531	9,74	1,68	1,46	1	2
40N/52E-T2;N6-044-X	m2532	9,32	1,8	2,9	1	2
40N/52E-T2;N6-044-X	m2533	8,88	1,94	2,53	1	1
40N/52E-T2;N6-044-X	m2534	7,79	1,74	1,85	1	2
40N/52E-T2;N6-044-X	m2535	8,44	1,57	1,47	1	2
39N/52E-T2;N1-006-X	m2536	2,18	0,94	7,41	1	3
39N/52E-T2;N1-006-X	m2537	5,39	1,82	2,15	1	2
39N/52E-T2;N1-006-X	m2538	4,31	1,54	2,96	1	2
39N/52E-T2;N1-006-X	m2539	5,19	1,28	2,36	1	2
39N/52E-T2;N1-006-X	m2540	4,09	1,32	2,01	1	2
39N/52E-T2;N1-006-X	m2541	4,87	1,71	1,49	1	2
39N/52E-T2;N1-006-X	m2542	4,52	1,13	1,9	1	3
39N/52E-T2;N1-006-X	m2543	5,67	1,77	1,6	1	2
39N/52E-T2;N1-006-X	m2544	4,5	1,26	2,51	1	2
39N/52E-T2;N1-006-X	m2545	4,02	1,01	1,99	1	2
39N/52E-T2;N1-006-X	m2546	4,13	1,42	1,42	1	3
39N/52E-T2;N1-006-X	m2547	4,09	1,44	1,23	1	3
39N/52E-T2;N1-006-X	m2548	3,63	1,33	1,61	1	3
39N/52E-T2;N1-006-X	m2549	4,62	1,6	1,52	1	2

39N/52E-T2;N1-006-X	m2550	3,5	1,01	1,49	1	2
41N/54E-T2;N6-007-X	m2551	5,59	2,21	10,11	3	
41N/54E-T2;N6-007-X	m2552	4,04	1,31	1,64	1	2
41N/54E-T2;N6-007-X	m2553	3,7	1,38	1,21	1	2
41N/54E-T2;N6-007-X	m2554	4,05	1,57	0,94	1	3
41N/54E-T2;N6-007-X	m2555	3,99	1,07	1,6	1	3
40N/54E-T2;N2-005-X	m2556	8,97	2,74	4,15	1	2
41N/52E-T2;N4-009-X	m2557	5,13	1,56	1,38	2	2
39N/54E-T2;N3-001-X	m2558	6,24	1,98	2,76	1	2
39N/54E-T2;N3-001-X	m2559	7,94	2,09	2,34	1	3
41N/54E-T2;N6-005-X	m2560	8,99	2,06	2,85	1	2
41N/54E-T2;N6-005-X	m2561	9,03	2	2,83	1	2
41N/54E-T2;N6-005-X	m2562	8,75	2,29	2,66	1	2
41N/52E-T2;N6-009-X	m2563	8,92	2,24	2,88	1	2
41N/52E-T2;N6-009-X	m2564	9,01	3,18	3,61	1	2
41N/52E-T2;N6-009-X	m2565	9,02	2,37	2,83	1	2
41N/54E-T2;N5-006-X	m2566	10,94	2,17	4,21	1	2
41N/54E-T2;N5-006-X	m2567	11,51	1,93	2,75	1	2
41N/54E-T2;N5-006-X	m2568	8,12	2,02	2,19	1	3
41N/54E-T2;N5-006-X	m2569	8,24	2,09	2	1	2
39N/53E-T2;N4-005-X	m2570	5,36	1,5	1,59	1	3
39N/53E-T2;N4-005-X	m2571	5,75	1,63	1,13	2	3
39N/53E-T2;N4-005-X	m2572	6,44	1,82	1,81	1	2
39N/53E-T2;N4-005-X	m2573	4,92	2,03	2,47	2	2
39N/53E-	m2574	5,1	1,75	0,68	1	3

T2;N4-005-X						
39N/53E-T2;N4-005-X	m2575	5,77	1,86	2,19	1	2
40N/54E-T2;N4-006-X	m2576	4,74	1,81	1,1	1	1
40N/54E-T2;N4-006-X	m2577	4,9	1,46	1,16	1	3
40N/54E-T2;N4-006-X	m2578	4,61	1,89	1,45	1	2
40N/54E-T2;N4-006-X	m2579	4,05	1,43	1,4	1	2
40N/52E-T2;N1-013-X	m2580	7,04	2,25	2,33	1	2
40N/52E-T2;N1-013-X	m2581	6,44	1,68	2,13	1	3
40N/52E-T2;N6-045-X	m2582	6,62	1,78	2,23	2	3
40N/52E-T2;N6-045-X	m2583	5,39	1,59	2,21	1	2
40N/52E-T2;N6-045-X	m2584	6,18	1,66	1,94	1	3
40N/52E-T2;N6-045-X	m2585	6,47	1,44	1,24	1	2
40N/52E-T2;N6-045-X	m2586	6,5	1,38	1,06	1	3
40N/52E-T2;N6-045-X	m2587	4,92	1,76	1,48	2	2
41N/52E-T2;N1-003-X	m2588	5,49	1,85	2,13	1	2
41N/52E-T2;N1-003-X	m2589	4,78	1,73	3,34	1	
41N/52E-T2;N1-003-X	m2590	4,79	1,48	2,46	1	2
41N/52E-T2;N1-003-X	m2591	4,53	1,6	1,92	1	2
39N/53E-T2;N2-014-X	m2592	5,44	1,54	2,48	1	2
39N/53E-T2;N2-014-X	m2593	4,67	1,46	1	1	3
39N/53E-T2;N2-014-X	m2594	4,98	1,69	1,17	1	3
31N/53E-T2;N5-012-X	m2595	8,76	2,06	4,14	1	2
31N/53E-T2;N5-012-X	m2596	9,26	2,02	3,18	1	2
31N/53E-T2;N5-012-X	m2597	8,61	1,92	3,37	1	3
31N/53E-T2;N5-012-X	m2598	8,33	1,84	2,73	1	2

31N/53E-T2;N5-012-X	m2599	8,84	1,87	2,4	1	2
31N/53E-T2;N5-012-X	m2600	8,8	1,94	3,16	1	2
31N/53E-T2;N5-012-X	m2601	10,69	2,31	2,41	1	3
31N/53E-T2;N5-012-X	m2602	7,3	2,31	2,13	2	2
31N/53E-T2;N5-012-X	m2603	8,24	1,97	1,43	1	2
31N/53E-T2;N5-012-X	m2604	8,49	1,65	1,11	1	2
31N/53E-T2;N5-012-X	m2605	7,32	1,96	2,03	1	2
39N/54E-T2;N2-004-X	m2606	7,68	2,66	17,12	1	
39N/54E-T2;N2-004-X	m2607	10,44	2,16	3,75	1	2
39N/54E-T2;N2-004-X	m2608	9,12	2,23	3,56	1	2
39N/54E-T2;N2-004-X	m2609	9,06	2,88	2,52	1	2
39N/54E-T2;N2-004-X	m2610	8,75	1,6	2,61	1	2
39N/54E-T2;N2-004-X	m2611	9,1	2,21	3,31	1	2
39N/54E-T2;N2-004-X	m2612	7,55	2,02	1,91	1	2
39N/54E-T2;N2-004-X	m2613	8,6	2,32	2,53	1	3
39N/54E-T2;N2-004-X	m2614	8,74	2,16	3,06	1	2
39N/54E-T2;N2-004-X	m2615	8,77	2,05	3,35	1	2
39N/54E-T2;N2-004-X	m2616	4,93	1,48	2,13	1	2
40N/54E-T2;N4-002-X	m2617	7,24	1,62	1,58	1	2
40N/54E-T2;N4-002-X	m2618	7,56	1,8	1,81	2	3
40N/54E-T2;N4-002-X	m2619	7,62	1,79	1,53	1	2
40N/54E-T2;N4-002-X	m2620	6,57	2,13	2,22	1	2
40N/54E-T2;N4-002-X	m2621	6,06	1,83	1,01	1	3
40N/54E-T2;N4-002-X	m2622	7,64	2,02	2,25	1	2
40N/54E-	m2623	7,04	1,67	1,48	1	3

T2;N4-002-X						
40N/54E-T2;N4-002-X	m2624	7,04	1,88	1,82	1	3
40N/54E-T2;N4-002-X	m2625	7,1	2,2	2,17	1	2
40N/54E-T2;N4-002-X	m2626	5,76	1,94	2,06	1	2
40N/54E-T2;N4-002-X	m2627	5,84	1,62	2,2	1	2
40N/54E-T2;N4-002-X	m2628	6,17	1,81	1,77	1	2
40N/54E-T2;N4-002-X	m2629	5,63	1,77	1,89	2	3
40N/54E-T2;N4-002-X	m2630	7,31	1,63	1,81	1	3
40N/54E-T2;N4-002-X	m2631	6,55	2,03	2,18	1	2
40N/54E-T2;N4-002-X	m2632	5,92	1,87	2,57	1	
40N/54E-T2;N4-002-X	m2633	5,58	1,57	2,23	2	2
40N/54E-T2;N4-002-X	m2634	5,99	1,73	1,67	1	2
40N/54E-T2;N4-002-X	m2635	5,92	1,49	1,65	1	3
40N/54E-T2;N4-002-X	m2636	7,51	2,04	1,77	1	3
40N/54E-T2;N4-002-X	m2637	5,91	1,42	1,32	1	2
39N/005-T2;N1-005-X	m2638	5,89	2,04	1,03	1	3
39N/005-T2;N1-005-X	m2639	5,56	1,57	1,62	2	2
39N/005-T2;N1-005-X	m2640	5,32	1,98	5,2	2	2
39N/005-T2;N1-005-X	m2641	5,45	1,87	1,38	1	3
39N/005-T2;N1-005-X	m2642	6,25	1,63	2,23	2	2
39N/005-T2;N1-005-X	m2643	6,6	2,17	2,71	1	2
39N/005-T2;N1-005-X	m2644	6,23	1,84	2,15	1	2
39N/005-T2;N1-005-X	m2645	6,33	1,76	1,95	1	3
39N/005-T2;N1-005-X	m2646	6,12	1,67	2,21	1	3
39N/005-T2;N1-005-X	m2647	5,55	1,73	1,72	1	2

39N/005-T2;N1-005-X	m2648	5,47	1,34	2,18	1	2
39N/005-T2;N1-005-X	m2649	6,25	1,58	1,73	1	2
39N/005-T2;N1-005-X	m2650	5,9	1,82	1,91	1	2
39N/005-T2;N1-005-X	m2651	6,32	1,56	1,91	1	2
39N/005-T2;N1-005-X	m2652	4,52	1,45	2,5	1	2
39N/005-T2;N1-005-X	m2653	5,98	1,79	1,4	1	2
39N/005-T2;N1-005-X	m2654	6,1	1,45	1,33	1	3
39N/005-T2;N1-005-X	m2655	5,47	1,34	1,7	2	2
39N/005-T2;N1-005-X	m2656	6,2	1,8	1,51	1	2
39N/005-T2;N1-005-X	m2657	5,1	1,64	1,02	1	3
39N/005-T2;N1-005-X	m2658	5,38	1,52	0,89	1	3
39N/005-T2;N1-005-X	m2659	4,76	1,32	1,18	1	3
39N/005-T2;N1-005-X	m2660	5,28	1,93	1,12	2	3
39N/005-T2;N1-005-X	m2661	5,65	1,71	1,19	1	3
39N/005-T2;N1-005-X	m2662	5,26	1,58	2,3	1	3
39N/53E-T2;N1-004-X	m2663	9,17	2,4	4,66	1	2
39N/53E-T2;N1-004-X	m2664	9,34	1,76	2,15	1	2
39N/53E-T2;N1-004-X	m2665	9,41	2,3	3,34	1	2
39N/53E-T2;N1-004-X	m2666	7,79	1,72	3,53	1	2
39N/53E-T2;N1-004-X	m2667	7	1,75	2,19	1	3
39N/53E-T2;N1-004-X	m2668	7,59	1,77	2,05	1	2
39N/53E-T2;N1-004-X	m2669	7,63	1,83	1,85	1	2
39N/53E-T2;N1-004-X	m2670	8,9	1,73	3,1	1	2
39N/53E-T2;N1-004-X	m2671	6,53	2,34	3,27	1	2

39N/53E-T2;N1-004-X	m2672	5,95	1,4	1,38	1	3
40N/53E-T2;N4-010-X	m2673	5,13	1,77	3,28	1	2
40N/53E-T2;N4-010-X	m2674	6,32	2,3	2,02	1	3
40N/53E-T2;N4-010-X	m2675	5,36	1,37	1,87	1	2
40N/53E-T2;N4-010-X	m2676	4,14	1,53	2,74	1	2
40N/53E-T2;N4-010-X	m2677	7,64	1,89	1,71	1	3
40N/53E-T2;N4-010-X	m2678	5,06	1,64	1,48	1	3
40N/53E-T2;N4-010-X	m2679	4,44	1,59	2,53	1	2
40N/53E-T2;N4-010-X	m2680	5,26	1,63	2,4	1	3
40N/53E-T2;N4-010-X	m2681	4,46	1,68	1,97	2	2
40N/53E-T2;N4-010-X	m2682	5,08	1,31	1,43	1	2
40N/53E-T2;N4-010-X	m2683	4,06	1,47	1,68	1	3
40N/53E-T2;N4-010-X	m2684	3,77	1,38	1,91	1	2
40N/53E-T2;N4-010-X	m2685	4,48	1,99	2,76	2	2
40N/53E-T2;N4-010-X	m2686	4,57	1,47	2,61	1	2
40N/53E-T2;N4-010-X	m2687	4,97	1,79	1,73	2	3
40N/53E-T2;N4-010-X	m2688	4,82	1,51	1,42	3	3
40N/53E-T2;N4-010-X	m2689	5,61	1,83	1,69	1	3
40N/53E-T2;N4-010-X	m2690	6,63	1,59	2,02	1	2
40N/53E-T2;N4-010-X	m2691	5,45	1,77	1,46	1	3
40N/53E-T2;N4-010-X	m2692	4,96	1,69	2,15	1	3
40N/53E-T2;N4-010-X	m2693	3,98	1,39	1,74	1	2
40N/53E-T2;N4-010-X	m2694	4,57	1,69	2,15	1	2
40N/53E-T2;N4-010-X	m2695	5,3	1,52	2,22	3	2
40N/53E-	m2696	6,24	1,7	2	1	2

T2;N4-010-X						
40N/53E-T2;N4-010-X	m2697	4,39	1,37	1,46	1	1
40N/53E-T2;N4-010-X	m2698	4,14	1,42	1,44	1	3
40N/53E-T2;N4-010-X	m2699	5,12	2,22	2,53	1	3
40N/53E-T2;N4-010-X	m2700	4,1	1,26	1,63	1	3
40N/53E-T2;N4-010-X	m2701	4,18	1,5	1,62	1	2
40N/53E-T2;N4-010-X	m2702	5,7	1,81	1,28	1	2
40N/53E-T2;N4-010-X	m2703	5,41	1,58	1,52	1	2
40N/53E-T2;N4-010-X	m2704	4,2	1,57	2,09	3	3
40N/53E-T2;N4-010-X	m2705	4,83	1,48	1,32	1	3
40N/53E-T2;N4-010-X	m2706	4,94	1,45	1,8	3	2
40N/53E-T2;N4-010-X	m2707	4,95	1,44	1,71	1	3
40N/53E-T2;N4-010-X	m2708	5,36	1,61	1,7	1	2
40N/53E-T2;N4-010-X	m2709	4,51	1,6	1,91	1	2
40N/53E-T2;N4-010-X	m2710	6,3	1,63	1,64	1	2
40N/53E-T2;N4-010-X	m2711	6,02	1,4	1,67	1	2
40N/53E-T2;N4-010-X	m2712	5,46	1,5	2,36	3	2
40N/53E-T2;N4-010-X	m2713	4,63	1,67	1,66	1	3
40N/53E-T2;N4-010-X	m2714	4,76	1,69	2,03	1	3
40N/53E-T2;N4-010-X	m2715	3,58	1,41	1,56	1	3
40N/53E-T2;N4-010-X	m2716	4,1	1,26	1,35	1	2
40N/53E-T2;N4-010-X	m2717	4,09	1,25	2,06	1	2
40N/53E-T2;N4-010-X	m2718	5,24	1,65	2,88	1	2
40N/53E-T2;N4-010-X	m2719	6,05	1,38	2,18	1	2
40N/53E-T2;N4-010-X	m2720	5,52	1,71	1,65	1	2

40N/53E-T2;N4-010-X	m2721	3,52	1,52	1,8	1	3
40N/53E-T2;N4-010-X	m2722	5,14	1,47	1,5	2	3
40N/53E-T2;N4-010-X	m2723	3,86	1,41	1,33	1	3
40N/53E-T2;N4-010-X	m2724	3,54	1,39	1,26	1	2
40N/53E-T2;N4-010-X	m2725	4,53	1,59	1,93	1	3
40N/53E-T2;N4-010-X	m2726	3,89	1,49	2,41	1	2
40N/53E-T2;N4-010-X	m2727	3,18	1,12	1,27	1	3
40N/53E-T2;N4-010-X	m2728	4,05	1,66	1,73	1	2
40N/53E-T2;N4-010-X	m2729	3,93	1,28	1,46	1	3
40N/53E-T2;N4-010-X	m2730	3,88	1,28	1,73	1	3
40N/53E-T2;N4-010-X	m2731	3,62	1,68	0,9	1	3
40N/53E-T2;N4-010-X	m2732	5,02	1,36	1,6	1	3
40N/53E-T2;N4-010-X	m2733	4,34	1,45	0,97	1	3
40N/53E-T2;N4-010-X	m2734	3,53	1,22	0,95	1	3
40N/53E-T2;N4-010-X	m2735	3,8	1,42	0,81	1	3
40N/53E-T2;N4-010-X	m2736	4,15	1,53	1,3	1	3
40N/53E-T2;N4-010-X	m2737	4,34	1,55	2,54	1	
40N/53E-T2;N4-010-X	m2738	3,98	1,4	1,98	1	2
40N/53E-T2;N4-010-X	m2739	4,12	1,25	1,22	1	3
40N/53E-T2;N4-010-X	m2740	4,17	1,55	1,36	1	3
40N/53E-T2;N4-010-X	m2741	3,43	1,21	1,2	1	3
40N/53E-T2;N4-010-X	m2742	4,58	1,63	1,36	1	3
40N/53E-T2;N4-010-X	m2743	3,72	1,37	1,21	1	2
40N/53E-T2;N4-010-X	m2744	4,28	1,16	1,09	1	3
40N/53E-	m2745	2,84	1,53	1,74	1	3

T2;N4-010-X						
40N/53E-T2;N4-010-X	m2746	3,91	1,26	1,24	1	3
40N/53E-T2;N4-010-X	m2747	3,71	1,46	1,53	1	3
40N/53E-T2;N4-010-X	m2748	3,81	1,4	0,94	1	3
40N/53E-T2;N4-010-X	m2749	4,39	1,76	1,37	1	3
40N/53E-T2;N4-010-X	m2750	4,92	1,38	1,3	3	3
40N/53E-T2;N4-010-X	m2751	3,92	1,32	1,4	1	1
40N/53E-T2;N4-010-X	m2752	4,07	1,25	1,28	1	2
40N/53E-T2;N4-010-X	m2753	5,28	1,79	1,48	1	1
40N/53E-T2;N4-010-X	m2754	3,39	1,29	1,29	1	3
40N/53E-T2;N4-010-X	m2755	3,84	1,35	2,09	1	2
40N/53E-T2;N4-010-X	m2756	4,21	1,34	2,29	1	2
40N/53E-T2;N4-010-X	m2757	3,26	1,43	1,39	1	3
40N/53E-T2;N4-010-X	m2758	3,57	1,77	0,87	1	3
40N/53E-T2;N4-010-X	m2759	3,51	1,1	0,82	1	3
40N/53E-T2;N4-010-X	m2760	3,45	1,24	0,77	1	3
40N/53E-T2;N4-010-X	m2761	3,66	1,4	1,4	1	2
40N/53E-T2;N4-010-X	m2762	3,33	1,48	1,51	1	2
40N/53E-T2;N4-010-X	m2763	3,87	1,39	1,49	1	3
40N/53E-T2;N4-010-X	m2764	4,25	1,51	0,82	1	3
40N/53E-T2;N4-010-X	m2765	3,51	1,47	1,91	1	3
40N/53E-T2;N4-010-X	m2766	4,34	1,39	1,5	1	2
40N/53E-T2;N4-010-X	m2767	3,96	1,35	1,61	1	2
40N/53E-T2;N4-010-X	m2768	5,14	1,4	1,28	1	1
40N/53E-T2;N4-010-X	m2769	4,05	1,29	1,48	1	3

40N/53E-T2;N4-010-X	m2770	3,85	1,44	1,01	1	3
40N/53E-T2;N4-010-X	m2771	3,72	1,53	1,87	1	2
40N/53E-T2;N4-010-X	m2772	3,48	1,18	0,89	1	3
40N/53E-T2;N4-010-X	m2773	4,03	1,39	1,43	1	3
40N/53E-T2;N4-010-X	m2774	3,89	1,42	1,53	1	3
40N/53E-T2;N4-010-X	m2775	4,08	1,32	1,52	1	1
40N/53E-T2;N4-010-X	m2776	3,12	1,31	1,18	1	3
40N/53E-T2;N4-010-X	m2777	3,69	1,4	1,21	1	3
40N/53E-T2;N4-010-X	m2778	3,51	1,16	1,01	2	3
40N/53E-T2;N4-010-X	m2779	3,03	1,3	1,21	1	3
39N/56E-T2;N1-005-X	m2780	9,82	2,38	4,36	1	2
39N/56E-T2;N1-005-X	m2781	9,34	1,96	3,35	1	2
39N/56E-T2;N1-005-X	m2782	8,72	1,77	3,22	1	2
39N/56E-T2;N1-005-X	m2783	12,32	1,62	2,05	1	2
39N/56E-T2;N1-005-X	m2784	11,7	1,76	2,56	1	2
39N/56E-T2;N1-005-X	m2785	9,05	2,43	3,65	1	
39N/56E-T2;N1-005-X	m2786	6,29	3,22	16,63	1	2
39N/56E-T2;N1-005-X	m2787	8,3	1,82	2,59	2	2
39N/56E-T2;N1-005-X	m2788	9,7	1,86	2,26	2	2
39N/56E-T2;N1-005-X	m2789	8,44	2,05	2,51	1	2
39N/56E-T2;N1-005-X	m2790	8,93	2,35	4,13	1	2
39N/56E-T2;N1-005-X	m2791	8,42	1,81	3,27	1	3
39N/56E-T2;N1-005-X	m2792	9,42	2,18	4,12	1	2
39N/56E-T2;N1-005-X	m2793	8,98	1,85	3,23	1	2

39N/56E-T2;N1-005-X	m2794	9,51	1,76	2,65	1	2
39N/56E-T2;N1-005-X	m2795	9,74	1,5	2,12	1	2
39N/56E-T2;N1-005-X	m2796	7,08	1,85	3,43	2	2
39N/56E-T2;N1-005-X	m2797	11,03	1,81	2,06	1	2
39N/56E-T2;N1-005-X	m2798	9,98	2,06	3,46	1	2
39N/56E-T2;N1-005-X	m2799	8,93	2,22	3,45	1	2
39N/56E-T2;N1-005-X	m2800	8,74	1,81	2,29	2	2
39N/56E-T2;N1-005-X	m2801	7,51	1,9	3,87	1	
39N/56E-T2;N1-005-X	m2802	5,25	2,05	11,55	1	2
39N/56E-T2;N1-005-X	m2803	6,02	2,22	2,21	1	2
39N/56E-T2;N1-005-X	m2804	7,77	2,03	3,11	2	2
39N/56E-T2;N1-005-X	m2805	8,46	1,85	3,19	1	2
39N/56E-T2;N1-005-X	m2806	8,68	2,28	2,36	1	3
39N/56E-T2;N1-005-X	m2807	6,37	1,96	2,78	1	2
39N/56E-T2;N1-005-X	m2808	7,12	2,03	2,28	2	3
39N/56E-T2;N1-005-X	m2809	8,7	2,19	1,74	1	3
39N/56E-T2;N1-005-X	m2810	6,11	1,75	2,19	1	2
39N/56E-T2;N1-005-X	m2811	6,82	1,57	1,65	1	2
39N/56E-T2;N1-005-X	m2812	7,23	1,93	1,76	1	3
39N/56E-T2;N1-005-X	m2813	6,82	1,95	1,34	1	3
39N/56E-T2;N1-005-X	m2814	7,23	1,85	1,66	1	2
39N/56E-T2;N1-005-X	m2815	7,75	1,83	1,57	1	3
39N/56E-T2;N1-005-X	m2816	7,58	2,05	2,76	1	2
39N/56E-T2;N1-005-X	m2817	7,42	1,96	1,72	1	1
39N/56E-	m2818	8,05	1,67	2,16	1	3

T2;N1-005-X						
39N/56E-T2;N1-005-X	m2819	8,26	2,1	2,95	1	2
39N/56E-T2;N1-005-X	m2820	8,85	2,02	1,91	1	2
39N/56E-T2;N1-005-X	m2821	6,61	1,92	1,68	1	3
39N/56E-T2;N1-005-X	m2822	6,73	1,64	1,49	1	3
39N/56E-T2;N1-005-X	m2823	6,43	1,98	1,71	1	3
39N/56E-T2;N1-005-X	m2824	7,42	2,09	2,58	1	3
39N/56E-T2;N1-005-X	m2825	6,46	1,87	1,05	2	3
39N/56E-T2;N1-005-X	m2826	7,93	3,94	3,15	1	1
39N/56E-T2;N1-005-X	m2827	5,67	1,84	1,13	2	3
41N/53E-T2;N6-001-X	m2828	10,32	2,32	4,01	1	2
41N/53E-T2;N6-001-X	m2829	10,13	2,09	3,76	1	2
41N/53E-T2;N6-001-X	m2830	9,05	2,19	4,17	1	2
41N/53E-T2;N6-001-X	m2831	8,55	2,12	4,56	1	2
41N/53E-T2;N6-001-X	m2832	6,39	1,98	4,15	1	2
41N/53E-T2;N6-001-X	m2833	8,48	1,96	2,3	2	3
41N/53E-T2;N6-001-X	m2834	11,31	1,87	2,21	1	2
41N/53E-T2;N6-001-X	m2835	9,11	2,05	3,84	2	2
41N/53E-T2;N6-001-X	m2836	12,56	1,94	1,79	2	2
41N/53E-T2;N6-001-X	m2837	9,7	2,97	3,16	1	
41N/53E-T2;N6-001-X	m2838	9,62	2,27	1,15	2	3
41N/53E-T2;N6-001-X	m2839	5,4	2,23	5,05	1	2
41N/53E-T2;N6-001-X	m2840	8,78	2,39	2,35	1	2
41N/53E-T2;N6-001-X	m2841	9,16	2,3	3,18	1	2
41N/53E-T2;N6-001-X	m2842	7,58	1,89	2,57	1	2

41N/53E-T2;N6-001-X	m2843	10,44	2,46	2,26	1	2
41N/53E-T2;N6-001-X	m2844	8,39	1,89	2,4	2	2
41N/53E-T2;N6-001-X	m2845	9,26	1,73	2,09	1	2
41N/53E-T2;N6-001-X	m2846	10,19	1,68	1,88	1	2
41N/53E-T2;N6-001-X	m2847	10,59	2,01	2,03	1	2
41N/53E-T2;N6-001-X	m2848	9,26	1,9	2,27	1	2
41N/53E-T2;N6-001-X	m2849	8,54	2,05	1,25	2	3
41N/53E-T2;N6-001-X	m2850	8,81	1,65	2,08	1	3
41N/53E-T2;N6-001-X	m2851	7,7	1,95	2,47	1	2
41N/53E-T2;N6-001-X	m2852	6,89	1,98	2,66	2	2
41N/53E-T2;N6-001-X	m2853	7,15	1,82	2,86	2	2
41N/53E-T2;N6-001-X	m2854	7,09	1,89	1,94	1	3
41N/53E-T2;N6-001-X	m2855	8,52	1,93	1,82	1	2
41N/53E-T2;N6-001-X	m2856	8,18	2,29	3,11	1	3
41N/53E-T2;N6-001-X	m2857	8,69	2,24	2,31	1	2
41N/53E-T2;N6-001-X	m2858	7,66	1,88	1,91	1	2
41N/53E-T2;N6-001-X	m2859	7,84	1,95	1,54	2	3
41N/53E-T2;N6-001-X	m2860	6,59	2,01	1,87	1	2
41N/53E-T2;N6-001-X	m2861	7,77	1,64	1,8	1	2
330-T2-D;336;220-P	m2862	4,99	1,34	2,1	1	2
330-T2-D;336;220-P	m2863	6,07	1,78	1,63	1	2
330-T2-D;336;220-P	m2864	4,72	1,21	1,9	1	2
330-T2-D;336;220-P	m2865	6,17	1,49	2,4	2	3
330-T2-D;336;220-P	m2866	4,23	1,38	2,47	1	2
330-T2-	m2867	5,55	1,66	2,96	1	2

D;336;220-P						
330-T2-D;336;220-P	m2868	5,53	1,43	2,32	1	2
330-T2-D;336;220-P	m2869	10,47	1,92	1,66	1	2
330-T2-D;336;220-P	m2870	5,95	1,9	1,87	1	1
330-T2-D;336;220-P	m2871	5,69	1,81	1,5	1	2
330-T2-D;336;220-P	m2872	6,08	1,89	1,63	1	2
330-T2-D;336;220-P	m2873	5,83	1,79	1,31	1	2
330-T2-D;336;220-P	m2874	5,82	1,84	1,93	1	1
330-T2-D;336;220-P	m2875	4,79	1,66	2,43	1	2
330-T2-D;336;220-P	m2876	5,99	1,48	2,32	2	2
330-T2-D;336;220-P	m2877	5,59	1,56	2,03	1	2
330-T2-D;336;220-P	m2878	5,85	1,29	1,75	1	2
330-T2-D;336;220-P	m2879	4,92	1,61	2,82	1	2
330-T2-D;336;220-P	m2880	5,75	1,48	1,78	1	2
330-T2-D;336;220-P	m2881	4,54	1,41	1,98	3	2
330-T2-D;336;220-P	m2882	5,23	1,53	1,92	2	2
330-T2-D;336;220-P	m2883	6,13	1,51	2,05	2	2
330-T2-D;336;220-P	m2884	6,25	1,78	1,22	1	2
330-T2-D;336;220-P	m2885	5,2	1,39	2,28	1	2
330-T2-D;336;220-P	m2886	4,69	1,67	1,37	1	3
330-T2-D;336;220-P	m2887	5,56	1,74	3,34	1	2
330-T2-D;336;220-P	m2888	4,41	0,95	1,78	1	2
330-T2-D;336;220-P	m2889	6,06	1,79	1,52	1	2
330-T2-D;336;220-P	m2890	6	1,5	1,49	1	2
330-T2-D;336;220-P	m2891	4,85	1,61	1,66	3	2

330-T2-D;336;220-P	m2892	5,87	1,51	1,26	2	3
330-T2-D;336;220-P	m2893	4,96	1,96	2	1	3
330-T2-D;336;220-P	m2894	5,51	1,6	2,72	1	2
330-T2-D;336;220-P	m2895	6,4	2,09	1,88	1	2
330-T2-D;336;220-P	m2896	3,96	1,5	2,7	1	2
330-T2-D;336;220-P	m2897	5,04	1,7	1,46	2	2
330-T2-D;336;220-P	m2898	5,81	1,6	0,93	2	2
330-T2-D;336;220-P	m2899	4,13	1,44	1,78	1	2
330-T2-D;336;220-P	m2900	4,67	1,36	2,12	1	2
330-T2-D;336;220-P	m2901	5,5	1,61	2,31	1	2
330-T2-D;336;220-P	m2902	5,67	1,51	1,47	1	2
330-T2-D;336;220-P	m2903	5,47	1,64	1,95	1	2
330-T2-D;336;220-P	m2904	4,96	1,81	2,28	1	1
330-T2-D;336;220-P	m2905	5,86	2,02	1,46	1	2
330-T2-D;336;220-P	m2906	5,35	1,76	1,79	1	2
330-T2-D;336;220-P	m2907	3,8	1,26	1,58	1	2
330-T2-D;336;220-P	m2908	4,79	1,51	2,45	3	2
330-T2-D;336;220-P	m2909	4,59	1,03	1,71	1	2
330-T2-D;336;220-P	m2910	5,22	1,26	1,98	1	2
330-T2-D;336;220-P	m2911	4,57	1,58	1,74	2	2
330-T2-D;336;220-P	m2912	4,31	1,34	1,03	1	3
330-T2-D;336;220-P	m2913	4,29	1,38	2,57	1	2
330-T2-D;336;220-P	m2914	5,05	1,66	1,07	1	3
330-T2-D;336;220-P	m2915	4,89	1,42	2,36	1	2
330-T2-	m2916	6,16	1,55	1,52	1	2

D;336;220-P						
330-T2-D;336;220-P	m2917	4,83	1,82	1,92	1	1
330-T2-D;336;220-P	m2918	4,56	1,33	2,12	1	2
330-T2-D;336;220-P	m2919	4,87	1,4	2,26	1	2
330-T2-D;336;220-P	m2920	4,58	1,41	2,05	1	2
330-T2-D;336;220-P	m2921	5,61	1,49	2,18	1	2
330-T2-D;336;220-P	m2922	5,06	1,35	2,31	3	2
330-T2-D;336;220-P	m2923	5,03	1,7	3,03	1	2
330-T2-D;336;220-P	m2924	4,38	1,01	2,27	1	2
330-T2-D;336;220-P	m2925	5,5	1,83	1,7	1	2
330-T2-D;336;220-P	m2926	5,89	2,15	1,39	2	3
330-T2-D;336;220-P	m2927	4,36	1,54	0,92	1	1
330-T2-D;336;220-P	m2928	4,94	1,32	2,07	3	
330-T2-D;336;220-P	m2929	5,71	1,67	2,25	1	2
330-T2-D;336;220-P	m2930	5,8	1,66	1,87	1	2
330-T2-D;336;220-P	m2931	5,88	2,06	0,99	2	3
330-T2-D;336;220-P	m2932	4,97	1,49	1,84	1	2
330-T2-D;336;220-P	m2933	4,21	1,11	1,44	1	2
330-T2-D;336;220-P	m2934	4,39	0,98	1,97	1	2
330-T2-D;336;220-P	m2935	5,3	1,61	1,72	1	2
330-T2-D;336;220-P	m2936	4,49	1,26	1,3	1	2
330-T2-D;336;220-P	m2937	3,95	1,37	0,99	1	1
330-T2-D;336;220-P	m2938	4,59	1,62	1,99	1	2
330-T2-D;336;220-P	m2939	5,69	1,61	1,57	1	2
330-T2-	m2940	4,21	1,33	1,72	1	

D;336;220-P						
330-T2-D;336;220-P	m2941	3,86	1,29	2,3	1	2
330-T2-D;336;220-P	m2942	6,42	1,57	2,21	1	2
330-T2-D;336;220-P	m2943	5,92	1,93	1,92	1	3
330-T2-D;336;220-P	m2944	5,08	1,35	2,06	1	2
330-T2-D;336;220-P	m2945	3,92	1,11	1,6	1	2
330-T2-D;336;220-P	m2946	5,75	1,88	1,37	2	1
330-T2-D;336;220-P	m2947	4,64	1,15	2,36	1	2
330-T2-D;336;220-P	m2948	4,26	1,55	2,2	1	2
330-T2-D;336;220-P	m2949	5,23	1,72	2,07	1	2
330-T2-D;336;220-P	m2950	4,62	1,23	1,5	1	2
330-T2-D;336;220-P	m2951	5,82	1,91	2,24	1	2
330-T2-D;336;220-P	m2952	4,64	1,38	1,33	1	2
330-T2-D;336;220-P	m2953	3,91	1,73	2,18	1	2
330-T2-D;336;220-P	m2954	4,33	1,26	2,27	1	3
330-T2-D;336;220-P	m2955	4,94	1,4	2,28	3	2
330-T2-D;336;220-P	m2956	4,99	1,78	2,23	1	2
330-T2-D;336;220-P	m2957	4,89	1,6	2,36	1	2
330-T2-D;336;220-P	m2958	4,69	1,35	2,73	1	2
330-T2-D;336;220-P	m2959	4,58	1,81	1,43	1	2
330-T2-D;336;220-P	m2960	5,49	1,31	2,05	2	2
330-T2-D;336;220-P	m2961	4,94	1,67	1,41	1	1
330-T2-D;336;220-P	m2962	5,08	1,82	1,49	1	3
330-T2-D;336;220-P	m2963	4,97	1,66	2,12	2	2
330-T2-D;336;220-P	m2964	4,69	1,37	2,42	3	2

330-T2-D;336;220-P	m2965	2,73	1,65	2,77	1	2
330-T2-D;336;220-P	m2966	3,53	1,12	1,95	1	3
330-T2-D;336;220-P	m2967	5,22	1,56	1,87	1	2
330-T2-D;336;220-P	m2968	5,37	1,83	1,88	2	2
330-T2-D;336;220-P	m2969	4,85	1,91	1,84	1	2
330-T2-D;336;220-P	m2970	4,18	1,15	2,04	1	2
330-T2-D;336;220-P	m2971	4,78	1,72	1,84	1	2
330-T2-D;336;220-P	m2972	7,1	1,69	1,87	1	2
330-T2-D;336;220-P	m2973	4,01	1,29	1,59	2	2
330-T2-D;336;220-P	m2974	5,83	1,59	2,07	1	2
330-T2-D;336;220-P	m2975	4,75	1,69	1,18	2	3
330-T2-D;336;220-P	m2976	5,25	1,53	2,69	1	2
330-T2-D;336;220-P	m2977	4,25	0,99	1,45	1	2
330-T2-D;336;220-P	m2978	4,53	1,06	2,17	3	2
330-T2-D;336;220-P	m2979	4,41	1,08	1,66	1	2
330-T2-D;336;220-P	m2980	6,68	1,85	1,01	1	2
330-T2-D;336;220-P	m2981	5,07	1,77	0,65	1	3
330-T2-D;336;220-P	m2982	4,8	1,73	1,78	1	2
330-T2-D;336;220-P	m2983	5,94	1,87	1,71	2	2
330-T2-D;336;220-P	m2984	4,81	1,42	1,96	1	2
330-T2-D;336;220-P	m2985	5,7	1,65	1,58	1	2
330-T2-D;336;220-P	m2986	4,54	1,4	1,53	1	3
330-T2-D;336;220-P	m2987	5,94	1,75	1,37	2	2
330-T2-D;336;220-P	m2988	5,78	1,49	2,07	1	2
330-T2-	m2989	4,72	1,29	1,68	1	2

D;336;220-P						
330-T2-D;336;220-P	m2990	5,27	1,66	1,33	1	3
330-T2-D;336;220-P	m2991	3,49	1,65	1,95	1	2
330-T2-D;336;220-P	m2992	4,7	1,25	1,79	3	2
330-T2-D;336;220-P	m2993	5,6	1,66	1,17	1	3
330-T2-D;336;220-P	m2994	5,55	2,14	1,63	1	2
330-T2-D;336;220-P	m2995	6,04	1,9	1,19	2	2
330-T2-D;336;220-P	m2996	4,63	1,52	2,26	1	
330-T2-D;336;220-P	m2997	4,32	1,42	1,95	1	2
330-T2-D;336;220-P	m2998	4,79	1,34	2,94	1	2
330-T2-D;336;220-P	m2999	5,18	1,31	1,96	1	2
330-T2-D;336;220-P	m3000	4,58	1,69	1,43	1	2
330-T2-D;336;220-P	m3001	4,74	1,45	1,44	2	2
330-T2-D;336;220-P	m3002	4,07	1,23	1,84	3	2
330-T2-D;336;220-P	m3003	5,43	1,79	1,69	1	2
330-T2-D;336;220-P	m3004	4,54	1,42	2,02	1	2
330-T2-D;336;220-P	m3005	4,4	1,16	1,38	1	2
330-T2-D;336;220-P	m3006	5,87	2,12	1,59	1	2
330-T2-D;336;220-P	m3007	4,86	1,19	1,84	1	2
330-T2-D;336;220-P	m3008	2,9	1,39	1,62	1	2
330-T2-D;336;220-P	m3009	3,02	1,48	1,33	1	3
330-T2-D;336;220-P	m3010	4,64	1,29	1,89	3	
330-T2-D;336;220-P	m3011	4,26	1,27	1,67	1	2
330-T2-D;336;220-P	m3012	4,75	1,79	1,66	1	2
330-T2-D;336;220-P	m3013	5,5	1,38	1,38	1	2

330-T2-D;336;220-P	m3014	5,04	1,47	1,09	1	3
330-T2-D;336;220-P	m3015	5,15	1,5	1,6	1	2
330-T2-D;336;220-P	m3016	4,88	1,23	2,02	3	2
330-T2-D;336;220-P	m3017	4,32	1,62	1,77	1	3
330-T2-D;336;220-P	m3018	5,98	2,03	1,67	1	3
330-T2-D;336;220-P	m3019	4,46	1,28	2,27	1	2
330-T2-D;336;220-P	m3020	5,45	1,23	1,19	1	3
330-T2-D;336;220-P	m3021	5,27	1,15	1,53	1	2
330-T2-D;336;220-P	m3022	6,2	1,78	1,59	1	2
330-T2-D;336;220-P	m3023	5,35	1,83	1,25	1	2
330-T2-D;336;220-P	m3024	5,44	1,6	1,84	1	2
330-T2-D;336;220-P	m3025	4,37	1,03	1,3	1	2
330-T2-D;336;220-P	m3026	4,78	1,32	2,49	1	3
330-T2-D;336;220-P	m3027	4,9	1,66	1,95	1	3
330-T2-D;336;220-P	m3028	4,1	1,25	2,31	1	2
330-T2-D;336;220-P	m3029	4,1	1,33	1,59	1	3
330-T2-D;336;220-P	m3030	3,16	1,22	1,29	1	3
330-T2-D;336;220-P	m3031	4,38	1,24	1,87	1	2
330-T2-D;336;220-P	m3032	4,43	1,56	1,13	1	3
330-T2-D;336;220-P	m3033	4,43	1,25	1,35	1	3
330-T2-D;336;220-P	m3034	3,86	1,07	2,22	1	2
330-T2-D;336;220-P	m3035	4,57	1,68	2,55	1	3
330-T2-D;336;220-P	m3036	4,82	1,55	1,38	1	3
330-T2-D;336;220-P	m3037	3,76	1,26	1,57	1	2
330-T2-	m3038	4,54	1,12	1,28	1	3

D;336;220-P						
330-T2-D;336;220-P	m3039	4,75	1,26	1,95	1	2
330-T2-D;336;220-P	m3040	5,57	1,63	1,95	1	2
330-T2-D;336;220-P	m3041	3,39	0,99	1,17	1	3
330-T2-D;336;220-P	m3042	4,86	1,59	1,27	1	3
330-T2-D;336;220-P	m3043	4,95	1,18	0,99	3	3
330-T2-D;336;220-P	m3044	4,48	1,55	1,68	1	3
330-T2-D;336;220-P	m3045	6,93	1,43	2,24	1	2
330-T2-D;336;220-P	m3046	4,12	1,33	2,54	1	2
330-T2-D;336;220-P	m3047	4,5	1,29	1,76	1	1
330-T2-D;336;220-P	m3048	3,67	1,21	2,21	1	2
330-T2-D;336;220-P	m3049	3,91	1,35	2,13	1	2
330-T2-D;336;220-P	m3050	4,8	1,29	1,1	1	3
330-T2-D;336;220-P	m3051	4,09	1,19	1,69	1	2
330-T2-D;336;220-P	m3052	3,85	1,38	1,44	1	2
330-T2-D;336;220-P	m3053	4,01	1,22	1,78	1	2
330-T2-D;336;220-P	m3054	5,24	1,95	1,35	1	3
330-T2-D;336;220-P	m3055	3,31	1	1,71	1	2
330-T2-D;336;220-P	m3056	5,34	1,56	0,86	1	3
330-T2-D;336;220-P	m3057	3,79	1,17	2,11	1	2
330-T2-D;336;220-P	m3058	3,74	1,41	1,67	1	3
330-T2-D;336;220-P	m3059	5,02	1,85	1,02	1	3
330-T2-D;336;220-P	m3060	4,09	1,39	1,36	1	3
330-T2-D;336;220-P	m3061	6,75	1,78	0,94	1	3
330-T2-D;336;220-P	m3062	4,17	1,5	1,12	1	3

330-T2-D;336;220-P	m3063	3,49	1,04	1,58	1	2
330-T2-D;336;220-P	m3064	4,66	1,46	0,85	1	1
330-T2-D;336;220-P	m3065	4,09	1,48	1,45	1	3
330-T2-D;336;220-P	m3066	5,57	1,98	1,76	1	2
330-T2-D;336;220-P	m3067	4,42	1,48	1,93	1	3
330-T2-D;336;220-P	m3068	4,5	1,24	1,85	3	2
330-T2-D;336;220-P	m3069	4,68	1,61	2,08	1	2
330-T2-D;336;220-P	m3070	5,34	1,83	1,79	1	2
330-T2-D;336;220-P	m3071	5,64	1,39	2,22	3	
330-T2-D;336;220-P	m3072	4,4	1,56	1,58	1	2
330-T2-D;336;220-P	m3073	3,42	1,39	2,66	1	2
330-T2-D;336;220-P	m3074	5,28	1,7	1,4	1	1
330-T2-D;336;220-P	m3075	3,88	1,51	1,23	1	2
330-T2-D;336;220-P	m3076	4,71	1,74	2,13	1	2
330-T2-D;336;220-P	m3077	4,77	1,3	1,74	1	2
330-T2-D;336;220-P	m3078	4	1,6	1,2	1	3
330-T2-D;336;220-P	m3079	5,14	1,67	1,57	1	2
330-T2-D;336;220-P	m3080	4,07	1,36	2,31	1	2
330-T2-D;336;220-P	m3081	4,54	1,66	1,49	2	2
330-T2-D;336;220-P	m3082	3,06	1,18	1,23	1	2
330-T2-D;336;220-P	m3083	4,13	1,29	1,75	1	
330-T2-D;336;220-P	m3084	3,87	1,27	1,66	1	2
330-T2-D;336;220-P	m3085	4,02	0,98	1,15	1	2
330-T2-D;336;220-P	m3086	5,45	1,44	1,73	1	3
330-T2-	m3087	5,21	1,85	1,16	1	3

D;336;220-P						
330-T2-D;336;220-P	m3088	4,12	1,3	1,69	1	2
330-T2-D;336;220-P	m3089	4,15	1,26	1,84	1	2
330-T2-D;336;220-P	m3090	3,91	1,25	1,8	1	2
330-T2-D;336;220-P	m3091	4,18	1,42	1,77	1	3
330-T2-D;336;220-P	m3092	3,65	1,05	1,72	1	2
330-T2-D;336;220-P	m3093	4,04	1,23	1,42	1	2
330-T2-D;336;220-P	m3094	3,64	1,48	1,25	1	3
330-T2-D;336;220-P	m3095	4,2	1,35	1,45	1	3
330-T2-D;336;220-P	m3096	4,46	1,51	1,23	1	2
330-T2-D;336;220-P	m3097	3,99	1,63	1,16	1	3
330-T2-D;336;220-P	m3098	4,49	1,51	0,91	2	3
330-T2-D;336;220-P	m3099	4,45	1,63	1,9	1	2
330-T2-D;336;220-P	m3100	4,43	1,19	1,35	3	3
330-T2-D;336;220-P	m3101	4,61	1,32	1,53	1	2
330-T2-D;336;220-P	m3102	4,8	1,46	1,3	1	2
330-T2-D;336;220-P	m3103	4,65	1,39	1,69	3	2
330-T2-D;336;220-P	m3104	5,29	1,83	1,48	1	2
330-T2-D;336;220-P	m3105	3,83	1,16	1,55	1	3
330-T2-D;336;220-P	m3106	4,45	1,63	1,54	1	3
330-T2-D;336;220-P	m3107	4,3	1,53	2,04	1	2
330-T2-D;336;220-P	m3108	3,52	1,25	1,56	1	3
330-T2-D;336;220-P	m3109	4,65	1,68	0,92	1	3
330-T2-D;336;220-P	m3110	4	1,08	1,27	1	3
330-T2-D;336;220-P	m3111	3,52	1,13	1,78	1	3

330-T2-D;336;220-P	m3112	4,33	1,59	1,37	1	3
330-T2-D;336;220-P	m3113	4,65	1,5	1,73	1	3
330-T2-D;336;220-P	m3114	3,71	1,25	2,27	1	2
330-T2-D;336;220-P	m3115	5,93	1,77	1,8	1	2
330-T2-D;336;220-P	m3116	3,86	1,35	1,51	1	3
330-T2-D;336;220-P	m3117	5,11	1,35	1,73	1	2
330-T2-D;336;220-P	m3118	4,4	1,86	1,37	1	3
330-T2-D;336;220-P	m3119	4,04	1,32	1,79	1	3
330-T2-D;336;220-P	m3120	4,48	1,34	2,5	3	2
330-T2-D;336;220-P	m3121	3,43	1,51	1,07	1	3
330-T2-D;336;220-P	m3122	3,39	1,37	1,96	1	2
330-T2-D;336;220-P	m3123	4,43	1,59	1,03	1	3
330-T2-D;336;220-P	m3124	4,45	2,03	0,99	2	3
330-T2-D;336;220-P	m3125	2,92	1,08	1,67	1	2
330-T2-D;336;220-P	m3126	3,55	1,52	1,63	1	2
330-T2-D;336;220-P	m3127	2,92	1,21	1,75	1	3
330-T2-D;336;220-P	m3128	4,93	1,65	2,27	1	2
330-T2-D;336;220-P	m3129	4,63	1,29	1,35	1	2
330-T2-D;336;220-P	m3130	3,53	1,19	1,29	1	2
330-T2-D;336;220-P	m3131	4,25	1,41	1,49	1	3
330-T2-D;336;220-P	m3132	4,63	1,43	1,52	3	3
330-T2-D;336;220-P	m3133	3,92	1,24	1,51	1	2
330-T2-D;336;220-P	m3134	6,08	1,84	1,7	1	3
330-T2-D;336;220-P	m3135	4,78	1,51	1,17	1	3
330-T2-	m3136	5,53	1,75	0,51	1	3

D;336;220-P						
330-T2-D;336;220-P	m3137	3,95	1,12	1,33	1	3
330-T2-D;336;220-P	m3138	3,95	1,62	1,41	1	1
330-T2-D;336;220-P	m3139	3,56	0,99	1,24	1	2
330-T2-D;336;220-P	m3140	4,72	1,06	1,45	3	2
330-T2-D;336;220-P	m3141	4,38	1,73	1,05	1	3
330-T2-D;336;220-P	m3142	4,64	1,38	1,37	1	2
330-T2-D;336;220-P	m3143	3,39	1,28	1,74	3	2
330-T2-D;336;220-P	m3144	4,49	1,2	1,17	1	3
330-T2-D;336;220-P	m3145	3,54	1,58	1,88	1	3
330-T2-D;336;220-P	m3146	3,77	1,22	1,39	3	2
330-T2-D;336;220-P	m3147	4,39	1,39	1,91	1	2
330-T2-D;336;220-P	m3148	4,76	1,24	0,98	2	3
330-T2-D;336;220-P	m3149	5,14	1,27	1,95	1	2
330-T2-D;336;220-P	m3150	4,51	1,71	1,33	1	3
330-T2-D;336;220-P	m3151	4,45	1,73	1,71	1	2
330-T2-D;336;220-P	m3152	5,18	1,35	2,23	1	
330-T2-D;336;220-P	m3153	4,03	1,15	1,88	1	2
330-T2-D;336;220-P	m3154	4,92	1,2	1,77	1	2
330-T2-D;336;220-P	m3155	4,24	1,54	0,9	1	3
330-T2-D;336;220-P	m3156	3,9	1,55	1,07	1	3
330-T2-D;336;220-P	m3157	5,54	1,74	1,45	1	3
330-T2-D;336;220-P	m3158	4,59	1,47	0,79	1	2
330-T2-D;336;220-P	m3159	2,71	1,22	1,1	1	3
330-T2-D;336;220-P	m3160	3,96	1,95	1,8	1	3

330-T2-D;336;220-P	m3161	4,14	1,38	1,18	1	1
330-T2-D;336;220-P	m3162	3,96	1,16	0,98	1	3
330-T2-D;336;220-P	m3163	4,03	1,22	1,24	1	3
330-T2-D;336;220-P	m3164	3,76	1,25	1,34	1	3
330-T2-D;336;220-P	m3165	4	1,31	1,91	1	2
330-T2-D;336;220-P	m3166	4,23	1,1	1,6	1	3
330-T2-D;336;220-P	m3167	3,62	1,47	1,7	1	1
330-T2-D;336;220-P	m3168	3,92	1,4	1,33	2	3
330-T2-D;336;220-P	m3169	3,3	1,23	1,12	1	3
330-T2-D;336;220-P	m3170	3,28	1,06	0,91	1	3
330-T2-D;336;220-P	m3171	5,39	1,37	1,9	1	2
330-T2-D;336;220-P	m3172	4,01	1,03	1,52	1	3
330-T2-D;336;220-P	m3173	3,72	1,1	1,08	1	2
330-T2-D;336;220-P	m3174	2,65	1,4	0,83	1	3
330-T2-D;336;220-P	m3175	3,62	1,11	0,89	1	3
330-T2-D;336;220-P	m3176	4,87	1,52	1,41	1	1
330-T2-D;336;220-P	m3177	3,37	1,06	0,81	1	2
330-T2-D;336;220-P	m3178	3,52	1,39	1,03	1	3
330-T2-D;336;220-P	m3179	4,57	1,45	1,32	1	2
330-T2-D;336;220-P	m3180	3,37	2,24	0,91	1	3
330-T2-D;336;220-P	m3181	4,63	1,75	1,14	1	3
330-T2-D;336;220-P	m3182	5,58	2,04	1,49	1	2
330-T2-D;336;220-P	m3183	3,82	1,11	1,67	1	2
330-T2-D;336;220-P	m3184	3,5	1,17	0,87	1	3
330-T2-	m3185	3,42	1,54	0,96	1	3

D;336;220-P						
330-T2-D;336;220-P	m3186	3,12	1,19	1,32	1	3
330-T2-D;336;220-P	m3187	4,21	1,46	0,68	1	3
330-T2-D;336;220-P	m3188	4,25	1,63	1,9	1	2
40N/52E-T2;N6-046-X	m3189	4,48	1,25	1,16	1	2
40N/52E-T2;N6-046-X	m3190	5,66	1,47	1,41	1	3
40N/52E-T2;N6-046-X	m3191	3,43	1,57	1,59	1	2
40N/52E-T2;N6-046-X	m3192	4,74	1,52	1,85	2	3
40N/52E-T2;N6-046-X	m3193	3,99	1,33	1,4	1	3
40N/52E-T2;N6-046-X	m3194	4,62	1,74	1,76	2	3
40N/52E-T2;N6-046-X	m3195	4,09	1,21	1,49	1	3
40N/52E-T2;N6-046-X	m3196	4,12	1,67	1,21	1	3
40N/52E-T2;N6-046-X	m3197	4,37	1,35	2,5	1	2
40N/52E-T2;N6-046-X	m3198	4,73	1,3	2,39	1	2
40N/52E-T2;N6-046-X	m3199	5,68	1,81	0,8	1	3
40N/52E-T2;N6-046-X	m3200	3,84	1,56	1,25	1	3
40N/52E-T2;N6-046-X	m3201	4,93	1,4	2,6	3	2
40N/52E-T2;N6-046-X	m3202	5,21	1,28	1,62	1	2
40N/52E-T2;N6-046-X	m3203	4,04	1,01	1,57	2	3
40N/52E-T2;N6-046-X	m3204	3,82	1,45	1,5	1	3
40N/52E-T2;N6-046-X	m3205	3,47	1,35	1,37	1	3
40N/52E-T2;N6-046-X	m3206	3,87	1,04	1,28	1	3
40N/52E-T2;N6-046-X	m3207	3,28	1	1,08	1	2
41N/52E-T2;N7-003-X	m3208	4,38	1,21	2,11	1	2
41N/52E-T2;N7-003-X	m3209	5,57	2,08	1,22	1	3

41N/52E-T2;N7-003-X	m3210	4,43	1,47	2,91	1	2
41N/52E-T2;N7-003-X	m3211	4,38	1,71	1,82	1	3
41N/52E-T2;N7-003-X	m3212	4,67	1,39	1,44	1	3
41N/52E-T2;N7-003-X	m3213	4,4	1,36	1,09	1	3
41N/52E-T2;N7-003-X	m3214	3,43	1,3	1,72	1	2
41N/52E-T2;N7-003-X	m3215	4	1,39	2,06	1	2
41N/52E-T2;N7-003-X	m3216	4,32	1,35	1,05	1	2
41N/52E-T2;N7-003-X	m3217	3,15	1,07	1,57	1	2
40N/53E-T2;N5-037-X	m3218	8,93	2,05	3,36	1	3
40N/53E-T2;N5-037-X	m3219	12,27	1,96	3,51	1	2
40N/53E-T2;N5-037-X	m3220	11,56	1,96	3,1	1	2
40N/53E-T2;N5-037-X	m3221	9,27	2,01	3,13	1	2
40N/53E-T2;N5-037-X	m3222	10,48	2,06	4,56	1	2
40N/53E-T2;N5-037-X	m3223	10,33	2,02	4,13	1	
40N/53E-T2;N5-037-X	m3224	8,72	1,72	1,73	2	3
40N/53E-T2;N5-037-X	m3225	12,32	2,01	2,88	2	2
40N/53E-T2;N5-037-X	m3226	8,98	2,08	4,08	1	2
40N/53E-T2;N5-037-X	m3227	9,93	2,1	3,58	1	2
40N/53E-T2;N5-037-X	m3228	5,68	2,36	11,31	1	2
40N/53E-T2;N5-037-X	m3229	11,12	2,16	3,24	1	2
40N/53E-T2;N5-037-X	m3230	8,51	2,12	2,93	2	2
40N/53E-T2;N5-037-X	m3231	10,68	2,36	4,75	1	2
40N/53E-T2;N5-037-X	m3232	9,89	2,29	3,64	1	2
40N/53E-T2;N5-037-X	m3233	11,05	2,33	3,34	1	2

40N/53E-T2;N5-037-X	m3234	10	2,36	3,87	1	2
40N/53E-T2;N5-037-X	m3235	14,3	1,72	3,42	1	2
40N/53E-T2;N5-037-X	m3236	12,14	2,23	3,6	1	3
40N/53E-T2;N5-037-X	m3237	9,22	2,02	2,35	2	3
40N/53E-T2;N5-037-X	m3238	10,53	2,35	4,5	1	2
40N/53E-T2;N5-037-X	m3239	11,25	1,94	2,59	1	3
40N/53E-T2;N5-037-X	m3240	10,69	2,41	4,11	1	2
40N/53E-T2;N5-037-X	m3241	10,54	2,06	3,35	1	2
40N/53E-T2;N5-037-X	m3242	10,77	1,89	2,62	2	2
40N/53E-T2;N5-037-X	m3243	10,11	1,76	3	1	2
40N/53E-T2;N5-037-X	m3244	9,78	2,4	3,8	2	2
40N/53E-T2;N5-037-X	m3245	11,07	2,33	3,26	2	1
40N/53E-T2;N5-037-X	m3246	9,42	2,23	3,05	1	2
40N/53E-T2;N5-037-X	m3247	10,39	2,28	3,02	1	2
40N/53E-T2;N5-037-X	m3248	9,31	2,04	2,06	2	3
40N/53E-T2;N5-037-X	m3249	10,38	2	2,79	1	2
40N/53E-T2;N5-037-X	m3250	11,14	1,95	2,77	1	2
40N/53E-T2;N5-037-X	m3251	11,17	2,46	3,74	1	1
40N/53E-T2;N5-037-X	m3252	10,85	2,05	3,41	1	2
40N/53E-T2;N5-037-X	m3253	10,28	1,97	3	1	2
40N/53E-T2;N5-037-X	m3254	11,27	1,78	2,26	1	2
40N/53E-T2;N5-037-X	m3255	10,86	1,88	3,83	2	2
40N/53E-T2;N5-037-X	m3256	10,87	1,78	2,37	1	2
40N/53E-T2;N5-037-X	m3257	10,48	2,15	3,28	2	2

40N/53E-T2;N5-037-X	m3258	10,18	1,82	2,83	1	2
40N/53E-T2;N5-037-X	m3259	10,36	1,79	1,79	1	3
40N/53E-T2;N5-037-X	m3260	9,74	1,87	2,17	1	3
40N/53E-T2;N5-037-X	m3261	10,77	1,53	2,06	1	2
40N/53E-T2;N5-037-X	m3262	9,43	1,79	2,36	2	3
40N/53E-T2;N5-037-X	m3263	8,81	1,99	4,12	1	2
40N/53E-T2;N5-037-X	m3264	8,85	2,14	2,57	2	3
40N/53E-T2;N5-037-X	m3265	10,39	1,94	2,98	1	3
40N/53E-T2;N5-037-X	m3266	8,76	2,03	3,33	1	2
40N/53E-T2;N5-037-X	m3267	9,41	1,87	2,23	1	3
40N/53E-T2;N5-037-X	m3268	10,34	2,29	2,67	1	3
40N/53E-T2;N5-037-X	m3269	11,89	1,74	3,22	1	2
40N/53E-T2;N5-037-X	m3270	11,64	1,72	2,2	1	3
40N/53E-T2;N5-037-X	m3271	8,34	2,34	3,79	1	2
40N/53E-T2;N5-037-X	m3272	8,9	2,22	2,46	2	2
40N/53E-T2;N5-037-X	m3273	10,65	1,96	1,73	1	2
40N/53E-T2;N5-037-X	m3274	10,82	2,21	2,3	1	3
40N/53E-T2;N5-037-X	m3275	8,11	1,84	2,22	1	2
40N/53E-T2;N5-037-X	m3276	8,62	1,92	2,82	2	3
40N/53E-T2;N5-037-X	m3277	10,92	2,03	2,68	1	2
40N/53E-T2;N5-037-X	m3278	9,07	1,75	2,25	2	2
40N/53E-T2;N5-037-X	m3279	9,95	1,9	1,99	1	2
40N/53E-T2;N5-037-X	m3280	10,19	1,86	1,8	1	2
40N/53E-T2;N5-037-X	m3281	8,27	2,04	1,79	1	3
40N/53E-T2;N5-037-X	m3282	9,23	1,81	1,89	1	3

T2;N5-037-X						
40N/53E-T2;N5-037-X	m3283	10,83	2,14	2,48	1	2
40N/53E-T2;N5-037-X	m3284	10,45	1,96	2,95	1	2
40N/53E-T2;N5-037-X	m3285	10,82	1,82	2,09	1	2
40N/53E-T2;N5-037-X	m3286	11,84	1,99	3,67	1	2
40N/53E-T2;N5-037-X	m3287	7,84	1,65	2,48	2	3
40N/53E-T2;N5-037-X	m3288	10,41	2,2	4,68	1	
40N/53E-T2;N5-037-X	m3289	9,32	2,06	3,31	2	3
40N/53E-T2;N5-037-X	m3290	9,65	2,21	2,13	1	2
40N/53E-T2;N5-037-X	m3291	10,45	1,85	2,77	1	2
40N/53E-T2;N5-037-X	m3292	9,39	2,52	2,72	1	
40N/53E-T2;N5-037-X	m3293	9,35	2,33	2,41	2	1
40N/53E-T2;N5-037-X	m3294	8,61	2,13	1,93	1	2
40N/53E-T2;N5-037-X	m3295	7,85	2,03	2,55	1	2
40N/53E-T2;N5-037-X	m3296	9,47	1,83	2,34	1	3
40N/53E-T2;N5-037-X	m3297	9,77	1,97	2,23	2	2
40N/53E-T2;N5-037-X	m3298	11,34	2,27	3,27	1	2
40N/53E-T2;N5-037-X	m3299	10,15	1,85	2,31	1	2
40N/53E-T2;N5-037-X	m3300	8,42	2,25	2,96	1	2
40N/53E-T2;N5-037-X	m3301	9,04	2,07	2,51	1	2
40N/53E-T2;N5-037-X	m3302	8,58	1,99	2,69	1	2
40N/53E-T2;N5-037-X	m3303	9,16	2,25	3,51	1	2
40N/53E-T2;N5-037-X	m3304	8,51	2,22	2,94	1	2
40N/53E-T2;N5-037-X	m3305	7,84	2,05	1,33	2	1
40N/53E-T2;N5-037-X	m3306	7,62	2,09	3,23	1	2

40N/53E-T2;N5-037-X	m3307	8,75	1,85	1,52	1	2
40N/53E-T2;N5-037-X	m3308	11,32	1,84	2,26	1	2
40N/53E-T2;N5-037-X	m3309	10,45	1,96	2,42	2	2
40N/53E-T2;N5-037-X	m3310	9,4	1,93	2,07	1	2
40N/53E-T2;N5-037-X	m3311	9,51	1,84	2,56	1	2
40N/53E-T2;N5-037-X	m3312	8,9	2,4	2,79	1	3
40N/53E-T2;N5-037-X	m3313	7,98	1,68	1,93	1	3
40N/53E-T2;N5-037-X	m3314	8,4	1,75	1,65	2	1
40N/53E-T2;N5-037-X	m3315	9,84	2,01	2,66	1	2
40N/53E-T2;N5-037-X	m3316	9,71	1,92	2,06	1	2
40N/53E-T2;N5-037-X	m3317	10,23	1,72	1,78	1	3
40N/53E-T2;N5-037-X	m3318	7,81	1,89	1,6	2	3
40N/53E-T2;N5-037-X	m3319	10,51	3,36	2,27	1	3
40N/53E-T2;N5-037-X	m3320	8,35	1,8	2,15	1	1
40N/53E-T2;N5-037-X	m3321	8,39	1,75	1,42	1	3
40N/53E-T2;N5-037-X	m3322	8,84	1,51	2,48	1	3
40N/53E-T2;N5-037-X	m3323	8,72	1,63	2,49	1	2
40N/53E-T2;N4-009-X	m3324	6,75	1,62	2,07	2	2
40N/53E-T2;N4-009-X	m3325	7,78	2,4	3	1	3
40N/53E-T2;N4-009-X	m3326	6,38	1,36	2,2	1	2
40N/53E-T2;N4-009-X	m3327	5,61	1,63	2,74	2	2
40N/53E-T2;N4-009-X	m3328	6,64	1,97	1,77	1	1
40N/53E-T2;N4-009-X	m3329	6,31	1,69	2,23	2	3
40N/53E-T2;N4-009-X	m3330	6,39	1,8	2,38	2	2
40N/53E-	m3331	5,59	1,49	1,27	2	3

T2;N4-009-X						
40N/53E-T2;N4-009-X	m3332	7,32	1,78	2,12	1	2
40N/53E-T2;N4-009-X	m3333	6,74	1,7	2,13	1	2
40N/53E-T2;N4-009-X	m3334	6,15	1,77	2,57	1	3
40N/53E-T2;N4-009-X	m3335	6,44	1,97	2,06	1	3
40N/53E-T2;N4-009-X	m3336	7,4	1,79	2	1	2
40N/53E-T2;N4-009-X	m3337	5,97	1,72	1,77	1	2
40N/53E-T2;N4-009-X	m3338	6,85	1,52	1,75	1	3
40N/53E-T2;N4-009-X	m3339	6,05	1,77	1,66	1	2
40N/53E-T2;N4-009-X	m3340	6,05	1,48	1,64	3	2
40N/53E-T2;N4-009-X	m3341	5,97	1,82	1,31	1	3
40N/53E-T2;N4-009-X	m3342	5,9	1,6	1,58	1	2
40N/53E-T2;N3-014	m3343	6,24	1,74	1,63	1	2
40N/53E-T2;N3-014	m3344	3,75	1,36	1,67	1	3
40N/53E-T2;N3-014	m3345	6,11	1,6	1,43	1	2
40N/53E-T2;N3-014	m3346	4,08	1,11	2,05	1	2
40N/53E-T2;N3-014	m3347	4,91	1,54	2,56	3	3
40N/53E-T2;N3-014	m3348	4,5	1,68	1,07	1	3
40N/53E-T2;N3-014	m3349	4,58	1,19	2,65	1	2
40N/53E-T2;N3-014	m3350	5,11	1,91	1,85	2	3
40N/53E-T2;N3-014	m3351	5,33	1,48	1,42	2	3
40N/53E-T2;N3-014	m3352	4,46	1,58	1,84	1	2
40N/53E-T2;N3-014	m3353	4,45	1,35	1,86	1	2
40N/53E-T2;N3-014	m3354	4,72	1,52	0,99	1	3
40N/53E-T2;N3-014	m3355	3,05	1,24	1,71	1	3

40N/53E-T2;N3-014	m3356	4,02	1,34	2,35	1	2
40N/53E-T2;N3-014	m3357	4,69	1,66	1,31	2	3
40N/53E-T2;N3-014	m3358	4,36	1,41	2,02	3	2
40N/53E-T2;N3-014	m3359	3,57	1,22	1,21	1	3
40N/53E-T2;N3-014	m3360	5,28	1,25	1,24	1	2
40N/53E-T2;N3-014	m3361	5,5	2,3	1,11	1	3
40N/53E-T2;N3-014	m3362	4,22	1,36	1,71	1	1
40N/53E-T2;N3-014	m3363	3,23	1,08	1,44	1	2
40N/53E-T2;N3-014	m3364	3,38	1,21	1,07	1	1
40N/53E-T2;N3-014	m3365	4,74	1,29	1,32	1	3
40N/53E-T2;N3-014	m3366	4,39	1,14	1,56	1	2
40N/53E-T2;N3-014	m3367	4,04	1,41	1,34	1	2
40N/53E-T2;N3-014	m3368	3,79	1,19	1,4	1	3
40N/53E-T2;N3-014	m3369	5,01	1,64	1,16	1	3
40N/53E-T2;N3-014	m3370	4,01	1,4	1,42	1	3
40N/53E-T2;N3-014	m3371	4,21	1,14	1,19	1	2
40N/53E-T2;N3-014	m3372	4,32	1,31	1,73	1	3
40N/53E-T2;N3-014	m3373	3,92	1,27	1,47	1	3
40N/53E-T2;N3-014	m3374	3,86	1,55	0,9	1	3
40N/53E-T2;N3-014	m3375	3,29	1,02	1,6	1	3
40N/53E-T2;N3-014	m3376	3,31	1,23	2	1	2
40N/53E-T2;N3-014	m3377	2,89	1,31	1,39	1	3
40N/53E-T2;N3-014	m3378	4,6	0,87	1,74	1	2
40N/53E-T2;N3-014	m3379	4,3	1,76	1,66	1	3

40N/53E-T2;N3-014	m3380	4,18	1,5	1,68	1	3
40N/53E-T2;N3-014	m3381	4,44	1,18	1,76	1	3
40N/53E-T2;N3-014	m3382	3,96	1,76	1,84	1	3
40N/53E-T2;N3-014	m3383	4,03	1,43	1,86	1	3
40N/53E-T2;N3-014	m3384	4,36	1,28	1,34	3	2
40N/53E-T2;N3-014	m3385	5,13	1,52	1,43	1	2
40N/53E-T2;N3-014	m3386	4,42	1,48	1,23	3	3
40N/53E-T2;N3-014	m3387	3,93	1,04	1,34	2	3
40N/53E-T2;N3-014	m3388	6,37	1,77	2,24	1	3
40N/53E-T2;N3-014	m3389	4,66	1,44	1,38	1	3
40N/53E-T2;N3-014	m3390	5,76	1,51	2,8	1	
40N/53E-T2;N3-014	m3391	5,88	1,58	1,44	1	3
40N/53E-T2;N3-014	m3392	3,87	1,67	1,34	1	3
40N/53E-T2;N3-014	m3393	4,03	1,17	1,27	2	3
40N/53E-T2;N3-014	m3394	3,5	0,99	1,23	1	3
40N/53E-T2;N3-014	m3395	4,36	1,25	1,67	1	2
40N/53E-T2;N3-014	m3396	3,92	1,26	1,1	1	3
39N/53E-T2;N1-006-X	m3397	5,76	1,98	2,03	1	2
39N/53E-T2;N1-006-X	m3398	4,75	1,82	2,16	3	3
39N/53E-T2;N1-006-X	m3399	5,04	1,64	1,46	1	3
39N/53E-T2;N1-006-X	m3400	4,48	1,52	1,71	1	3
39N/53E-T2;N1-006-X	m3401	5,03	1,59	1,39	1	3
39N/53E-T2;N1-006-X	m3402	4,2	1,36	1,92	1	2
39N/53E-T2;N1-006-X	m3403	4,62	1,28	1,64	1	2

39N/53E-T2;N1-006-X	m3404	5,17	1,59	1,54	1	3
39N/53E-T2;N1-006-X	m3405	4,12	1,27	1,76	3	2
39N/53E-T2;N1-006-X	m3406	4,51	1,28	1,86	1	2
39N/53E-T2;N1-006-X	m3407	3,98	1,23	1,94	1	2
39N/53E-T2;N1-006-X	m3408	4,67	1,39	1,27	1	2
39N/53E-T2;N1-006-X	m3409	3,98	1,11	2,12	3	
39N/53E-T2;N1-006-X	m3410	3,71	1,35	2,32	1	2
39N/53E-T2;N1-006-X	m3411	4,37	1,43	1,67	2	3
39N/53E-T2;N1-006-X	m3412	3,75	1,04	1,85	1	2
39N/53E-T2;N1-006-X	m3413	3,83	1,28	1,11	2	3
39N/53E-T2;N1-006-X	m3414	3,11	1,3	0,97	1	3
39N/53E-T2;N1-006-X	m3415	3,15	1,7	0,87	1	3
39N/53E-T2;N1-006-X	m3416	4,75	1,06	1,67	1	2
39N/53E-T2;N1-006-X	m3417	4,24	1,36	1,7	1	2
39N/53E-T2;N1-006-X	m3418	4,53	1,45	1,1	1	3
39N/53E-T2;N1-006-X	m3419	3,08	1,14	1,4	1	3
39N/53E-T2;N1-006-X	m3420	3,12	1,37	1,15	1	1
39N/53E-T2;N1-006-X	m3421	4,37	1,56	1,38	1	3
39N/53E-T2;N1-006-X	m3422	3,49	1,23	0,99	1	3
39N/53E-T2;N1-006-X	m3423	4,19	1,27	1,66	1	3
39N/53E-T2;N1-006-X	m3424	3,38	1,3	1,53	1	2
39N/53E-T2;N1-006-X	m3425	3,19	0,98	1,13	1	3
332-T2-D;67-M	m3426	6,47	1,74	2,95	1	2
332-T2-D;67-M	m3427	7,65	1,94	2,04	1	2
332-T2-D;67-	m3428	7,15	1,77	2,24	2	2

M						
332-T2-D;67-M	m3429	7,15	1,81	2,57	2	2
332-T2-D;67-M	m3430	7,14	1,38	3,48	1	2
332-T2-D;67-M	m3431	6,84	1,77	2,66	1	2
332-T2-D;67-M	m3432	7,73	1,71	2,17	2	2
332-T2-D;67-M	m3433	5,86	1,42	1,46	2	3
332-T2-D;67-M	m3434	8,6	1,84	1,99	1	3
332-T2-D;67-M	m3435	6,9	2,56	2,26	1	3
332-T2-D;67-M	m3436	6,17	1,57	3,92	1	2
332-T2-D;67-M	m3437	7,15	2,24	2,73	1	2
332-T2-D;67-M	m3438	6,64	1,97	2,44	1	3
332-T2-D;67-M	m3439	8,31	1,88	2,88	1	3
332-T2-D;67-M	m3440	7,02	2,1	2,18	1	1
332-T2-D;67-M	m3441	7,57	1,78	2,26	1	1
332-T2-D;67-M	m3442	8,13	1,85	2,53	1	3
332-T2-D;67-M	m3443	5,45	1,65	2,45	1	2
332-T2-D;67-M	m3444	7,68	1,76	1,94	1	2
332-T2-D;67-M	m3445	6,74	1,99	1,54	1	3
332-T2-D;67-M	m3446	8,32	1,95	2,77	1	2
332-T2-D;67-M	m3447	6,37	1,55	2,67	1	2
332-T2-D;67-M	m3448	6,83	1,95	3,13	1	2
332-T2-D;67-M	m3449	6,9	1,67	1,43	1	2
332-T2-D;67-M	m3450	7,1	1,77	2,39	2	2
332-T2-D;67-M	m3451	6,14	2,01	1,77	1	3
332-T2-D;67-M	m3452	6,75	2,07	2,03	1	3

332-T2-D;67-M	m3453	7,23	1,96	2,03	1	3
332-T2-D;67-M	m3454	5,41	1,11	3,04	3	2
332-T2-D;67-M	m3455	6,07	1,85	3,3	2	2
332-T2-D;67-M	m3456	6,77	1,73	1,88	1	3
332-T2-D;67-M	m3457	6,42	1,79	0,93	2	3
332-T2-D;67-M	m3458	6,85	1,93	1,82	1	3
332-T2-D;67-M	m3459	7,08	1,75	2,36	1	3
332-T2-D;67-M	m3460	7,65	1,72	2,43	2	3
332-T2-D;67-M	m3461	5,53	1,32	2,98	1	2
332-T2-D;67-M	m3462	5,92	1,62	2,56	1	2
332-T2-D;67-M	m3463	5,93	2,01	1,65	1	3
332-T2-D;67-M	m3464	7,22	1,59	2,63	2	2
332-T2-D;67-M	m3465	7,1	1,86	1,9	2	3
332-T2-D;67-M	m3466	6,55	1,71	1,93	1	2
332-T2-D;67-M	m3467	7,58	1,87	2,25	1	3
332-T2-D;67-M	m3468	5,84	1,98	2,35	1	3
332-T2-D;67-M	m3469	7,17	1,71	2,06	1	3
332-T2-D;67-M	m3470	5,47	1,78	1,89	2	3
332-T2-D;67-M	m3471	7,58	1,73	2,21	2	3
332-T2-D;67-M	m3472	6,43	1,41	1,5	1	3
332-T2-D;67-M	m3473	7,3	1,74	1,64	2	2
332-T2-D;67-M	m3474	6,94	1,82	2,29	1	2
332-T2-D;67-M	m3475	5,73	1,62	1,69	2	3
332-T2-D;67-M	m3476	6,81	1,81	2,02	1	3
332-T2-D;67-M	m3477	6,11	1,67	1,95	2	3

M						
332-T2-D;67-M	m3478	6,92	2	1,51	1	3
332-T2-D;67-M	m3479	6,01	1,69	2,31	2	2
332-T2-D;67-M	m3480	6,16	1,55	1,54	2	3
332-T2-D;67-M	m3481	6,04	1,55	1,94	1	3
332-T2-D;67-M	m3482	6,57	1,74	2,3	2	3
332-T2-D;67-M	m3483	6,89	1,58	2,04	1	3
332-T2-D;67-M	m3484	6,62	1,67	2,33	1	3
332-T2-D;67-M	m3485	6,88	1,97	1,59	1	3
332-T2-D;67-M	m3486	6,48	1,47	1,5	1	2
332-T2-D;67-M	m3487	7,11	1,97	1,62	1	3
332-T2-D;67-M	m3488	5,91	1,58	1,87	1	2
332-T2-D;67-M	m3489	6,45	1,69	2,05	1	3
332-T2-D;67-M	m3490	6,55	1,84	1,77	1	2
332-T2-D;67-M	m3491	6,25	1,64	1,47	2	3
332-T2-D;67-M	m3492	6,81	1,87	1,07	1	3
332-T2-D;67-M	m3493	8,37	1,9	1,66	1	3
332-T2-D;67-M	m3494	4,99	1,79	4,12	1	
332-T2-D;67-M	m3495	6,19	1,84	1,93	1	2
332-T2-D;67-M	m3496	6,91	1,7	1,31	1	3
332-T2-D;67-M	m3497	6,56	2,15	1,6	2	3
332-T2-D;67-M	m3498	5,29	1,39	1,52	3	3
332-T2-D;67-M	m3499	6,81	1,76	2,56	1	3

332-T2-D;67-M	m3500	6,71	2,39	1,21	1	3
332-T2-D;67-M	m3501	5,93	2,03	2,1	1	3
332-T2-D;67-M	m3502	6,21	1,53	1,51	1	3
332-T2-D;67-M	m3503	6,56	1,71	1,87	1	3
332-T2-D;67-M	m3504	7,25	1,67	1,35	1	3
332-T2-D;67-M	m3505	5,57	1,65	1,04	1	3
332-T2-D;67-M	m3506	6,97	1,64	1,78	1	3
332-T2-D;67-M	m3507	4,15	1,25	0,78	1	3
332-T2-D;67-M	m3508	5,91	1,63	1,1	1	3
332-T2-D;67-M	m3509	5,93	1,78	1,5	2	1
332-T2-D;67-M	m3510	5,78	1,81	1,26	1	3
332-T2-D;67-M	m3511	5,77	1,69	1,33	1	2
40N/56E-T2;N1-011-T2	m3512	6,18	1,8	1,51	1	3
40N/56E-T2;N1-011-T2	m3513	4,87	1,24	2,72	1	2
40N/56E-T2;N1-011-T2	m3514	5,15	1,8	1,68	1	3
40N/56E-T2;N1-011-T2	m3515	5,32	1,74	1,6	1	3
40N/56E-T2;N1-011-T2	m3516	4,16	1,18	1,91	1	2
40N/56E-T2;N1-011-T2	m3517	4,88	1,58	1,32	1	3
40N/56E-T2;N1-011-T2	m3518	5,29	1,53	1,09	1	3
40N/56E-T2;N1-011-T2	m3519	3,39	1,34	2,03	1	3
40N/56E-T2;N1-011-T2	m3520	3,89	1,45	2,25	1	3
40N/56E-T2;N1-011-T2	m3521	4,91	1,71	1,33	1	3
40N/56E-T2;N1-011-T2	m3522	5,41	1,38	2,09	2	2
40N/56E-T2;N1-011-T2	m3523	4,6	1,59	1,42	1	2
40N/56E-	m3524	5,55	1,72	2,04	1	2

T2;N1-011-T2						
40N/56E-T2;N1-011-T2	m3525	4,56	1,44	1,84	1	3
40N/56E-T2;N1-011-T2	m3526	4,92	1,69	1,94	1	2
40N/56E-T2;N1-011-T2	m3527	4,1	0,91	1,8	1	2
40N/56E-T2;N1-011-T2	m3528	4,52	1,7	1,57	1	3
40N/56E-T2;N1-011-T2	m3529	3,68	1,59	2,98	1	
40N/56E-T2;N1-011-T2	m3530	4,36	1,45	1,7	3	3
40N/56E-T2;N1-011-T2	m3531	3,92	1,11	1,61	1	3
40N/56E-T2;N1-011-T2	m3532	5,85	2,16	1,11	1	3
40N/56E-T2;N1-011-T2	m3533	4,88	1	1,76	1	2
40N/56E-T2;N1-011-T2	m3534	4,88	1,6	1,19	1	1
40N/56E-T2;N1-011-T2	m3535	4,27	1,41	1,93	1	3
40N/56E-T2;N1-011-T2	m3536	5,48	1,34	2,06	1	2
40N/56E-T2;N1-011-T2	m3537	5,33	1,62	1,63	1	3
40N/56E-T2;N1-011-T2	m3538	5,43	1,46	1,82	1	2
40N/56E-T2;N1-011-T2	m3539	5	1,85	1,52	1	3
40N/56E-T2;N1-011-T2	m3540	4,85	1,61	1,71	1	3
40N/56E-T2;N1-011-T2	m3541	5,92	2,05	1,9	1	3
40N/56E-T2;N1-011-T2	m3542	4,7	1,6	1,71	2	3
40N/56E-T2;N1-011-T2	m3543	4,54	1,32	1,19	1	3
40N/56E-T2;N1-011-T2	m3544	4,19	1,35	2,2	1	
40N/56E-T2;N1-011-T2	m3545	5,17	1,36	2,7	1	
40N/56E-T2;N1-011-T2	m3546	5,71	1,91	1,32	1	2
40N/56E-T2;N1-011-T2	m3547	4,37	1,58	1,83	1	3

40N/56E-T2;N1-011-T2	m3548	4,65	1,21	2,84	1	
40N/56E-T2;N1-011-T2	m3549	5,18	1,64	1,24	1	3
40N/56E-T2;N1-011-T2	m3550	4,44	1,48	1,2	1	3
40N/56E-T2;N1-011-T2	m3551	4,48	1,6	1,73	1	2
40N/56E-T2;N1-011-T2	m3552	3,49	1,33	1,74	1	3
40N/56E-T2;N1-011-T2	m3553	3,6	1,32	2,36	1	
40N/56E-T2;N1-011-T2	m3554	4,61	1,4	1,6	1	3
40N/56E-T2;N1-011-T2	m3555	4,75	1,74	1,48	2	2
40N/56E-T2;N1-011-T2	m3556	4,61	1,27	1,5	1	3
40N/56E-T2;N1-011-T2	m3557	4,27	1,28	2,8	3	3
40N/56E-T2;N1-011-T2	m3558	4,25	1,24	1,53	1	3
40N/56E-T2;N1-011-T2	m3559	3,57	1,32	1,96	1	2
40N/56E-T2;N1-011-T2	m3560	3,19	1,11	1,06	1	3
40N/56E-T2;N1-011-T2	m3561	4,56	1,27	1,66	1	3
40N/56E-T2;N1-011-T2	m3562	4,19	1,52	1,38	1	3
40N/56E-T2;N1-011-T2	m3563	4,93	1,72	1,71	1	3
40N/56E-T2;N1-011-T2	m3564	3,51	1,58	2,24	1	3
40N/56E-T2;N1-011-T2	m3565	4,42	1,13	1,54	1	2
40N/56E-T2;N1-011-T2	m3566	3,59	1,09	1,15	1	3
40N/56E-T2;N1-011-T2	m3567	5,45	1,26	1,76	1	2
40N/56E-T2;N1-011-T2	m3568	3,79	1,02	1,55	1	3
40N/56E-T2;N1-011-T2	m3569	4,4	2,09	1,59	1	3
40N/56E-T2;N1-011-T2	m3570	4,12	1,27	1,76	1	3
40N/56E-T2;N1-011-T2	m3571	4,29	1,31	2,58	1	

40N/56E-T2;N1-011-T2	m3572	3,5	1,24	1,65	1	3
40N/56E-T2;N1-011-T2	m3573	3,59	1,09	2,3	1	2
40N/56E-T2;N1-011-T2	m3574	4,52	1,7	2,06	1	3
40N/56E-T2;N1-011-T2	m3575	4,5	1,74	2,51	1	3
40N/56E-T2;N1-011-T2	m3576	5,17	1,74	2,03	1	3
40N/56E-T2;N1-011-T2	m3577	5,04	1,64	1,3	1	3
40N/56E-T2;N1-011-T2	m3578	5,65	1,63	1,1	1	3
40N/56E-T2;N1-011-T2	m3579	5,95	1,48	1,58	1	3
40N/56E-T2;N1-011-T2	m3580	3,69	1,36	1,61	3	3
40N/56E-T2;N1-011-T2	m3581	4,39	1,61	1,63	1	
40N/56E-T2;N1-011-T2	m3582	4,81	1,86	1,93	1	3
40N/56E-T2;N1-011-T2	m3583	4,76	1,43	1,28	2	2
40N/56E-T2;N1-011-T2	m3584	4,43	1,33	2,07	1	2
40N/56E-T2;N1-011-T2	m3585	4,28	1,44	1,3	1	2
40N/56E-T2;N1-011-T2	m3586	6,13	2,04	2,28	1	3
40N/56E-T2;N1-011-T2	m3587	4,27	1,67	2,11	1	2
40N/56E-T2;N1-011-T2	m3588	2,8	1,35	2,28	1	3
40N/56E-T2;N1-011-T2	m3589	2,8	1,35	0,76	1	3
40N/56E-T2;N1-011-T2	m3590	5,27	1,52	2,12	1	3
40N/56E-T2;N1-011-T2	m3591	5,56	1,6	1,57	1	3
40N/56E-T2;N1-011-T2	m3592	4,38	1,6	2,41	1	
40N/56E-T2;N1-011-T2	m3593	4,72	1,82	1,04	2	3
40N/56E-T2;N1-011-T2	m3594	3,96	1,8	2,29	1	2
40N/56E-T2;N1-011-T2	m3595	4,71	1,58	1,48	1	2
40N/56E-T2;N1-011-T2	m3596	3,68	1,45	2,13	1	3

T2;N1-011-T2						
40N/56E-T2;N1-011-T2	m3597	3,96	1,42	1,47	1	2
40N/56E-T2;N1-011-T2	m3598	4,34	1,09	1,85	1	2
40N/56E-T2;N1-011-T2	m3599	4,16	1,46	1,8	1	3
40N/56E-T2;N1-011-T2	m3600	3,5	1,54	1,91	1	3
40N/56E-T2;N1-011-T2	m3601	4,31	1,45	2,04	1	2
40N/56E-T2;N1-011-T2	m3602	3,82	1,46	2,11	1	3
40N/56E-T2;N1-011-T2	m3603	3,22	1,51	2,38	1	3
40N/56E-T2;N1-011-T2	m3604	3,45	1,36	1,79	1	3
40N/56E-T2;N1-011-T2	m3605	3,41	1,23	2,35	1	3
40N/56E-T2;N1-011-T2	m3606	5,32	1,27	1,53	1	2
40N/56E-T2;N1-011-T2	m3607	3,48	1,24	1,25	1	3
40N/56E-T2;N1-011-T2	m3608	3,82	1,33	2,15	1	2
40N/56E-T2;N1-011-T2	m3609	4,67	0,93	1,83	1	2
40N/56E-T2;N1-011-T2	m3610	3,89	1,19	1,73	1	3
40N/56E-T2;N1-011-T2	m3611	3,9	1,45	1,77	1	3
40N/56E-T2;N1-011-T2	m3612	5,11	1,85	1,37	2	3
40N/56E-T2;N1-011-T2	m3613	5,01	1,51	1,69	1	2
40N/56E-T2;N1-011-T2	m3614	3,46	1,5	1,57	1	3
40N/56E-T2;N1-011-T2	m3615	3,99	1,21	1,26	1	3
40N/56E-T2;N1-011-T2	m3616	3,05	1,21	1,3	1	2
40N/56E-T2;N1-011-T2	m3617	4,13	1,15	1,91	1	3
40N/56E-T2;N1-011-T2	m3618	4,08	1,36	2,05	1	3
40N/56E-T2;N1-011-T2	m3619	4,42	1,63	2,53	1	2
40N/56E-T2;N1-011-T2	m3620	3,69	1,37	1,29	1	3

40N/56E-T2;N1-011-T2	m3621	4,18	1,36	1,51	1	3
40N/56E-T2;N1-011-T2	m3622	3,05	1,27	1,28	1	2
40N/56E-T2;N1-011-T2	m3623	3,49	1,22	1,68	1	2
40N/56E-T2;N1-011-T2	m3624	3,39	1,43	0,98	1	3
40N/56E-T2;N1-011-T2	m3625	3,96	1,05	1,13	1	2
40N/56E-T2;N1-011-T2	m3626	2,77	1,29	0,87	1	3
40N/56E-T2;N1-011-T2	m3627	2,67	1,1	1,57	1	2
40N/56E-T2;N1-011-T2	m3628	2,83	1,37	1,96	1	2
40N/56E-T2;N1-011-T2	m3629	3,89	1,92	0,97	1	1
40N/56E-T2;N1-011-T2	m3630	3,22	1	1,51	1	2
40N/56E-T2;N1-011-T2	m3631	4,81	1,66	1,83	1	3
40N/56E-T2;N1-011-T2	m3632	3,25	1,04	1,28	2	3
40N/56E-T2;N1-011-T2	m3633	3,52	0,98	1,56	1	2
40N/56E-T2;N1-011-T2	m3634	3,27	1,17	1,36	1	3
40N/56E-T2;N1-011-T2	m3635	2,81	1,24	1,6	1	3
40N/56E-T2;N1-011-T2	m3636	3	1,02	1,59	1	3
40N/56E-T2;N1-011-T2	m3637	3,47	1,04	1,31	1	2
40N/56E-T2;N1-011-T2	m3638	4	1,18	1,66	1	3
40N/56E-T2;N1-011-T2	m3639	4,24	1,51	1,82	1	3
40N/56E-T2;N1-011-T2	m3640	2,8	0,87	1,46	1	
40N/56E-T2;N1-011-T2	m3641	4,56	1,6	1,29	1	3
40N/56E-T2;N1-011-T2	m3642	3,82	1,35	2,09	1	3
40N/56E-T2;N1-011-T2	m3643	4,02	1,09	1,97	1	3
40N/56E-T2;N1-011-T2	m3644	3,87	1,28	1,54	1	3
40N/56E-	m3645	3,92	1,68	0,77	1	3

T2;N1-011-T2						
40N/56E-T2;N1-011-T2	m3646	3,95	1,64	1,14	1	3
40N/56E-T2;N1-011-T2	m3647	3,52	1,54	1,89	1	2
40N/56E-T2;N1-011-T2	m3648	3,65	1,01	1,05	1	2
40N/56E-T2;N1-011-T2	m3649	3,87	1,41	1,85	1	2
40N/56E-T2;N1-011-T2	m3650	4,28	1,21	0,83	1	3
40N/56E-T2;N1-011-T2	m3651	3,39	1,45	1,14	1	3
40N/56E-T2;N1-011-T2	m3652	3,68	1,21	1,46	1	3
40N/56E-T2;N1-011-T2	m3653	3,28	1,16	2,06	1	
40N/56E-T2;N1-011-T2	m3654	4,37	1,35	0,87	1	3
40N/56E-T2;N1-011-T2	m3655	3,51	1,25	1,4	1	3
40N/56E-T2;N1-011-T2	m3656	3,29	1,15	0,84	1	3
40N/56E-T2;N1-011-T2	m3657	3,59	1,34	1	1	3
40N/56E-T2;N1-011-T2	m3658	3,65	1,17	1,19	1	3
40N/56E-T2;N1-011-T2	m3659	3,34	1,2	2,17	1	2
40N/56E-T2;N1-011-T2	m3660	6	1,21	1,37	1	3
40N/56E-T2;N1-011-T2	m3661	3,61	1,44	1,76	1	3
40N/56E-T2;N1-011-T2	m3662	4,59	1,21	1,66	1	3
40N/56E-T2;N1-011-T2	m3663	3,71	1,14	1,31	1	2
40N/56E-T2;N1-011-T2	m3664	4,24	1,63	1,93	1	
40N/56E-T2;N1-011-T2	m3665	3,72	1,35	2,12	1	2
40N/56E-T2;N1-011-T2	m3666	3,42	1,36	2,24	1	
40N/56E-T2;N1-011-T2	m3667	3,34	1,28	1,86	1	3
40N/56E-T2;N1-011-T2	m3668	3,9	1,26	1,46	1	3
40N/56E-T2;N1-011-T2	m3669	2,72	1,05	1,56	1	2

40N/56E-T2;N1-011-T2	m3670	3,73	1,2	2,04	1	2
40N/56E-T2;N1-011-T2	m3671	2,9	1,24	1,92	1	2
40N/56E-T2;N1-011-T2	m3672	2,92	1,28	1,29	1	3
40N/56E-T2;N1-011-T2	m3673	3,59	1,29	1,1	1	3
40N/56E-T2;N1-011-T2	m3674	3,36	1,47	2,08	1	3
40N/56E-T2;N1-011-T2	m3675	4,43	1,66	0,85	1	3
40N/56E-T2;N1-011-T2	m3676	3,41	1,13	1,32	1	2
40N/56E-T2;N1-011-T2	m3677	4,26	1,43	1,4	1	2
40N/56E-T2;N1-011-T2	m3678	3,88	1,76	0,89	1	3
40N/56E-T2;N1-011-T2	m3679	4,66	1,82	1,38	2	3
40N/56E-T2;N1-011-T2	m3680	3,72	0,99	2,31	1	3
40N/56E-T2;N1-011-T2	m3681	4,79	1,25	1,39	1	2
40N/56E-T2;N1-011-T2	m3682	3,28	1,1	1,12	1	3
40N/56E-T2;N1-011-T2	m3683	4,57	1,26	1,78	1	3
40N/56E-T2;N1-011-T2	m3684	3,35	1,28	0,97	1	1
40N/56E-T2;N1-011-T2	m3685	2,98	1,33	1,62	1	3
40N/56E-T2;N1-011-T2	m3686	3,9	1,35	1,1	1	3
40N/56E-T2;N1-011-T2	m3687	3,57	1,26	1,71	1	
40N/56E-T2;N1-011-T2	m3688	3,59	1,08	1,78	1	3
40N/56E-T2;N1-011-T2	m3689	4,8	1,39	1,38	1	2
40N/56E-T2;N1-011-T2	m3690	2,78	1,47	1,08	1	3
40N/56E-T2;N1-011-T2	m3691	3,06	1,22	1,08	1	3
40N/56E-T2;N1-011-T2	m3692	4,15	1,63	1,75	1	3
40N/56E-T2;N1-011-T2	m3693	3,38	1,21	1,28	1	2
40N/56E-	m3694	2,77	0,88	1,06	1	3

T2;N1-011-T2						
40N/56E-T2;N1-011-T2	m3695	3,86	1,48	1,73	1	3
40N/56E-T2;N1-011-T2	m3696	3,71	1,11	1,29	1	3
40N/56E-T2;N1-011-T2	m3697	3,67	1,18	2,21	1	
40N/56E-T2;N1-011-T2	m3698	3,68	1,33	1,08	1	1
40N/56E-T2;N1-011-T2	m3699	3,94	1,3	1,53	1	3
40N/56E-T2;N1-011-T2	m3700	3,31	1,19	1,15	1	3
40N/56E-T2;N1-011-T2	m3701	3,8	1,14	1,27	1	3
40N/56E-T2;N1-011-T2	m3702	3,5	1,2	1,8	1	3
40N/56E-T2;N1-011-T2	m3703	4,47	1,17	1,41	1	2
40N/56E-T2;N1-011-T2	m3704	4,33	1,84	1,19	1	3
40N/56E-T2;N1-011-T2	m3705	4,58	1,84	1,15	1	3
40N/56E-T2;N1-011-T2	m3706	4,43	1,59	1,49	1	2
40N/56E-T2;N1-011-T2	m3707	3,22	1,48	1,24	1	3
40N/56E-T2;N1-011-T2	m3708	4,12	1,02	1,49	1	3
40N/56E-T2;N1-011-T2	m3709	3,19	1,71	1,02	1	3
40N/56E-T2;N1-011-T2	m3710	4,33	1,42	1,81	1	2
40N/56E-T2;N1-011-T2	m3711	3,46	1,75	1,51	1	3
40N/56E-T2;N1-011-T2	m3712	3,53	1,24	1,61	1	
40N/56E-T2;N1-011-T2	m3713	3,63	1,31	1,04	2	3
40N/56E-T2;N1-011-T2	m3714	4,07	1,38	1,07	1	2
40N/56E-T2;N1-011-T2	m3715	3,31	1,53	1,13	1	3
40N/56E-T2;N1-011-T2	m3716	3,74	1,28	1,19	1	3
40N/54E-T2;N4-004-X	m3717	11,58	2,01	3,75	1	2
40N/54E-T2;N4-004-X	m3718	9,8	2,15	2,68	1	2

40N/54E-T2;N4-004-X	m3719	8,49	1,91	3,11	1	2
40N/54E-T2;N4-004-X	m3720	9,98	2,03	2,26	2	2
40N/54E-T2;N4-004-X	m3721	6,56	1,63	3,26	1	2
40N/54E-T2;N4-004-X	m3722	7,32	1,8	3,8	1	2
40N/54E-T2;N4-004-X	m3723	7,65	1,87	1,92	2	3
40N/54E-T2;N4-004-X	m3724	7,03	1,69	1,76	1	3
40N/54E-T2;N4-004-X	m3725	6,21	1,86	1,61	1	2
39N/52E-T2;N1-004-X	m3726	8,33	1,77	2,54	2	3
39N/52E-T2;N1-004-X	m3727	7,96	2,01	2,06	2	3
39N/52E-T2;N1-004-X	m3728	7,23	1,84	3,41	1	3
39N/52E-T2;N1-004-X	m3729	7,43	1,69	2,22	2	2
39N/52E-T2;N1-004-X	m3730	7,34	1,77	2,58	1	2
39N/52E-T2;N1-004-X	m3731	8,06	2,21	2,34	1	2
39N/52E-T2;N1-004-X	m3732	8,51	2,07	2,65	1	2
39N/52E-T2;N1-004-X	m3733	7,35	1,41	2,2	1	2
39N/52E-T2;N1-004-X	m3734	7,27	1,72	1,89	1	3
40N/54E-T2;N4-003-X	m3735	5,87	1,28	3,12	1	2
40N/54E-T2;N4-003-X	m3736	5,37	1,41	1,93	1	3
40N/54E-T2;N4-003-X	m3737	4,4	0,95	1,4	1	2
40N/54E-T2;N4-003-X	m3738	4,27	0,9	1,13	1	3
40N/54E-T2;N4-003-X	m3739	4,76	1,33	1,73	1	3
40N/54E-T2;N4-003-X	m3740	5,47	1,18	2,09	1	2
40N/54E-T2;N4-003-X	m3741	5,23	1,66	1,31	1	3
40N/54E-T2;N4-003-X	m3742	4,52	1,64	1,24	1	3
40N/54E-	m3743	4,95	1,46	1,23	2	3

T2;N4-003-X						
40N/54E-T2;N4-003-X	m3744	3,41	1,16	1,53	1	3
40N/54E-T2;N4-003-X	m3745	4,06	1,34	1,76	1	2
40N/54E-T2;N4-003-X	m3746	4,44	1,35	1,33	1	3
40N/54E-T2;N4-003-X	m3747	3,42	1,15	0,97	1	3
40N/54E-T2;N4-003-X	m3748	4,93	1,6	1,43	1	1
40N/54E-T2;N4-003-X	m3749	4,14	1,33	1,32	2	1
40N/54E-T2;N4-003-X	m3750	5	1,52	1,77	1	2
40N/54E-T2;N4-003-X	m3751	3,56	1,48	0,91	1	3
40N/54E-T2;N4-003-X	m3752	3,31	1,15	1,46	1	2
40N/54E-T2;N4-003-X	m3753	5,1	1,95	1,76	1	3
40N/54E-T2;N4-003-X	m3754	4,86	1,38	1,33	1	3
40N/54E-T2;N4-003-X	m3755	4,04	1,48	1,77	1	3
40N/56E-T2;N2-0010-X	m3756	4,01	1,13	1,82	1	3
40N/56E-T2;N2-0010-X	m3757	4,21	1,15	1,98	1	3
40N/56E-T2;N2-0010-X	m3758	3,61	1,03	1,67	1	2
40N/56E-T2;N2-0010-X	m3759	3,98	1,45	1,74	1	2
40N/56E-T2;N2-0010-X	m3760	4,18	1,07	1,33	1	3
40N/56E-T2;N2-0010-X	m3761	3,09	1,38	1,09	1	3
40N/56E-T2;N2-0010-X	m3762	3,54	1,22	1,5	1	2
40N/56E-T2;N2-0010-X	m3763	3,51	1,35	2,01	1	3
40N/56E-T2;N2-0010-X	m3764	3,97	1,03	2,1	1	
40N/56E-T2;N2-0010-X	m3765	3,56	1,18	1,15	1	3
40N/56E-T2;N2-0010-X	m3766	3,76	1,22	1,56	1	2
40N/56E-	m3767	2,87	1,29	1,28	1	3

T2;N2-0010-X						
40N/56E-T2;N1-010-X	m3768	6,49	1,9	1,99	2	2
40N/56E-T2;N1-010-X	m3769	6,98	1,79	3,3	1	3
40N/56E-T2;N1-010-X	m3770	6,13	1,9	4,1	1	2
40N/56E-T2;N1-010-X	m3771	6,75	1,61	2,22	1	2
40N/56E-T2;N1-010-X	m3772	6,8	1,98	1,2	2	3
40N/56E-T2;N1-010-X	m3773	6,17	1,5	2,18	1	3
40N/56E-T2;N1-010-X	m3774	6	1,6	2,6	1	3
40N/56E-T2;N1-010-X	m3775	6,6	1,9	2,74	1	2
40N/56E-T2;N1-010-X	m3776	6,15	1,99	2,56	1	3
40N/56E-T2;N1-010-X	m3777	5,78	1,83	1,89	1	3
40N/56E-T2;N1-010-X	m3778	6,63	2,26	2,17	1	3
40N/56E-T2;N1-010-X	m3779	6,89	2,25	1,23	1	3
40N/56E-T2;N1-010-X	m3780	6,6	2,25	1,56	1	3
40N/56E-T2;N1-010-X	m3781	6,13	2,14	1,61	1	3
40N/56E-T2;N1-010-X	m3782	6,14	1,66	1,92	1	2
40N/56E-T2;N1-010-X	m3783	6,67	1,64	2,59	2	3
40N/56E-T2;N1-010-X	m3784	4,97	1,63	1,28	1	3
40N/56E-T2;N1-010-X	m3785	6,42	1,96	2,22	1	3
40N/56E-T2;N1-010-X	m3786	6,07	1,74	1,84	1	3
40N/56E-T2;N1-010-X	m3787	5,92	1,93	1,18	1	3
40N/56E-T2;N1-010-X	m3788	7,09	1,62	1,96	1	3
40N/56E-T2;N1-010-X	m3789	5,5	1,68	2,42	1	3
40N/56E-T2;N1-010-X	m3790	5,77	1,91	2,81	1	2
40N/56E-T2;N1-010-X	m3791	5,99	1,69	1,98	1	2

40N/56E-T2;N1-010-X	m3792	6,9	1,6	2,01	1	3
40N/56E-T2;N1-010-X	m3793	6,85	1,82	2	2	3
40N/56E-T2;N1-010-X	m3794	6,35	2,35	2,59	1	2
40N/56E-T2;N1-010-X	m3795	7,31	2,02	1,81	1	3
40N/56E-T2;N1-010-X	m3796	6,06	1,63	2,18	1	3
40N/56E-T2;N1-010-X	m3797	6,2	1,69	2,68	1	2
40N/56E-T2;N1-010-X	m3798	6,6	2,03	2,45	2	2
40N/56E-T2;N1-010-X	m3799	6,2	1,9	2,06	1	3
40N/56E-T2;N1-010-X	m3800	8,69	2,13	2,31	1	3
40N/56E-T2;N1-010-X	m3801	4,88	2,49	7,71	1	3
40N/56E-T2;N1-010-X	m3802	6,64	1,64	1,89	2	3
40N/56E-T2;N1-010-X	m3803	6,01	1,6	2,19	1	3
40N/56E-T2;N1-010-X	m3804	5,54	1,66	2,02	1	3
40N/56E-T2;N1-010-X	m3805	6,06	1,35	1,72	1	2
40N/56E-T2;N1-010-X	m3806	5,23	1,96	8,29	1	2
40N/56E-T2;N1-010-X	m3807	7,29	1,91	1,83	1	3
40N/56E-T2;N1-010-X	m3808	5,98	1,35	3,15	1	2
40N/56E-T2;N1-010-X	m3809	6,6	2,14	2,31	1	3
40N/56E-T2;N1-010-X	m3810	6,78	1,76	2,2	1	3
40N/56E-T2;N1-010-X	m3811	6,89	1,71	1,57	2	3
40N/56E-T2;N1-010-X	m3812	6,11	1,49	2,7	1	2
40N/56E-T2;N1-010-X	m3813	5,31	1,37	2,35	1	2
40N/56E-T2;N1-010-X	m3814	5,53	1,88	1,94	2	3
40N/56E-T2;N1-010-X	m3815	6,34	1,58	1,93	1	3

40N/56E-T2;N1-010-X	m3816	6,28	1,6	2,24	2	2
40N/56E-T2;N1-010-X	m3817	6,4	1,97	2,81	1	2
40N/56E-T2;N1-010-X	m3818	5,43	1,61	2,65	3	2
40N/56E-T2;N1-010-X	m3819	8,36	1,54	2,4	1	2
40N/56E-T2;N1-010-X	m3820	6,26	1,79	1,68	1	1
40N/56E-T2;N1-010-X	m3821	6,23	1,59	1,14	1	3
40N/56E-T2;N1-010-X	m3822	7,44	1,91	1,21	2	3
40N/56E-T2;N1-010-X	m3823	5,55	1,67	2,63	1	2
40N/56E-T2;N1-010-X	m3824	6,44	1,82	2,89	1	2
40N/56E-T2;N1-010-X	m3825	6,17	1,75	1,26	1	3
40N/56E-T2;N1-010-X	m3826	6,4	2,09	2,15	1	3
40N/56E-T2;N1-010-X	m3827	5,07	1,51	2,88	3	
40N/56E-T2;N1-010-X	m3828	6,35	2,12	2,34	1	3
40N/56E-T2;N1-010-X	m3829	5,87	1,68	3,28	1	2
40N/56E-T2;N1-010-X	m3830	5,51	1,55	0,8	2	3
40N/56E-T2;N1-010-X	m3831	5,78	1,59	2,77	1	2
40N/56E-T2;N1-010-X	m3832	6,17	1,64	1,93	1	2
40N/56E-T2;N1-010-X	m3833	6,8	1,41	2,16	2	2
40N/56E-T2;N1-010-X	m3834	6,28	1,54	1,75	1	2
40N/56E-T2;N1-010-X	m3835	6,35	1,64	1,88	1	3
40N/56E-T2;N1-010-X	m3836	6,27	1,51	1,7	1	2
40N/56E-T2;N1-010-X	m3837	6,04	1,66	1,78	1	3
40N/56E-T2;N1-010-X	m3838	6,46	1,74	2,55	1	2
40N/56E-T2;N1-010-X	m3839	6,32	1,59	1,38	2	3

40N/56E-T2;N1-010-X	m3840	6,3	1,4	2,53	1	2
40N/56E-T2;N1-010-X	m3841	6,21	1,89	1,45	1	3
40N/56E-T2;N1-010-X	m3842	5,73	1,79	1,94	2	3
40N/56E-T2;N1-010-X	m3843	5,49	1,64	1,63	1	3
40N/56E-T2;N1-010-X	m3844	5,41	1,22	3,14	2	
40N/56E-T2;N1-010-X	m3845	6,14	2,05	2,18	1	3
40N/56E-T2;N1-010-X	m3846	4,84	1,52	2,65	1	3
40N/56E-T2;N1-010-X	m3847	6,28	1,93	1,38	1	3
40N/56E-T2;N1-010-X	m3848	6,12	2,13	2,11	1	3
40N/56E-T2;N1-010-X	m3849	6,11	1,74	1,42	2	3
40N/56E-T2;N1-010-X	m3850	6,41	1,68	1,9	1	2
40N/56E-T2;N1-010-X	m3851	5,64	1,35	2,48	1	3
40N/56E-T2;N1-010-X	m3852	5,44	1,44	1,48	1	2
40N/56E-T2;N1-010-X	m3853	5,6	1,66	1,96	1	3
40N/56E-T2;N1-010-X	m3854	5,9	1,85	1,99	1	2
40N/56E-T2;N1-010-X	m3855	5,78	1,24	2,29	2	2
40N/56E-T2;N1-010-X	m3856	5,33	1,42	2,45	3	2
40N/56E-T2;N1-010-X	m3857	5,58	1,8	2,27	1	3
40N/56E-T2;N1-010-X	m3858	6,06	1,73	1,72	1	2
40N/56E-T2;N1-010-X	m3859	5,93	1,71	1,63	1	2
40N/56E-T2;N1-010-X	m3860	6,45	2,98	2,1	1	3
40N/56E-T2;N1-010-X	m3861	6,08	1,95	1,68	1	3
40N/56E-T2;N1-010-X	m3862	4,5	1,3	2,26	3	3
40N/56E-T2;N1-010-X	m3863	6,11	1,78	1,56	1	3

40N/56E-T2;N1-010-X	m3864	6,18	1,78	1,71	1	3
40N/56E-T2;N1-010-X	m3865	4,72	1,59	1,41	2	3
40N/56E-T2;N1-010-X	m3866	6,31	1,52	2,1	1	3
40N/56E-T2;N1-010-X	m3867	6,03	1,89	1,58	1	3
40N/56E-T2;N1-010-X	m3868	5,85	1,6	1,99	1	3
40N/56E-T2;N1-010-X	m3869	6,59	1,59	1,41	2	3
40N/56E-T2;N1-010-X	m3870	5,33	1,37	1,4	2	3
40N/56E-T2;N1-010-X	m3871	5,54	1,48	2,51	1	2
40N/56E-T2;N1-010-X	m3872	6,52	1,31	1,69	1	3
40N/56E-T2;N1-010-X	m3873	6,02	1,6	1,81	1	3
40N/56E-T2;N1-010-X	m3874	6,26	1,9	1,44	2	2
40N/56E-T2;N1-010-X	m3875	5,91	1,92	1,77	1	
40N/56E-T2;N1-010-X	m3876	5,7	1,82	1,58	1	3
40N/56E-T2;N1-010-X	m3877	5,55	1,78	2,41	1	3
40N/56E-T2;N1-010-X	m3878	6,2	1,52	1,7	1	3
40N/56E-T2;N1-010-X	m3879	4,95	1,44	2,83	1	
40N/56E-T2;N1-010-X	m3880	6,81	2,03	2,07	1	3
40N/56E-T2;N1-010-X	m3881	5,76	1,45	1,68	1	3
40N/56E-T2;N1-010-X	m3882	5,31	1,36	2,26	3	2
40N/56E-T2;N1-010-X	m3883	6,05	1,7	1,68	1	3
40N/56E-T2;N1-010-X	m3884	5,86	1,62	1,28	2	2
40N/56E-T2;N1-010-X	m3885	6,55	1,67	1,92	1	2
40N/56E-T2;N1-010-X	m3886	5,89	1,48	1,26	1	2
40N/56E-T2;N1-010-X	m3887	4,73	0,98	1,59	1	2
40N/56E-	m3888	5,74	1,88	1,2	1	3

T2;N1-010-X						
40N/56E-T2;N1-010-X	m3889	5,96	1,63	1,29	2	3
40N/56E-T2;N1-010-X	m3890	4,47	1,32	1,96	1	3
40N/56E-T2;N1-010-X	m3891	5,97	1,59	1,46	1	2
40N/56E-T2;N1-010-X	m3892	5,76	1,84	1,24	1	1
40N/56E-T2;N1-010-X	m3893	5,57	1,56	1,89	1	2
40N/56E-T2;N1-010-X	m3894	5,35	1,48	1,32	2	3
40N/56E-T2;N1-010-X	m3895	5,39	1,9	1,57	1	3
40N/56E-T2;N1-010-X	m3896	5,69	1,67	0,87	1	3
40N/56E-T2;N1-010-X	m3897	4,92	1,09	2,02	1	3
40N/56E-T2;N1-010-X	m3898	6,74	1,63	2,17	1	2
40N/56E-T2;N1-010-X	m3899	5,2	1,49	1,48	1	3
40N/56E-T2;N1-010-X	m3900	5,88	1,64	1,4	1	3
40N/56E-T2;N1-010-X	m3901	5,11	1,71	1,58	1	3
40N/56E-T2;N1-010-X	m3902	6,94	1,5	1,76	1	
40N/56E-T2;N1-010-X	m3903	5,74	1,3	1,6	1	2
40N/56E-T2;N1-010-X	m3904	4,65	1,56	2,39	1	
40N/56E-T2;N1-010-X	m3905	5,72	1,61	0,95	1	3
40N/56E-T2;N1-010-X	m3906	5,88	1,54	1,45	1	3
40N/56E-T2;N1-010-X	m3907	4,74	1,51	1,77	1	3
40N/56E-T2;N1-010-X	m3908	4,3	1,3	2,36	1	3
40N/56E-T2;N1-010-X	m3909	5,35	1,38	2,03	1	2
40N/56E-T2;N1-010-X	m3910	5,64	1,62	1,29	1	3
40N/56E-T2;N1-010-X	m3911	4,9	1,64	1,25	1	3
40N/56E-T2;N1-010-X	m3912	5,75	2	2,23	1	3

40N/56E-T2;N1-010-X	m3913	5,47	1,84	1,62	1	1
40N/56E-T2;N1-010-X	m3914	5,15	1,71	1,89	1	2
40N/56E-T2;N1-010-X	m3915	4,84	1,56	1,65	1	3
40N/56E-T2;N1-010-X	m3916	5,98	1,73	1,37	1	3
40N/56E-T2;N1-010-X	m3917	5,15	1,67	0,97	1	1
40N/56E-T2;N1-010-X	m3918	4,9	1,48	1,1	1	3
40N/56E-T2;N1-010-X	m3919	5,66	1,99	1,55	1	3
40N/56E-T2;N1-010-X	m3920	5,11	1,67	1,07	2	3
40N/56E-T2;N1-010-X	m3921	4,81	1,29	0,78	2	1
40N/56E-T2;N1-010-X	m3922	5,9	1,52	1,13	1	2
40N/56E-T2;N1-010-X	m3923	6,03	1,77	1,31	1	3
40N/56E-T2;N1-010-X	m3924	6,05	1,84	1,13	1	1
40N/56E-T2;N1-010-X	m3925	4,42	1,37	1,61	1	3
40N/56E-T2;N1-010-X	m3926	5,58	1,54	1,29	1	3
40N/56E-T2;N1-010-X	m3927	5,36	1,4	1,83	1	2
40N/56E-T2;N1-010-X	m3928	5,05	1,2	1,48	1	2
40N/56E-T2;N1-010-X	m3929	5,76	1,72	1,66	1	3
40N/56E-T2;N1-010-X	m3930	5,75	1,71	1,37	1	3
40N/56E-T2;N1-010-X	m3931	6,44	2,15	2,57	1	2
40N/56E-T2;N1-010-X	m3932	6,17	1,97	2,91	1	3
62-G;331-T2-D	m3933	8,95	1,56	2,26	2	3
62-G;331-T2-D	m3934	10,35	4,6	4,92	1	2
62-G;331-T2-D	m3935	10,47	1,87	3,38	1	2

62-G;331-T2-D	m3936	8,66	1,85	3,52	2	3
62-G;331-T2-D	m3937	10,17	1,39	2,3	2	2
62-G;331-T2-D	m3938	9,29	2,19	2,57	1	2
62-G;331-T2-D	m3939	9,77	1,68	3,05	2	1
62-G;331-T2-D	m3940	10,76	1,89	2,83	1	2
62-G;331-T2-D	m3941	10,2	2,18	1,81	1	3
62-G;331-T2-D	m3942	8,95	1,84	2,9	2	3
62-G;331-T2-D	m3943	9,6	1,96	3,37	1	2
62-G;331-T2-D	m3944	9,37	1,76	3,42	2	3
62-G;331-T2-D	m3945	10,93	1,98	2,22	1	2
62-G;331-T2-D	m3946	12,02	1,9	2,57	1	2
62-G;331-T2-D	m3947	12,45	1,73	2,47	1	2
62-G;331-T2-D	m3948	10,66	1,41	3,12	1	2
62-G;331-T2-D	m3949	9,96	2,62	4,64	1	2
62-G;331-T2-D	m3950	7,45	2,11	2,55	2	2
62-G;331-T2-D	m3951	10,75	1,48	2,38	2	2
62-G;331-T2-D	m3952	8,15	2,11	3,76	1	2
62-G;331-T2-D	m3953	9,03	2,3	2,86	1	2
62-G;331-T2-D	m3954	10,76	1,5	3,12	2	2
62-G;331-T2-D	m3955	9,65	1,92	3,64	1	2
62-G;331-T2-D	m3956	9,84	3,24	3,79	1	3
62-G;331-T2-D	m3957	10,75	1,62	1,73	2	2
62-G;331-T2-D	m3958	10,6	1,87	2,5	1	3
62-G;331-T2-D	m3959	10,98	1,66	2,32	1	2

62-G;331-T2-D	m3960	8,14	1,93	2,5	2	2
62-G;331-T2-D	m3961	10,47	1,82	3,3	1	2
62-G;331-T2-D	m3962	9,68	1,67	2,01	2	3
62-G;331-T2-D	m3963	8,97	2,3	2,79	1	3
62-G;331-T2-D	m3964	9,92	2,77	2,96	1	3
62-G;331-T2-D	m3965	8,27	1,84	2,36	1	2
62-G;331-T2-D	m3966	9,44	1,65	2,86	2	2
62-G;331-T2-D	m3967	8,62	1,85	3,04	1	2
62-G;331-T2-D	m3968	10,85	2,09	5,17	1	2
62-G;331-T2-D	m3969	9,55	2,2	3,29	1	2
62-G;331-T2-D	m3970	8,67	1,88	2,1	2	3
62-G;331-T2-D	m3971	8,6	1,67	2,22	1	2
62-G;331-T2-D	m3972	8,63	1,8	3,01	1	3
62-G;331-T2-D	m3973	8,51	1,78	3,02	1	2
62-G;331-T2-D	m3974	10,41	1,83	1,73	1	3
62-G;331-T2-D	m3975	9,35	2,64	3,84	1	2
62-G;331-T2-D	m3976	8,7	2,62	2,3	1	3
62-G;331-T2-D	m3977	9,26	1,6	2,31	2	2
62-G;331-T2-D	m3978	9,45	1,79	3,48	1	2
62-G;331-T2-D	m3979	9,02	2,67	1,96	1	3
62-G;331-T2-D	m3980	9,1	1,93	3,62	1	2
62-G;331-T2-D	m3981	8	1,87	4,09	1	2
62-G;331-T2-D	m3982	8,58	1,92	2	2	3
62-G;331-T2-D	m3983	10,25	2,07	2,24	1	1

62-G;331-T2-D	m3984	10,6	2,2	3,17	1	
62-G;331-T2-D	m3985	9,68	1,85	3,08	1	2
62-G;331-T2-D	m3986	9,72	1,6	1,88	1	3
62-G;331-T2-D	m3987	10,13	1,76	2,34	1	2
62-G;331-T2-D	m3988	6,84	1,55	1,82	1	3
62-G;331-T2-D	m3989	9,07	2,34	3	1	3
62-G;331-T2-D	m3990	7,45	1,7	3,62	1	2
62-G;331-T2-D	m3991	8,35	2,11	2,02	1	3
62-G;331-T2-D	m3992	7,1	1,91	2,33	1	2
62-G;331-T2-D	m3993	8,62	2,05	2,37	1	2
62-G;331-T2-D	m3994	8,18	1,96	4,1	1	3
62-G;331-T2-D	m3995	8,41	1,82	3,25	1	2
62-G;331-T2-D	m3996	9,08	1,9	3,27	1	2
62-G;331-T2-D	m3997	8,86	1,66	2,32	2	3
62-G;331-T2-D	m3998	10,04	1,83	3,05	1	2
62-G;331-T2-D	m3999	11,28	2,05	2,43	1	2
62-G;331-T2-D	m4000	10,35	1,67	3,19	1	2
62-G;331-T2-D	m4001	9	1,71	2,06	2	3
62-G;331-T2-D	m4002	7,8	2,26	2,33	1	3
62-G;331-T2-D	m4003	7,21	1,77	2,63	3	2
62-G;331-T2-D	m4004	8,8	2,53	2,37	1	3
62-G;331-T2-D	m4005	6,93	1,56	2,55	1	2
62-G;331-T2-D	m4006	8,31	2,47	3,22	1	3
62-G;331-T2-D	m4007	7,24	1,89	0,75	2	3

62-G;331-T2-D	m4008	7,62	2,1	3,5	1	3
62-G;331-T2-D	m4009	8,38	1,99	1,38	1	3
62-G;331-T2-D	m4010	8,56	1,82	1,61	1	2
62-G;331-T2-D	m4011	10,52	1,93	4,49	1	2
62-G;331-T2-D	m4012	10,75	1,75	4,23	1	2
62-G;331-T2-D	m4013	8,73	1,76	3,01	1	2
62-G;331-T2-D	m4014	9,11	1,81	2,33	1	2
62-G;331-T2-D	m4015	8,71	2,38	2,22	1	2
62-G;331-T2-D	m4016	8,68	1,76	2,45	1	2
62-G;331-T2-D	m4017	6,99	1,92	4,48	1	2
62-G;331-T2-D	m4018	8,92	1,7	3,19	1	2
62-G;331-T2-D	m4019	8,82	2,03	3,6	1	2
62-G;331-T2-D	m4020	9,35	1,77	4,04	1	2
62-G;331-T2-D	m4021	9,19	2,08	3,51	1	2
62-G;331-T2-D	m4022	9,02	1,79	3,2	1	2
62-G;331-T2-D	m4023	10,82	2,08	4,36	1	2
62-G;331-T2-D	m4024	8,49	2	3,58	1	2
62-G;331-T2-D	m4025	8,35	2,12	3,19	2	2
62-G;331-T2-D	m4026	8,01	1,81	3,25	1	2
62-G;331-T2-D	m4027	8,68	1,69	3,38	1	2
62-G;331-T2-D	m4028	8,75	1,93	2,26	1	3
62-G;331-T2-D	m4029	8,48	2,12	3,24	1	1
62-G;331-T2-D	m4030	12,07	1,99	3,22	1	2
62-G;331-T2-D	m4031	9,6	2,48	2,92	1	2
62-G;331-T2-D	m4032	8,34	1,74	1,75	2	2

D						
62-G;331-T2-D	m4033	6,98	2,25	1,59	1	1
62-G;331-T2-D	m4034	6,61	1,55	3,14	2	2
62-G;331-T2-D	m4035	8,87	1,66	2,9	1	2
62-G;331-T2-D	m4036	7,37	1,81	2,24	1	2
62-G;331-T2-D	m4037	10,18	2,07	3,2	1	3
62-G;331-T2-D	m4038	9,25	2,03	3,32	1	2
62-G;331-T2-D	m4039	8,46	1,66	1,66	1	2
62-G;331-T2-D	m4040	9,17	1,77	2,25	2	2
62-G;331-T2-D	m4041	7,15	2,41	3,02	1	2
62-G;331-T2-D	m4042	8,89	2,83	3,23	1	2
62-G;331-T2-D	m4043	9,01	2,16	4,26	1	2
62-G;331-T2-D	m4044	9,01	2,21	2,37	1	3
62-G;331-T2-D	m4045	9,02	1,87	2,56	1	2
62-G;331-T2-D	m4046	8,41	1,65	2,56	1	2
62-G;331-T2-D	m4047	9,04	2,41	3,56	1	2
62-G;331-T2-D	m4048	8,26	1,97	2,93	1	2
62-G;331-T2-D	m4049	9,27	1,74	3,15	1	2
62-G;331-T2-D	m4050	8,37	2,35	2,41	1	3
62-G;331-T2-D	m4051	8,55	1,97	3,49	1	2
62-G;331-T2-D	m4052	7,55	1,63	3,02	1	2
62-G;331-T2-D	m4053	9,22	2,22	3,03	1	3
62-G;331-T2-D	m4054	8,1	1,91	3,51	1	3
62-G;331-T2-D	m4055	8,92	2,24	3,39	1	3

62-G;331-T2-D	m4056	8,76	2,02	3,57	1	3
62-G;331-T2-D	m4057	7,58	1,75	1,91	1	2
62-G;331-T2-D	m4058	8,98	1,82	2,65	1	3
62-G;331-T2-D	m4059	8,01	2,41	1,9	1	3
62-G;331-T2-D	m4060	9,4	1,63	2,32	1	2
62-G;331-T2-D	m4061	7,57	1,96	2,67	1	2
62-G;331-T2-D	m4062	7,18	1,75	3,34	1	2
62-G;331-T2-D	m4063	8,28	2,35	4,02	1	2
62-G;331-T2-D	m4064	9,66	2,89	3,32	1	3
62-G;331-T2-D	m4065	8,5	1,55	2,89	1	2
62-G;331-T2-D	m4066	8,28	2,29	2,25	1	3
62-G;331-T2-D	m4067	8,07	1,54	3,07	1	2
62-G;331-T2-D	m4068	8,98	2,78	2,9	1	2
62-G;331-T2-D	m4069	9,32	2,09	3,69	1	2
62-G;331-T2-D	m4070	8,35	2,29	1,81	1	3
62-G;331-T2-D	m4071	7,97	1,94	3,2	1	2
62-G;331-T2-D	m4072	7,83	2,17	2,95	1	3
62-G;331-T2-D	m4073	8,43	1,83	1,94	2	3
62-G;331-T2-D	m4074	8,39	1,7	1,68	1	3
62-G;331-T2-D	m4075	7,46	1,52	2,75	1	3
62-G;331-T2-D	m4076	7,83	1,98	2,6	1	3
62-G;331-T2-D	m4077	7,95	1,92	2,54	1	2
62-G;331-T2-D	m4078	9,06	2,45	2,53	1	3

62-G;331-T2-D	m4079	8,97	1,9	2,58	1	2
62-G;331-T2-D	m4080	8,25	1,81	2,16	1	2
62-G;331-T2-D	m4081	8,48	1,71	2	1	2
62-G;331-T2-D	m4082	10,02	1,87	1,56	1	3
40N/53E-T2;N5-039-X	m4083	5,47	1,47	3,9	1	2
40N/53E-T2;N5-039-X	m4084	5,69	1,47	2,74	1	2
40N/53E-T2;N5-039-X	m4085	6,23	1,54	2,34	1	2
40N/53E-T2;N5-039-X	m4086	6,15	1,76	1,92	1	3
40N/53E-T2;N5-039-X	m4087	5,23	1,52	1,22	1	3
40N/53E-T2;N5-039-X	m4088	5,83	1,73	1,51	2	2
40N/53E-T2;N5-039-X	m4089	5,87	1,41	2,85	1	2
40N/53E-T2;N5-039-X	m4090	4,4	1,4	2,19	1	2
40N/53E-T2;N5-039-X	m4091	6,24	1,93	1,81	1	3
40N/53E-T2;N5-039-X	m4092	6,11	1,94	2,78	1	3
40N/53E-T2;N5-039-X	m4093	5,89	1,84	3,64	1	2
40N/53E-T2;N5-039-X	m4094	5,74	1,51	2,28	2	3
40N/53E-T2;N5-039-X	m4095	5,99	1,4	1,7	1	3
40N/53E-T2;N5-039-X	m4096	6,62	1,73	1,53	2	3
40N/53E-T2;N5-039-X	m4097	6,2	1,74	1,35	1	3
40N/53E-T2;N5-039-X	m4098	6,23	1,81	2,39	1	2
40N/53E-T2;N5-039-X	m4099	6,76	1,72	2,64	2	3
40N/53E-T2;N5-039-X	m4100	5,03	1,27	2,49	1	3
40N/53E-T2;N5-039-X	m4101	5,97	2,12	1,37	1	3
40N/53E-T2;N5-039-X	m4102	6,37	1,63	2,32	1	2

40N/53E-T2;N5-039-X	m4103	5,87	1,68	1,54	1	3
40N/53E-T2;N5-039-X	m4104	5,54	1,48	2,36	3	2
40N/53E-T2;N5-039-X	m4105	5,92	1,76	1,25	2	3
40N/53E-T2;N5-039-X	m4106	6,19	1,95	1,98	1	2
40N/53E-T2;N5-039-X	m4107	9,29	1,93	3,19	1	3
40N/53E-T2;N5-039-X	m4108	5,95	1,35	2,6	1	2
40N/53E-T2;N5-039-X	m4109	6,44	1,46	1,77	1	2
40N/53E-T2;N5-039-X	m4110	6,11	1,73	2,02	1	2
40N/53E-T2;N5-039-X	m4111	4,3	1,05	2,35	1	2
40N/53E-T2;N5-039-X	m4112	5,23	1,48	2,23	1	2
40N/53E-T2;N5-039-X	m4113	5,21	1,67	1,65	2	3
40N/53E-T2;N5-039-X	m4114	3,93	1,16	2,22	1	2
40N/53E-T2;N5-039-X	m4115	6,12	1,81	1,81	1	2
40N/53E-T2;N5-039-X	m4116	6,79	1,63	1,76	1	3
40N/53E-T2;N5-039-X	m4117	5,77	2,05	1,97	1	3
40N/53E-T2;N5-039-X	m4118	6,37	1,62	1,29	1	3
40N/53E-T2;N5-039-X	m4119	5,73	1,5	2,25	2	3
40N/53E-T2;N5-039-X	m4120	4,63	1,64	1,83	1	2
40N/53E-T2;N5-039-X	m4121	4,72	1,62	1,53	2	2
40N/53E-T2;N5-039-X	m4122	4,33	1,24	1,9	1	2
40N/53E-T2;N5-039-X	m4123	6,2	1,73	0,77	1	3
40N/53E-T2;N5-039-X	m4124	6,03	1,71	1,34	1	3
40N/53E-T2;N5-039-X	m4125	4,21	1,31	1,34	1	3
40N/53E-T2;N5-039-X	m4126	4,78	1,24	1,36	1	2

40N/53E-T2;N5-039-X	m4127	4,73	1,63	1,28	1	2
40N/53E-T2;N5-039-X	m4128	4,57	1,34	1,52	1	2
40N/53E-T2;N5-039-X	m4129	3,95	1,29	1,23	2	2
40N/53E-T2;N5-039-X	m4130	5,61	1,64	1,28	2	3
40N/53E-T2;N5-039-X	m4131	6,72	1,98	2,31	2	3
40N/53E-T2;N5-039-X	m4132	5,27	1,71	1,65	1	3
40N/53E-T2;N5-039-X	m4133	6,44	1,87	1,77	1	3
40N/53E-T2;N5-039-X	m4134	4,27	1,02	2,63	1	2
40N/53E-T2;N5-039-X	m4135	5,23	1,32	1,98	3	3
40N/53E-T2;N5-039-X	m4136	5,88	1,54	2	2	2
40N/53E-T2;N5-039-X	m4137	4,25	1,65	1,89	1	3
40N/53E-T2;N5-039-X	m4138	6,6	1,68	1,54	1	3
40N/53E-T2;N5-039-X	m4139	4,64	1,22	2,45	1	2
40N/53E-T2;N5-039-X	m4140	6,42	1,33	1,97	1	2
40N/53E-T2;N5-039-X	m4141	5,87	1,84	1,91	1	3
40N/53E-T2;N5-039-X	m4142	7,04	1,73	1,51	1	3
40N/53E-T2;N5-039-X	m4143	4,64	1,66	1,92	1	2
40N/53E-T2;N5-039-X	m4144	4,97	1,71	1,49	1	2
40N/53E-T2;N5-039-X	m4145	4,51	0,92	2,26	1	2
40N/53E-T2;N5-039-X	m4146	5,82	2	0,89	1	3
40N/53E-T2;N5-039-X	m4147	4,15	1,25	1,84	1	2
40N/53E-T2;N5-039-X	m4148	5,82	1,66	1,65	1	3
40N/53E-T2;N5-039-X	m4149	4,89	1,77	1,71	1	3
40N/53E-T2;N5-039-X	m4150	4,31	1,17	1,78	1	2
40N/53E-	m4151	6,16	1,53	1,63	1	2

T2;N5-039-X						
40N/53E-T2;N5-039-X	m4152	4,3	1,41	2,53	1	3
40N/53E-T2;N5-039-X	m4153	6,48	1,48	2	1	3
40N/53E-T2;N5-039-X	m4154	4,77	1,28	2,63	1	2
40N/53E-T2;N5-039-X	m4155	4,65	1,19	1,22	1	2
40N/53E-T2;N5-039-X	m4156	4,93	1,7	1,92	1	3
40N/53E-T2;N5-039-X	m4157	4,18	1,17	0,81	1	3
40N/53E-T2;N5-039-X	m4158	5,45	1,32	2,05	1	2
40N/53E-T2;N5-039-X	m4159	3,91	1,19	1,44	1	3
40N/53E-T2;N5-039-X	m4160	4,04	1,09	1,23	2	3
40N/53E-T2;N5-039-X	m4161	4,09	1,31	2,18	1	2
40N/53E-T2;N5-039-X	m4162	7,23	1,87	1,03	1	3
40N/53E-T2;N5-039-X	m4163	4,63	1,83	1,29	1	3
40N/53E-T2;N5-039-X	m4164	5,11	1,53	2,23	2	2
40N/53E-T2;N5-039-X	m4165	4,51	1,21	2,19	1	3
40N/53E-T2;N5-039-X	m4166	5,3	1,54	1,95	1	2
40N/53E-T2;N5-039-X	m4167	4,42	1,88	1,2	1	3
40N/53E-T2;N5-039-X	m4168	5,14	1,64	2,21	1	3
40N/53E-T2;N5-039-X	m4169	4,48	1,13	2,61	1	2
40N/53E-T2;N5-039-X	m4170	4,39	1,46	1,83	1	2
40N/53E-T2;N5-039-X	m4171	4,23	1,4	1,53	1	3
40N/53E-T2;N5-039-X	m4172	4,47	1,18	2,04	1	2
40N/53E-T2;N5-039-X	m4173	4,81	1,56	1,78	2	3
40N/53E-T2;N5-039-X	m4174	3,94	1,24	1,2	1	3
40N/53E-T2;N5-039-X	m4175	4,64	1,41	2,09	1	3

40N/53E-T2;N5-039-X	m4176	5,13	1,56	1,62	1	2
40N/53E-T2;N5-039-X	m4177	6,02	1,93	1,48	1	3
40N/53E-T2;N5-039-X	m4178	5,73	1,65	1,43	1	3
40N/53E-T2;N5-039-X	m4179	4,67	1,58	1,72	1	3
40N/53E-T2;N5-039-X	m4180	4,66	1,3	0,91	2	3
40N/53E-T2;N5-039-X	m4181	4,59	1,6	1,15	2	3
40N/53E-T2;N5-039-X	m4182	4,58	1,84	1,48	2	3
40N/53E-T2;N5-039-X	m4183	5,06	1,32	1,89	1	2
40N/53E-T2;N5-039-X	m4184	4,63	1,62	1,6	1	3
40N/53E-T2;N5-039-X	m4185	4,22	1,36	1,88	1	2
40N/53E-T2;N5-039-X	m4186	5,35	1,62	1,47	1	3
40N/53E-T2;N5-039-X	m4187	4,8	1,17	2,19	1	2
40N/53E-T2;N5-039-X	m4188	4,79	1,66	1,81	1	2
40N/53E-T2;N5-039-X	m4189	5,46	1,56	1,7	1	2
40N/53E-T2;N5-039-X	m4190	4,07	1,53	2,2	1	3
40N/53E-T2;N5-039-X	m4191	4,09	1,53	1,41	2	3
40N/53E-T2;N5-039-X	m4192	4,1	1,27	1,08	1	2
40N/53E-T2;N5-039-X	m4193	5,62	1,47	1,36	1	3
40N/53E-T2;N5-039-X	m4194	4,33	1,41	2,16	1	3
40N/53E-T2;N5-039-X	m4195	4,79	1,15	1,56	1	3
40N/53E-T2;N5-039-X	m4196	4,61	1,69	1,33	1	3
40N/53E-T2;N5-039-X	m4197	4,67	1,87	1,5	1	3
40N/53E-T2;N5-039-X	m4198	4,49	1,4	1,02	1	3
40N/53E-T2;N5-039-X	m4199	5,03	1,64	1,83	1	3
43N/70E-	m4200	6,85	2,08	2,65	1	3

T2;N10-002-X						
43N/70E-T2;N10-002-X	m4201	6,88	1,23	2,9	1	2
43N/70E-T2;N10-002-X	m4202	6,45	1,73	3,02	1	3
43N/70E-T2;N10-002-X	m4203	6,52	1,48	1,74	1	3
43N/70E-T2;N10-002-X	m4204	6,11	2,9	1,97	1	3
43N/70E-T2;N10-002-X	m4205	6,99	1,61	3,11	2	
43N/70E-T2;N10-002-X	m4206	6,36	2,57	3,11	1	
43N/70E-T2;N10-002-X	m4207	6,56	1,57	1,46	1	2
41N/54E-T2;N5-007-X	m4208	6,43	2,02	1,81	1	2
41N/54E-T2;N5-007-X	m4209	7,58	1,56	2,4	1	2
41N/54E-T2;N5-007-X	m4210	6,59	1,83	2,36	1	2
41N/54E-T2;N5-007-X	m4211	5,31	1,51	1,4	1	3
41N/54E-T2;N5-007-X	m4212	6,73	1,41	1,81	1	3
41N/54E-T2;N5-007-X	m4213	6,7	1,68	1,89	1	3
41N/54E-T2;N5-007-X	m4214	7,05	1,5	1,72	1	2
N43E/70E-T2;N10-003-X	m4215	4,73	1,19	2,07	1	2
N43E/70E-T2;N10-003-X	m4216	4,49	1,48	1,74	1	3
N43E/70E-T2;N10-003-X	m4217	5,61	1,54	1,05	1	3
N43E/70E-T2;N10-003-X	m4218	4,02	1,29	1,38	1	1
N43E/70E-T2;N10-003-X	m4219	3,28	1,35	1,08	1	3
N43E/70E-T2;N10-003-X	m4220	4,12	1,28	1,22	2	3
41N/53E-T2;N5-014-X	m4221	3,73	1,43	2,45	1	2
41N/53E-	m4222	4,11	1,08	1,32	1	2

T2;N5-014-X						
41N/53E-T2;N5-014-X	m4223	4,41	1,28	2,56	1	2
41N/53E-T2;N5-014-X	m4224	3,7	1,68	1,13	1	3
41N/53E-T2;N5-014-X	m4225	4,13	1,43	2,25	1	3
41N/53E-T2;N5-014-X	m4226	3,18	1,31	1,71	1	3
41N/53E-T2;N5-014-X	m4227	3,98	1,2	1,2	1	1
41N/53E-T2;N5-014-X	m4228	4,56	1,61	1,86	1	2
41N/53E-T2;N5-014-X	m4229	3,11	1,18	1,02	1	3
41N/53E-T2;N5-014-X	m4230	5,53	1,49	1,3	1	3
41N/53E-T2;N5-014-X	m4231	4,03	1,22	1,01	1	3
41N/53E-T2;N5-014-X	m4232	3,58	1,22	1,92	1	
41N/53E-T2;N5-014-X	m4233	5,08	1,67	1,45	1	2
41N/53E-T2;N5-014-X	m4234	4,51	1,25	2,04	1	2
41N/53E-T2;N5-014-X	m4235	4,05	1,44	1,25	1	3
41N/53E-T2;N5-014-X	m4236	3,77	1,47	1,66	1	2
41N/53E-T2;N5-014-X	m4237	4,42	1,41	1,16	1	1
41N/53E-T2;N5-014-X	m4238	4,59	1,3	1,83	1	3
41N/53E-T2;N5-014-X	m4239	5,11	1,72	1,12	1	1
41N/53E-T2;N5-014-X	m4240	3,85	1,3	2,37	1	3
41N/53E-T2;N5-014-X	m4241	3,97	1,2	1,49	2	2
41N/53E-T2;N5-014-X	m4242	4,19	1,46	1,42	2	2
41N/53E-T2;N5-014-X	m4243	4,31	1,35	1,11	1	2
41N/53E-T2;N5-014-X	m4244	3,84	1,28	1,82	1	2
41N/53E-T2;N5-014-X	m4245	3,41	0,94	1,57	1	2

41N/53E-T2;N5-014-X	m4246	3,82	1,38	2,16	1	
41N/53E-T2;N5-014-X	m4247	3,62	1,24	1,9	1	2
41N/56E-T2;N1-022-X	m4248	8,9	1,81	3,62	1	2
41N/56E-T2;N1-022-X	m4249	9,5	1,9	3,73	1	2
41N/56E-T2;N1-022-X	m4250	7,56	2,34	1,65	3	2
41N/56E-T2;N1-022-X	m4251	8,74	2,31	3,13	1	
41N/56E-T2;N1-022-X	m4252	9,46	2,67	4,21	1	3
41N/56E-T2;N1-022-X	m4253	7,61	2,12	2,6	1	1
41N/56E-T2;N1-022-X	m4254	8,73	2,07	3,72	1	2
41N/56E-T2;N1-022-X	m4255	6,53	1,96	3,61	1	2
41N/56E-T2;N1-022-X	m4256	8,78	1,93	2,13	2	2
41N/56E-T2;N1-022-X	m4257	6,63	1,53	2,6	2	2
41N/56E-T2;N1-022-X	m4258	8,83	2,17	3,73	2	3
41N/56E-T2;N1-022-X	m4259	9,49	2,07	2,84	1	2
41N/56E-T2;N1-022-X	m4260	7,4	1,78	1,09	2	3
41N/56E-T2;N1-022-X	m4261	8,52	2,14	1,89	1	3
41N/56E-T2;N1-022-X	m4262	8,43	2,12	1,99	1	3
41N/56E-T2;N1-022-X	m4263	8,13	2,15	3,81	1	2
41N/56E-T2;N1-022-X	m4264	9,85	1,92	3,59	1	2
41N/56E-T2;N1-022-X	m4265	7,47				
41N/56E-T2;N1-022-X	m4266	8,21	1,92	2,16	1	2
41N/56E-T2;N1-022-X	m4267	7,86	2	2,7	1	3
41N/56E-T2;N1-022-X	m4268	6,74	1,72	3,17	1	2

41N/56E-T2;N1-022-X	m4269	7,16	1,78	1,87	1	3
41N/56E-T2;N1-022-X	m4270	6,7	1,57	2,39	1	2
41N/56E-T2;N1-022-X	m4271	6,66	2,81	1,9	1	3
41N/56E-T2;N1-022-X	m4272	6,87	2,18	2,7	1	2
41N/56E-T2;N1-022-X	m4273	7,34	2,16	1,87	1	3
41N/56E-T2;N1-022-X	m4274	7,35	1,74	2,42	1	2
41N/56E-T2;N1-022-X	m4275	7,63	1,95	2,21	1	3
41N/56E-T2;N1-022-X	m4276	7,46	1,88	1,64	1	3
41N/56E-T2;N1-022-X	m4277	9,77	2,19	1,48	1	3
41N/56E-T2;N1-022-X	m4278	8,25	2,22	3,22	1	
41N/56E-T2;N1-022-X	m4279	6,69	3,01	2,59	1	1
41N/56E-T2;N1-022-X	m4280	6,96	1,84	1,86	2	3
41N/53E-T2;N6-003-X	m4281	5,33	1,76	1,7	1	3
41N/53E-T2;N6-003-X	m4282	4,63	1,38	2,54	1	2
41N/53E-T2;N6-003-X	m4283	5,04	1,71	3,87	1	2
41N/53E-T2;N6-003-X	m4284	4,77	1,34	2,15	3	3
41N/53E-T2;N6-003-X	m4285	4,97	1,75	3,41	1	2
41N/53E-T2;N6-003-X	m4286	4,77	1,63	3,58	3	2
41N/53E-T2;N6-003-X	m4287	5,25	1,52	2,26	1	2
41N/53E-T2;N6-003-X	m4288	5,17	1,81	1,4	1	3
41N/53E-T2;N6-003-X	m4289	4,47	1,16	2,12	1	2
41N/53E-T2;N6-003-X	m4290	4,46	1,5	1,89	2	3
41N/53E-T2;N6-003-X	m4291	4,8	1,66	1,29	1	3

41N/53E-T2;N6-003-X	m4292	5,13	1,52	2,24	1	2
41N/53E-T2;N6-003-X	m4293	5,1	1,93	1,7	1	3
41N/53E-T2;N6-003-X	m4294	4,34	1,13	2,53	1	2
41N/53E-T2;N6-003-X	m4295	4,57	1,78	1,6	1	3
41N/53E-T2;N6-003-X	m4296	4,39	1,52	1,85	1	3
41N/53E-T2;N6-003-X	m4297	5,08	1,3	1,65	1	3
41N/53E-T2;N6-003-X	m4298	4,74	1,51	2,04	1	2
41N/53E-T2;N6-003-X	m4299	4,25	1,02	1,99	1	2
41N/53E-T2;N6-003-X	m4300	5,18	1,43	2,19	1	2
41N/53E-T2;N6-003-X	m4301	5,19	1,45	1,46	2	3
41N/53E-T2;N6-003-X	m4302	5,22	1,97	2	1	3
41N/53E-T2;N6-003-X	m4303	4,09	1,41	0	1	3
41N/53E-T2;N6-003-X	m4304	4,46	1,42	2,57	1	2
41N/53E-T2;N6-003-X	m4305	4,53	1,54	1,39	1	3
41N/53E-T2;N6-003-X	m4306	4,69	1,28	3,04	1	2
41N/53E-T2;N6-003-X	m4307	3,25	1,27	1,41	1	3
41N/53E-T2;N6-003-X	m4308	4,42	1,31	2,19	1	2
41N/53E-T2;N6-003-X	m4309	4,41	1,07	1,49	1	2
41N/53E-T2;N6-003-X	m4310	4,39	1,14	2,1	1	2
41N/53E-T2;N6-003-X	m4311	4,74	1,35	2,81	3	2
41N/53E-T2;N6-003-X	m4312	4,57	1,27	1,71	1	3
41N/53E-T2;N6-003-X	m4313	5,35	2,01	2,36	1	3
41N/53E-T2;N6-003-X	m4314	5,32	1,51	1,82	1	3
41N/53E-T2;N6-003-X	m4315	5,25	1,57	1,75	1	3

41N/53E-T2;N6-003-X	m4316	4,76	1,56	1,44	2	3
41N/53E-T2;N6-003-X	m4317	4,08	1,25	1,87	3	3
41N/53E-T2;N6-003-X	m4318	6,38	1,55	1,81	1	3
41N/53E-T2;N6-003-X	m4319	4,85	1,48	2,68	1	2
41N/53E-T2;N6-003-X	m4320	4,8	1,49	2,63	1	3
41N/53E-T2;N6-003-X	m4321	4,01	1,53	1,8	1	3
41N/53E-T2;N6-003-X	m4322	5,03	1,49	1,75	1	3
41N/53E-T2;N6-003-X	m4323	5,54	1,46	1,44	1	2
41N/53E-T2;N6-003-X	m4324	4,71	1,42	1,59	1	2
41N/53E-T2;N6-003-X	m4325	4,51	1,73	1,65	1	2
41N/53E-T2;N6-003-X	m4326	4,25	1,25	1,96	1	3
41N/53E-T2;N6-003-X	m4327	5,53	1,4	2,42	1	2
41N/53E-T2;N6-003-X	m4328	4,5	1,93	0,91	2	3
41N/53E-T2;N6-003-X	m4329	4,13	1,32	1,66	1	3
41N/53E-T2;N6-003-X	m4330	4,92	1,26	2,26	3	3
41N/53E-T2;N6-003-X	m4331	5,43	1,56	1,79	1	3
41N/53E-T2;N6-003-X	m4332	5,5	1,89	1,63	1	3
41N/53E-T2;N6-003-X	m4333	5,44	1,5	1,47	1	3
41N/53E-T2;N6-003-X	m4334	4,58	1,45	1,9	1	2
41N/53E-T2;N6-003-X	m4335	4,18	1,45	1,82	1	2
41N/53E-T2;N6-003-X	m4336	4,43	1,46	1,99	1	2
41N/53E-T2;N6-003-X	m4337	5,02	1,62	1,91	1	3
41N/53E-T2;N6-003-X	m4338	3,97	1,38	1,91	1	2
41N/53E-T2;N6-003-X	m4339	4	1,36	1,49	1	3

41N/53E-T2;N6-003-X	m4340	4,85	1,26	1,73	1	2
41N/53E-T2;N6-003-X	m4341	4,3	1,55	1,83	1	3
41N/53E-T2;N6-003-X	m4342	4,74	1,69	3,62	3	2
41N/53E-T2;N6-003-X	m4343	3,43	1,46	1,33	1	3
41N/53E-T2;N6-003-X	m4344	3,94	1,43	2,19	1	2
41N/53E-T2;N6-003-X	m4345	4,36	1,43	1,57	1	2
41N/53E-T2;N6-003-X	m4346	4,22	1,67	2,69	1	2
41N/53E-T2;N6-003-X	m4347	4,82	1,76	2,33	3	3
41N/53E-T2;N6-003-X	m4348	4,55	1,62	2,67	1	3
41N/53E-T2;N6-003-X	m4349	4,95	1,4	1,52	2	3
41N/53E-T2;N6-003-X	m4350	4,23	1,45	1,71	1	2
41N/53E-T2;N6-003-X	m4351	5,12	1,45	1,21	1	3
41N/53E-T2;N6-003-X	m4352	4,78	1,46	1,6	1	2
41N/53E-T2;N6-003-X	m4353	4,38	1,38	1,88	1	2
41N/53E-T2;N6-003-X	m4354	5,41	1,75	1,4	1	3
41N/53E-T2;N6-003-X	m4355	4,16	1,37	2,31	1	2
41N/53E-T2;N6-003-X	m4356	3,66	1,18	1,63	1	3
41N/53E-T2;N6-003-X	m4357	4,43	1,26	1,74	1	2
41N/53E-T2;N6-003-X	m4358	4,1	1,56	1,62	1	2
41N/53E-T2;N6-003-X	m4359	4,47	1,56	2,63	1	3
41N/53E-T2;N6-003-X	m4360	3,02	1,54	1,37	1	3
41N/53E-T2;N6-003-X	m4361	4,47	1,28	1,29	1	2
41N/53E-T2;N6-003-X	m4362	3,63	1,37	1,59	1	3
41N/53E-T2;N6-003-X	m4363	4,84	1,58	1,17	2	3
41N/53E-T2;N6-003-X	m4364	3,78	1,53	1,3	1	3

T2;N6-003-X						
41N/53E-T2;N6-003-X	m4365	3,8	1,36	1,84	1	2
41N/53E-T2;N6-003-X	m4366	3,62	1,36	1,43	1	1
41N/53E-T2;N6-003-X	m4367	4,28	1,66	1,19	1	3
41N/53E-T2;N6-003-X	m4368	3,89	1,64	0,89	1	3
41N/53E-T2;N6-003-X	m4369	3,72	1,25	1,78	1	3
41N/53E-T2;N6-003-X	m4370	3,97	1,51	1,4	1	3
41N/53E-T2;N6-003-X	m4371	4,5	1,42	2,22	1	3
41N/53E-T2;N6-003-X	m4372	5,65	1,61	1,26	1	2
41N/53E-T2;N6-003-X	m4373	6,07	1,55	1,24	1	2
41N/53E-T2;N6-003-X	m4374	4,39	1,71	1,31	1	3
41N/53E-T2;N6-003-X	m4375	4,13	1,23	1,67	1	3
41N/53E-T2;N6-003-X	m4376	4,95	1,68	2,26	1	3
41N/53E-T2;N6-003-X	m4377	4,56	1,82	1,72	1	3
41N/53E-T2;N6-003-X	m4378	4,48	1,45	1,25	1	2
41N/53E-T2;N6-003-X	m4379	3,7	1,55	1,64	1	3
41N/53E-T2;N6-003-X	m4380	3,76	1,3	1,89	1	3
41N/53E-T2;N6-003-X	m4381	5,12	1,34	1,28	1	3
41N/53E-T2;N6-003-X	m4382	3,81	1,35	1,54	1	3
41N/53E-T2;N6-003-X	m4383	4,09	1,26	1,33	1	3
41N/53E-T2;N6-003-X	m4384	4,85	1,53	0,82	1	3
41N/53E-T2;N6-003-X	m4385	4,28	1,52	1,51	1	2
41N/53E-T2;N6-003-X	m4386	4,06	1,41	1,73	1	3
41N/53E-T2;N6-003-X	m4387	3,69	1,38	1,47	1	2
41N/53E-	m4388	4,39	1,39	1,05	2	3

T2;N6-003-X						
41N/53E-T2;N6-003-X	m4389	4,31	1,4	1,06	1	3
41N/53E-T2;N6-003-X	m4390	4,2	1,57	1,86	1	3
41N/53E-T2;N6-003-X	m4391	3,6	1,5	1,64	1	3
41N/53E-T2;N6-003-X	m4392	3,84	1,25	1,33	1	2
41N/53E-T2;N6-003-X	m4393	3,9	1,47	0,69	1	3
41N/53E-T2;N6-003-X	m4394	3,75	1,07	2,31	1	
41N/53E-T2;N6-003-X	m4395	5,09	1,84	1,91	1	2
41N/53E-T2;N6-003-X	m4396	4,34	1,3	1,55	1	2
41N/53E-T2;N6-003-X	m4397	3,84	1,28	1,35	1	3
41N/53E-T2;N6-003-X	m4398	3,61	1,39	1,11	1	3
41N/53E-T2;N6-003-X	m4399	3,73	1,32	2,01	1	2
41N/53E-T2;N6-003-X	m4400	3,8	1,45	1,03	1	3
41N/53E-T2;N6-003-X	m4401	4,89	1,46	1,55	1	3
41N/53E-T2;N6-003-X	m4402	5,91	1,5	1,53	1	3
41N/53E-T2;N6-003-X	m4403	4,16	1,57	1,12	1	3
41N/53E-T2;N6-003-X	m4404	4,3	1,39	1,26	1	3
41N/53E-T2;N6-003-X	m4405	3,79	1,32	1,27	1	3
41N/53E-T2;N6-003-X	m4406	4,5	1,4	1,52	1	3
41N/53E-T2;N6-003-X	m4407	3,7	1,42	1,2	1	3
41N/53E-T2;N6-003-X	m4408	3,59	1,45	1,58	1	3
41N/53E-T2;N6-003-X	m4409	4,75	1,31	1,05	1	3
41N/53E-T2;N6-003-X	m4410	3,95	1,37	1,49	1	3
41N/53E-T2;N6-003-X	m4411	3,78	1,45	1,73	1	2

41N/53E-T2;N6-003-X	m4412	3,98	1,36	1,71	1	2
41N/53E-T2;N6-003-X	m4413	3,81	1,21	1,14	1	3
41N/53E-T2;N6-003-X	m4414	4,58	1,22	1,28	1	3
41N/53E-T2;N6-003-X	m4415	3,89	1,29	1,44	1	2
41N/53E-T2;N6-003-X	m4416	3,92	1,73	1,55	1	2
41N/53E-T2;N6-003-X	m4417	3,39	1,17	0,79	1	3
41N/53E-T2;N6-003-X	m4418	3,77	1,57	1,35	1	1
40N/53E-T2;N6-015-X	m4419	7,75	1,62	1,95	1	3
40N/53E-T2;N6-015-X	m4420	7,63	1,76	2,24	1	3
40N/53E-T2;N6-015-X	m4421	6,39	1,9	0,82	1	3
40N/53E-T2;N6-015-X	m4422	8,05	1,66	2,86	1	3
40N/53E-T2;N6-015-X	m4423	6,38	2,2	2,11	2	2
40N/53E-T2;N6-015-X	m4424	7,69	1,74	1,4	2	3
40N/53E-T2;N6-015-X	m4425	6,42	1,66	1,49	2	3
40N/53E-T2;N6-015-X	m4426	4,24	0,94	1,98	1	2
40N/53E-T2;N6-015-X	m4427	4,46	1,06	2,29	1	2
40N/53E-T2;N6-015-X	m4428	5,68	1,46	1,75	1	2
40N/53E-T2;N6-015-X	m4429	6,41	1,63	2,24	1	2
40N/53E-T2;N6-015-X	m4430	7,41	1,83	1,61	1	3
40N/53E-T2;N6-015-X	m4431	6,44	2,8	2,22	1	3
40N/53E-T2;N6-015-X	m4432	5,85	1,94	1,32	1	3
40N/53E-T2;N6-015-X	m4433	5,88	1,64	2,15	1	3
40N/53E-T2;N6-015-X	m4434	6,43	1,57	1,54	1	1
40N/53E-T2;N6-015-X	m4435	5,1	1,07	2,6	1	3

40N/53E-T2;N6-015-X	m4436	6,17	1,76	1,59	1	3
40N/53E-T2;N6-015-X	m4437	5,47	1,14	1,41	1	3
40N/53E-T2;N6-015-X	m4438	5,44	1,33	1,4	1	3
41N/53E-T2;N5-013-X	m4439	5,96	1,71	2,26	1	2
41N/53E-T2;N5-013-X	m4440	6,26	1,58	2,45	1	3
41N/53E-T2;N5-013-X	m4441	6,27	1,47	2,06	1	3
41N/53E-T2;N5-013-X	m4442	5,69	1,4	2,58	1	2
41N/53E-T2;N5-013-X	m4443	4,75	1,76	3,34	1	3
41N/53E-T2;N5-013-X	m4444	7,24	1,8	2,36	1	2
41N/53E-T2;N5-013-X	m4445	6,37	1,69	2,25	1	3
41N/53E-T2;N5-013-X	m4446	5,88	1,79	1,25	2	1
41N/53E-T2;N5-013-X	m4447	6,4	1,85	2,9	1	3
41N/53E-T2;N5-013-X	m4448	4,92	1,53	2,78	1	
41N/53E-T2;N5-013-X	m4449	5,81	1,45	1,38	1	3
41N/53E-T2;N5-013-X	m4450	5,81	1,35	1,8	1	3
41N/53E-T2;N5-013-X	m4451	5,55	1,61	1,24	2	3
41N/53E-T2;N5-013-X	m4452	5,28	1,45	1,79	2	2
41N/53E-T2;N5-013-X	m4453	5,98	1,7	1,61	1	2
40N/53E-T2;N3-012-X	m4454	10,55	2,27	2,64	1	3
40N/53E-T2;N3-012-X	m4455	7,59	1,82	2,32	1	3
40N/53E-T2;N3-012-X	m4456	7,77	1,86	2,23	2	3
40N/53E-T2;N3-012-X	m4457	8,78	1,7	2,93	1	2
40N/53E-T2;N3-012-X	m4458	9,53	1,86	2,7	2	3

40N/53E-T2;N3-012-X	m4459	8,67	1,89	1,71	2	3
40N/53E-T2;N3-012-X	m4460	7,13	2,22	2,73	1	3
40N/53E-T2;N3-012-X	m4461	8,04	1,73	2,47	1	3
40N/53E-T2;N3-012-X	m4462	11,08	1,54	1,82	1	2
40N/53E-T2;N3-012-X	m4463	6,24	2,05	2,66	1	2
40N/53E-T2;N3-012-X	m4464	8,33	1,94	1,9	1	1
40N/53E-T2;N3-012-X	m4465	8,83	1,72	2,09	1	3
40N/53E-T2;N3-012-X	m4466	5,26	1,27	1,9	1	1
40N/53E-T2;N3-012-X	m4467	8,01	1,76	2,45	1	3
40N/53E-T2;N3-012-X	m4468	10,06	2,25	2,69	1	2
40N/53E-T2;N3-012-X	m4469	8,79	2,21	1,99	1	1
40N/53E-T2;N3-012-X	m4470	10,76	1,77	2,03	1	2
40N/53E-T2;N3-012-X	m4471	9,51	1,61	2,35	1	2
40N/53E-T2;N3-012-X	m4472	8,72	2	2,94	1	2
40N/53E-T2;N3-012-X	m4473	8,82	1,91	3,01	1	2
39N/54E-T2;N2-005-X	m4474	5,65	1,76	2,13	1	3
39N/54E-T2;N2-005-X	m4475	6,79	1,72	2,48	2	3
39N/54E-T2;N2-005-X	m4476	6,46	1,9	1,97	1	2
39N/54E-T2;N2-005-X	m4477	6,44	1,59	2,26	1	2
39N/54E-T2;N2-005-X	m4478	6,27	1,59	2,1	1	2
39N/54E-T2;N2-005-X	m4479	6,16	2,04	2,26	1	3
39N/54E-T2;N2-005-X	m4480	6	1,93	2,61	1	2
39N/54E-	m4481	5,75	1,46	2,03	1	3

T2;N2-005-X						
39N/54E-T2;N2-005-X	m4482	5,45	1,72	2,53	1	2
39N/54E-T2;N2-005-X	m4483	7,06	1,74	2,06	1	3
39N/54E-T2;N2-005-X	m4484	5,79	1,89	1,18	2	3
39N/54E-T2;N2-005-X	m4485	5,58	1,81	1,29	2	3
39N/54E-T2;N2-005-X	m4486	6,35	1,85	1,88	1	2
39N/54E-T2;N2-005-X	m4487	5,05	1,39	1,27	1	2
39N/54E-T2;N2-005-X	m4488	6,19	1,53	2,02	1	3
39N/54E-T2;N2-005-X	m4489	5,58	1,52	1,72	2	3
39N/54E-T2;N2-005-X	m4490	6,43	1,86	2,45	1	2
39N/54E-T2;N2-005-X	m4491	7,72	1,5	2,31	1	2
39N/54E-T2;N2-005-X	m4492	5,79	1,68	1,1	1	3
41N/51E-T2;N6-006-X	m4493	6,15	1,5	1,97	1	3
41N/51E-T2;N6-006-X	m4494	6,05	1,76	2,27	1	1
41N/51E-T2;N6-006-X	m4495	5,96	1,63	1,93	1	2
41N/51E-T2;N6-006-X	m4496	5,69	1,7	2,27	1	2
41N/51E-T2;N6-006-X	m4497	5,69	2,07	1,36	2	3
41N/51E-T2;N6-006-X	m4498	5,83	1,62	1,16	1	1
41N/51E-T2;N6-006-X	m4499	6,03	1,59	1,03	1	1
41N/51E-T2;N6-006-X	m4500	5,48	1,64	1,3	1	3
41N/51E-T2;N6-006-X	m4501	5,88	1,76	1,72	1	3
41N/51E-T2;N6-006-X	m4502	5,31	1,62	0,91	1	3
41N/51E-T2;N6-006-X	m4503	5,61	1,84	1,67	1	3

41N/51E-T2;N6-006-X	m4504	5,73	1,35	2,18	1	2
41N/51E-T2;N6-006-X	m4505	4,98	1,72	1,29	2	3
41N/51E-T2;N6-006-X	m4506	5,33	1,36	1,52	1	2
41N/51E-T2;N6-006-X	m4507	5,86	1,51	1,14	2	3
41N/51E-T2;N6-006-X	m4508	4,96	1,51	2,32	2	
41N/51E-T2;N6-006-X	m4509	4,81	1,66	2,77	1	
41N/56E-T2;N1-023-X	m4510	6,97	1,9	1,57	1	2
41N/56E-T2;N1-023-X	m4511	7,16	1,78	2,71	1	2
41N/56E-T2;N1-023-X	m4512	7,23	1,73	2,21	1	3
41N/56E-T2;N1-023-X	m4513	5,41	1,87	2,67	2	3
41N/56E-T2;N1-023-X	m4514	6,15	1,62	2,4	1	3
41N/56E-T2;N1-023-X	m4515	5,98	1,72	1,93	1	3
41N/56E-T2;N1-023-X	m4516	6,3	1,84	2,96	1	2
41N/56E-T2;N1-023-X	m4517	6,15	2,08	1,81	1	3
41N/56E-T2;N1-023-X	m4518	6,09	1,68	1,5	2	3
41N/56E-T2;N1-023-X	m4519	6,23	1,95	2,72	1	2
41N/56E-T2;N1-023-X	m4520	5,24	2,06	3,22	1	3
41N/56E-T2;N1-023-X	m4521	5,56	2,28	1,99	1	3
41N/56E-T2;N1-023-X	m4522	6,1	1,73	3	1	2
41N/56E-T2;N1-023-X	m4523	4,97	2,03	2,5	1	3
41N/56E-T2;N1-023-X	m4524	6,43	1,97	3,21	1	2
41N/56E-T2;N1-023-X	m4525	6,3	1,98	2,18	1	2

41N/56E-T2;N1-023-X	m4526	5,06	1,79	2,54	3	1
41N/56E-T2;N1-023-X	m4527	5,22	2,04	2,79	1	3
41N/56E-T2;N1-023-X	m4528	6,03	2,11	1,69	2	2
41N/56E-T2;N1-023-X	m4529	6,94	1,55	1,74	1	3
41N/56E-T2;N1-023-X	m4530	6,65	1,66	2,01	1	2
41N/56E-T2;N1-023-X	m4531	7,12	1,68	1,9	1	1
41N/56E-T2;N1-023-X	m4532	6,3	1,65	1,74	1	3
41N/56E-T2;N1-023-X	m4533	5,51	2	2,93	1	3
41N/56E-T2;N1-023-X	m4534	5,97	1,89	1,56	1	3
41N/56E-T2;N1-023-X	m4535	6,93	1,93	2,22	1	2
41N/56E-T2;N1-023-X	m4536	6,3	1,95	1,31	1	1
41N/56E-T2;N1-023-X	m4537	6,44	1,94	2,32	1	2
41N/56E-T2;N1-023-X	m4538	6,33	1,68	2,11	1	3
41N/56E-T2;N1-023-X	m4539	5,41	1,61	1,83	1	3
41N/56E-T2;N1-023-X	m4540	5,98	1,57	2,21	1	3
41N/56E-T2;N1-023-X	m4541	5,8	1,57	1,56	1	3
41N/56E-T2;N1-023-X	m4542	5,9	1,82	2,37	1	3
41N/56E-T2;N1-023-X	m4543	6,49	1,48	1,76	1	2
41N/56E-T2;N1-023-X	m4544	6,26	1,95	2,24	1	3
41N/56E-T2;N1-023-X	m4545	6,04	1,81	1,94	1	3
41N/56E-T2;N1-023-X	m4546	6,07	1,78	2,19	1	3
41N/56E-T2;N1-023-X	m4547	5,98	1,69	1,81	1	3
41N/56E-T2;N1-023-X	m4548	5,52	1,76	2,46	1	3

41N/56E-T2;N1-023-X	m4549	6,55	2,09	1,83	1	3
41N/56E-T2;N1-023-X	m4550	6,44	1,65	1,58	1	3
41N/56E-T2;N1-023-X	m4551	5,62	1,43	1,03	2	3
41N/56E-T2;N1-023-X	m4552	5,98	1,75	2,3	1	2
41N/56E-T2;N1-023-X	m4553	6,42	2,04	1,89	1	3
41N/56E-T2;N1-023-X	m4554	4,21	1,48	2,28	1	1
41N/56E-T2;N1-023-X	m4555	5,89	1,95	0,82	1	3
41N/56E-T2;N1-023-X	m4556	6,62	1,93	1,09	1	3
41N/56E-T2;N1-023-X	m4557	6,55	1,59	1,74	1	3
41N/56E-T2;N1-023-X	m4558	6,4	1,64	1,54	1	3
41N/56E-T2;N1-023-X	m4559	7,04	1,67	1,58	1	3
41N/56E-T2;N1-023-X	m4560	6,6	1,51	1,79	1	3
41N/56E-T2;N1-023-X	m4561	5,68	1,78	1,55	1	3
41N/56E-T2;N1-023-X	m4562	5,98	1,91	1,45	1	3
41N/56E-T2;N1-023-X	m4563	6,06	1,7	1,85	1	3
41N/56E-T2;N1-023-X	m4564	5,55	1,48	1,21	1	3
41N/56E-T2;N1-023-X	m4565	5,41	1,51	2,58	1	2
41N/56E-T2;N1-023-X	m4566	5,76	1,51	1,42	1	3
41N/56E-T2;N1-023-X	m4567	5,24	1,35	1,97	1	3
41N/56E-T2;N1-023-X	m4568	5,75	1,57	1,34	1	2
41N/56E-T2;N1-023-X	m4569	7,23	2,01	2,4	1	3
41N/56E-T2;N1-023-X	m4570	6,03	1,73	1,89	1	3
40N/53E-T2;N5-038-X	m4571	6,78	2,03	1,93	1	3

40N/53E-T2;N5-038-X	m4572	8,51	1,77	1,79	1	3
40N/53E-T2;N5-038-X	m4573	8,07	1,56	1,88	1	3
40N/53E-T2;N5-038-X	m4574	7,39	1,97	3,17	1	2
40N/53E-T2;N5-038-X	m4575	8,04	1,59	2,77	2	3
40N/53E-T2;N5-038-X	m4576	7,58	1,8	1,91	1	1
40N/53E-T2;N5-038-X	m4577	6,22	1,5	3,7	3	2
40N/53E-T2;N5-038-X	m4578	7,4	1,88	1,09	2	3
40N/53E-T2;N5-038-X	m4579	7,61	1,79	2,98	1	3
40N/53E-T2;N5-038-X	m4580	6,23	1,93	1,76	2	3
40N/53E-T2;N5-038-X	m4581	7,86	1,94	2,03	1	1
40N/53E-T2;N5-038-X	m4582	6,01	2,12	2,21	1	1
40N/53E-T2;N5-038-X	m4583	7,19	1,66	2,44	1	2
40N/53E-T2;N5-038-X	m4584	6,88	1,75	1,48	1	3
40N/53E-T2;N5-038-X	m4585	7,37	2,04	1,97	1	3
40N/53E-T2;N5-038-X	m4586	7,64	1,75	2,76	1	2
40N/53E-T2;N5-038-X	m4587	7,56	1,66	1,82	2	2
40N/53E-T2;N5-038-X	m4588	7,35	1,86	3,32	1	2
40N/53E-T2;N5-038-X	m4589	7,75	1,92	1,2	2	3
40N/53E-T2;N5-038-X	m4590	7,15	1,86	1,71	2	3
40N/53E-T2;N5-038-X	m4591	7,74	1,61	2,22	1	3
40N/53E-T2;N5-038-X	m4592	7,72	2,09	2,71	1	3
40N/53E-T2;N5-038-X	m4593	6,93	1,82	2,14	1	2
40N/53E-T2;N5-038-X	m4594	8,21	1,76	2,75	1	3

40N/53E-T2;N5-038-X	m4595	8,18	1,86	1,21	2	3
40N/53E-T2;N5-038-X	m4596	6,13	1,92	2,49	1	3
40N/53E-T2;N5-038-X	m4597	6,47	2,45	3,04	1	3
40N/53E-T2;N5-038-X	m4598	7,1	1,83	1,31	1	2
40N/53E-T2;N5-038-X	m4599	7,36	1,57	2,07	1	2
40N/53E-T2;N5-038-X	m4600	6,92	1,75	2,03	1	2
40N/53E-T2;N5-038-X	m4601	6,92	1,84	2,4	1	3
40N/53E-T2;N5-038-X	m4602	6,39	1,32	1,73	1	1
40N/53E-T2;N5-038-X	m4603	6,14	1,63	2,12	1	2
40N/53E-T2;N5-038-X	m4604	6,64	1,44	1,53	1	3
40N/53E-T2;N5-038-X	m4605	7,17	1,65	1,75	1	3
40N/53E-T2;N5-038-X	m4606	6,87	1,47	1,48	1	3
40N/53E-T2;N5-038-X	m4607	7,42	1,78	1,93	1	3
40N/53E-T2;N5-038-X	m4608	6,99	1,77	2,21	1	3
40N/53E-T2;N5-038-X	m4609	7,45	2,38	2,45	1	3
40N/53E-T2;N5-038-X	m4610	7,24	1,75	1,38	1	3
40N/53E-T2;N5-038-X	m4611	5,32	1,22	2,27	1	2
40N/53E-T2;N5-038-X	m4612	5,92	1,37	1,39	1	1
40N/53E-T2;N5-038-X	m4613	7,05	1,6	1,36	1	3
40N/53E-T2;N6-016-X	m4614	4,5	1,64	1,96	2	3
40N/53E-T2;N6-016-X	m4615	4,01	1,34	2,58	1	3
40N/53E-T2;N6-016-X	m4616	4,1	1,31	1,19	2	3

40N/53E-T2;N6-016-X	m4617	4,55	1,32	2,52	1	2
40N/53E-T2;N6-016-X	m4618	4,79	1,68	1,98	2	3
40N/53E-T2;N6-016-X	m4619	6,14	1,43	2,26	1	2
40N/53E-T2;N6-016-X	m4620	3,8	1,1	2,13	1	3
40N/53E-T2;N6-016-X	m4621	4,12	1,32	1,75	1	3
40N/53E-T2;N6-016-X	m4622	5,25	1,69	1,73	1	3
40N/53E-T2;N6-016-X	m4623	4,03	1,25	1,2	1	3
40N/53E-T2;N6-016-X	m4624	4,04	1,47	0,97	1	3
40N/53E-T2;N6-016-X	m4625	4,26	1,45	1,84	1	3
40N/53E-T2;N6-016-X	m4626	4,26	1,31	1,03	1	3
40N/53E-T2;N6-016-X	m4627	4,15	1,19	1,22	1	3
40N/53E-T2;N6-016-X	m4628	5,11	1,69	1,19	1	2
40N/53E-T2;N6-016-X	m4629	5,81	1,86	1,61	1	2
40N/53E-T2;N6-016-X	m4630	5,42	1,69	1,53	1	3
40N/53E-T2;N6-016-X	m4631	6,57	2,39	1,51	1	3
40N/53E-T2;N3-013-X	m4632	6,31	2,24	2,43	1	3
40N/53E-T2;N3-013-X	m4633	4,97	1,51	2,62	3	2
40N/53E-T2;N3-013-X	m4634	6,28	1,79	1,96	1	3
40N/53E-T2;N3-013-X	m4635	6,32	1,84	2,45	1	3
40N/53E-T2;N3-013-X	m4636	7,05	1,82	1,79	1	3
40N/53E-T2;N3-013-X	m4637	6,52	1,49	1,86	1	2
40N/53E-T2;N3-013-X	m4638	6,56	1,5	2,32	1	2
40N/53E-T2;N3-013-X	m4639	6,75	1,57	1,77	1	3
40N/53E-T2;N3-013-X	m4640	5,53	1,8	1,96	1	3

40N/53E-T2;N3-013-X	m4641	5,56	1,94	1,92	1	3
40N/53E-T2;N3-013-X	m4642	5,7	2,04	1,06	1	1
40N/53E-T2;N3-013-X	m4643	6,11	1,61	1,44	1	3
40N/53E-T2;N3-013-X	m4644	6,62	1,63	1,5	1	2
40N/53E-T2;N3-013-X	m4645	6,03	1,52	1,81	1	3
40N/53E-T2;N3-013-X	m4646	5,99	1,93	1,43	2	3
40N/53E-T2;N3-013-X	m4647	5,16	1,61	0,99	1	3
40N/53E-T2;N3-013-X	m4648	6,14	1,73	1,39	2	3
40N/53E-T2;N3-013-X	m4649	6,6	1,63	2,33	1	1
40N/53E-T2;N3-013-X	m4650	6,12	1,79	1,65	1	3
40N/53E-T2;N3-013-X	m4651	6,2	1,46	1,43	1	3
41N/54E-T2;N5-008-X	m4652	4,75	1,49	1,89	3	2
41N/54E-T2;N5-008-X	m4653	4,66	1,61	1,45	1	3
41N/54E-T2;N5-008-X	m4654	4,08	1,04	2	1	2
41N/54E-T2;N5-008-X	m4655	4,63	1,4	1,78	1	3
41N/54E-T2;N5-008-X	m4656	4,84	1,76	1,67	2	3
41N/54E-T2;N5-008-X	m4657	4,9	1,47	2,6	1	2
41N/54E-T2;N5-008-X	m4658	4,37	1,59	3,42	1	2
41N/54E-T2;N5-008-X	m4659	4,66	0,99	1,9	1	2
41N/54E-T2;N5-008-X	m4660	4,11	1,63	2,36	1	3
41N/54E-T2;N5-008-X	m4661	5,71	1,45	1,51	1	3
41N/54E-T2;N5-008-X	m4662	5,02	1,35	1,59	1	2
41N/54E-	m4663	3,94	1,26	2,11	1	2

T2;N5-008-X						
41N/54E-T2;N5-008-X	m4664	4,62	1,67	1,47	1	3
41N/54E-T2;N5-008-X	m4665	4,11	1,35	2,65	1	2
41N/54E-T2;N5-008-X	m4666	4,58	1,46	1,67	1	3
41N/54E-T2;N5-008-X	m4667	3,79	1,38	1,93	1	3
41N/54E-T2;N5-008-X	m4668	4,34	1,37	1,33	1	3
41N/54E-T2;N5-008-X	m4669	5,78	1,59	1,73	1	3
41N/54E-T2;N5-008-X	m4670	5,45	1,6	1,26	1	3
41N/54E-T2;N5-008-X	m4671	3,96	1,21	1,74	1	2
41N/54E-T2;N5-008-X	m4672	4,4	1,27	1,41	1	2
41N/54E-T2;N5-008-X	m4673	4,39	1,62	1,46	1	3
41N/54E-T2;N5-008-X	m4674	6,19	1,98	1,09	1	3
41N/54E-T2;N5-008-X	m4675	4,52	1,44	1,47	1	3
41N/54E-T2;N5-008-X	m4676	5,31	1,73	1,26	1	3
41N/54E-T2;N5-008-X	m4677	6,19	1,79	2,46	1	3
41N/53E-T2;N6-002-X	m4678	6,3	1,66	2,25	1	2
41N/53E-T2;N6-002-X	m4679	5,35	1,65	2,79	1	2
41N/53E-T2;N6-002-X	m4680	5,64	1,68	1,55	2	3
41N/53E-T2;N6-002-X	m4681	6,13	1,68	3,32	1	2
41N/53E-T2;N6-002-X	m4682	7,02	1,82	1,95	1	3
41N/53E-T2;N6-002-X	m4683	6,9	1,67	3,03	1	3
41N/53E-T2;N6-002-X	m4684	6,87	1,8	1,35	1	3
41N/53E-	m4685	6,36	1,61	1,73	2	3

T2;N6-002-X						
41N/53E-T2;N6-002-X	m4686	6,88	1,7	1,99	1	3
41N/53E-T2;N6-002-X	m4687	6,73	1,96	3,54	1	2
41N/53E-T2;N6-002-X	m4688	5,83	1,57	1,72	1	3
41N/53E-T2;N6-002-X	m4689	5,48	1,66	1,94	1	2
41N/53E-T2;N6-002-X	m4690	5,66	1,47	1,5	1	3
41N/53E-T2;N6-002-X	m4691	6,17	1,7	1,89	1	3
41N/53E-T2;N6-002-X	m4692	7,32	1,49	2,12	2	2
41N/53E-T2;N6-002-X	m4693	6,28	1,57	1,87	2	2
41N/53E-T2;N6-002-X	m4694	6,35	1,41	1,77	1	3
41N/53E-T2;N6-002-X	m4695	6,68	1,62	1,43	1	1
41N/53E-T2;N6-002-X	m4696	6,61	2,2	1,99	1	3
41N/53E-T2;N6-002-X	m4697	5,76	1,68	2,87	1	2
41N/53E-T2;N6-002-X	m4698	6,75	1,71	1,16	1	3
41N/53E-T2;N6-002-X	m4699	6,75	1,9	1,69	1	3
41N/53E-T2;N6-002-X	m4700	5,51	1,32	2,52	1	
41N/53E-T2;N6-002-X	m4701	5,21	1,8	2,46	1	2
41N/53E-T2;N6-002-X	m4702	5,74	1,55	2,06	1	3
41N/53E-T2;N6-002-X	m4703	6,14	1,96	2,12	1	2
41N/53E-T2;N6-002-X	m4704	6,33	1,54	1,64	1	2
41N/53E-T2;N6-002-X	m4705	5,69	1,58	1,73	1	3
41N/53E-T2;N6-002-X	m4706	5,72	1,57	1,4	1	3
41N/53E-T2;N6-002-X	m4707	5,53	1,39	1,15	1	1

T2	m4708	5,83	1,25	3,1	1	3
Cuentas alargadas	m4709	7,36	3,79	16,94	1	3
Cuentas alargadas	m4710	4,73	2,17	10,97	3	3
Cuentas alargadas	m4711	6,83	2,71	14,85	3	3
Cuentas alargadas	m4712	6,26	3	17,32	1	3
Cuentas alargadas	m4713	6,86	2,63	14,48	3	3
Cuentas alargadas	m4714	7,95	2,32	15,9	3	3
Cuentas alargadas	m4715	4,9	2,05	9,54	1	2
Cuentas alargadas	m4716	6,69	2,63	11,11	1	2
Cuentas alargadas	m4717	7,77	2,68	13,84	1	2
Cuentas alargadas	m4718	6,26	2,56	17,43	1	2
Cuentas alargadas	m4719	7,56	2,61	13,05	1	2
Cuentas alargadas	m4720	7,97	2,56	14,3	1	3
Cuentas alargadas	m4721	7,84	2,44	15,82	1	3
Cuentas alargadas	m4722	9,13	3,2	21,56	1	2
Cuentas alargadas	m4723	6,02	2,59	12,52	1	2
Cuentas alargadas	m4724	6,53	2,73	15,56	1	2
Cuentas alargadas	m4725	5,63	2,37	13,43	2	3
Cuentas alargadas	m4726	7,44	2,64	12,48	1	2
Cuentas alargadas	m4727	7,11	2,39	10,27	1	3
Cuentas alargadas	m4728	6,8	2,58	11,97	1	3
Cuentas alargadas	m4729	6,32	2,97	15,41	1	2
Cuentas alargadas	m4730	7,37	2,42	16,8	3	2
Cuentas	m4731	6,52	2,58	17,73	1	2

alargadas						
Cuentas alargadas	m4732	7	2,56	14,38	1	2
Cuentas alargadas	m4733	6,68	2,63	16,62	1	2
Cuentas alargadas	m4734	5,91	2,93	11,54	1	2
Cuentas alargadas	m4735	6,7	2,9	15,29	1	2
Cuentas alargadas	m4736	7,19	2,89	18,88	1	2
Cuentas alargadas	m4737	7,78	2,6	15,43	1	2
Cuentas alargadas	m4738	5,61	1,96	9,82	1	2
Cuentas alargadas	m4739	6,28	3,34	20	1	2
Cuentas alargadas	m4740	6,46	3,17	17,79	1	2
Cuentas alargadas	m4741	5,17	2,39	8,07	1	3
Cuentas alargadas	m4742	6,07	2,42	13,54	1	2
Cuentas alargadas	m4743	7,2	3,11	15,78	1	2
Cuentas alargadas	m4744	7,03	3,08	16,98	1	3
Cuentas alargadas	m4745	7,2	2,57	10,37	1	3
Cuentas alargadas	m4746	6,67	2,54	11,22	1	3
Cuentas alargadas	m4747	5,88	2,78	10,87	1	2
Cuentas alargadas	m4748	4,97	1,93	8,8	1	3
Cuentas alargadas	m4749	6,63	2,45	10,14	1	3
Cuentas alargadas	m4750	8,23	2,89	13,25	1	3
Cuentas alargadas	m4751	8,54	2,97	16,23	1	2
Cuentas alargadas	m4752	8,41	2,68	13,42	1	3
Cuentas alargadas	m4753	5,03	2,05	9,02	1	3
Cuentas alargadas	m4754	7,46	2,6	10,76	1	3
Cuentas alargadas	m4755	6,39	2,36	14,18	1	2

Cuentas alargadas	m4756	6,94	3,18	17,68	1	2
Cuentas alargadas	m4757	6,56	2,58	9,74	1	3
Cuentas alargadas	m4758	6,65	3,07	10,29	1	1
Cuentas alargadas	m4759	7,19	1,42	14,25	1	
Cuentas alargadas	m4760	7,55	2,64	12,47	1	3
Cuentas alargadas	m4761	7,53	3,55	13,75	1	3
Cuentas alargadas	m4762	5,57	2,57	10,57	1	3
Cuentas alargadas	m4763	6,35	2,94	13,74	1	2
Cuentas alargadas	m4764	6,29	2,5	14,67	1	3
Cuentas alargadas	m4765	6,31	2,86	11,16	1	3
	m4766	6,61	1,56	2,47	1	3
	m4767	7,82	2,08	2,35	2	2
	m4768	9,16	1,98	2,28	1	3
	m4769	6,43	2,17	2,44	1	3
	m4770	9,29	2,01	2,01	2	3
	m4771	6,79	1,73	2,93	1	3
	m4772	9,17	2,07	3,44	1	3
	m4773	6,17	2,07	2,46	1	3
	m4774	5,7	1,55	1,9	2	2
	m4775	5,77	1,95	1,41	2	3
	m4776	6,56	1,77	1,89	1	3
	m4777	8,28	2,34	1,87	1	3
	m4778	7,21	1,65	1,49	1	2
	m4779	6,61	2,13	2	1	3
	m4780	6,34	1,63	2,08	1	2
	m4781	7,49	1,9	2,09	2	3
	m4782	7,28	2,04	2,09	1	3
	m4783	6,43	1,38	2,41	1	2
	m4784	5,32	1,86	2,34	1	2
	m4785	7,25	1,5	2,18	1	2
	m4786	5,98	1,76	2,24	1	1
	m4787	5,31	1,61	2,09	1	2
	m4788	8,36	1,78	2,1	2	3
	m4789	6,32	2,15	2,27	1	3

	m4790	6,9	2,25	3,05	1	3
	m4791	5,23	1,46	3,57	1	3
	m4792	6,36	1,79	1,84	1	3
	m4793	6,49	1,43	1,78	1	2
	m4794	8,11	1,84	1,69	1	3
	m4795	5,57	1,51	2,07	1	2
	m4796	6,28	1,63	1,72	1	3
	m4797	5,22	1,67	1,43	1	2
	m4798	6,05	1,43	1,35	1	2
	m4799	5,81	1,69	1,85	1	2
	m4800	6,7	2,48	1,97	1	3
	m4801	6,96	2,26	1,74	1	3
	m4802	5,43	1,52	2,05	1	3
	m4803	6,24	1,71	1,44	1	3
	m4804	5,87	1,62	1,1	1	3
	m4805	5,34	1,71	1,64	1	3
	m4806	8,97	1,9	2,58	1	3
	m4807	6,88	2,1	2,04	1	3
	m4808	6,35	2,28	1,86	1	1
	m4809	6,58	1,47	1,87	1	2
	m4810	7,77	1,7	2,27	1	3
	m4811	7,82	1,83	1,48	1	3
	m4812	5,92	1,62	1,37	1	3
	m4813	6,31	1,43	2,17	1	3
	m4814	6,11	1,75	1,28	1	3
	m4815	7,51	1,67	1,7	2	2
	m4816	5,25	1,58	2,08	2	2
	m4817	5,81	1,48	2,12	1	2
	m4818	4,08	1,48	2,49	1	3
	m4819	4,63	1,51	1,54	2	3
	m4820	3,7	1,39	2,38	1	2
	m4821	4,28	1,21	2	3	3
	m4822	3,42	1,13	1,21	1	1
	m4823	3,25	1,4	1,75	1	2
	m4824	3,97	1,25	1,62	1	2
	m4825	3,31	1,13	1,73	1	2
	m4826	3,96	1,23	2,04	1	3
	m4827	3,98	1,34	2,16	1	3
	m4828	4,92	1,7	2,82	1	3

	m4829	4,4	1,25	2,24	1	3
	m4830	4,66	1,44	1,16	1	3
	m4831	3,43	1,42	1,63	1	3
	m4832	4,23	1,49	1,69	1	3
	m4833	7,27	1,82	1,95	1	2
	m4834	8,72	2,08	1,52	2	3
	m4835	6	1,84	3,93	1	3
	m4836	11,96	1,73	3,1	1	2
	m4837	6,19	1,72	2,41	1	2
	m4838	4,94	2,13	4,27	1	3
	m4839	6,43	1,81	1,44	2	3
	m4840	6,27	1,55	2,79	1	3
	m4841	6,84	1,81	2	1	2
	m4842	5,75	1,31	2,49	3	3
	m4843	6,64	1,77	2,3	1	3
	m4844	6,29	2,11	1,48	1	2
	m4845	5,79	1,87	2,21	2	3
	m4846	8,24	1,73	1,5	1	3
	m4847	9,78	2	4,15	1	2
	m4848	7,12	2,14	1,07	1	3
	m4849	5,44	1,49	2,49	1	3
	m4850	6,26	1,44	1,37	1	3
	m4851	10,59	2,56	4,84	1	3
	m4852	11,68	1,9	3,89	1	3
	m4853	9,7	2	3,05	1	3
	m4854	8,72	1,75	3,49	1	2
	m4855	9,25	1,87	3,55	1	3
	m4856	10,66	2,27	2,51	1	2
	m4857	9,14	2,08	3,77	1	2
	m4858	9,71	2,4	3,17	1	3
	m4859	8,86	1,85	3,57	1	
	m4860	8,7	2,44	2,71	1	3
	m4861	7,89	1,9	1,98	2	3
	m4862	9,13	3,01	2,11	1	3
	m4863	9,87	1,69	1,98	1	2
	m4864	3,79	1,39	1,79	1	3
	m4865	2,7	1,09	2,37	1	3
	m4866	4,17	1,47	1,92	1	3

	m4867	4,38	1,41	1,41	1	3
	m4868	2,98	1,32	2,23	1	3
	m4869	4,44	1,21	2,19	1	3
	m4870	4,38	1,2	2,15	1	2
	m4871	3,84	1,32	2,37	1	2
	m4872	2,69	1,15	0,85	1	3
	m4873	2,61	1,38	0,93	1	3
	m4874	3,88	1,33	1	3	3
	m4875	2,46	1,31	1,28	1	3
	m4876	3,55	1,08	1,25	1	3
	m4877	3,18	1,19	1,38	1	3
	m4878	3,33	1,12	1,7	1	3
	m4879	3,31	1,65	1,4	1	3
	m4880	3,15	1,23	1,64	1	2
	m4881	3,48	1,4	2,35	1	3
	m4882	2,96	1,57	0,97	1	3
	m4883	3,83	1,4	1,25	1	3
	m4884	2,53	1,24	2,14	1	3
	m4885	3,9	1,42	1,73	1	3
	m4886	4,03	1,38	1,86	1	2
	m4887	3,63	1,01	1,28	1	3
	m4888	2,6	1,2	1,38	1	3
	m4889	4,85	1,73	1,49	1	3
	m4890	3,25	1,47	1,52	1	3
	m4891	3,22	1,24	1,25	1	3
	m4892	3,67	1,23	1,53	1	3
	m4893	5,81	1,83	1,42	1	3
	m4894	4,3	1,29	2,41	1	2
	m4895	6,12	1,76	0,72	1	3
	m4896	4,38	1,49	2,89	1	2
	m4897	6,09	1,47	1,53	1	3
	m4898	5,51	1,73	4,37	1	2
	m4899	6,02	1,53	2,76	2	3
	m4900	4,11	1,36	2,25	1	3
	m4901	7,12	1,94	2,16	1	1
	m4902	3,62	1,18	1,71	1	3
	m4903	4,61	1,45	3,89	1	2
	m4904	6,8	1,89	1,7	1	1
	m4905	5,89	1,53	2,17	1	2
	m4906	5,47	1,8	2,02	1	3
	m4907	6,97	1,77	1,86	1	2
	m4908	5,19	1,52	3,21	1	3

	m4909	5,52	1,68	2,67	1	3
	m4910	5,54	1,79	1,82	2	3
	m4911	5,33	1,86	2,09	2	3
	m4912	5,06	1,17	1,88	1	3
	m4913	3,64	1,26	1,09	1	1
	m4914	5,25	1,64	2,08	1	3
	m4915	5,22	1,6	1,56	1	3
	m4916	3,72	1,36	1,06	1	3
	m4917	5,28	1,68	2,9	1	3
	m4918	5,35	2,09	1,68	1	3
	m4919	6,36	1,78	1,41	1	3
	m4920	4,57	1,28	2,18	1	2
	m4921	3,92	1,3	1,93	1	3
	m4922	4,75	1,38	2,85	1	3
	m4923	5,59	1,46	1,83	1	2
	m4924	5,33	1,68	1,59	1	3
	m4925	3,65	1,11	1,91	1	3
	m4926	4,18	1,33	2,17	1	2
	m4927	5,83	1,66	1,75	1	3
	m4928	4,47	1,27	2,87	1	3
	m4929	6,98	2,08	3,87	1	3
	m4930	5,49	1,56	2,46	1	2
	m4931	4,37	1,46	1,22	1	3
	m4932	3,11	1,34	1,29	1	2
	m4933	5,44	1,44	1,68	1	2
	m4934	5,84	1,59	1,75	1	2
	m4935	3,63	1,18	1,53	1	2
	m4936	5,22	1,76	1,71	1	2
	m4937	4,25	1,38	3,32	1	2
	m4938	5,1	1,52	1,07	1	1
	m4939	4,68	1,42	1,14	1	1
	m4940	5,07	1,61	1,46	1	1
	m4941	6,14	1,62	1,35	1	3
	m4942	4,7	1,41	1,77	1	3
	m4943	5,63	1,76	2,62	1	2
	m4944	6,42	1,56	2,24	1	2
	m4945	5,51	1,64	1,06	1	3
	m4946	4,98	1,68	1,95	1	3
	m4947	4,35	1,31	2,52	1	2
	m4948	4,72	1,32	1,28	1	3
	m4949	4,95	1,18	2,28	1	2
	m4950	4,85	1,38	2	1	3

	m4951	5,72	1,81	1,77	1	3
	m4952	6,49	2,06	1,94	2	3
	m4953	2,31	0,86	1,7	1	3
	m4954	5,17	1,37	0,84	1	3
	m4955	6,24	1,7	1,56	1	3
	m4956	4,8	1,44	2,59	3	3
	m4957	6,24	2,04	1,47	1	3
	m4958	3,85	1,36	1,87	1	2
	m4959	3,52	1,32	2,19	1	3
	m4960	3,95	1,3	1,9	1	2
	m4961	5,98	1,63	2,82	1	2
	m4962	5,25	1,74	1,47	1	3
	m4963	4,3	1,4	1,56	1	3
	m4964	6,56	2,37	1,72	1	3
	m4965	5,86	1,63	1,6	1	2
	m4966	4,33	1,65	2,11	2	3
	m4967	4,03	1,71	2,18	1	3
	m4968	3,99	1,37	2,76	1	3
	m4969	4,89	1,5	2,13	1	3
	m4970	5,06	1,13	1,71	1	3
	m4971	3,75	1,41	1,72	1	3
	m4972	5,86	1,82	1,68	1	3
	m4973	3,24	1,02	1,39	1	3
	m4974	3,25	1,33	1,25	1	3
	m4975	4,3	1,56	1,79	1	3
	m4976	3,45	1,46	1,99	1	3
	m4977	6,16	1,9	2,19	1	3
	m4978	5,08	1,71	1,66	1	3
	m4979	5,83	1,72	0,97	1	3
	m4980	3,63	1,42	1,24	1	3
	m4981	6,45	1,74	1,73	1	2
	m4982	6,81	2,22	1,28	1	3
	m4983	5,51	1,72	1,91	1	3
	m4984	5,45	1,5	1,87	1	3
	m4985	5,69	1,44	1,06	1	3
	m4986	5,53	1,73	1,38	1	3
	m4987	5,67	1,56	1,71	1	3
	m4988	4,83	1,11	1,76	1	2
	m4989	4,89	1,24	1,61	1	2
	m4990	4,78	1,94	2,02	1	3
	m4991	5,57	1,55	1,78	1	2

	m4992	5,32	1,95	2,25	1	3
	m4993	3,88	0,98	1,57	1	3
	m4994	4,14	1,21	1,32	1	2
	m4995	4,6	1,41	2,15	1	3
	m4996	5,2	1,64	1,2	1	3
	m4997	4,55	1,33	1,9	1	3
	m4998	6,02	1,43	1,58	1	2
	m4999	5,34	1,29	1,6	1	3
	m5000	4,98	1,35	1,39	1	3

Leyenda:

<b>Color</b>	
Indefinido	1
Rojo	2
Morado	3
<b>Tipo de perforación</b>	
Cónico	1
Bicónico	2
Bicónico pulido	3

### Anexo 2: tabla pendientes de caracol

Numeración	Largo	Diámetro	Diámetro	Tipo	Tipo	Posición	Estado	Estado
------------	-------	----------	----------	------	------	----------	--------	--------

	(mm)	ápice (mm)	orificio (mm)	orificio ápice	orificio	orificio		conservación
O001	27,64	5,82	3,5	1	2	1	1	1
O002	23,78	9,98	4,53	1	6	2	2	1
O003	24,17	7,51	2,82	1	5	1	1	2
O004	24,57	8,37	3,56	2	7	1	2	2
O005	24,38	7,33	3,41	2	7	1	2	1
O006	25,73	7,94	3,7	1	1	1	2	1
O007	23,65	7,98	2,98	1	2	1	1	2
O008	26,05	6,49	3,8	2	3	1	1	1
O009	25,49	7,42	2,34	1	3	1	1	1
O010	26,25	6,97	2,21	1	4	1	1	1
O011	26,46	8,65	1,93	1	7	1	1	1
O012	25,86	7,17	3,6	2	3	2	2	1
O013	24,56	8,4	3,02	2	3	2	1	1
O014	25,55	7,88	3,07	1	3	1	1	1
O015	24,57	6,74	3,25	2	3	1	1	1
O016	24,8	8,24	2,13	2	3	1	1	1
O017	26,64	7,87	3,39	2	2	2	2	1
O018	26,54	6,74		1			3	1
O019	25,67	7,46	4,04	2	3	2	1	1
O020	26,18	6,88	3,89	2	5	1	1	1
O021	25,27	8,21	1,95	2	4	1	2	1
O022	25,17	6,89	3,2	1	3	2	1	2
O023	25,99	9,92	5,25	2	1	1	2	1
O024	24,32	7,37	2,22	2	4	1	1	1
O025	27,99	7,41	3,25	2	3	1	2	1
O026	30,89	9,41	3,96	2	3	1	1	1
O027	25,46	5,51	3,11	2	3	1	1	1
O028	26,66	7,61	4,39	2	3	1	1	1
O029	25,59	9,76	3,67	1	3	2	1	1
O030	23,74	9,52	4,73	1	1	1	1	1
O031	25,16	6,9	3,5	2	3	2	2	1
O032	22,59	7,89	3,73	1	3	2	1	1
O033	24,73	6,92	2,3	1	3	2	1	1
O034	24,67	7,06					3	1
O035	25,2		4,63		1	1	3	1
O036	20,99	6,59	3,68	2	3	2	2	1
O037	22,61	6,06	3,88	1	7	1	2	1
O038	23,36	5,33	3,52	1	1	1	1	1
O039	24,97	9,74	4,48	2	3	2	3	2
O040	26,76	7,8	5,39	2	3	1	3	1
O041	23,26		3,77			1	3	2
O042	24,5	7,95	3,05	1	1	1	1	1
O043	26,22	7,37	3,67	2	4	1	2	1
O044	24,2	7,77	2,75	2	3	2	1	1
O045	25,28	7,52	3,47	1	3	2	1	1
O046	22,15	6,79	3,56	1	3	1	1	1

0047	25,27						3	2
0048	25,88	7,78	6,24	2	3	1	1	1
0049	28,94	8,18	3,85	1	2	1	1	1
0050	24,65	5,47	3,65	1	1	1	1	1
0051	27,49	7,96	3,19	1	3	2	1	1
0052	26,97	7,26	3,79	1	7	1	1	1
0053	25,39	7,05	4,99	2	3	1	2	1
0054	25,13	9,3	5,42	2	5	1	2	1
0055	25,38	6,15	3,91	1	5	2	1	1
0056	22,89	8,14	3,53	2	1	1	2	1
0057	29,49	7,17	3,44	2	7	1	1	1
0058	24,91	7,91	2,9	2	5	1	1	1
0059	20,94	6,37	3,8	1	7	1	1	1
0060	22,07	6,22	3,75	2	1	1	1	1
0061	28,88	7,33	2,67	1	5	2	2	1
0062	30,2	5,8	3,86	2	2	1	2	1
0063	25,34	9,46	2,95	1	2	1	1	1
0064	22,47	8,4	2,53	1	4	1	1	1
0065	25,01	7,3	3,47	1	3	1	1	1
0066	24,51	7,41	4,1	1	1	1	2	1
0067	26,19	9,26	5,44	2	3	2	2	1
0068	24,83	6,58	4,2	1	4	1	1	1
0069	23,89	6,53	3,17	1	3	2	2	1
0070	24,21	6,83	5,03	2	3	2	1	1
0071	22,53						3	1
0072	28,33	7,87		1			3	1
0073	24,07	7,89	4,09	2	3	2	1	1
0074	25,82	9,76	3,31	1	3	1	1	1
0075	18,58						3	3
0076	23,34						3	3
0077	23,73	8,38	2,75	1	3	2	1	1
0078	22,98						3	1
0079	23,24	6,67	2,16	1	4	1	1	1
0080	28,24	6,93	3,6	1	5	1	2	1
0081	23,3	5,4	3,37	1	1	1	2	1
0082	24,58	7,32	3,11	1	7	1	1	1
0083	20,38	11,07	5,66	1	3	2	3	2
0084	23,58	6,75	2,83	1	3	2	1	1
0085	22,5	6,35	2,84	2	2	2	1	1
0086	23,78	8,27	4,74	2	3	2	1	1
0087	28,16		3,35		1	2	2	1
0088	23,27	8,48	3.73, 5.31	2	3	1	2	1
0089	25,16	8,25	4,11	1	3	2	1	1
0090	25,63	6,07	4,05	2	3	1	1	1
0091	24,35	9,73	1,97	1	2	2	1	1
0092	26,33	7,81	4,58	2	3	1	2	1
0093	26,76	7,01	3,26	2	3	1	2	1
0094	23,73	7,37	3,4	1	3	2	2	1

O095	23,82	8,34	2,9	1	4	1	1	1
O096	22,67	9,64	3,39	1	1	1	2	1
O097	23,37	6,91	2,85	1	3	2	2	2
O098	26	8,49	3,71	1	3	2	2	2
O099	27,25	6,97	1,98	1	3	1	2	1
O100	25,27	7,73	3,83	1	3	1	1	1
O101	23,33	6,57	4,06	1	3	2	1	1
O102	25,5		1,84		3	1	3	1
O103	21,24	7,17	4,47	2	3	2	1	1
O104	23,15	6,46	3,33	1	4	1	1	1
O105	22,04	6,66	3,41	2	3	2	1	1
O106	24,33	7,64	3,12	2	3	1	1	1
O107	24,03	6,45	3,39	1	3	2	1	2
O108	23,43	6,72	4,65	2	3	2	1	2
O109	25,84	7,46	3,12	2	7	1	2	1
O110	24,04	5,18	2,85	2	3	2	2	1
O111	24,68	7,38	5,25	2	3	1	2	1
O112	25,87	7,63	2,34	1	7	1	2	1
O113	24,42	8,43	2,35	2	4	1	2	1
O114	26,47	7,44	3,64	1	3	2	2	2
O115	21,63	7,9	2,68	2	3	2	1	1
O116	24,37	7,46	3,92	1	4	1	1	1
O117	25,08	7,34	3,01	2	3	2	2	1
O118	25,71	8,71	3,89	2	1	1	1	1
O119	21,22		3,64		3	2	3	1
O120	22,75	6,84	1,15	1	6	1	2	1
O121	26,3	7,44	3,83	2	3	1	1	1
O122	26,05	8,25	2,09	2	3	1	1	1
O123	22,36		3,22			1	3	1
O124	18,58		2,9			1	3	1
O125	17,09							1
O126	26,17	9,51	3,64	2	3	1	1	2
O127	23,68		3,04		3	1	3	3
O128	23,18	9,08		1			1	1
O129	22,39						3	2
O130	24,92	8,75	5,49	2	3	1	2	1
O131	18,16						3	2
O132	21						3	2
O133	20,64						3	2
O134	14,18						3	1
O135	18,28						3	3
O136	15,67						3	2
O137	24,64	6,89					3	2
O138	15,69						3	2
O139	25,38	7,33	1,55	2	1	1	2	1
O140	24,86	6,84	3,99	2	3	1	1	1
O141	24,17						3	3
O142	24,45		1,51		1		3	1

O143								3	3
------	--	--	--	--	--	--	--	---	---

Leyenda:

<b>Tipo de orificio superior</b>	
Circular regular	1
Circular irregular	2
<b>Tipo de orificio inferior</b>	
Incisión alargada, agujero alargado	1
Circular regular	2
Circular irregular	3
Incisión alargada, agujero circular	4
Circular con superficie aplanada	5
<b>Posición del orificio inferior</b>	
De la mitad hacia abajo	1
Mitad	2
<b>Estado</b>	
Completo	1
Semicompleto	2
Fracturado	3
<b>Grado de conservación</b>	
Bueno	1
Medio	2
Malo	3

### Anexo 3: tabla placas/pendientes rectangulares/trapezoidales

#	Forma	Largo (mm)	Ancho ex. Peq. (mm)	Ancho ex. Grande (mm)	Espesor (mm)	# orificios	Tamaño orificio 1 (mm)	Tamaño orificio 2 (mm)	Tipo orificio 1	Tipo orificio 2	Color	Bordes
p01	1	88	22,77	40,7	5,75	2	2,46	2,63	2	2	1	BSC

p02	1	73	11,68	33,18	3,77	2	1,93	2,07	2	2	2	BC
p03	1	69	0	36,63	5,04	2					1	BSR
p04	1	88	21,87	32,91	6	2	2,96	2,87	2	2	1	BIR, BSC
p05	2	41	25,6	28,36	5	2	2,15	2,61	2	2	1	BSC
p06	1	78	25,4	34,66	5,44	2	3,04	2,96	2	2	1	BR
p07	1	51	18,18	29,81	4,76	2	2,7	3,12	2	2	1	BIR, BSC
p08	1	76	22,24	31,3	5,63	2	2,28	2,34	3	3	1	BR
p09	1	83	21,69	31,7	4,98	2	2,3	2,37	2	2	1	BSC
p10	1	76	19,58	30,52	5,4	2	2,63	2,28	2	2	1	BSC
p11	1	67	14,29	34,17	4,52	1	3,29		3		1	BC
p12	2	51	22,8	25,66	2,59	2	3,01	2,73	1	2	1	BSC
p13	1	40	19,58	23,31	2,98	2	1,84	1,97	3	3	1	BSC
p14	1	98	15,91	27,45	2,75	2	2,16	2,63		1	2	BIR, BSC
p15	1	78	15,41	27,53	2,22	2	2,29	2,24	2	2	2	BC
p16	1	78	15,03	21,16	2,18	1	2,97		1		2	BIR, BSC
p17	1	69	15,39	25,28	2,14	1	3,76		1		2	BIR, BSC
p18	1	71	12,69	23,05	2,9	2	1,92	2,02	2	2	2	BC
p19	1	85	13,51	28,48	2,85	1	2,68		2		2	BIR, BSC
p20	1	64	12,92	22,31	1,78	2	1,97	2,17	2	2	2	BR
p21	1	88	15,13	27,09	2,52	2	2,06	1,96	2	2	2	BC
p22	2	84	19,27	20,25	2,67	2	2,63	2,3	2	2	2	BSC
p23	1	67	12,08	21,51	2,69	2	2,09	1,99	3	3	2	BIR, BSE
p24	1	64	10,89	15,83	3,05	1	2,67		3		2	BIR, BSE
p25	1	71	17,44	26,16	2,72	2	2,8	2,38	3	3	2	BIR, BSE
p26	1	69	14,26	24,15	3,88	2	2,89	1,79	2	2	2	BIC, BSR
p27	1	55	12,7	21,42	3,94	2	2,3	2,41	2	2	2	BIR, BSE
p28	1	67	15,71	24,5	1,6	2	3,04	2,26	1	1	2	BR
p29	1	64	13,98	29,4	2,9	2	2,63	2,8	3	3	2	BIR, BSC
p30	1	70	26,23	38,62	2,78	2	2,47	2,37	3	3	2	BR

p31	1	62	9,96	27,69	2,67	2	2,73	2,44	3	3	2	BIR, BSC
p32	2-frag			28,02	3						2	BIR
p33	1	55	25,95	35,61	4,09	2	2,49	1,82	2	2	2	BR
p34	1	65	13,41	28,49	3,04	2	3,01	2,85	1	1	2	BR
p35	1	65	17,24	27,41	3,43	2	1,93	2,16	2	2	2	BIR, BSC
p36	1	67	14,69	25,5	2,34	2	2,43	2,69	3	3	2	BIR, BSC
p37	1	48	19,72	32,72	2,6	2	1,86	1,83	2	2	2	BC
p38	1	44	13	19,38	2,63	2	2,27	2,17	3	3	2	BIR, BSC
p39	1	55	29,08	39,9	2,48	2	2,34	2,47	1	2	2	BR
p40	1-frag			29,29	2,9						2	BIR
p41	1	66	24,19	38,36	3,08	2	2,59	2,73	1	1	2	BIR, BSC
p42	1	76	24,07	38,58	2,19	2	2,75	2,22	3	3	2	BIR, BSC
p43	1	45	17,11	29,94	3,36	2	1,63	2,53	2	2	2	BC
p44	1	54	20,03	24,52	4,11	2	1,94	1,79	2	2	2	BIR, BSC
p45	1	73	17,79	35,63	1,91	2		2,3		3	2	BC
p46	1	44	17,93	27,03	2,6	2	2,3	2,37	2	2	2	BR
p47	1	60	13,53	26,2	3,12	2	2,93	2,66	1	1	2	BIR, BSC
p48	2	49	28,9	30,36	3,33	2	2,08	2,08	2	2	2	BR
p49	1	50	14,71	26,55	3,17	2	2,54	1,9	3	3	2	BE
p50	1	48	24,57	30,63	3,11	2	3,17	2,45	2	2	3	BIR, BSC
p51	1	50	17,44	22,77	3,97	2	2,59	2,27	1	2	2	BIE, BSC
p52	1	43	16,65	25,4	2,36	2	2,9	2,56	1	1	2	BC
p53	1- FRAG			31,41	2,2						2	BIR
p54	1	46	12,26	21,22	2,86	2	2,5	2,52	1	1	2	BIC, BSE
p55	1	37	22,79	31,72	2,37	2	2,77	3,47	1	1	2	BR
p56	1	47	9,97	21,82	2,93	1			1		2	BE
p57	1	45	14,79	27,94	1,77	2		2,23		3	2	BIR, BSE
p58	1- FRAG		14,24	22,28	2,78	2					2	BE

p59	1	38	13,5	20,26	3,23	1	2,57		2		2	BIR, BSC
p60	1	38	11,86	20,66	2,76	1	3,11		1		2	BR
p61	1	42	20,1	28	3,81	2	2,28	2,54	2	2	2	BR
p62	1	40	22,33	31,38	3,35	2	2,69	2,59	1	1	2	BIR, BSC
P63	1	30	15,69	21,31	3,58	2	2,21	2,29	3	3	2	BIC, BSR
p64	1	47	20,91	30,24	4,15	2	2,7		2		2	BIR, BSC
p65	1	54	20,17	26,64	4,25	2	2,52	2,74	1	1	2	BR
p66	1	44	13,78	19,64	2,23	2	2,41	2,46	2	2	2	BR
p67	1- FRAG		15,1	28,04	2,94	2		2,03		3	2	BIR
p68	2- FRAG		19,36		3,04	2	2,44	2,31	3	3	2	BE
p69	1	44	14,25	20,57	3,02	2	2,08	2,02	1	1	2	BIR, BSC
p70	1	41	12,22	16,64	2,7	2	2,3	2,32	2	2	2	BIR, BSC
p71	2- FRAG			17,16	2,43	2					2	
p72	1	42	20,21	27,99	3,01	2	2,23	1,64	2	2	2	BSR
p73	1	45	10,53	20,17	3,91	2	1,84		2	2	2	BR
p74	1	43	16,15	18,09	2,28	2		3,74	3	3	2	BE
p75	2	31		14,38	2,75	1	2,56		2		2	BR
p76	1	48	10,35	18,02	3,72	2	2,64	2,38	1	1	2	BR
p77	1-frag		20,07		1,6	2	2,08	2,13	1	1	1	BIE, BSC
p78	1-frag		19,73		4,55	2	2,37	2,43	2	2	1	BSC
p79	2-frag		18,6		3,07	2	1,48	1,68	1	1	1	BE
p80	1-frag		19,72		3,9	2	2,66	2,81	1	1	1	BSC
p81	1-frag		20,76		1,92	2	2,68	3,16	3	3	1	BSC
p82	1-frag	47		19,5	3,33	1		2,77		3	2	BC
p83	2	54	20,66	24,29	5,82	2	2,23	2,55	1	3	1	BC
p84	1	48	15,06	23,07	2,84	1	3,09	2,92	3	3	2	BE
p85	2	51	21,83		2,53	2	2,61	3,07	1	1	2	BIR, BSC

p86	1-frag		15,57		3,85	2	1,64	1,88	2	2	1	BSR
p87	1-frag		23,61		1,68	2	2,11	2,22	1	3	2	BSC
p88	1-frag	68	17,46		4,86	2	2,29	2,35	2	2	1	BIE, BSC
p89	1	61	22,34	29,76	4,14	2	2,41	2,67	2	1	1	BE
p90	1	55	28,13	36,22	2,48	2	3,41	3,44	2	2	1	BR
p91	1			29,13	4,66	2		2,78		2	1	BIR
p92	1	55	19,03	29	4,48	2	1,63	1,66	2	2	1	BSR, BIC Y R
p93	1	50	16,27	23	1,6	2	2,02	2,22	2	2	2	BR
p94	1	49	19,76	24,68	5,52	2	2,45	2,25	1	1	1	BC
p95	1	53	16,92	22,22	4,72	2	1,57	1,37	2	2	1	BSC
p96	1	55	20,5	28,11	3,64	2	2,06	2,37	1	1	1	BIC
p97	1-frag				4,07						1	BIR
p98	1-frag			32,07	5,12	2					1	
p99	2	46	17,33	19,79	3,28	2	2,79	2,66	3	2	1	BIC
p100	1	44	24,64	34,71	6,56	2	2,33	2,44	2	2	1	BR
p101	1	43	15,01	22,42	2,41	2	2,17	1,54	3	3	1	BR
p102	2-frag		17,67	18,78	3,82	2					1	BIC
p103	1	54	14,95	21,68	3,91	3	2,83	2,46	2	2	1	BE
p104	1	44	21,63	28,4	3,31	2	2,8	2,47	1	1	1	BC
p105	1-frag			27,37	2,95	2	2,25		1		1	BE
p106	2-frag			21,19	4,38	2					1	BIR
p107	2-frag	54		22,05	3,55	3		2,43		2	1	BR Y E
p108	2	41	16,61	16,88	3,55	2	2,3	2,45	3	3	2	BC
p109	1	42	18,73	21,78	2,73	1	2,17		2		1	BIC
p110	1	49	21,79	35,58	2,81	2	1,76	2,18	2	2	1	BE
p111	1-frag			25,69	3,5	2					1	BIC
p112	1	39	15,7	20,26	2,75	2	1,98	2,04	1	1	1	BE
p113	1	47	17,8	25,39	1,92	2	2,07	2,11	3	3	1	BE
p114	1	38	13,1	17,33	1,82	2	1,99	1,95	3	3	1	BIR, BSC

p115	1	54	16,58	25,18	2,87	2	1,6	1,7	2	2	1	BR
p116	1	39	20,74	24,92	3,6	2	1,85	2,7	2	2	1	BR
p117	1-frag			26,54	4,27	2					1	BIR Y C
p118	1-frag		11,97	16,82	2,87	2	1,68	1,61	2	2	1	BSR Y C
p119	1-frag		16,01		2,2	2	2,07	2,02	3	3	1	BSR
p120	1	37	18,73	22,5	2,77	2	2,28	2,45	1	2	1	BSC
p121	1	46	17,76	23,99	3,25	2	1,71	2,04	1	1	1	BR
p122	1	37	13,65	17,92	4,01	2	1,59	1,81	2	2	1	BC
p123	1	59	17,79	19,96	4,16	2		2,09		3	1	
p124	1-frag			29,02	3,93						1	BIC
p125	1-frag	37		21,21	3,72	1	1,5				1	BIC
p126	1	32	18,38	26,59	2,29	2	2,15	2,1	3	3	1	BSC
p127	2	33	15,09	16,62	3,44	2	2	1,63	2	2	2	BIR, BSC
p128	2	36	13,87	13,57	2,58	2	2,37	2,36	3	3	1	BSC
p129	1	48	17,18	24,1	2,92	2	2,16	2,39	2	2	1	BE
p130	2-frag	30	14,67	14,73	2,52	2	2,64	2,22	2	2	1	BSC
p131	4		22,68		2,23	2	2,92	2,33	1	3	1	BSC
p132	1-frag			25,57	3,47						1	BIC
p133	1	40	14,06	22,57	3,23	2	2,01	2,36	1	1	1	BC
p134	1-frag		14,4		2,54	2	2,28	2,03	2	2	1	BSC
p135	1	45	12,11		1,62	2	2,75	2,74	3	3	1	BIR, BSC
p136	1-frag			18,12	3,99	2	2,41		3		1	BIR
p137	1-frag		13,41		2,28	2	2,81	1,77	1	1	1	BE
p138	1	37	18,03	20,85	3,47	2	2,02	1,82	2	2	1	BR
p139	1	50	20,64	31,53	4,13	2	2,93	3,08	2	2	1	BR
p140	1-frag		20,17	30,14	1,86	2	2,13	1,84	1	1	1	BE
p141	2	36	15,13	15,02	3,61	1	2,08		2		1	BIC, BSR
p142	2-frag		21,22	20,13	3,87	1	2,04		2		1	BSC
p143	1	35	14,1	17,69	2,07	1	2,65		1		1	BE

p144	2-frag		15,01		3,15	2	2,67	2,12	1	1	1	BSC
p145	2-frag		20,84		2,77	1	3,3		1		1	BR
p146	1-frag		22,89		2,99	2	2,59	2,58	3	3	3	BSR
p147	2-frag				2,31	2		2,69		1	1	
p148	1-frag		15,51	21,12	3,57	2					1	BIC
p149	4-frag				2,16	2		2,18		2	2	
p150	1-frag		16,14	23,43	4	2	2,6	2,7	3	3	1	
p151	1-frag		12,36		2,63	2	2,07	2,23	3	3	1	
p152	1-frag		9,86		2,1	1	2,54		3		1	
p153	4-frag				1,8						2	
p154	1	53	16,66	25,68	5,35	2	2,1	1,85	2	3	1	BR
p155	1	56	17,1		3,44	2	2,22	2,38	3		2	BSC
p156	1-frag	58	20,04	31	3,74	2	2,48	2,36	3	3	1	
p157	2-frag	53	20,1	20,77	2,3	2					1	
p158	1-frag	60	29,01	43,85	2,76						1	
p159	1-frag	62	23,4	48,27	3,58						1	
p160	1-frag	61	24,66	36	4,84	2					1	BIC
p161	1-frag	47	24,32	27,44	3,94						1	
p162	1-frag	46	19,01	22,71	2,91	2					1	
p163	1-frag	35	21,11	23,32	3,1						1	
p164	1-frag	40	15,89	21,33	4,89						1	
p165	1-frag	65	25,72	43,78	4,1	2					1	
p166	1-frag	62	23,32	40,02	3,01	2					1	
p167	1-frag	51		34,31	2,66						1	
p168	1-frag		36,77	42,04	4,12						1	
p169	1-frag	47	20,14	24,55	2,65						1	
p170	2-frag	46	21,65	24,69	3,29						1	
p171	2-frag	36	15,24	16,66	3,1						1	
p172	2-frag			28,31	2,49						1	BIR

p173	4-frag				3,59						1	
p174	4-frag				3,05						1	
p175	2-frag	40	11,04	10,56	2,64	1					1	
p176	1-frag	48	22,24	23,27	2,17	2					1	
p177	2-frag	53	26,04	26,21	4,18						1	
p178	1-frag	41	16,97	22,68	2,93						1	BIR
p179	1-frag		15,72		3,47	2	2,02		3		1	
p180	1-frag		18,54		2,44	1					2	
p181	1-frag		25,08		2,57	2					1	
p182	1-frag	40	16,57	23,44	1,76						1	
p183	1-frag			29,87	4,13						2	
p184	2-frag	36	17	15,31	2,14	1					1	
p185	2-frag	39	15,67	16,24	1,9						2	
p186	1-frag	27	10,86	18,84	2,31						1	
p187	1-frag	39	9,92	19,44	2,37						1	
p188	1-frag	32	12,18	18,35	1,95						1	
p189	1-frag	32	16,67	19,39	2,9	2					1	
p190	1-frag	26	13,14	18,82	3,12						1	
p191	1-frag	35	13,78	20,79	2,26						1	
p192	1-frag	27	13,63	18,32	3,25	1					1	
p193	4-frag	56	24,09	26,51	3,4						1	
p194	4-frag	46	16,78	18,8	2,33						2	
p195	4-frag	48	26,09	28,68	5,98						1	
p196	4-frag	36	22,39	25,21	3,15						1	
p197	1-frag	44	18,16	26,13	4,52	1					1	
p198	1-frag			33,92	3,42						1	
p199	4-frag	34	19,55	21,6	2,92						1	
p200	4-frag	33	17,82	20,36	4,22						1	
p201	4-frag				2,91						1	

p202	4-frag				2,87						1	
p203	4-frag				3,82						1	
p204	4-frag	37	17,21		2,82						1	
p205	4-frag				1,85						1	
p206	4-frag				3,07						1	
p207	2-frag			20,97	2,09						1	
p208	4-frag				3,13						1	
p209	4-frag				2,03						1	
p210	4-frag				2,4						1	
p211	4-frag				1,44						1	
p212	4-frag				1,97						1	
p213	4-frag				0,89						1	
p214	1-frag				2,02	1					1	
p215	4-frag				1,68						1	
p216	4-frag				2,07						1	
p217	4-frag				1,64						1	
p218	4-frag				0,66						1	
p219	4-frag	43			1,96						1	
p220	4-frag				2,71						1	
p221	4-frag				0,53						1	
p222	4-frag				1,9						1	
p223	1	46	12,65	23,11	2,38	2	2,47	2,63	3	3	2	BR
p224	1	59	13,59	26,88	2,36	2	2,68	2,61	3	3	2	BR
p225	1	60	14,01	28,53	3,03	2	2,56	2,58	3	3	2	BR
p226	1	41	17,91	23,8	4,08	2	2,27	2,67	2	2	2	BC
p227	1	44	21,63	32,57	4,28	2	2,78	2,89	2	1	2	BR
p228	1	47	17,73	26,71	2,94	2	2,15	1,87	3	3	2	BIR, BSC
p229	1	37	15,74	21,9	3,41	2	2,42	2,42	2	2	2	BC
p230	1	48	14,08	28,25	2,8	2	2,26	2,62	2	1	2	BIR, BSC

p231	1	42	28,53	36,51	3,42	2	1,84	1,52	2	2	2	bordes cuadrados
p232	1	50	15,9	25,14	3,79	2	2,39	2,5	1	1	2	BIR, BSC
p233	1	54	18,67	32,16	3,94	2	2,75	2,22	2	2	2	BC
p234	1	51	22,49	36,09	3,24	2	2,37	3,04	1	1	2	BC
p235	1	48	13,77	25,74	3,13	2	2,43	2,27	1	1	2	BIR, BSC
p236	1	40	17,3	26,08	3,86	2	2,85	2,43	1	2	2	BC
p237	1	40	18,75	23,31	2,04	2	1,79	1,5	1	1	2	BC
p238	1	57	14,75	26,98	2,48	2	2,75	2,22	2	2	2	BIR, BSC
p239	1	49	13,84	24,73	2,35	2	2,7	2,57	3	3	2	BIR, BSC
p240	1	50	14,07	23,83	2,66	2	2,13	2,4	1	1	2	BIR, BSC
p241	1	57	10,11	20,21	2,99	2	2,2	2,33	3	3	2	BR
p242	1	40	11,1	17,17	2,84	2	1,99	1,89	3	3	2	BR
p243	1	57	13,38	20,22	2,88	2	2,25	1,87	2	2	2	BR
p244	1	49	15,09	20,67	3,51	2	1,69	2,11	3	3	2	BR
p245	1	41	11,66	20,3	3,11	2	2,1	1,78	2	2	2	BR
p246	1	54	12,28	23,27	2,3	2		2,22	1	1	2	BIR, BSC
p247	1	42	14,81	21,77	2,7	2	2,48	2,1	1	1	1	BIR, BSC
p248	1-frag	45	23,51	27,95	2,64						1	BIC
p249	1	41	16,67	21,33	3,05	1	2,04		2		1	BR
p250	1	45	13,75	20,03	2,85	2		2,15		2	1	BIC
p251	1	35	17,17	23,66	4,61	2	2,28	2,4	1	1	1	BIR, BSC
p252	1-frag	46		19,64	3,24	1		1,87		1	1	BC
p253	1-frag		14,83		4,07	2	1,99	1,8	2	2	2	BSC
p254	2	63	13,69	14,66	2,23	3	2,17	2,13	1	2	1	
p255	2	61	18,81	18,61	3,02	3	2,73	2,02	3	2	1	BC
p256	2	55	15,7	14,97	2,77	3	2,34	2,6	3	1	1	BIC
p257	2	62	15,79	16,15	2,18	3	2,01	1,63	3	3		
p258	2	43	23,04	24,05	4,05	3	2,39	2,21	2	2	1	BSC

p259	2-frag	57	17,78	19,58	3,91	3		3,38		1	1	BIC
p260	2-frag	35	17,8	18,06	3,39	1	2,28		3		1	BIC
p261	2	43	13,61	13,36	3,51	1	2,9		3		1	BSR, BIE
p262	2	33	13,53	13,53	2,96	1	1,75		2		1	BC
p263	2	34	13,24	12,22	2,97	1	2,62		1		1	BSC, BIE
p264	5	56	12,53	18,05	1,68	1	2,75		3		1	BC
p265	1	58	17,15	24,06	3,54	1	2,06		3		1	BC
p266	2	42	18,28	18,54	2,13	1	2,23		1		1	BSC, BIE
p267	1	55	17,99	23,1	2,58	1	3,32		1		1	BC
p268	1	46	14,6	21,51	3,06	3	3,66	4,19	1	1	1	BR
p269	2	53	20,27	22,79	3,36	1	3,32		3		1	BE
p270	2	42	15,09	17,77	3,18	1	2,07		2		1	BSC, BIE
p271	2	51	14,09	15,94	2,87	1	2,47		2		1	BSR, BIC
p272	2	43	22,82	22,84	3,55	1	3,17		1		1	BIC, BSE
p273	1-frag	36	14,56	17,3	2,64	1	3,18		3		1	BE
p274	2-frag	28	13	13,35	3,65	1	2,45		3		1	BE
p275	2-frag	40	21,2	19,71	3,21	3	2,21	2,89	2	1	1	BE
p276	1	70	22,08	32,88	4,17	2	1,96	1,84	2	2	2	BR
p277	1	54	25,33	37,87	2,4	2	2,82	2,85	1	1	2	BSC, BIR
p278	1	52	25,74	34,35	3,02	2	2,46	2,12	2	2	2	BC
p279	1	58	18,09	36,11	2,72	2	2,55	2,32	3	3	2	BSC, BIR
p280	1	67	20,42	31,76	2,42	2	2,56	2,68	1	1	2	BC
p281	1	60	19,93	30,55	3,31	2	2,58	2,69	1	1	2	BIR, BSC
p282	1	61	26,16	33,71	3,08	2	2,18	3,45	1	3	2	BIR, BSC
p283	1	61	22,79	32,62	5,28	2	2,92	2,7	3	3	2	BC
p284	1	53	18,08	27,02	2,83	2	3,13	2,54	1	2	2	BC
p285	1	64	25,72	38,01	3,3	2	2,22	2,24	3	3	2	BSC, BIR
p286	1	65	24,71	37,54	3,45	2	2,54	1,61	3	2	2	BIR, BSE
p287	1	66	17,21	32,84	2,73	2	2,49	2,59	3	2	2	BC

p288	1	56	27,91	34,2	6,01	2	2,33	2,34	2	2	2	BIR, BSC
p289	1	50	20,77	27,86	3,2	2	3,12	2,95	3	3	2	BR
p290	1-frag	49	17,83	27,6	2,49	2	2,7	2,58	3	3	2	BIE,BSR
p291	1-frag	48	24,88		3,68	2	1,9	2,13	1	1	2	BSR, BIE
p292	1-frag	48	17,61	26,17	3,41						2	BIC
p293	2-frag	61	24,61	27,62	2,76	2	1,93	2,38	1	1	2	BSC, BIR
p294	1-frag	53	19,53	25,22	3,71	2	1,57	1,67	2	2	1	BR
p295	1	52	25,67	29,85	4,12	2	1,81	2,2	2	2	2	BSC, BIE
p296	1-frag	52	25,71	33,6	3,98	2					2	BR
p297	1-frag	48	16,9	21,08	3,15	2	2,43	2,28	1	2	2	BSC, BIE
p298	1-frag		27,15		4,08	2	2,1	2,19	2	2	2	BSC, BIE
p299	1	33	11,09	17,05	2,7	1	2,84		3		2	BIR, BSC
p300	1-frag	30	14,11		3,02	2	2,17	2,26	3	3	2	BSC
p301	2-frag	33	16,96	15,87	3,73	1	2,14		2		1	BSC
p302	1-frag	24	11,48	13,46	2,22	1	2,61		3		1	BE
p303	1-frag	28	12,62		1,56	1	2,48		2		1	BE
p304	1-frag	38	23,16	29,49	2,8	2		3,25		1	1	BR
p305	1-frag	27	15,78	20,73	2,34	2					2	
p306	1-frag			30,53	2,68						1	
p307	1-frag	50	16,91	22,21	2,37	2					2	
p308	1-frag			23,2	2,68						1	
p309	1-frag				2,17						2	
p310	1-frag		19,08		2,98	2	2,22	2,54	1	1	1	
p311	2-frag	38	14,56	14,21	2,15	1					1	
p312	1-frag			17,27	2,41						2	
p313	1-frag				2,69						1	no borde
p314	1-frag				1,97						1	
p315	2-frag		14,48	15,32	1,92						1	
p316	4-frag				1,75						1	

p317	4-frag				1,74	2					1	
p318	4-frag				1,77						1	
p319	4-frag				2,19						1	
p320	4-frag				3,37						1	
p321	4-frag				3						1	
p322	4-frag				3,11						1	
p323	4-frag				2,78						1	
p324	4-frag				1,64						1	
p325	1	49	18,55	26,46	3,77	2	1,85	2,02	2	2	2	BIR, BSC
p326	1-FRAG		21,19		2,47	2	2,37	2,09	1	3	1	BSR
p327	1-FRAG		15,97		3,3	2		3,73				BSC
p328	1-FRAG				2,01						1	
p329	4-FRAG				1,84						1	
p330	4-FRAG				1,63						1	
p331	1-FRAG				4,97						1	
p332	4-FRAG				2,61						1	
p333	4-FRAG				1,43						1	
p334	1-FRAG				2,27	1					1	
p335	4-FRAG				2,54						1	
p336	4-FRAG				1,97	1	1,94		3		1	
p337	4-FRAG				2,4						1	
p338	1-		12,85		3,12	2					2	

	FRAG											
p339	4-FRAG				1,42	2					1	
p340	1-FRAG	47	15,48	21,69	3,67						2	BIC
p341	1-FRAG				4,66						1	BIR
p342	2-FRAG		16,99	17,99	2,06	2					2	
p343	1-FRAG		12,24		2,06	1	2,26		3		1	
p344	4-FRAG				2,74	1	2,46				1	
p345	2	32	14,23	15,55	2,7	2		2,18		2	1	BIR, BSC
p346	1-FRAG				2,49						2	
p347	1-FRAG		10,36		2,4	1	2,59		3		1	
p348	1	35	18,76	22,43	3,49	2	2,64	2,59	1	1	1	BR
p349	4-FRAG				2,17						1	
p350	4-FRAG				1,38						1	
p351	4-FRAG				2,57						1	
p352	1-FRAG		26,95		3,25	1	4,64		1		1	
p353	1-FRAG		16,11		2,41	2	2,5	2,35	1	1	1	BSC
p354	1-FRAG		12,85		2,23	1					1	BSC
p355	4-FRAG				2,51						1	
p356	4-FRAG				1,62						1	

p357	1- FRAG		13,85		1,77	2	2,7	2,38	2	2	2	BSC
p358	1- FRAG			21,66	3,08						2	BIR
p359	1	49	12,96	23,36	3,51	2	2,75	1,91	1	1	2	BIR, BSC
p360	1- FRAG		13,45		3,1	2	2,16	2,1	1	1	2	BSC
p361	2- FRAG		18,32	18,04	4,22						2	
p362	2- FRAG	48	18,1	19,71	3,99	2	2,21	2,51	3	3	1	
p363	1- FRAG	43	12,75	18,23	3,69	1	1,98		1		1	
p364	1- FRAG				3,26						1	
p365	1- FRAG		15,08		2,51	2	2,35	2,29	3	3	1	BSC
p366	1- FRAG	25	11,95	14,01	2,25	1	2,57		1		2	BIR
p367	2- FRAG		14,08		3,24	1	2,62		1		1	BC
p368	2- FRAG		15,56		3,33	3		3,81		3	1	
p369	4- FRAG				3,41						1	
p370	1- FRAG			19,09	2,75						1	BE
p371	4- FRAG				2,92						1	
p372	4- FRAG				3,01						1	
p373	4- FRAG				4,43						1	
p374	4- FRAG				1,7	2	2,16		3		1	BC

p375	4-FRAG				3,41						1	
p376	4-FRAG				3,01						2	
p377	4-FRAG				1,82						1	
p378	4-FRAG				2,18						1	
p379	4-FRAG				1,58						1	
p380	4-FRAG				1,5						1	
p381	4-FRAG				2,07						2	
p382	4-FRAG				3,41						2	
p383	2-FRAG	15,55	15,31	3,55	1	2,85			1		1	BSC
p384	2-FRAG	15,89	16,2	3,07							1	BE
p385	1-FRAG		22,86	3,15							1	BIR
p386	1-FRAG			3,31							1	
p387	1-FRAG	16,18		3,41	2	2,34	2,45		1	3	1	BSC
p388	1-FRAG		23,48	2,27							1	BE
p389	1-FRAG		18,8	2,82							1	BE
p390	1-FRAG		28,47	2,82	2						1	
p391	1-FRAG	19,39		3	1	2			2		1	BSR
p392	2-FRAG	14,68	15,33	2,14	1	1,8			2		1	BSC

p393	1-FRAG	43	16,67	20,47	2,84	2	2,67	2,42	1	1	2	BSR
p394	1-FRAG			24,86	3,54							BIR
p395	1	39	18,24	20,96	3	2	2,6	2,63	1	2	2	BIR, BSR Y C
p396	4-FRAG				2,54	2	2,32	2,37	3	3	1	
p397	4-FRAG				1,28	2	3,49		3		1	
p398	4-FRAG				2,77	2	2,14		1		1	
p399	4-FRAG				1,79	1	2,3		1		1	
p400	1-FRAG		9,96		1,49	2					1	BSC
p401	4-FRAG				1,84	1	2,58		3		1	
p402	4-FRAG				1,83						1	
p403	4-FRAG				2,66						1	
p404	4-FRAG				2,77						1	
p405	4-FRAG				1,81						1	
p406	4-FRAG				0,91						1	
p407	4-FRAG				2,82						1	
p408	4-FRAG				1,85						1	
p409	4-FRAG				2,03						1	
p410	1-FRAG		16,21	22,1	2,32	2	1,99	2,17	2	1	2	BSR

p411	1-FRAG				3,11						2	
p412	1-FRAG				3,4						2	
p413	4-FRAG				1,75	1	2,63				1	
p414	1-FRAG				1,28	1	2,57		1		1	
p415	1	78	15,13	24,49	3,26	2	1,82	1,55	2	2	2	BSC, BIRY E
p416	1	74	21,1	29,71	3,09	2	2,21	2,15	2	2	2	BC
p417	1	73	18,63	27,16	3,35	2	2,36	2,69	2	2	2	
p418	1	70	18,95	27,41	2,98	2	2,65	2,57	2	2	1	BIR, BSC
p419	1-FRAG	89	17,59	25,44	5,9	2	2,58	2,6	3	3	1	BSC
p420	1	74	18,88	26,63	2,5	2	2,21	2,1	2	2	2	BC
p421	1	78	15,49	26,63	1,49	2	1,78	1,85	2	2	2	BR
p422	1	75	20,34	28,58	3,15	2	2,84	2,98	1	1	2	BR
p423	1	86	17,28	31,03	4,81	2	2,55	2,95	3	2	2	BR
p424	5	96	19,76	26,69	4,7	2	2,99	2,9	2	2	2	BIR, BSC
p425	1	94	18,6	31,1	3,93	2	3	2,59	3	3	2	BIE, BSC
p426	1	83	15,64	31,43	3,97	2	1,84	1,93	2	2	2	BSC, BIE
p427	1-FRAG	82	14,46	30,63	1,98	2					2	BE
p428	1	77	15	32,23	1,53	2	1,69	1,92	2	2	2	BIC Y R, BS C Y R
p429	1	76	19,4	27,76	1,84	2	2,54	2,5	3	3	1	BC
p430	1	71	21,41	30,07	2,53	2	2,82	2,73	2	1	1	BC
p431	1	73	18,64	28,34	2,45	2	2,78	2,89	1	1	1	BIR, BSC
p432	1	71	17,08	28,7	1,29	2	2,25	2,14	1	2	1	BC
p433	1-frag				2,94						1	
p434	4-frag				4,12						1	
p435	1-frag	44	22,39	31,17	3,1	2	2	2,01		1	2	BR

p436	1-frag	39	20,92	24,18	3,94	2	3,2	2,68	1	1	2	BR
p437	1	57	11,49	22,26	2,16	2	2,02	1,89	3	3	2	BE
p438	1-frag		20,13	27,62	3,85	1	2,96		3		1	
p439	1-frag		14,81		1,57	2		2,04		3	2	
p440	1-frag		12,01		2,76	2	2,34	2,54	3	3	1	
p441	1-frag		16,15		2,9	1	2,53		1		1	BSC
p442	4-frag				2,24	2	2,66	2,44	1	1	1	BSC
p443	1-frag			14,98	2,42							
p444	2-frag		14,52	15,06	1,75	1					1	
p445	1-frag				2,35						2	
p446	1-frag			19,47	2,63						1	BIR
p447	4-frag				1,41						1	
p448	1-frag		14,07		2,58	2		2,62		3	2	
p449	4-frag				2,25						1	
p450	4-frag				2,26						2	
p451	4-frag				0,68	1	2,18		3		1	
p452	4-frag				2,21						1	
p453	4-frag				1,37						1	
p454	4-frag				1,81						1	
p455	4-frag				1,94						1	
p456	4-frag				1,73						1	
p457	4-frag				1,36						1	
p458	4-frag				2,05	1	1,96		3		1	
p459	4-frag				1,19						1	
p460	4-frag				0,79						1	
p461	4-frag				2,31						2	
p462	1	39	15,78	19,84	2,76	2	2,66	3,16	1	1	2	BC
p463	1	47	20,89	29,69	2,28	1	2,36		2		2	BC
p464	1	47	16,94	26,22	1,72	2	2,05	1,94	1	1	2	BC

p465	1	46	19,07	24,96	1,89	2	2,04	1,57	1	1	2	BC
p466	1	44	17,06	24,32	2,23	2	2,28	2,29	1	1	2	BIR,BSC
p467	1	47	12,23	19,3	2,03	2	2,49	2,48	3	3	2	BIR,BSC
p468	1	34	16,49	21,12	3,53	2	2,67	2,64	2	2	1	BSR, BIC
p469	1	47	17,98	24,97	3,06	2	1,72	1,49	2	2	2	BC
p470	1	47	18,47	24,91	1,73	2	2,84	2,86	2	3	2	BIR.BSC
p471	1	33	19,44	24,18	2,65	2	2,31	2,28	3	3	2	BR
p472	1- FRAG	44	15,95		3,66	2	2,05	2,14	2	2	2	BSC
p473	1- FRAG	45	16,54	21,35	1,61	2	2,13	2,29	3	2	1	BE
p474	1- FRAG	45	13,91	20,63	2,95	2	2,88	2,67	1	1	1	BR
p475	1- FRAG	45	17,41	23,11	3,47	2	2,02	1,78	2	1	1	BE
p476	1- FRAG		21,71		2,88	2	1,49	1,64	2	3	1	BSC
p477	1- FRAG		17,77		2,72	2	2,59	2,27	1	1	2	BSC
p478	1- FRAG		19,54	27,32	4,14	2	1,58	1,36	3	1	1	BE
p479	2- FRAG		19,28	20,92	2,34	2	1,76		3		1	BE
p480	1- FRAG	46	17,28	23,64	2,91	2	1,68	1,57	2	2	1	BE
p481	1- FRAG		16,54	23,94	2,26	2	2,44	2,36	1	1	1	BSC
p482	1- FRAG			22,07	4,11						1	BIC
p483	4- FRAG				3,67						1	
p484	2- FRAG		20,46	20,41	2,88						1	
p485	1	63	16,28	30,95	2,48	2	2,39	2,48	2	3	1	BIR, BSC

p486	2-FRAG		17,91	18,26	2,22						1	
p487	2-FRAG		21,34	21,51	2,82	2	1,99	1,89	3	3	1	BE
p488	1-FRAG				2,13						1	
p489	1-FRAG			20,64	1,89						1	BIR
p490	1-FRAG				2,98						1	
p491	4-FRAG				2,65	2	1,34	2,26			2	
p492	4-FRAG				3,3						2	
p493	4-FRAG				1,79						1	
p494	4-FRAG				1,97						1	
p495	4-FRAG				2,25						1	
p496	4-FRAG				0,57							
p497	4-FRAG				3,12	2	1,45	1,21	3	3	2	
p498	1	40	16,94	19,31	2,4	2	2,11	1,98	2	2	1	BR
p499	1-FRAG			38,85	3,14						1	BIR
p500	1-FRAG	72	14,85	19,75	2,68	2		2,93		1	1	BIC

## Leyenda

<b>Forma</b>	
Trapezoidal	1

Rectangular	2
Redondeada	3
No definida	4
Oblonga	5
<b>Tipo de perforación</b>	
Cónico	1
Bicónico	2
Bicónico pulido	3
<b>Color/especie</b>	
Madreperla (brillante)	1
Spondylus (mate)	2
Spondylus prínceps (rojo)	3
<b>Número de perforaciones</b>	
Uno en un extremo	1
Dos paralelos	2
Uno en cada extremo	3
<b>Bordes</b>	
Borde inferior redondeado	BIR
Borde inferior cuadrado	BIC
Borde superior cuadrado	BSC
Borde superior redondeado	BSR
Borde erosionado	BE